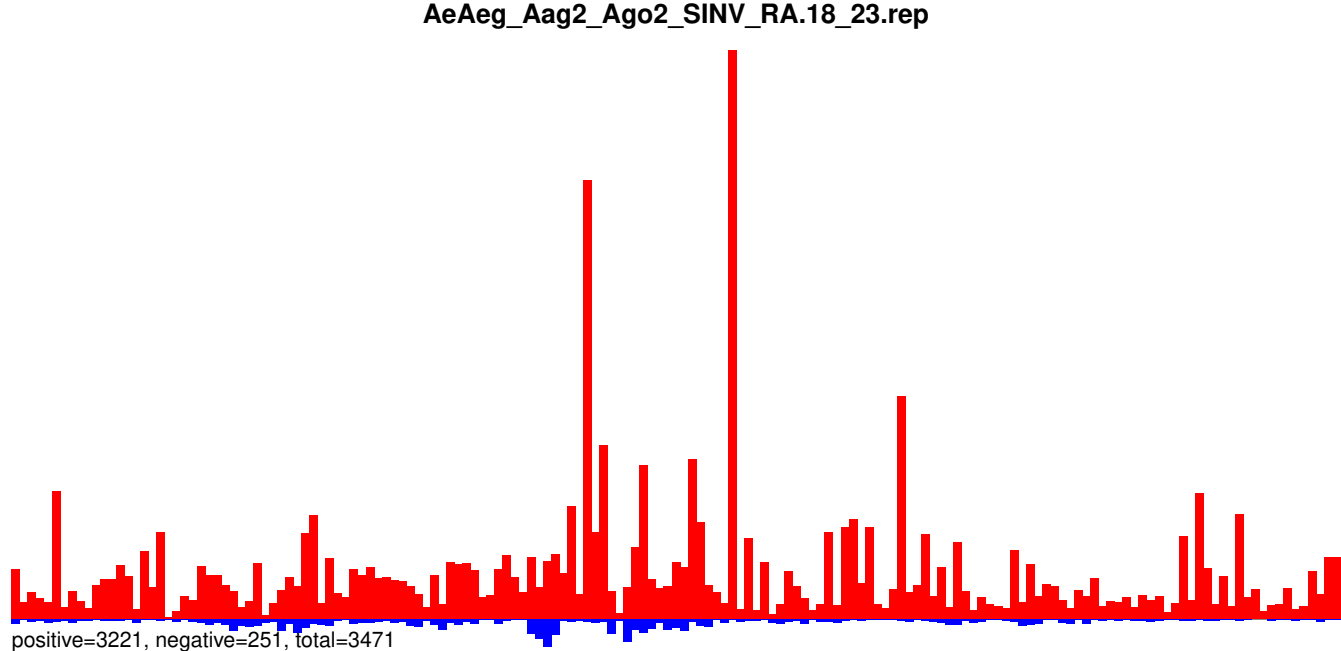
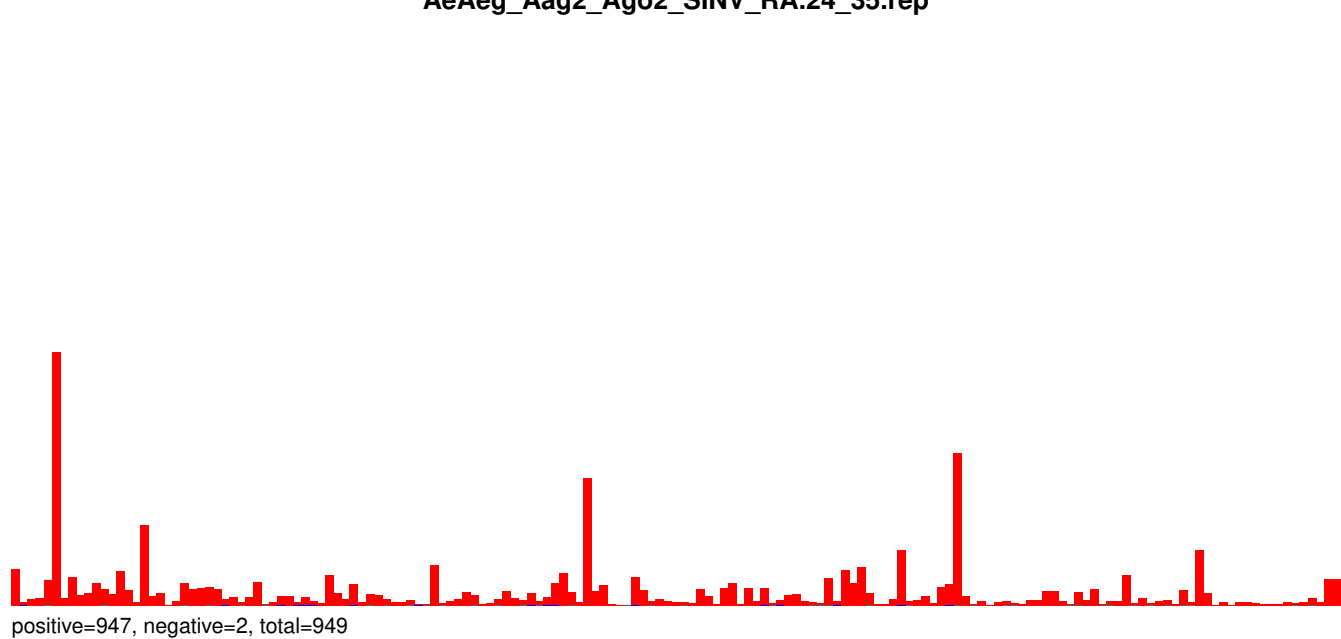


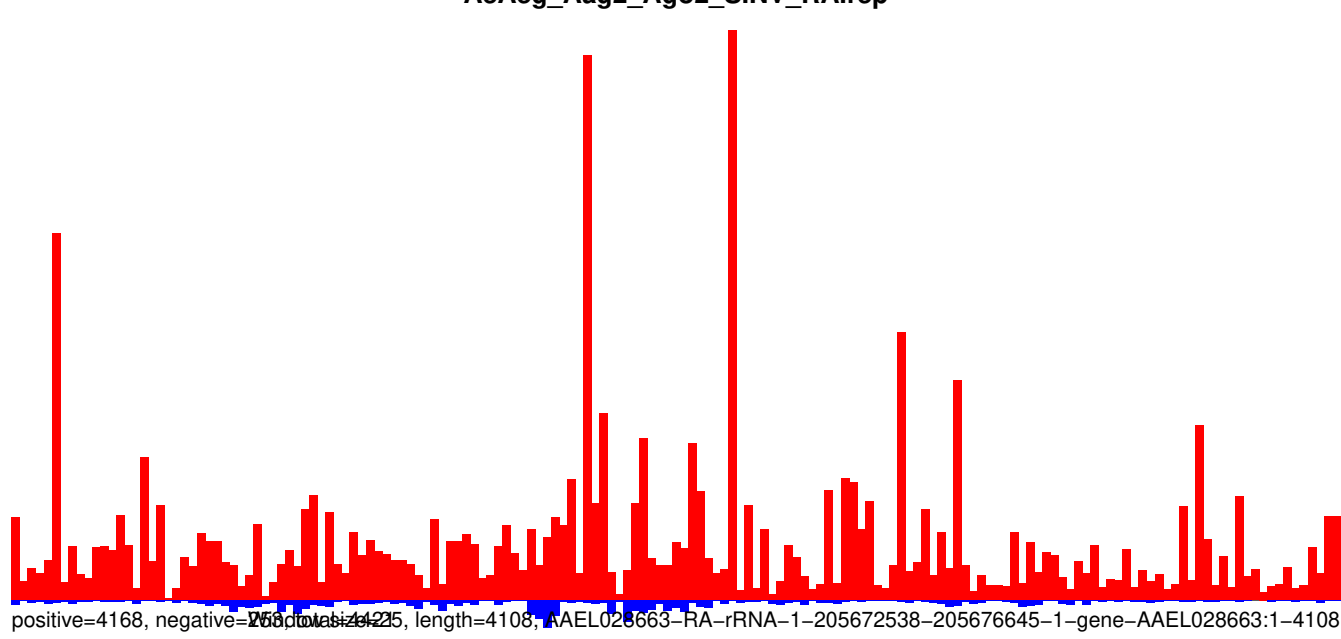
AeAeg_Aag2_Ago2_SINV_RA.18_23.rep



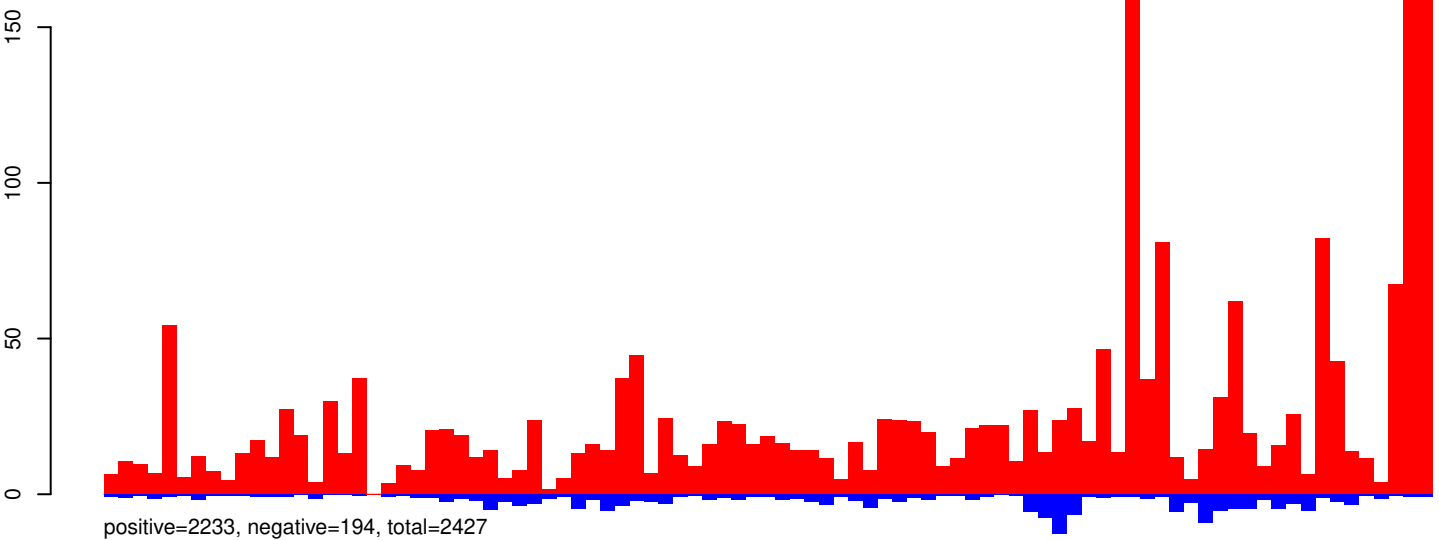
AeAeg_Aag2_Ago2_SINV_RA.24_35.rep



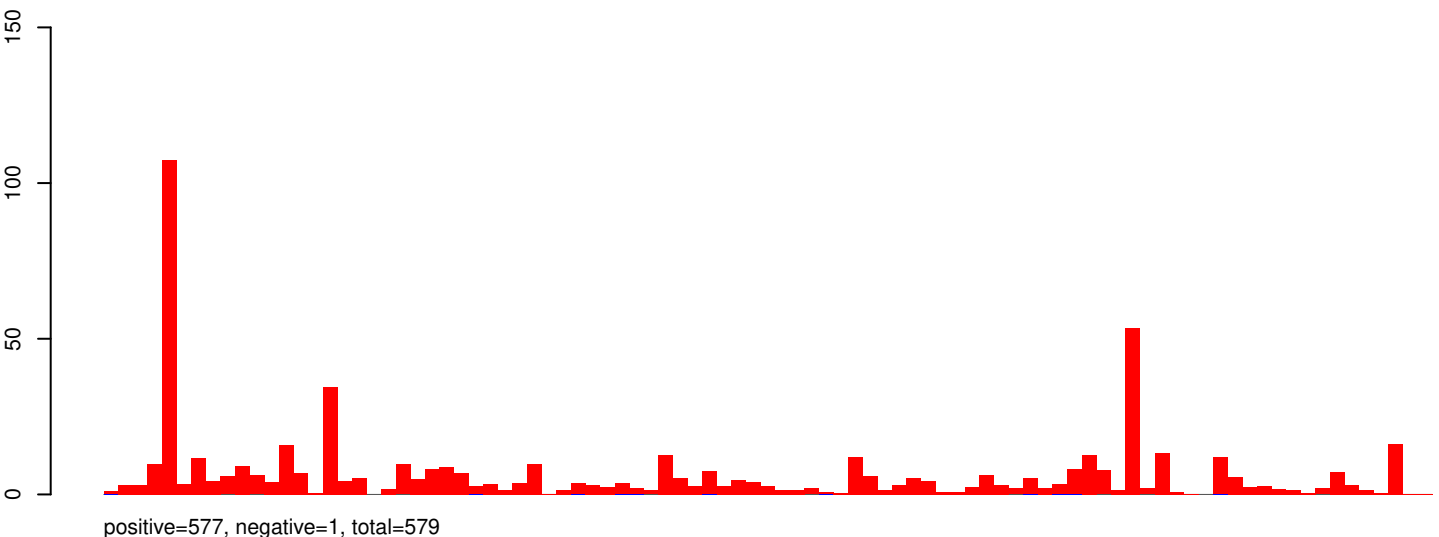
AeAeg_Aag2_Ago2_SINV_RA.rep



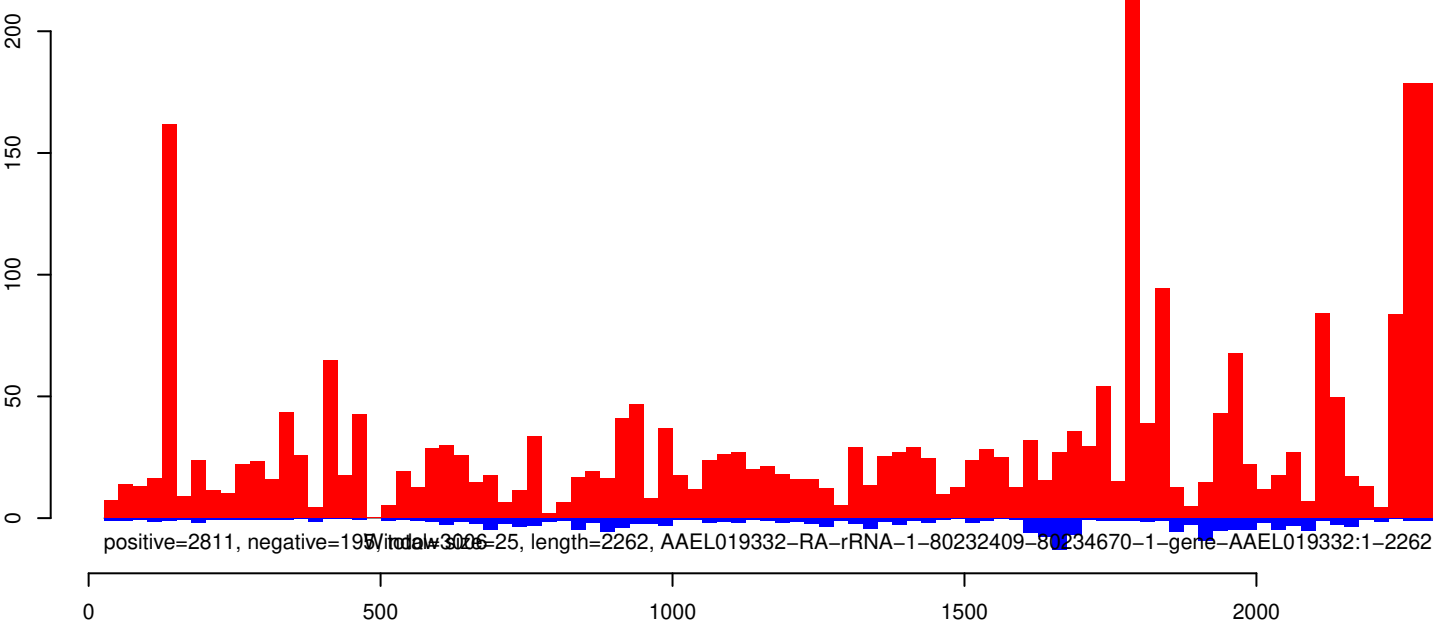
AeAeg_Aag2_Ago2_SINV_RA.18_23.rep



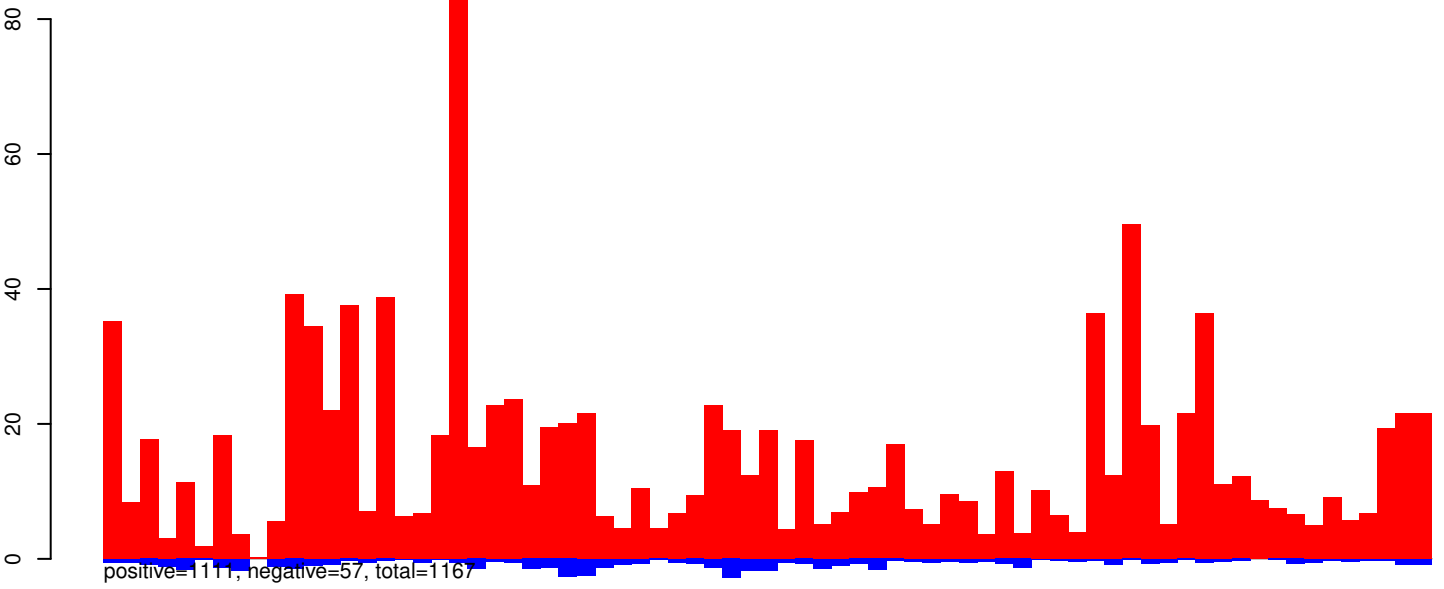
AeAeg_Aag2_Ago2_SINV_RA.24_35.rep



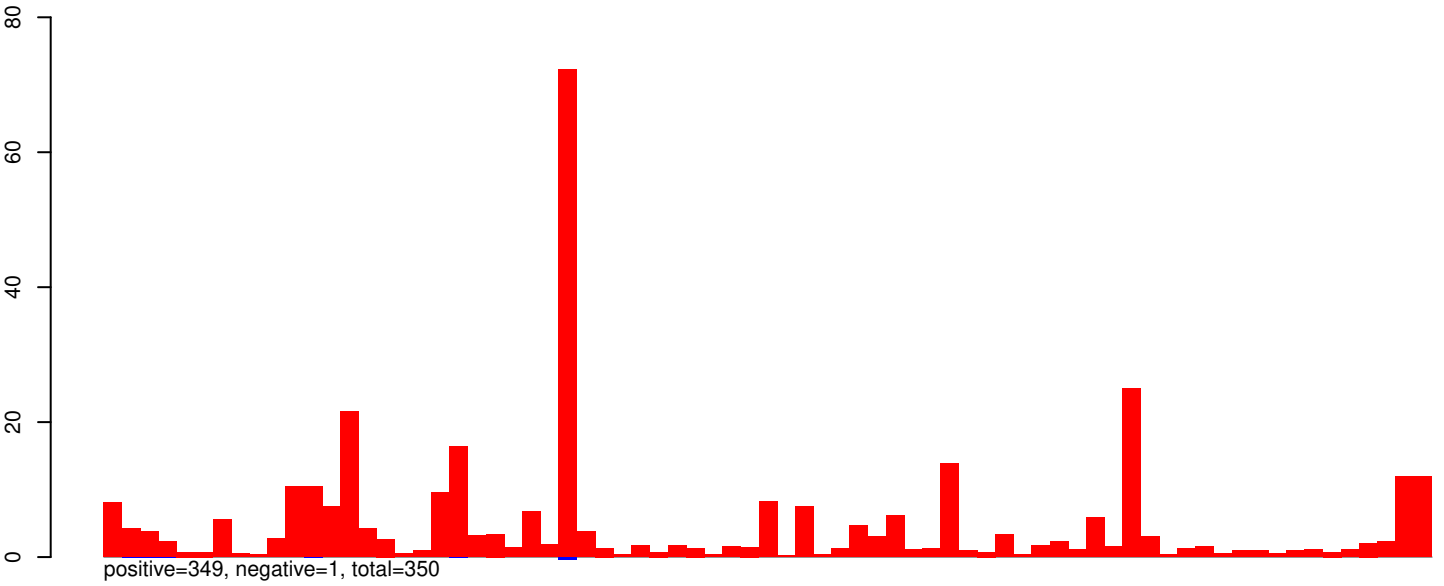
AeAeg_Aag2_Ago2_SINV_RA.rep



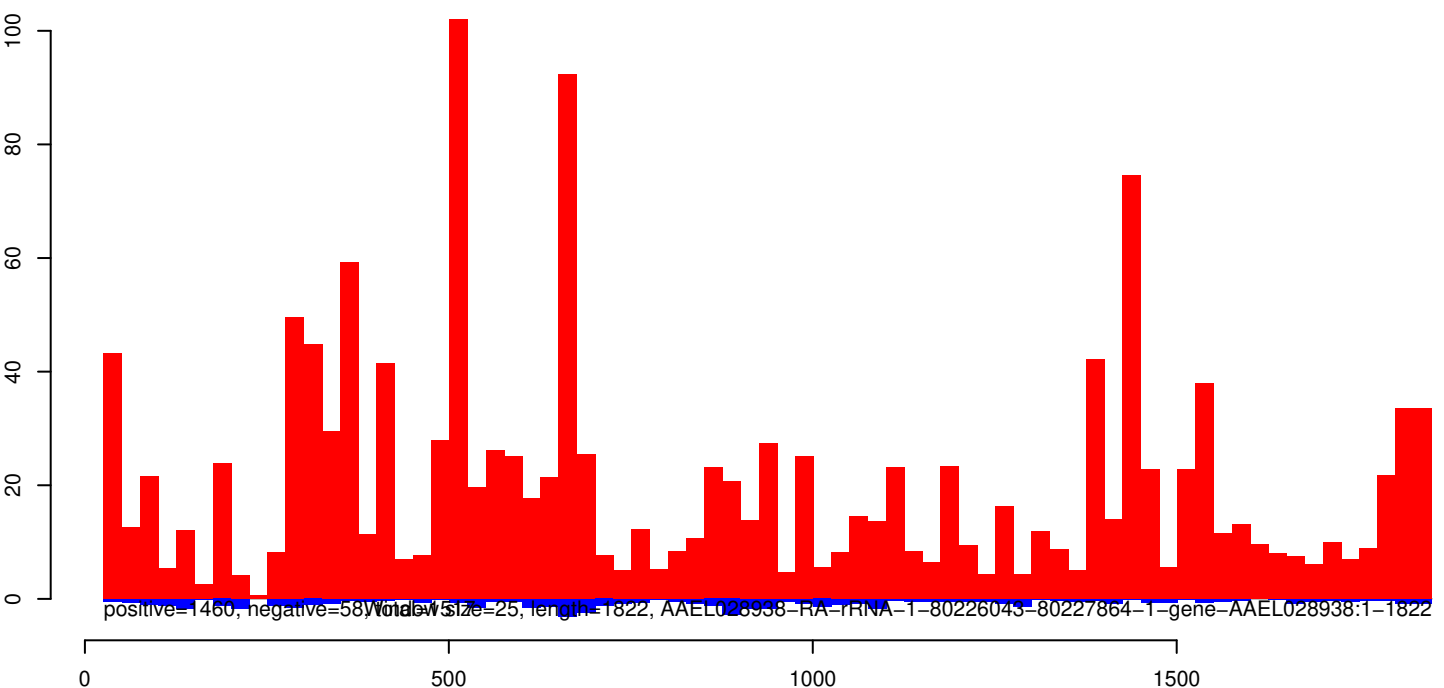
AeAeg_Aag2_Ago2_SINV_RA.18_23.rep



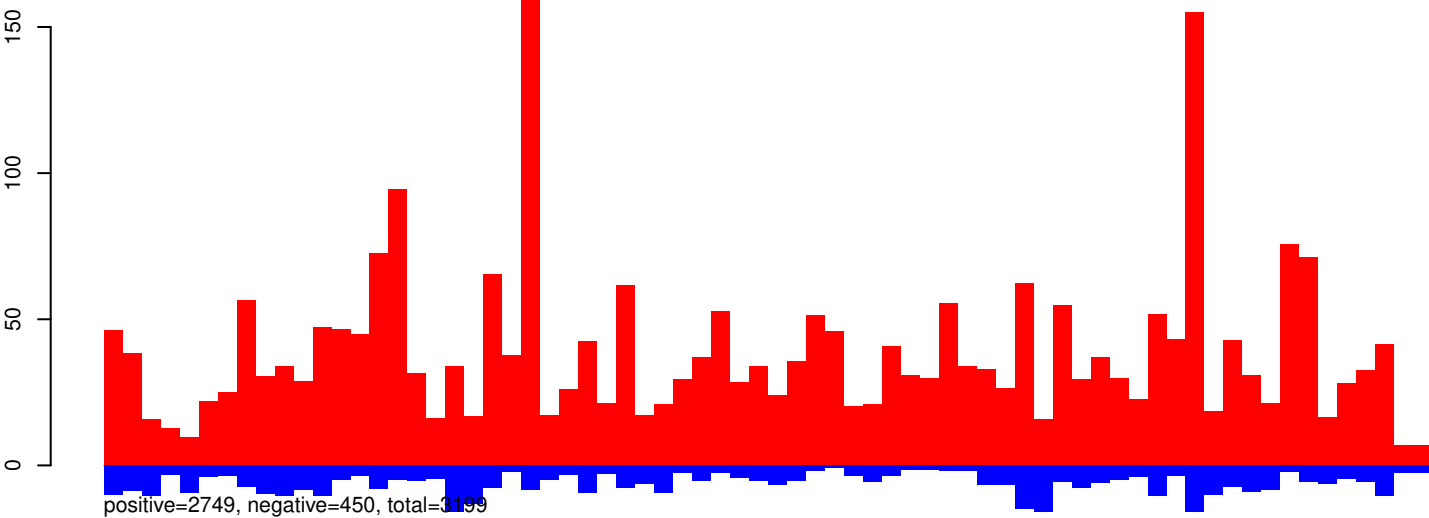
AeAeg_Aag2_Ago2_SINV_RA.24_35.rep



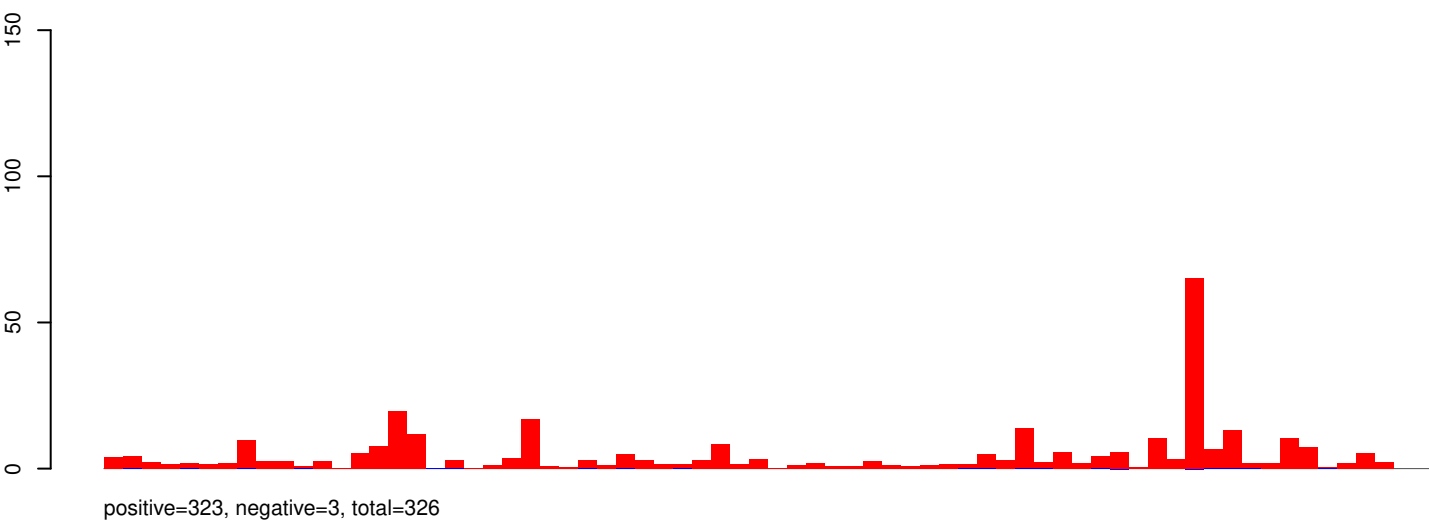
AeAeg_Aag2_Ago2_SINV_RA.rep



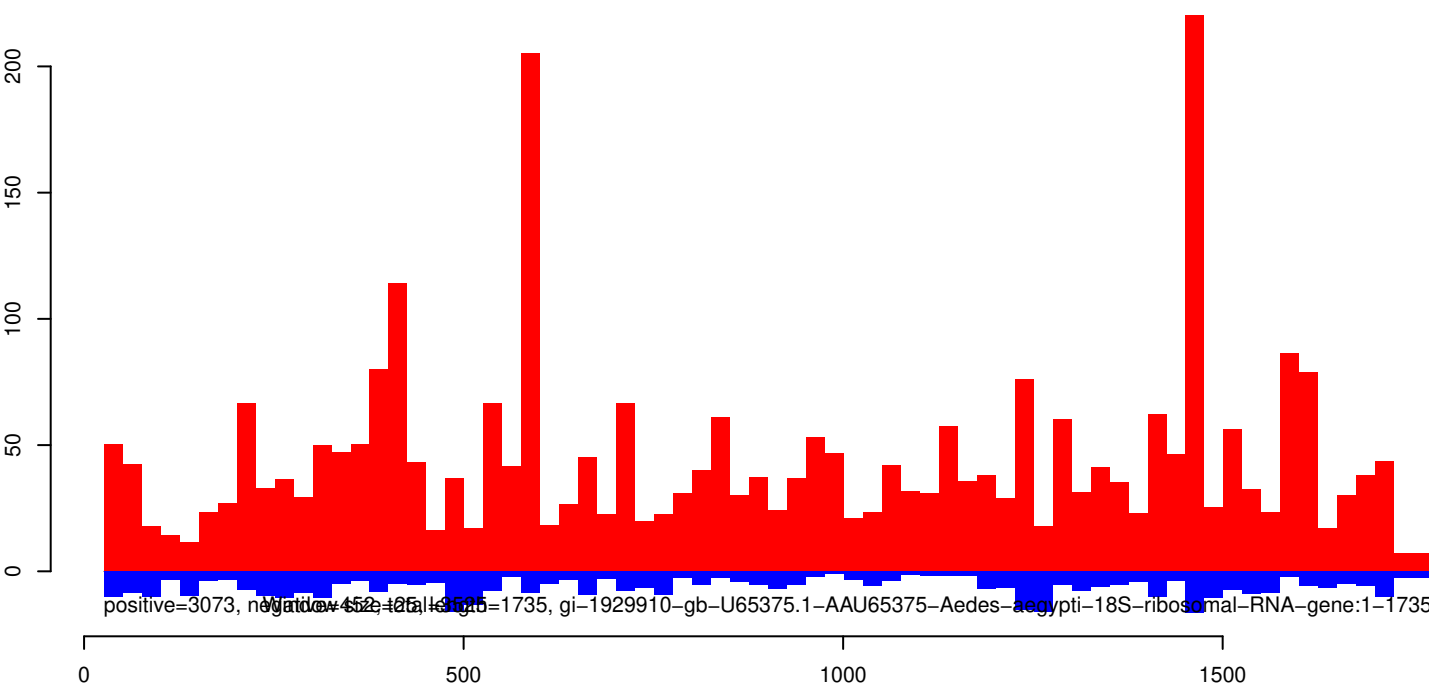
AeAeg_Aag2_Ago2_SINV_RA.18_23.rep



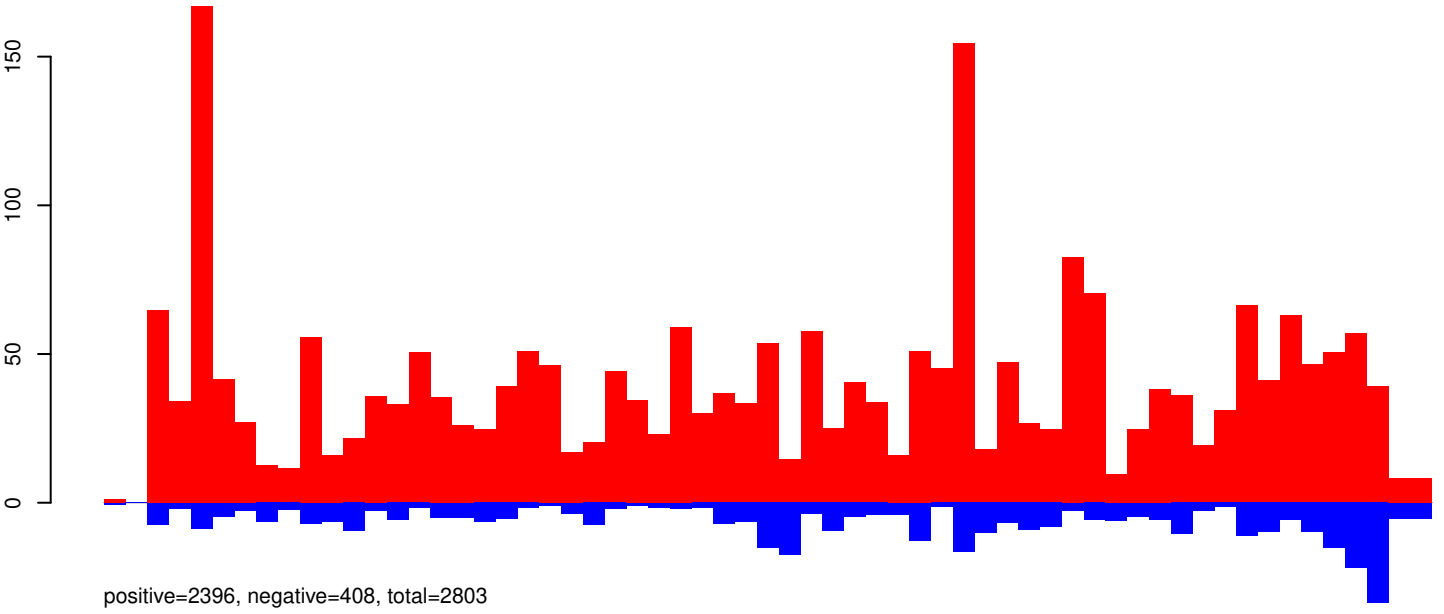
AeAeg_Aag2_Ago2_SINV_RA.24_35.rep



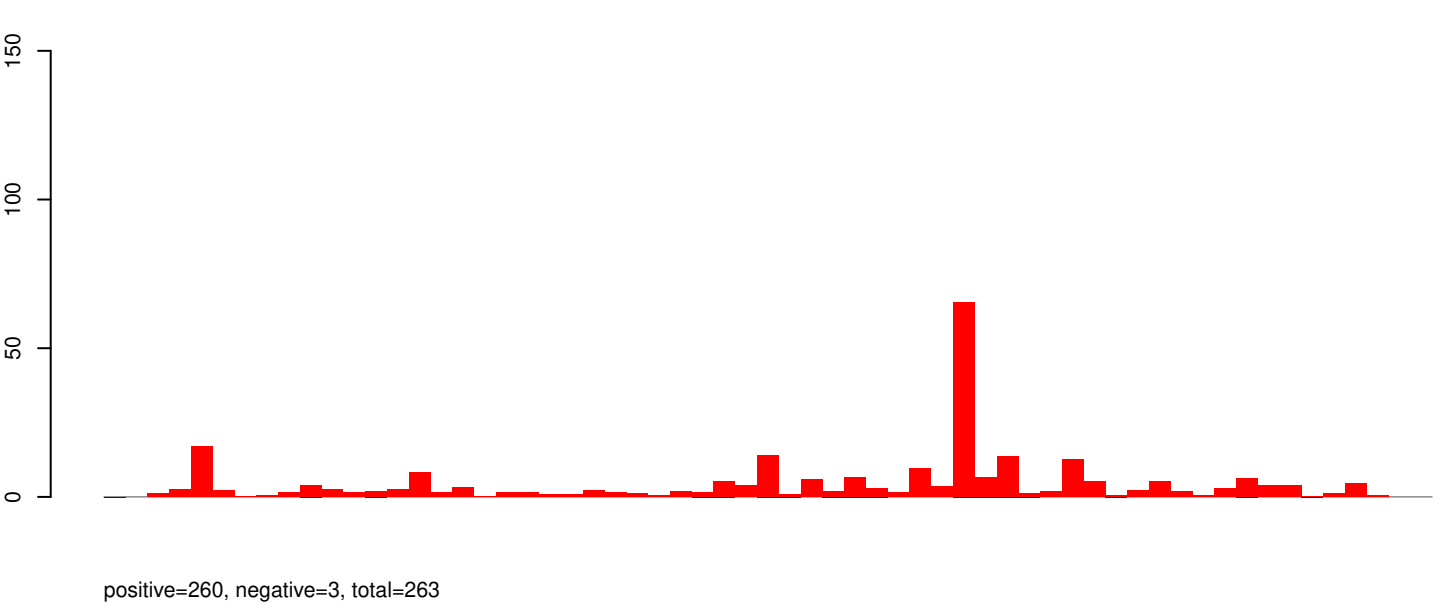
AeAeg_Aag2_Ago2_SINV_RA.rep



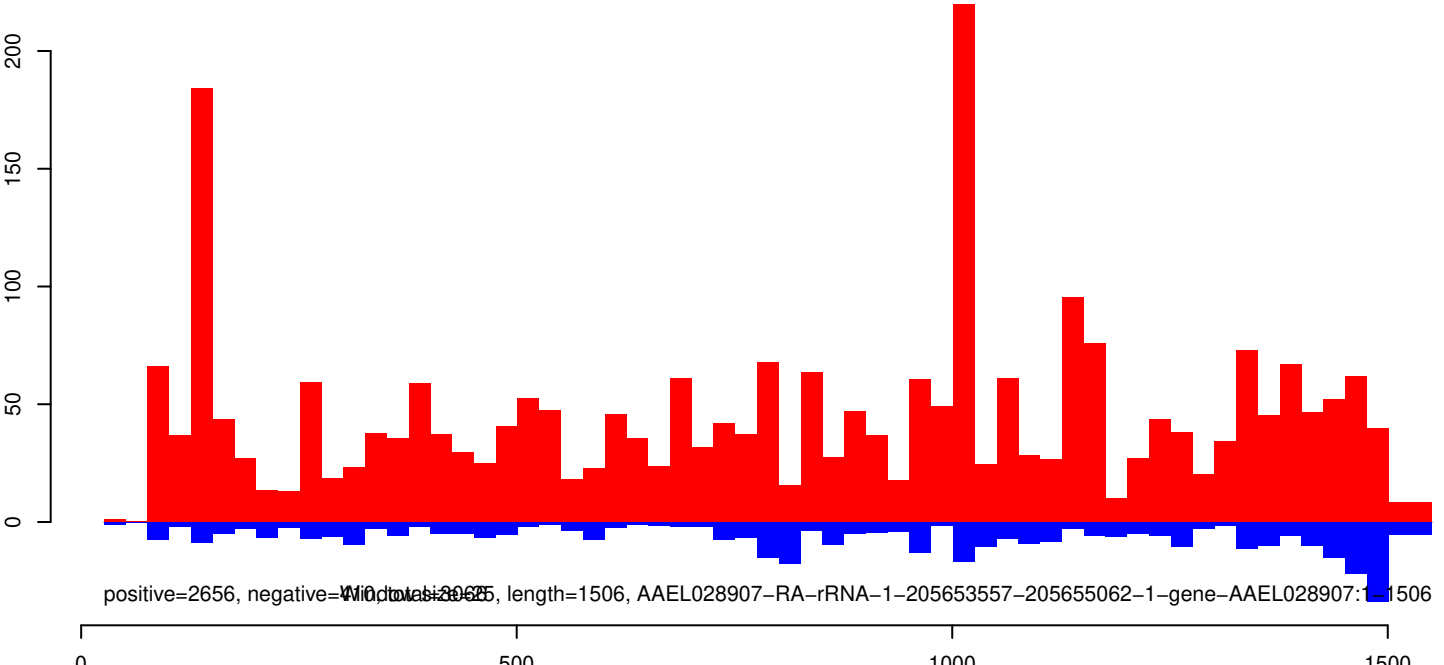
AeAeg_Aag2_Ago2_SINV_RA.18_23.rep



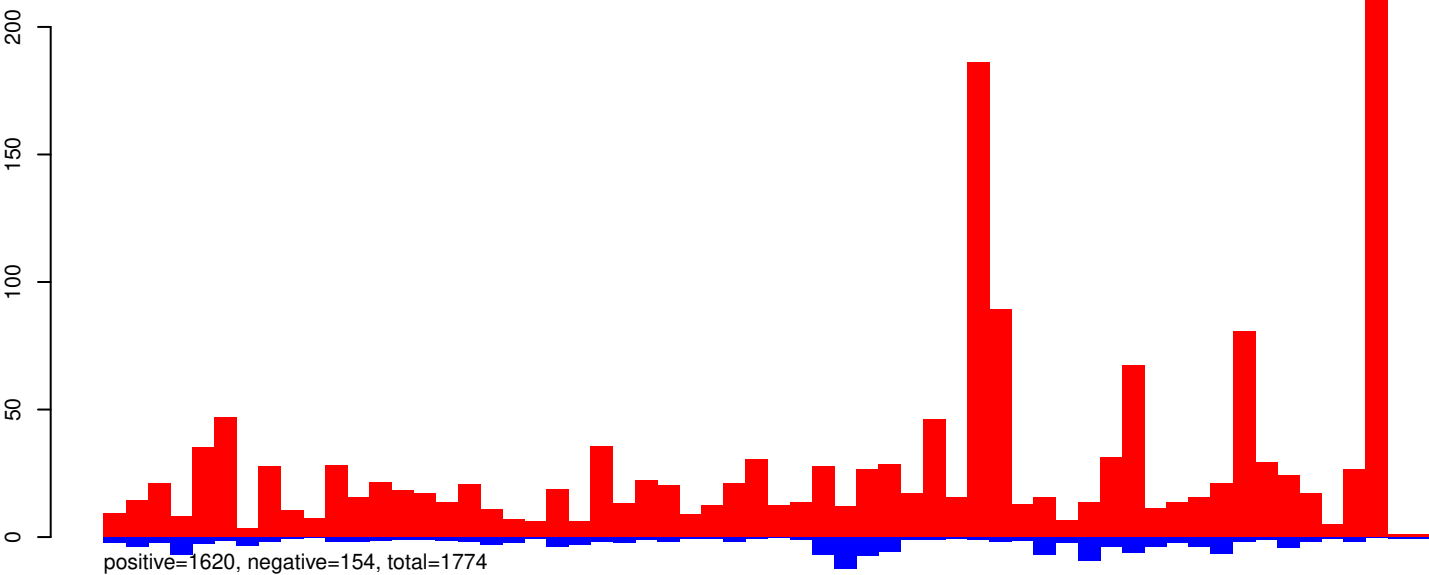
AeAeg_Aag2_Ago2_SINV_RA.24_35.rep



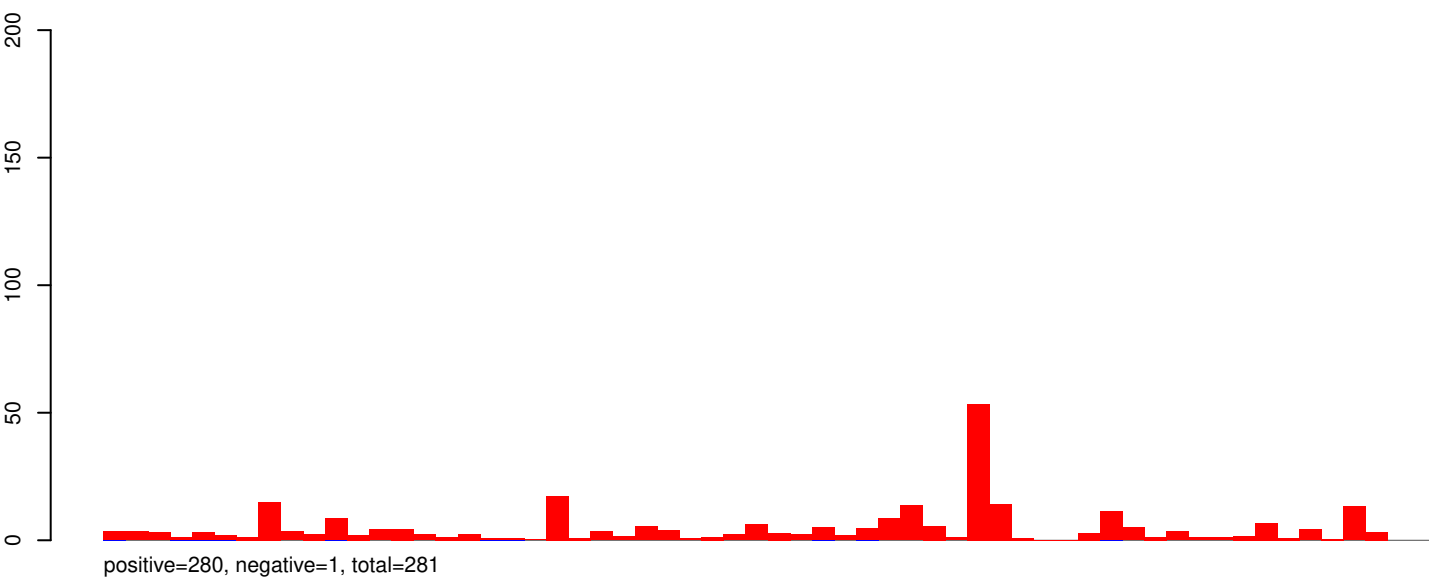
AeAeg_Aag2_Ago2_SINV_RA.rep



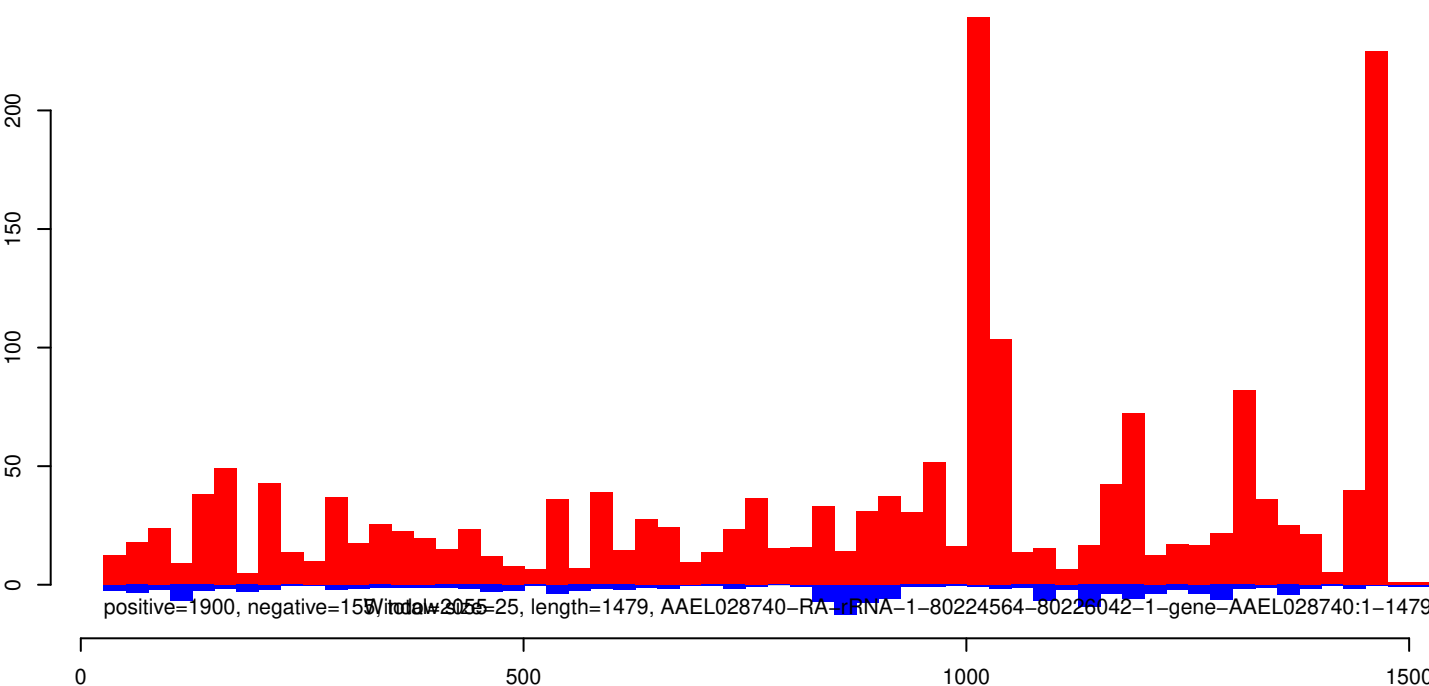
AeAeg_Aag2_Ago2_SINV_RA.18_23.rep



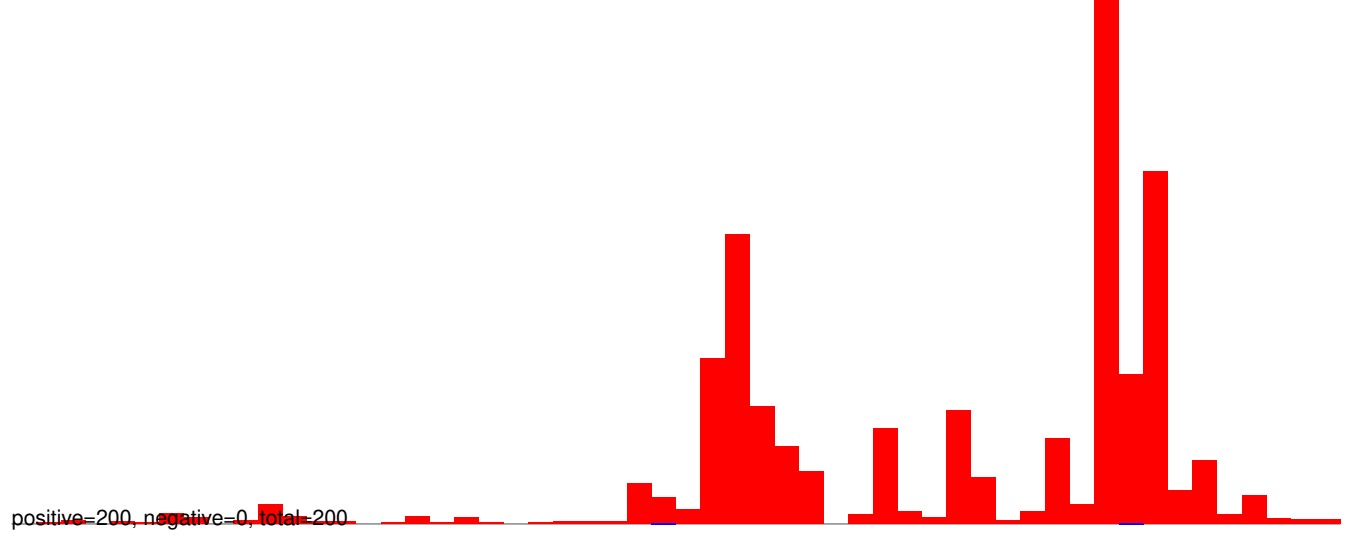
AeAeg_Aag2_Ago2_SINV_RA.24_35.rep



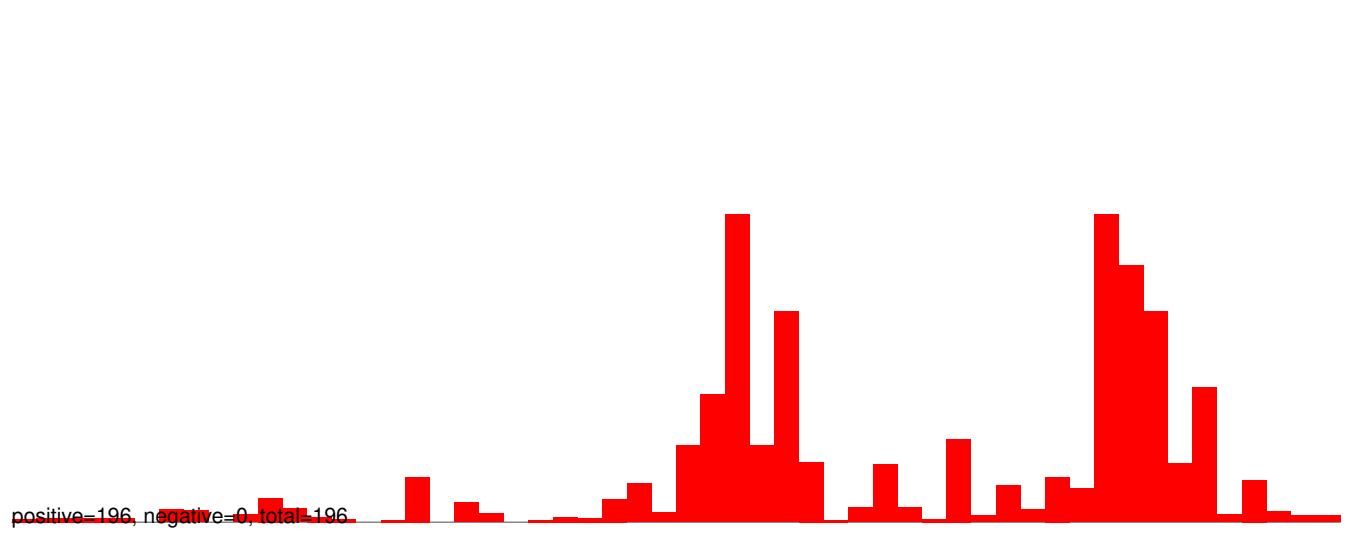
AeAeg_Aag2_Ago2_SINV_RA.rep



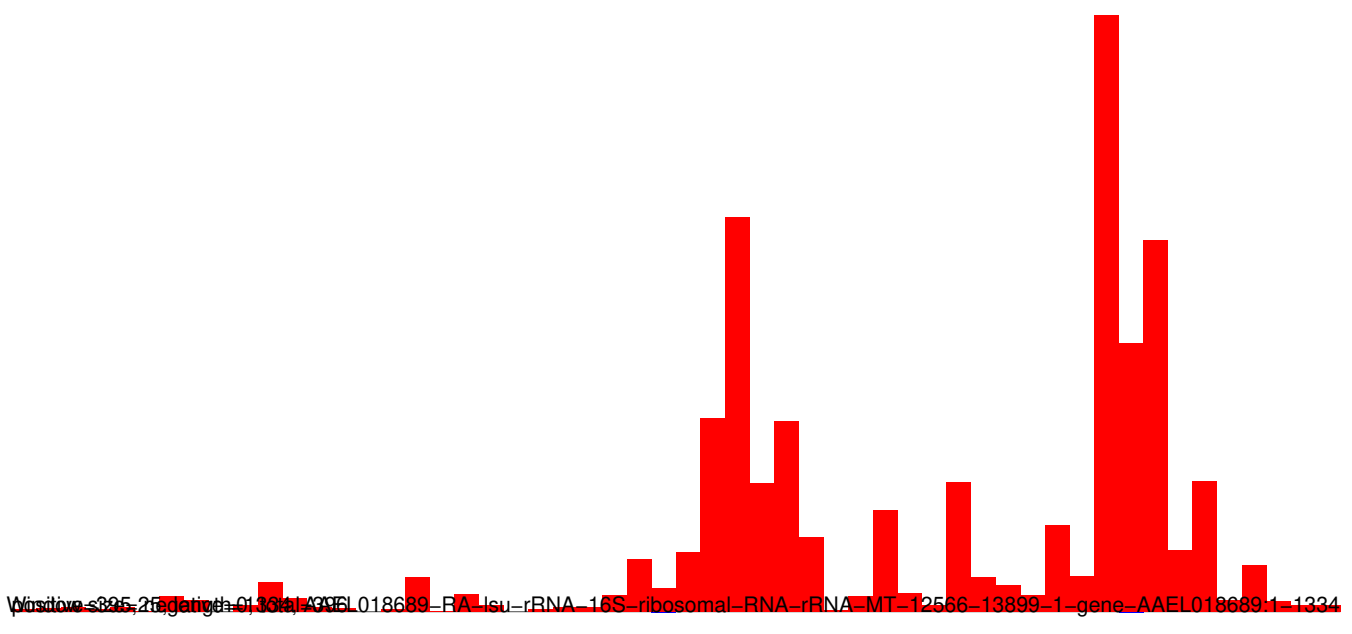
AeAeg_Aag2_Ago2_SINV_RA.18_23.rep



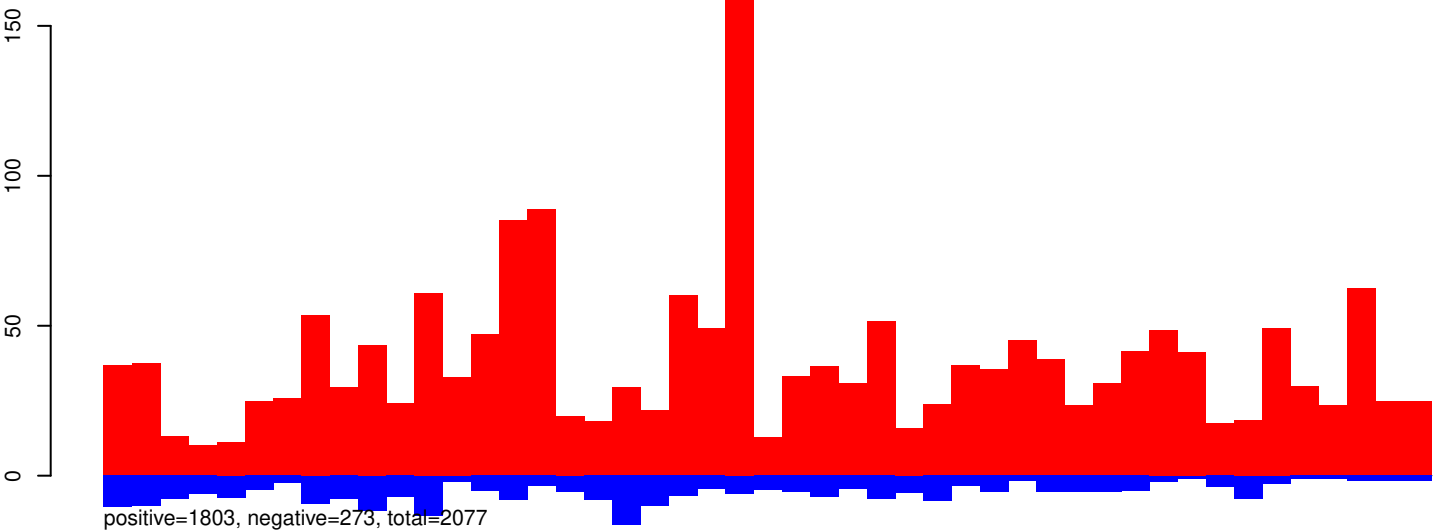
AeAeg_Aag2_Ago2_SINV_RA.24_35.rep



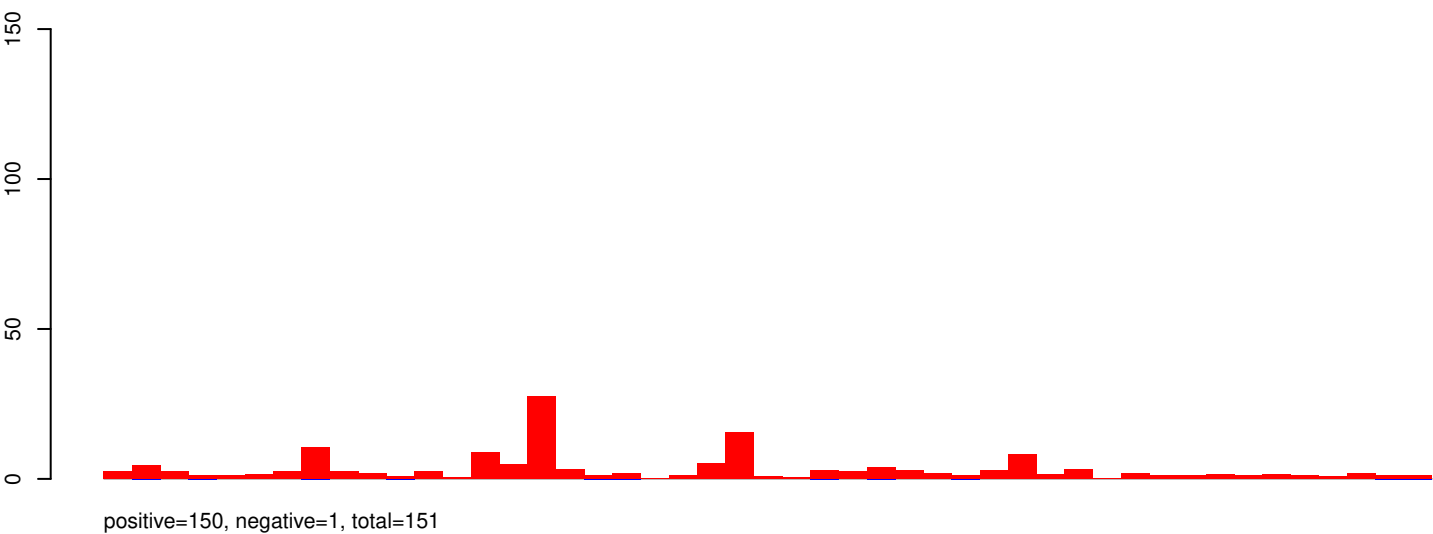
AeAeg_Aag2_Ago2_SINV_RA.rep



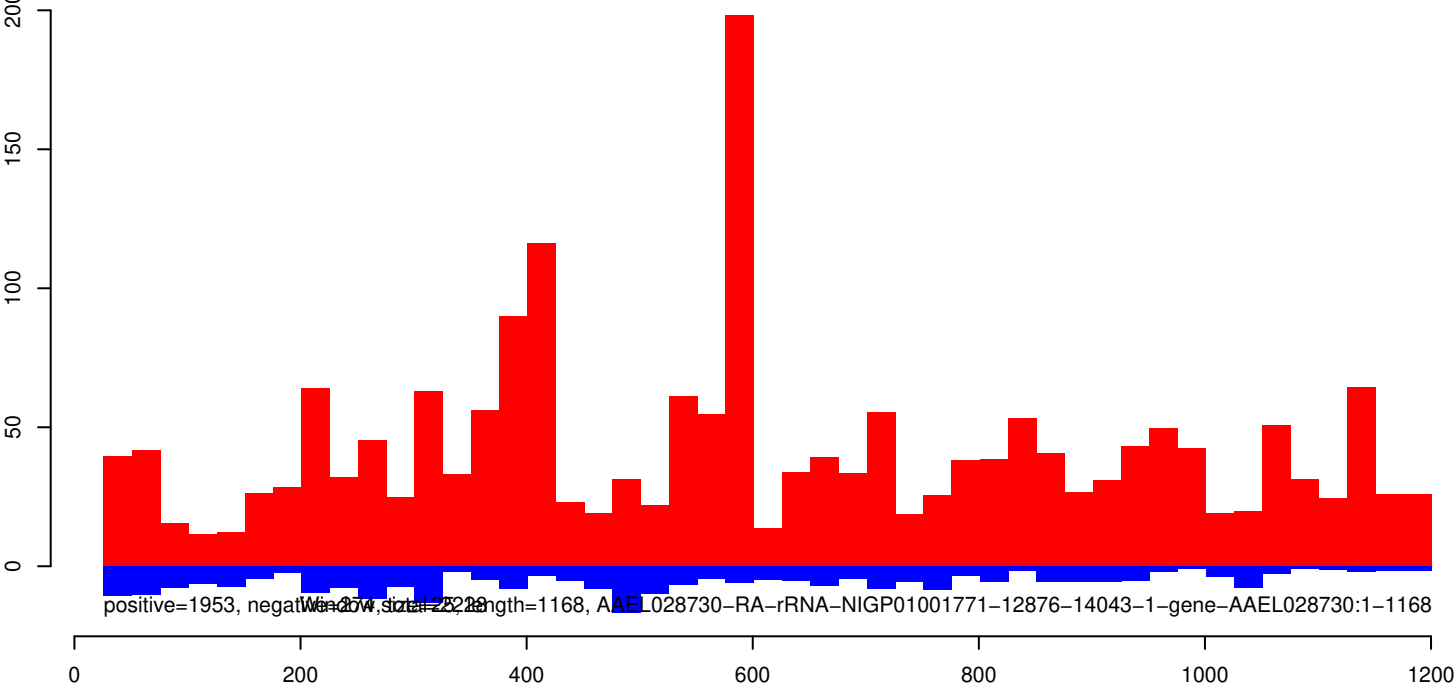
AeAeg_Aag2_Ago2_SINV_RA.18_23.rep



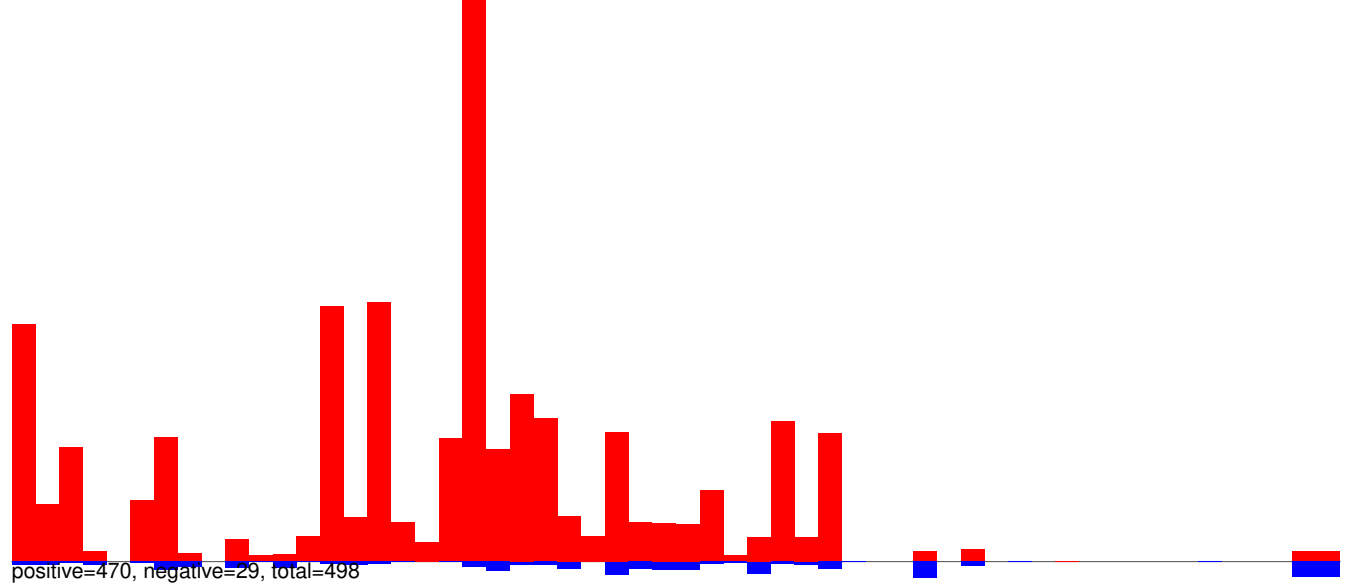
AeAeg_Aag2_Ago2_SINV_RA.24_35.rep



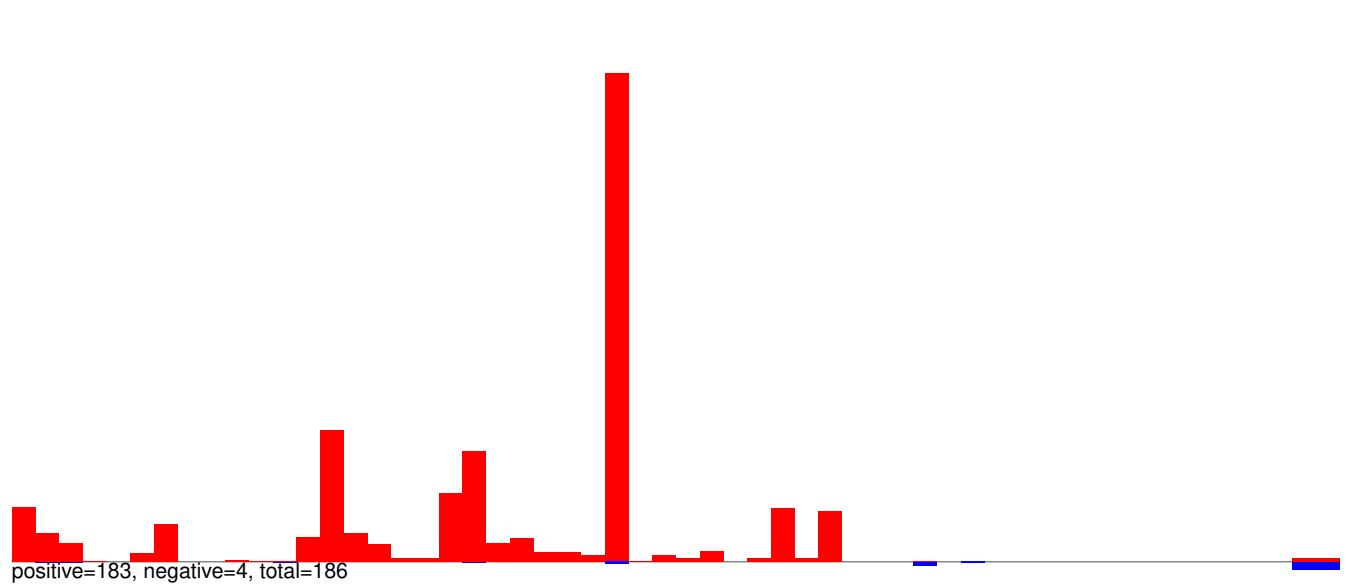
AeAeg_Aag2_Ago2_SINV_RA.rep



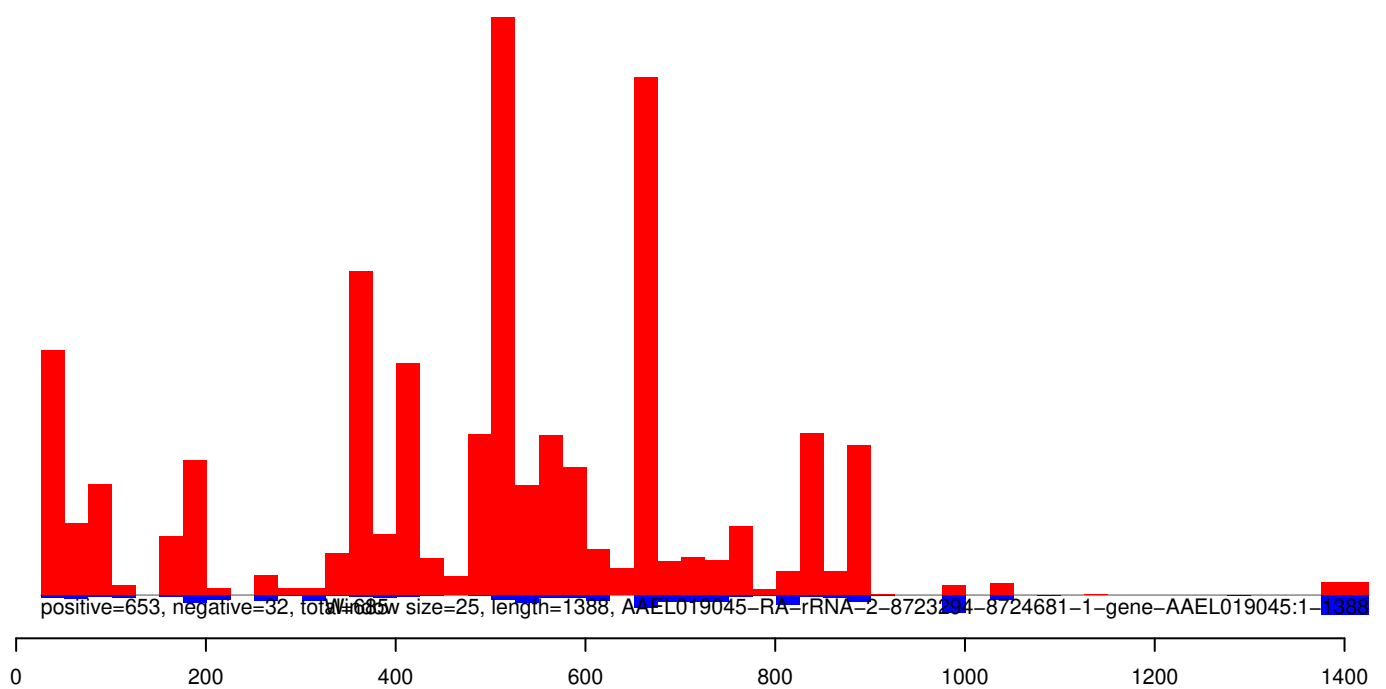
AeAeg_Aag2_Ago2_SINV_RA.18_23.rep



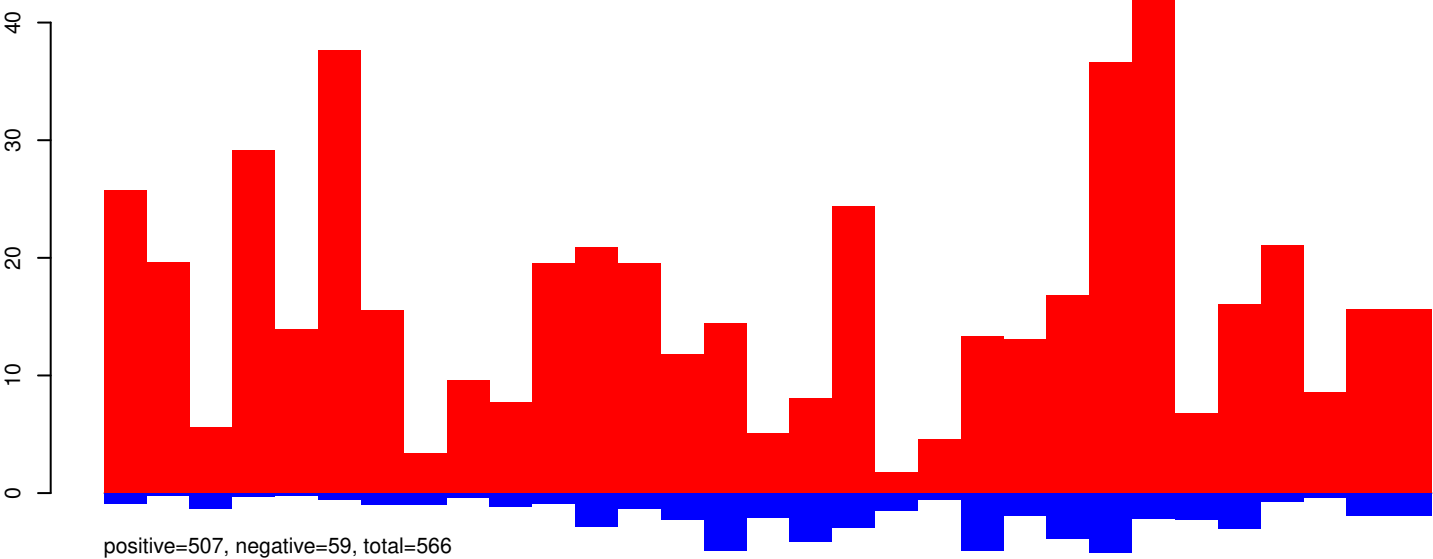
AeAeg_Aag2_Ago2_SINV_RA.24_35.rep



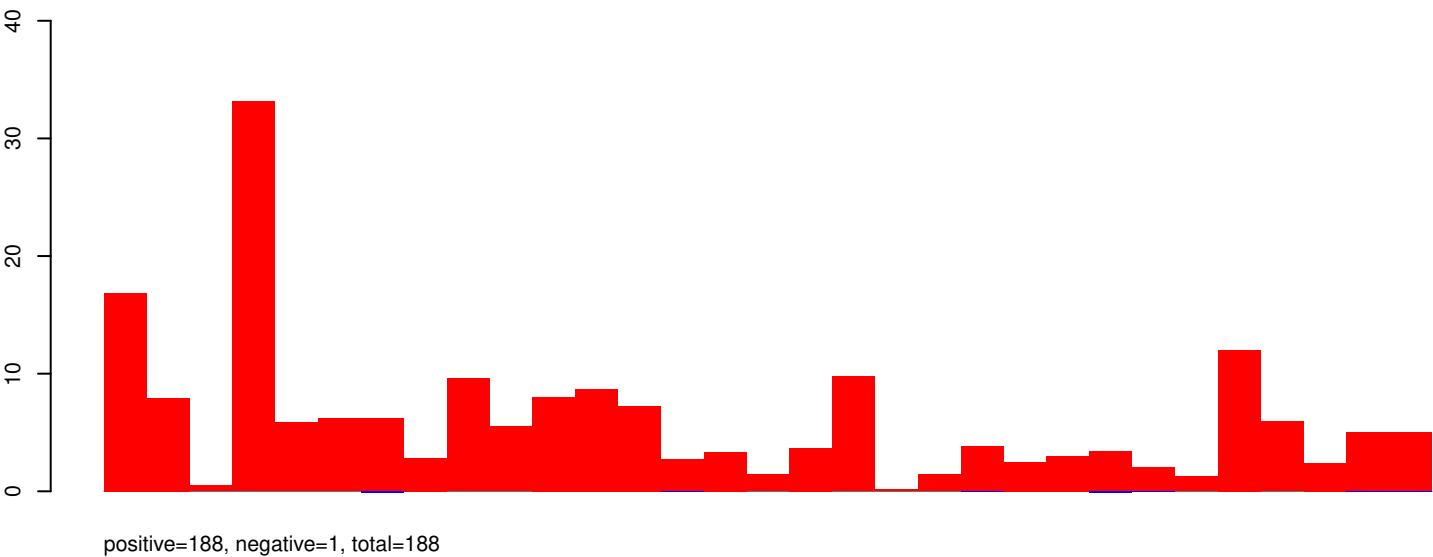
AeAeg_Aag2_Ago2_SINV_RA.rep



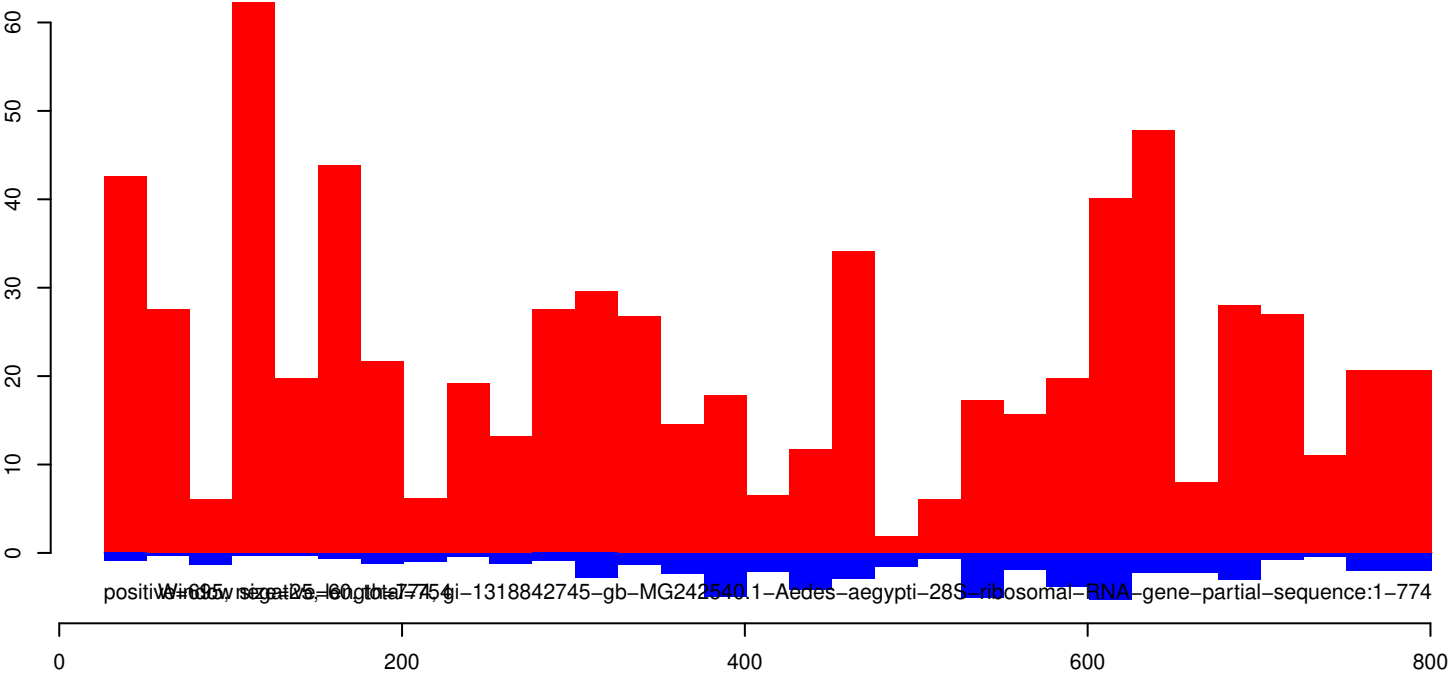
AeAeg_Aag2_Ago2_SINV_RA.18_23.rep



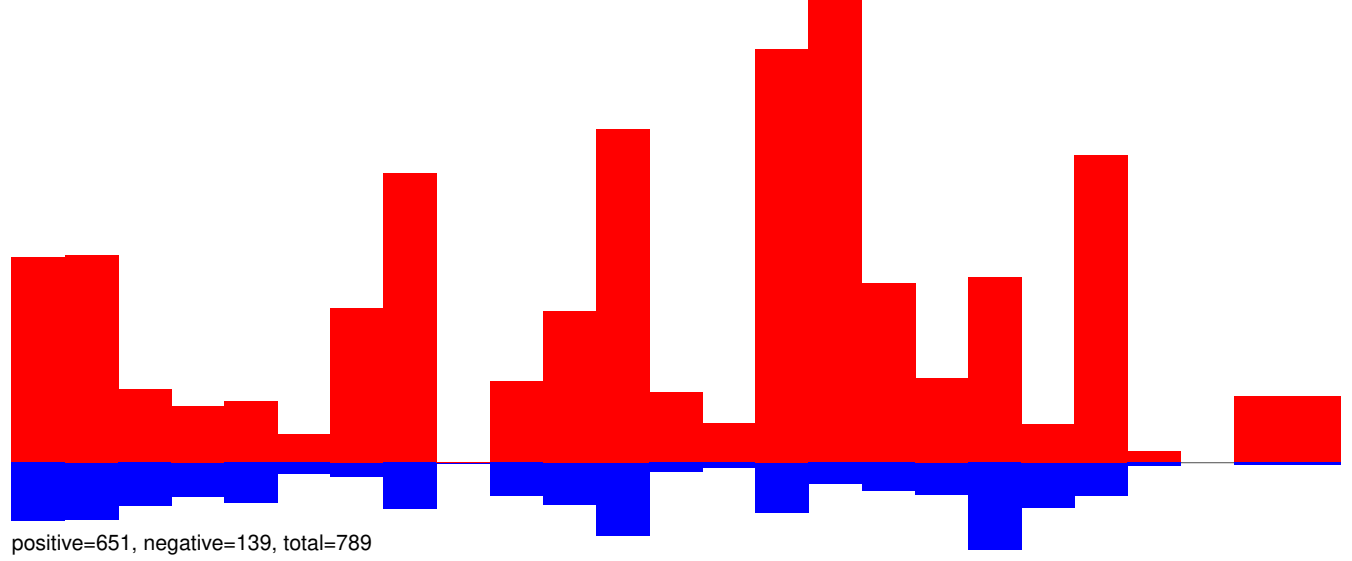
AeAeg_Aag2_Ago2_SINV_RA.24_35.rep



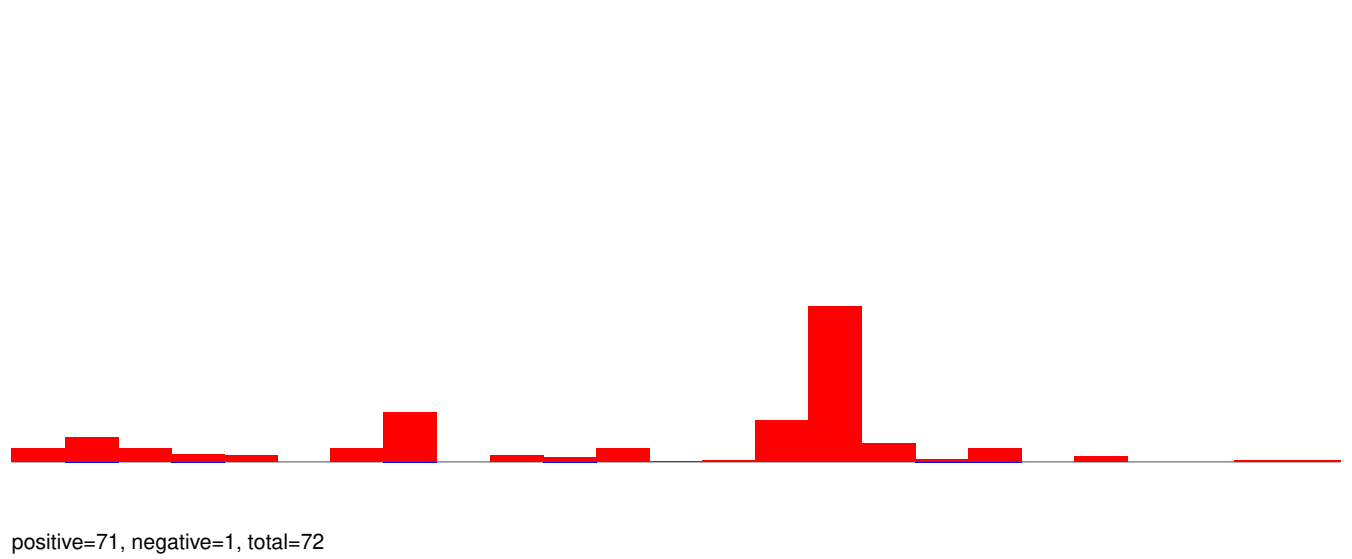
AeAeg_Aag2_Ago2_SINV_RA.rep



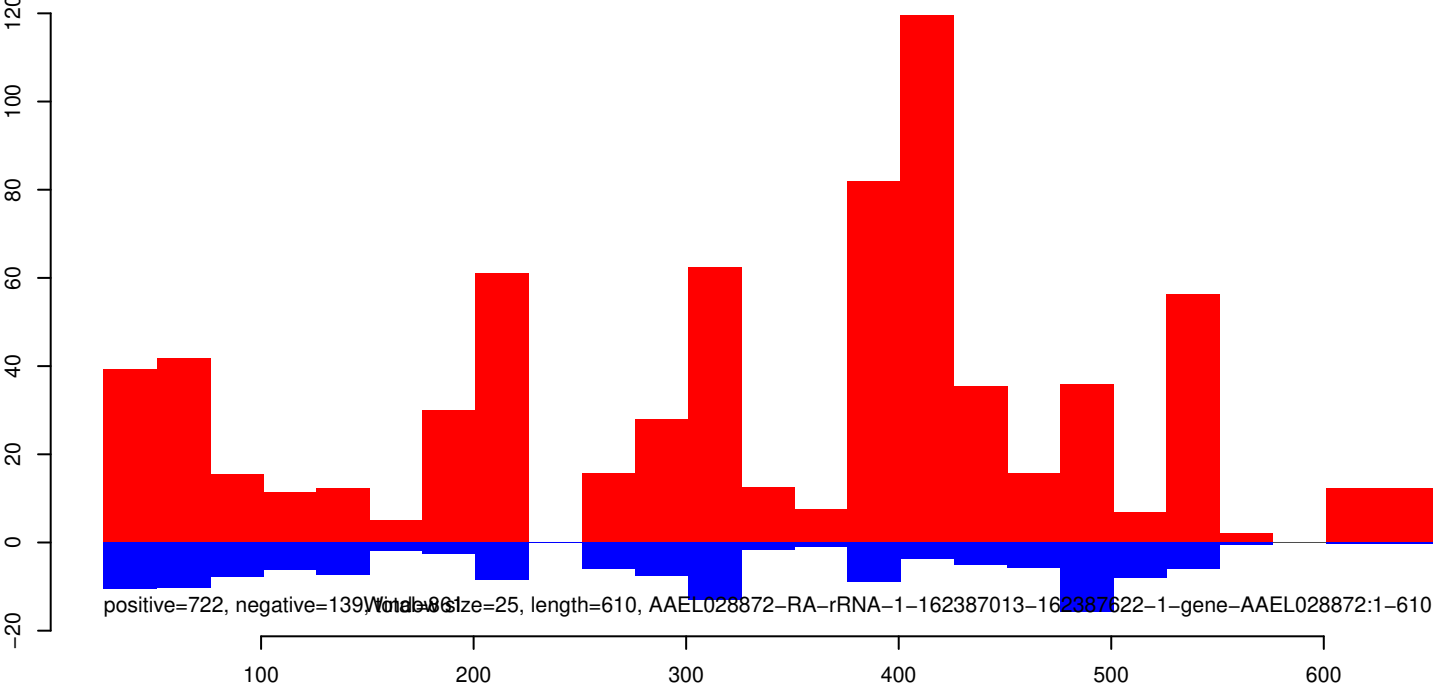
AeAeg_Aag2_Ago2_SINV_RA.18_23.rep



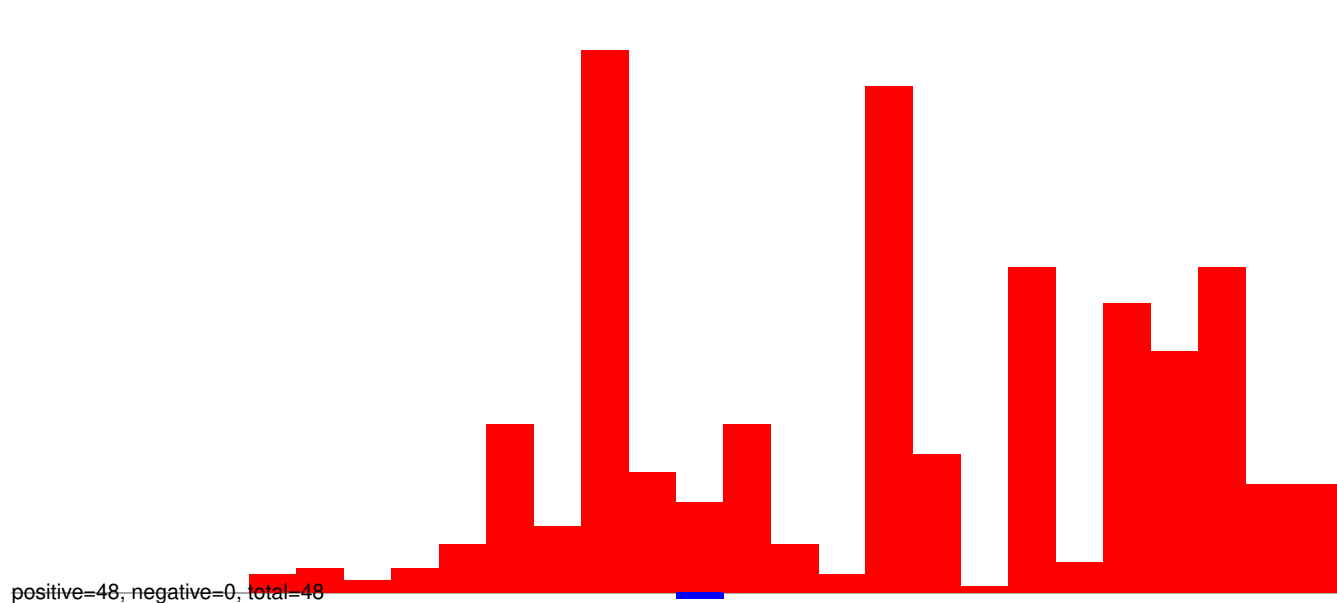
AeAeg_Aag2_Ago2_SINV_RA.24_35.rep



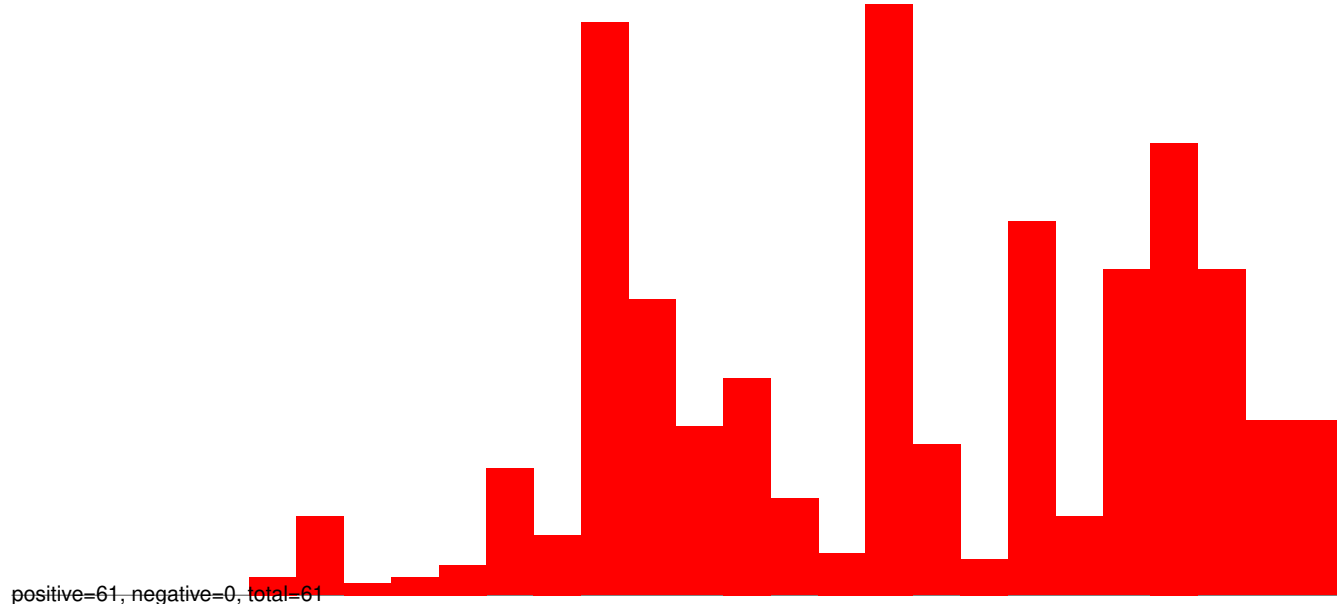
AeAeg_Aag2_Ago2_SINV_RA.rep



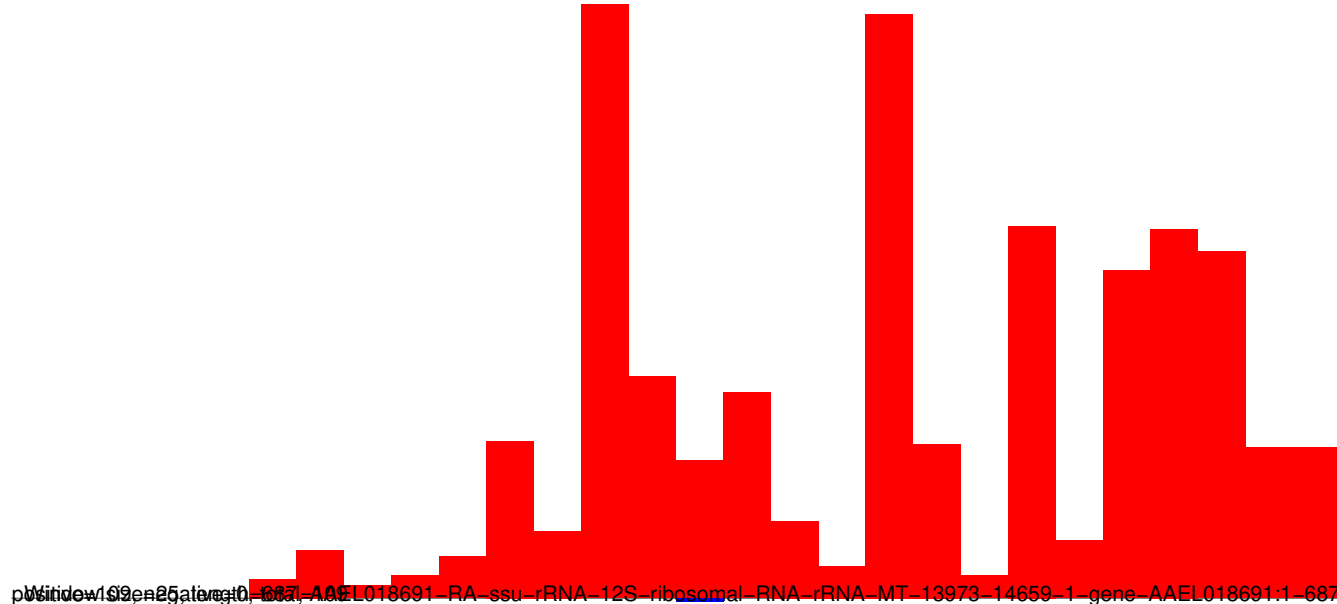
AeAeg_Aag2_Ago2_SINV_RA.18_23.rep



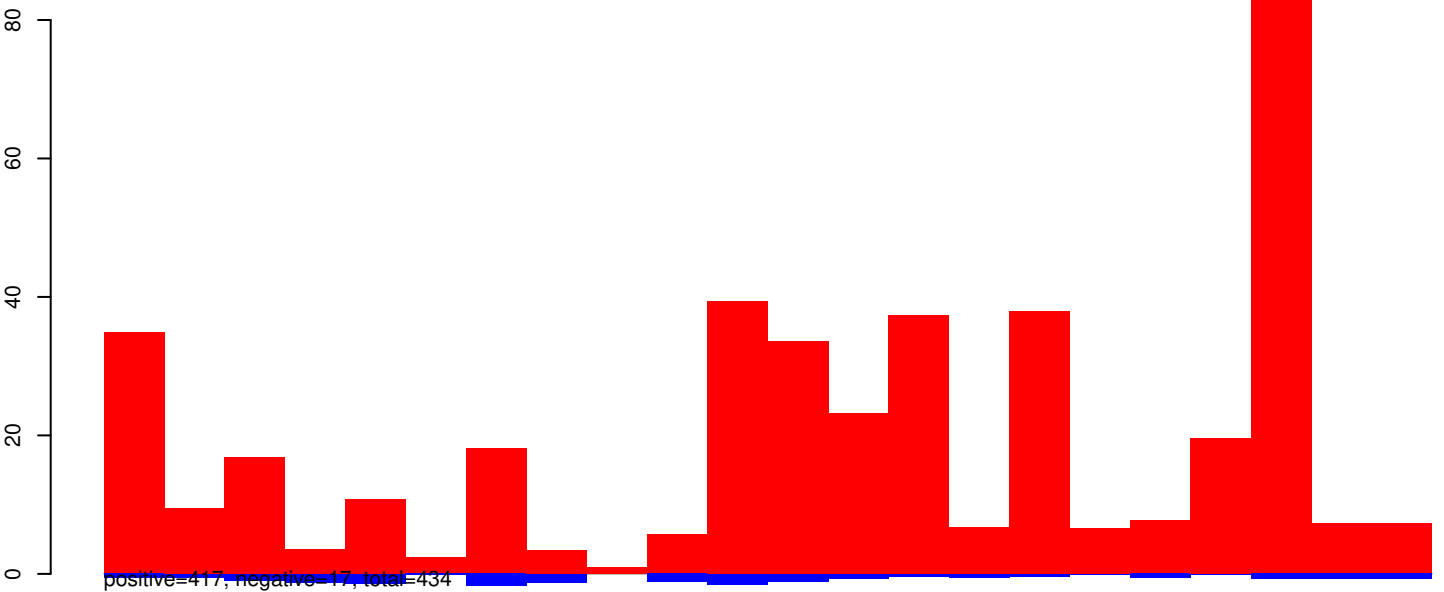
AeAeg_Aag2_Ago2_SINV_RA.24_35.rep



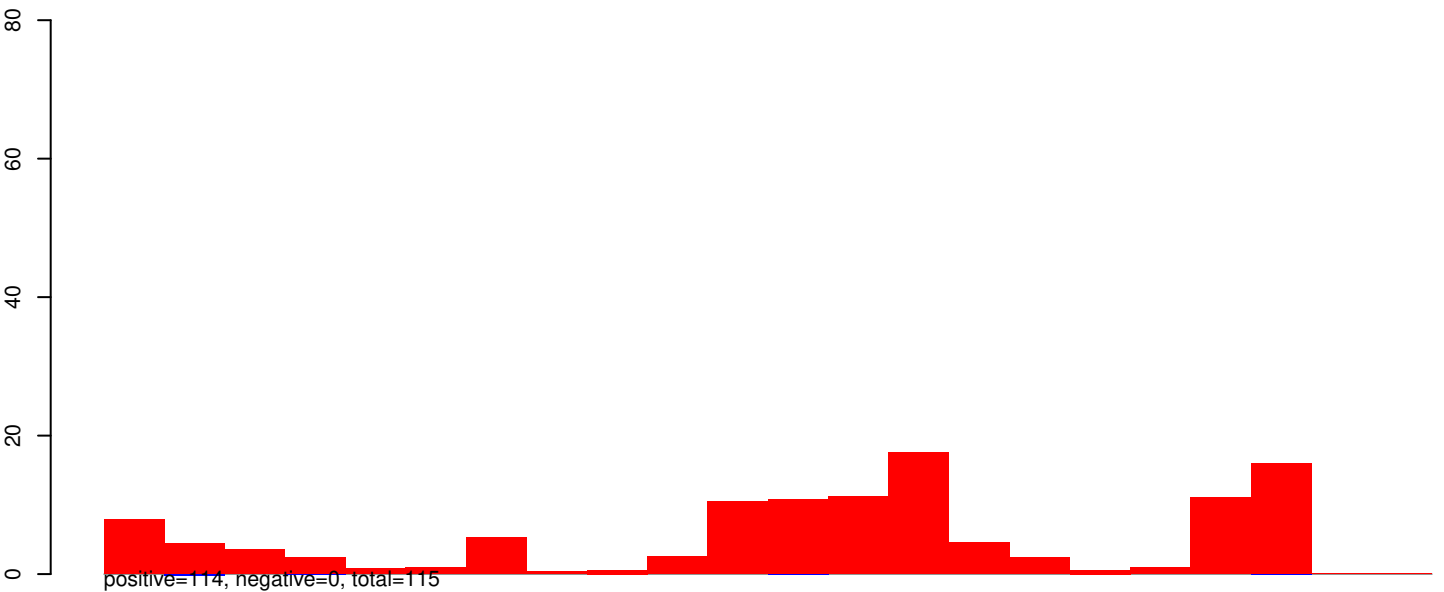
AeAeg_Aag2_Ago2_SINV_RA.rep



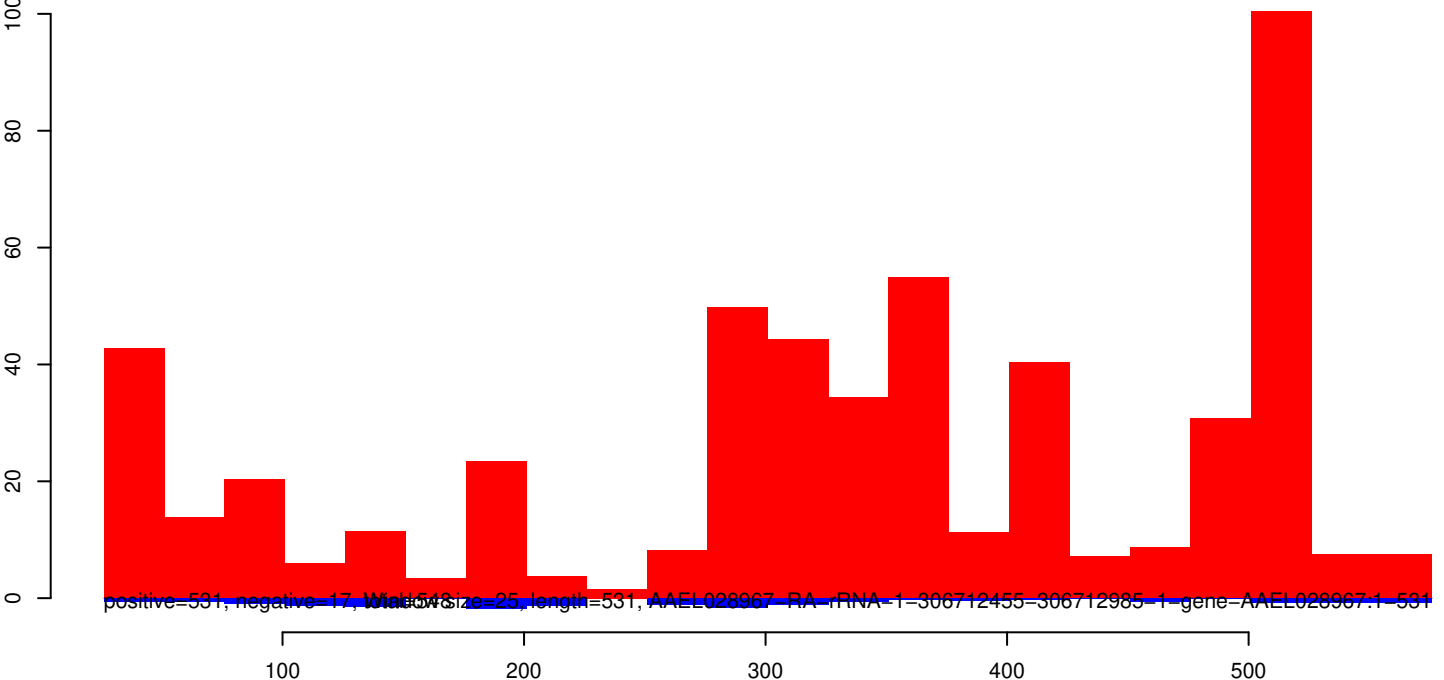
AeAeg_Aag2_Ago2_SINV_RA.18_23.rep



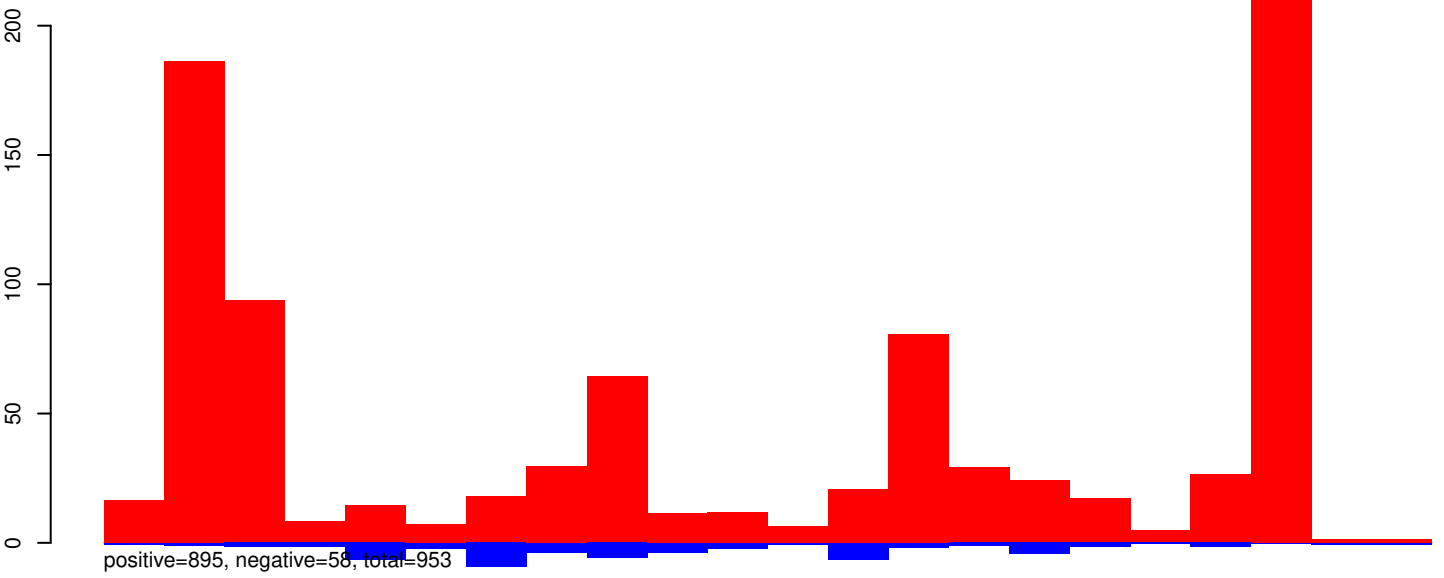
AeAeg_Aag2_Ago2_SINV_RA.24_35.rep



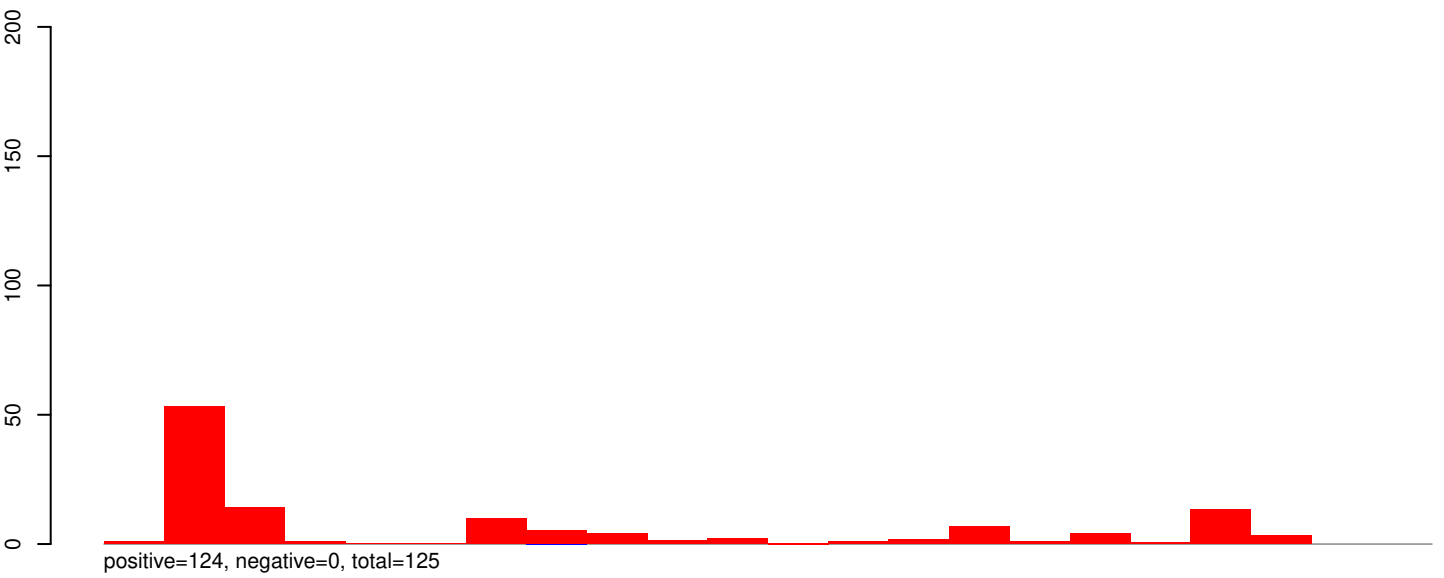
AeAeg_Aag2_Ago2_SINV_RA.rep



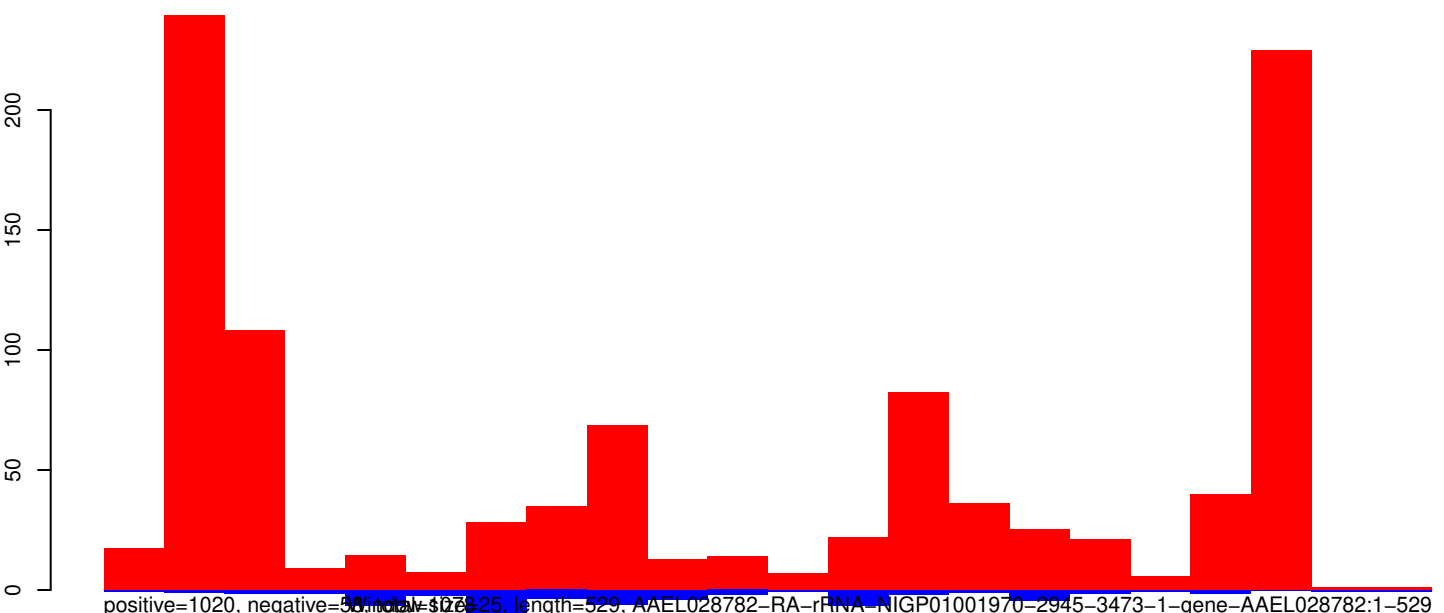
AeAeg_Aag2_Ago2_SINV_RA.18_23.rep



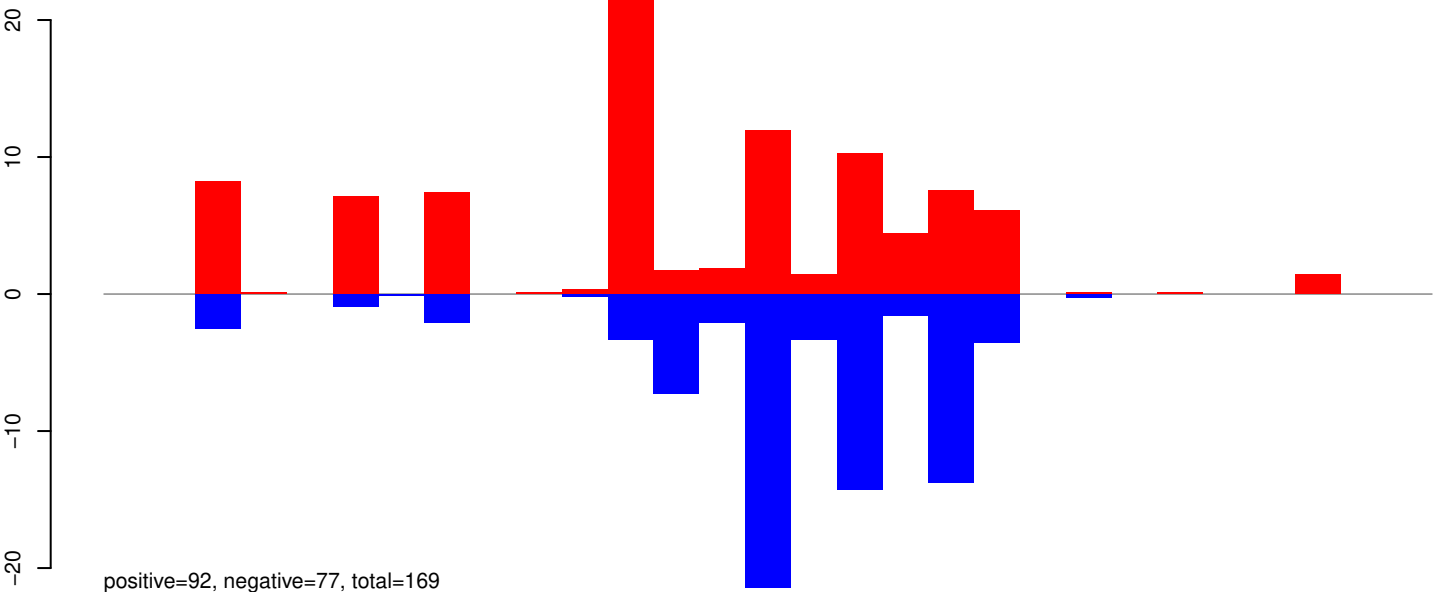
AeAeg_Aag2_Ago2_SINV_RA.24_35.rep



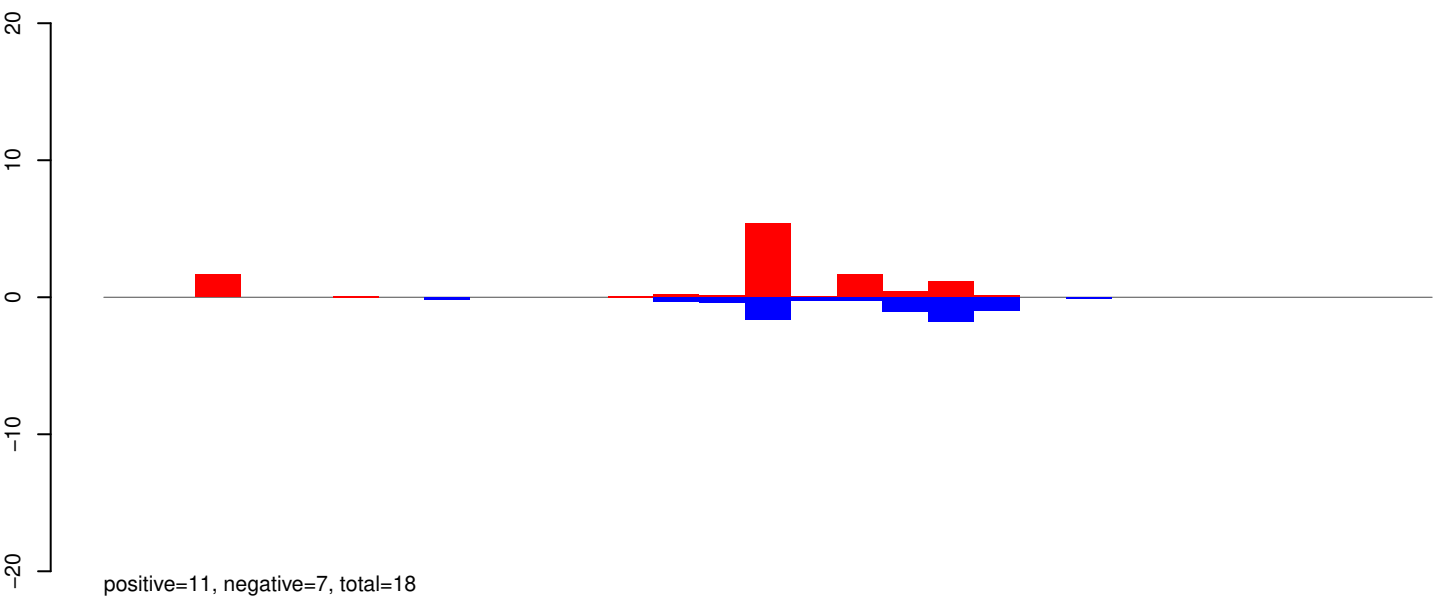
AeAeg_Aag2_Ago2_SINV_RA.rep



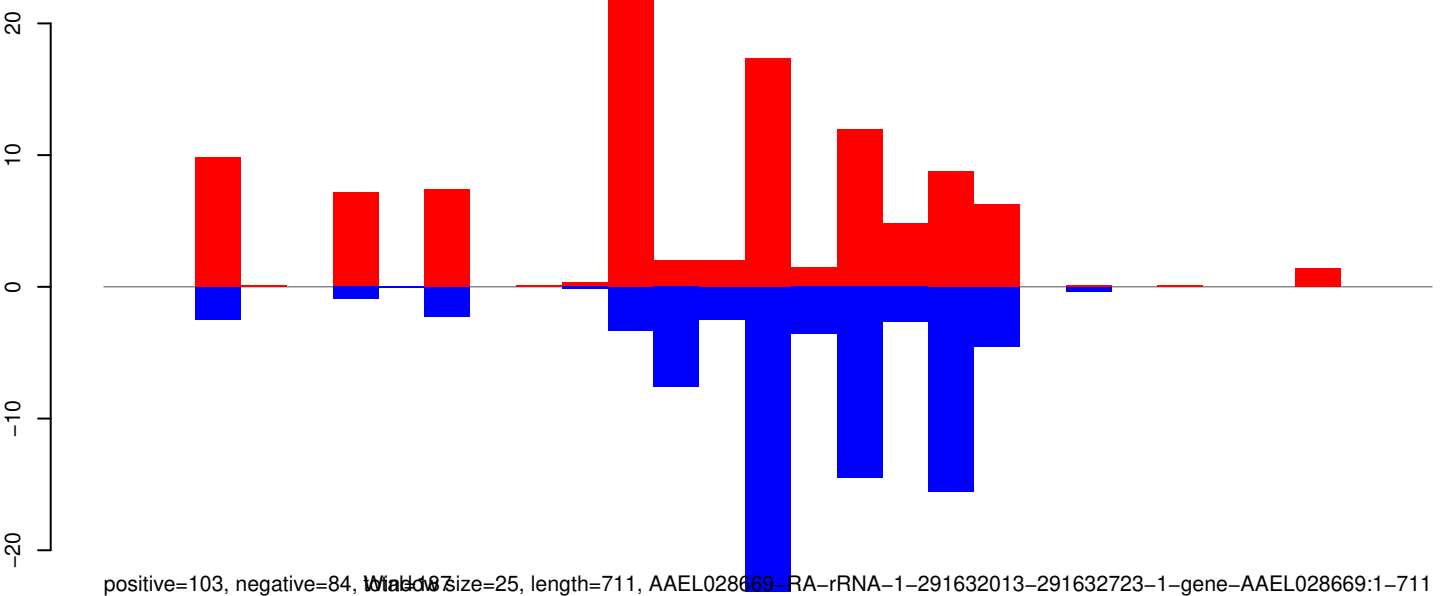
AeAeg_Aag2_Ago2_SINV_RA.18_23.rep



AeAeg_Aag2_Ago2_SINV_RA.24_35.rep

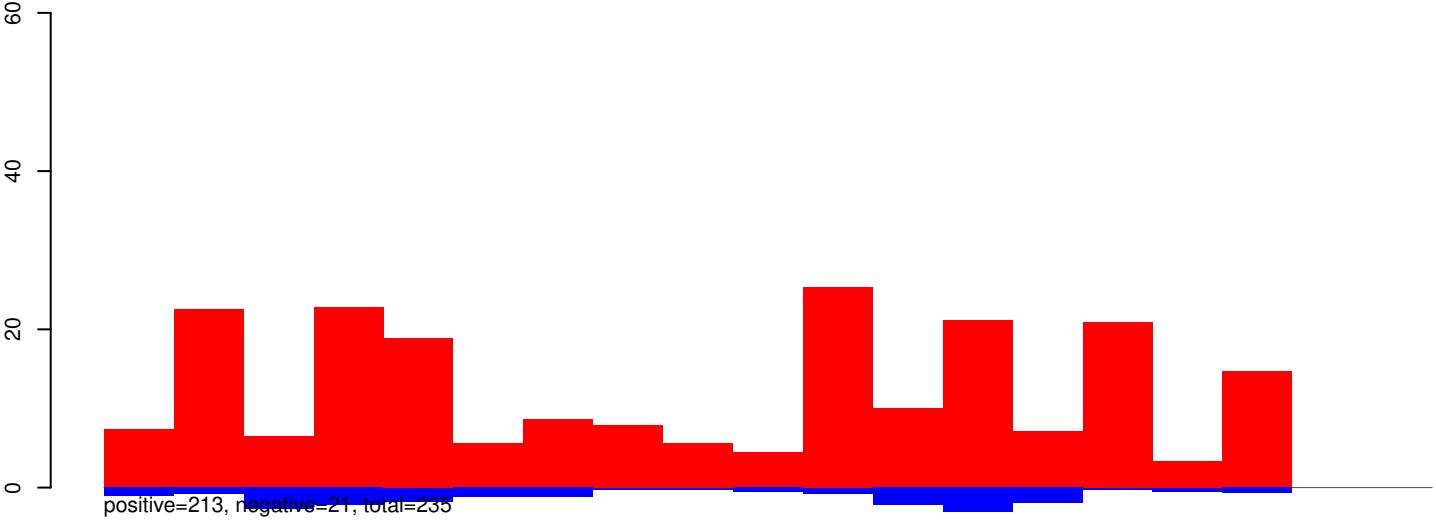


AeAeg_Aag2_Ago2_SINV_RA.rep

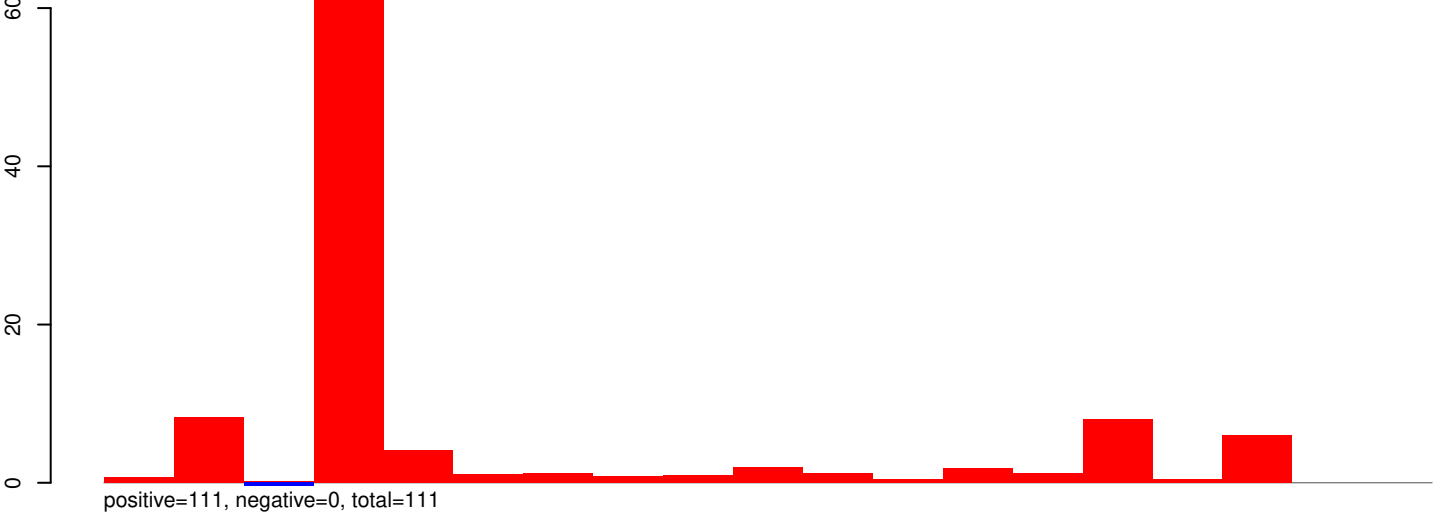


Window size=25, length=711, AAEL028669-RA-rRNA-1-291632013-291632723-1-gene-AAEL028669:1-711

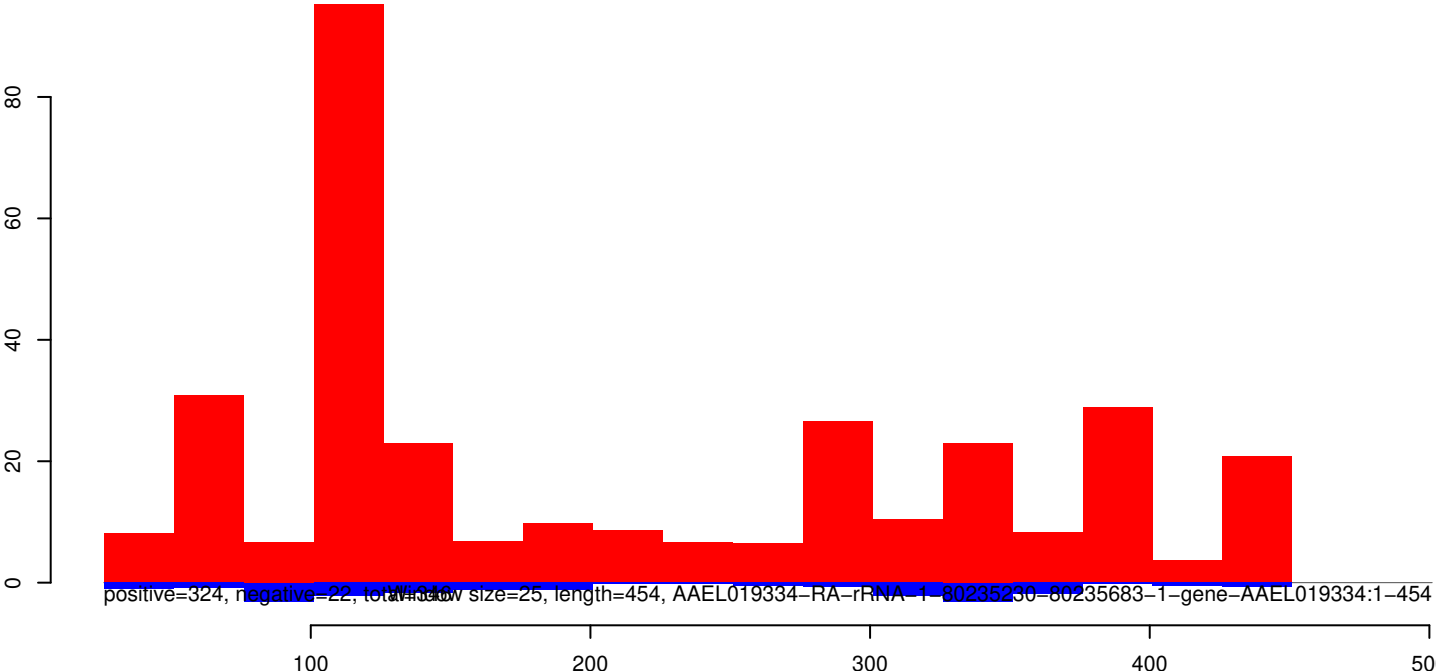
AeAeg_Aag2_Ago2_SINV_RA.18_23.rep



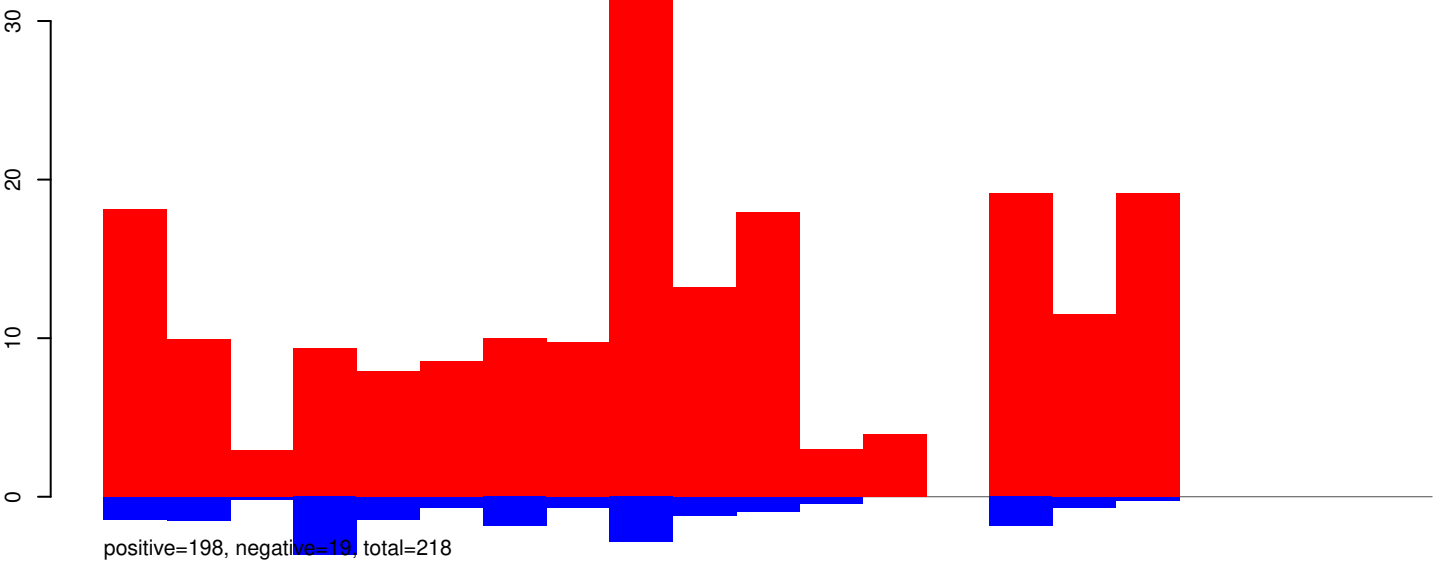
AeAeg_Aag2_Ago2_SINV_RA.24_35.rep



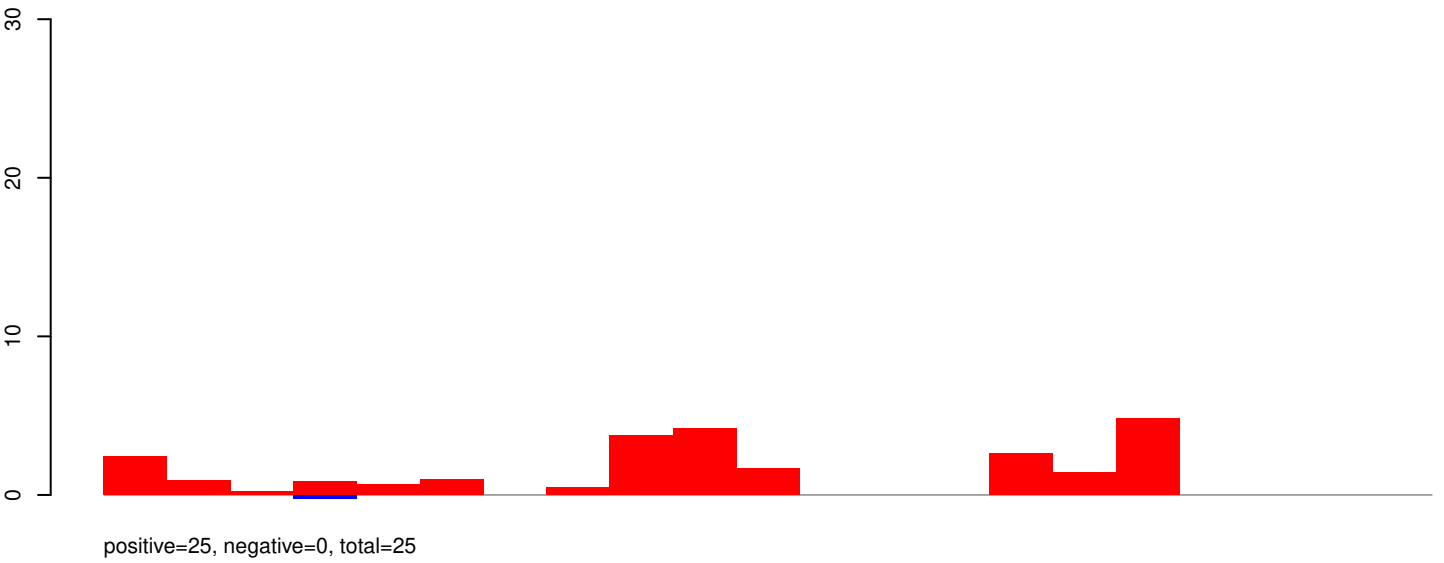
AeAeg_Aag2_Ago2_SINV_RA.rep



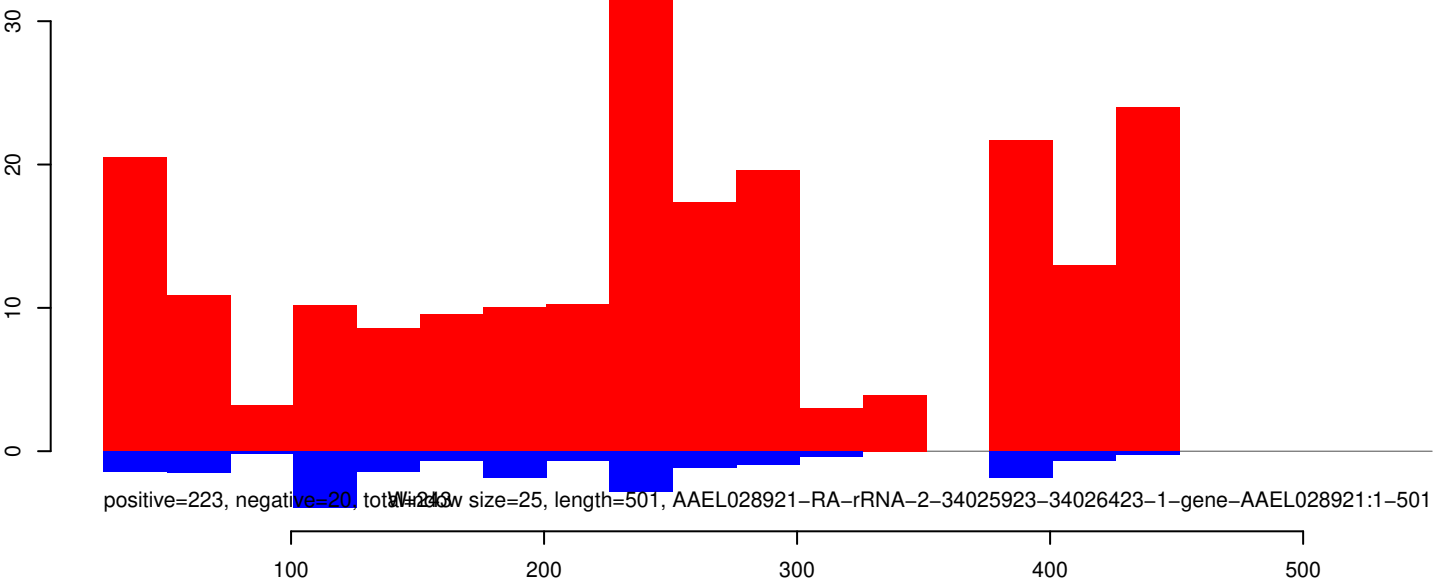
AeAeg_Aag2_Ago2_SINV_RA.18_23.rep



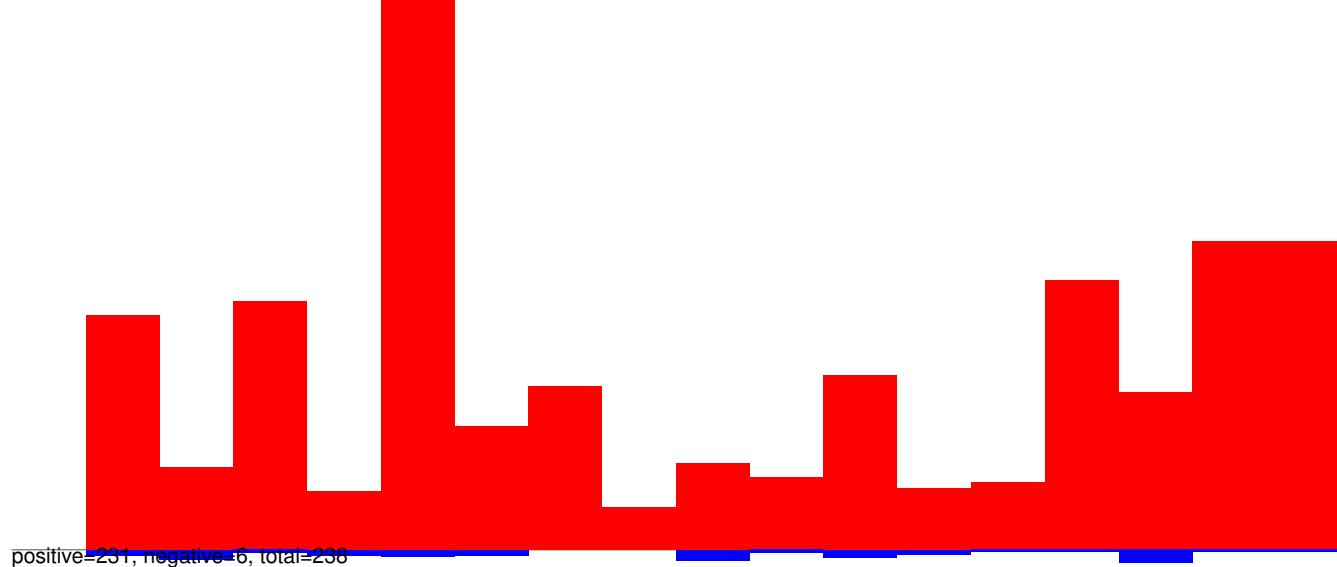
AeAeg_Aag2_Ago2_SINV_RA.24_35.rep



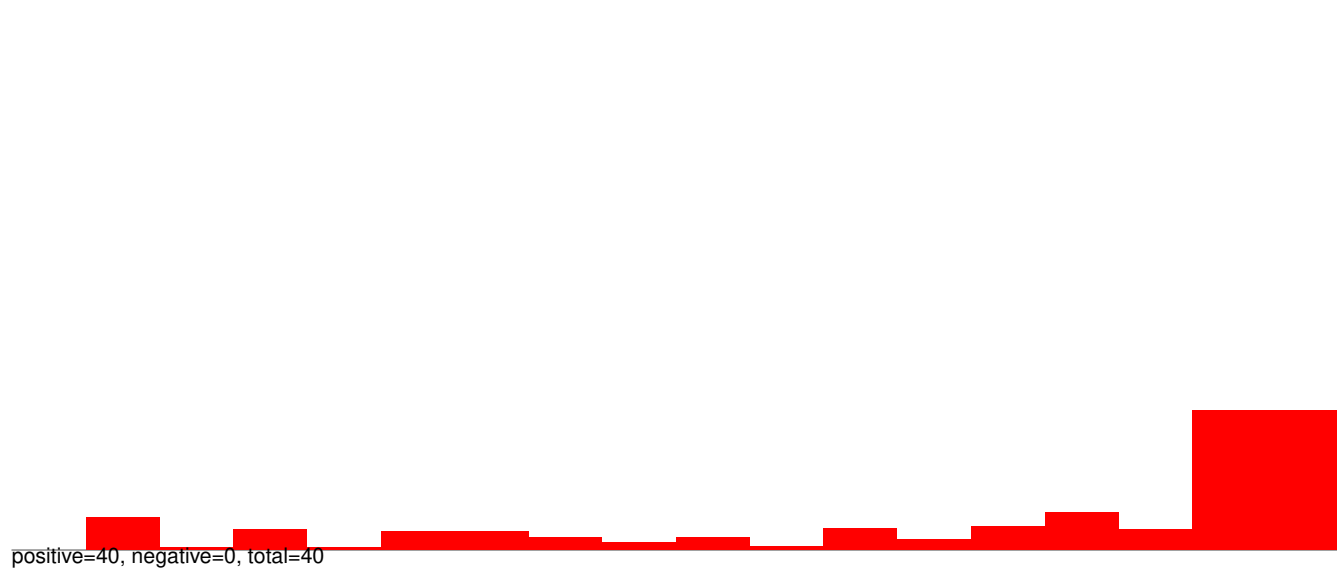
AeAeg_Aag2_Ago2_SINV_RA.rep



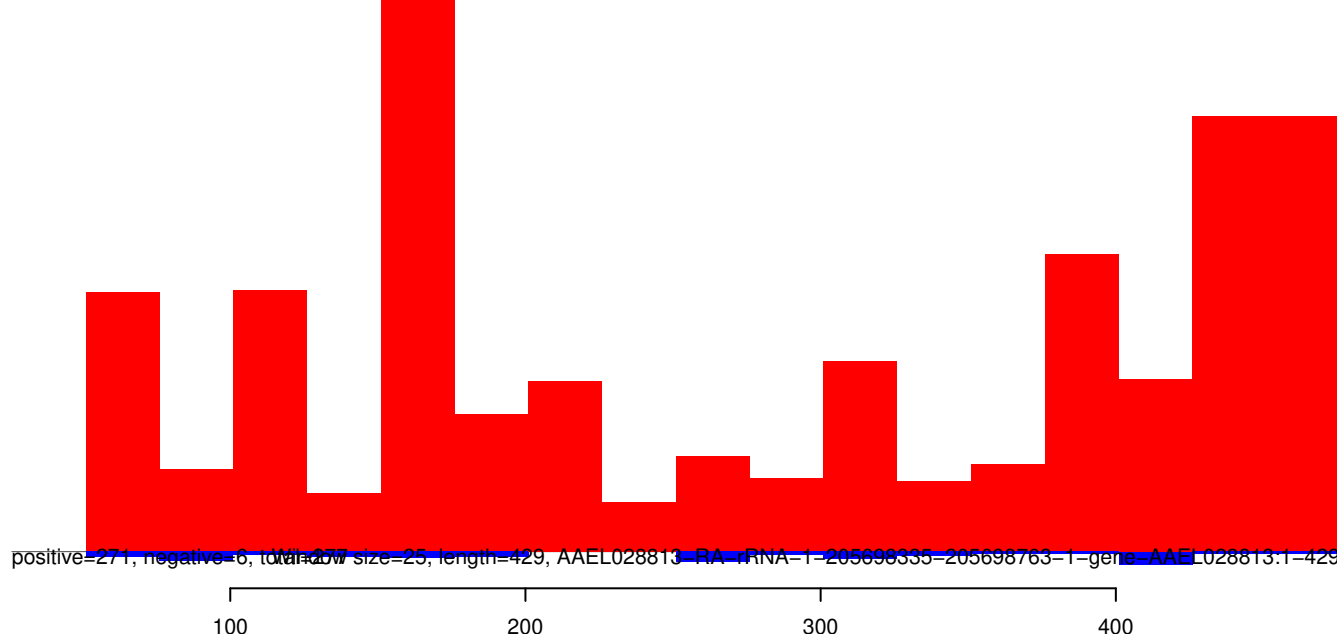
AeAeg_Aag2_Ago2_SINV_RA.18_23.rep



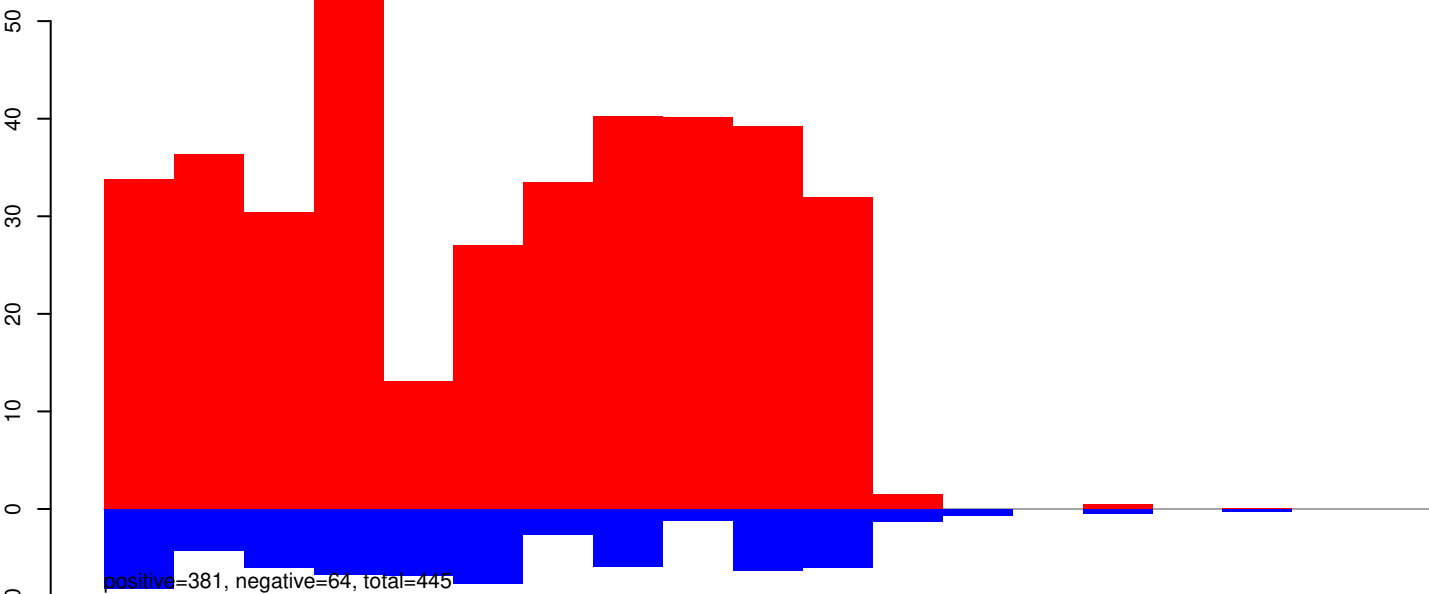
AeAeg_Aag2_Ago2_SINV_RA.24_35.rep



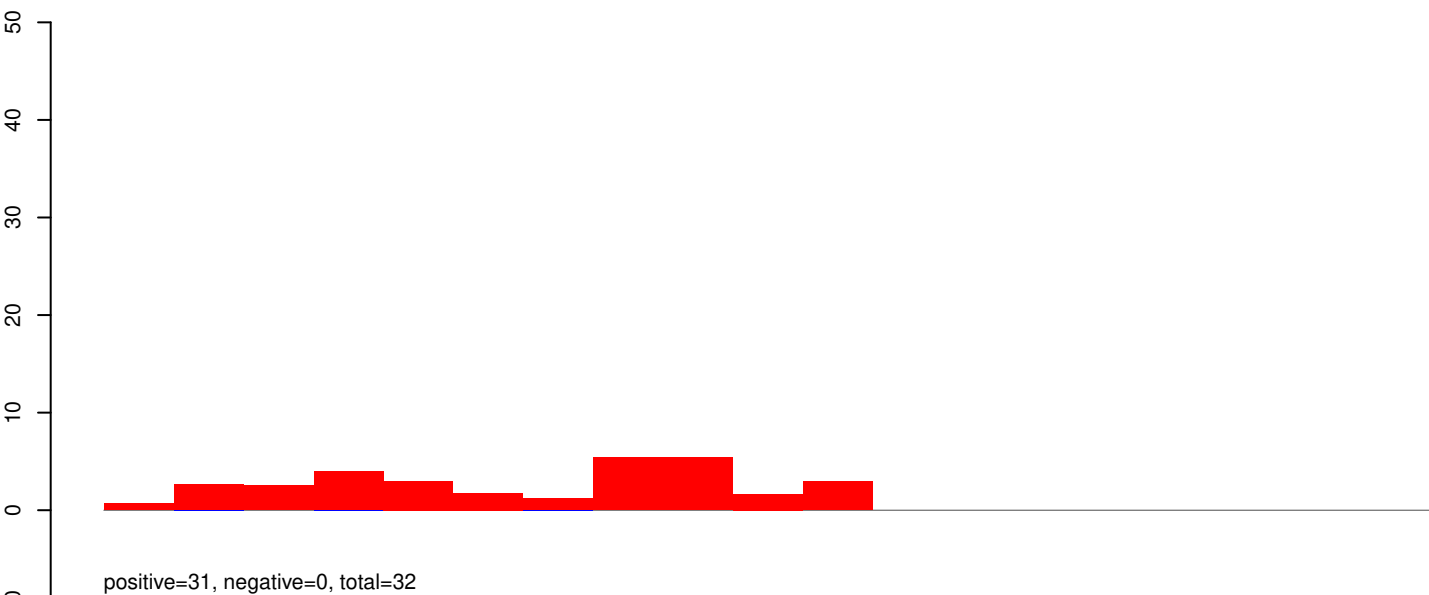
AeAeg_Aag2_Ago2_SINV_RA.rep



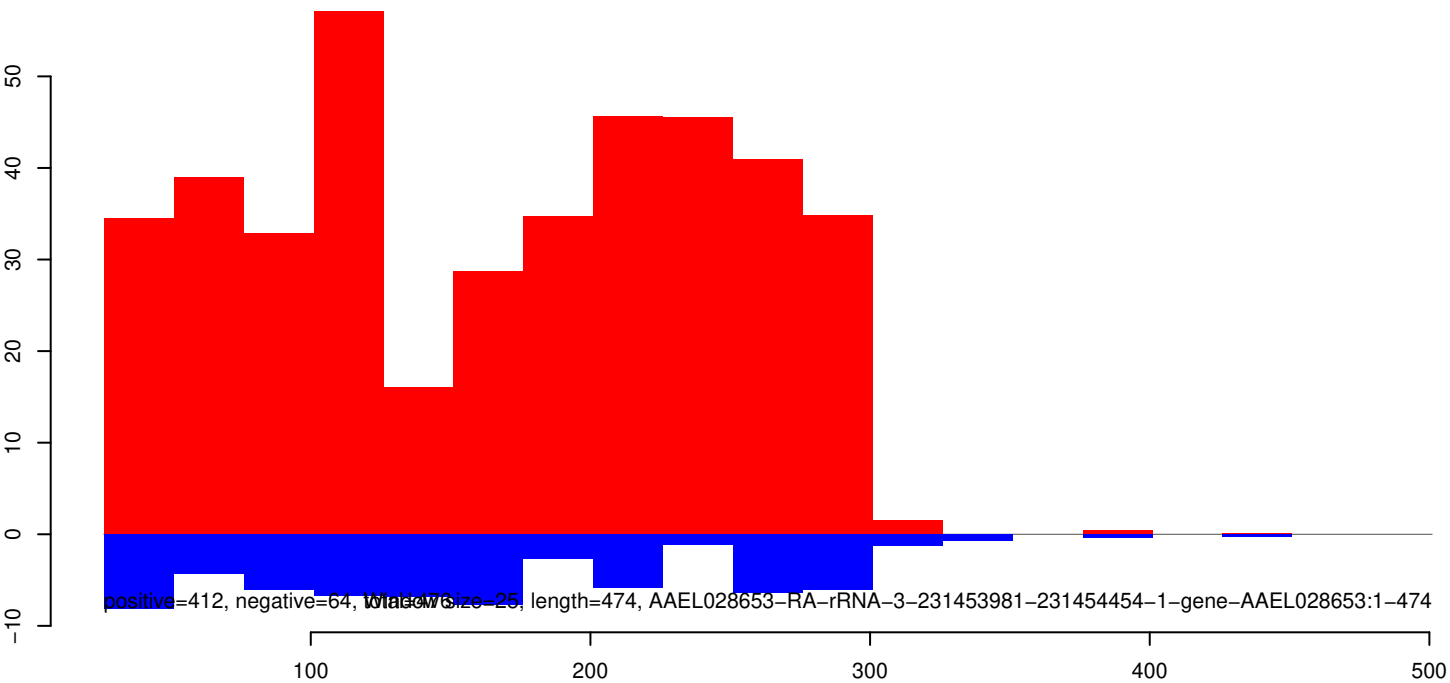
AeAeg_Aag2_Ago2_SINV_RA.18_23.rep



AeAeg_Aag2_Ago2_SINV_RA.24_35.rep



AeAeg_Aag2_Ago2_SINV_RA.rep



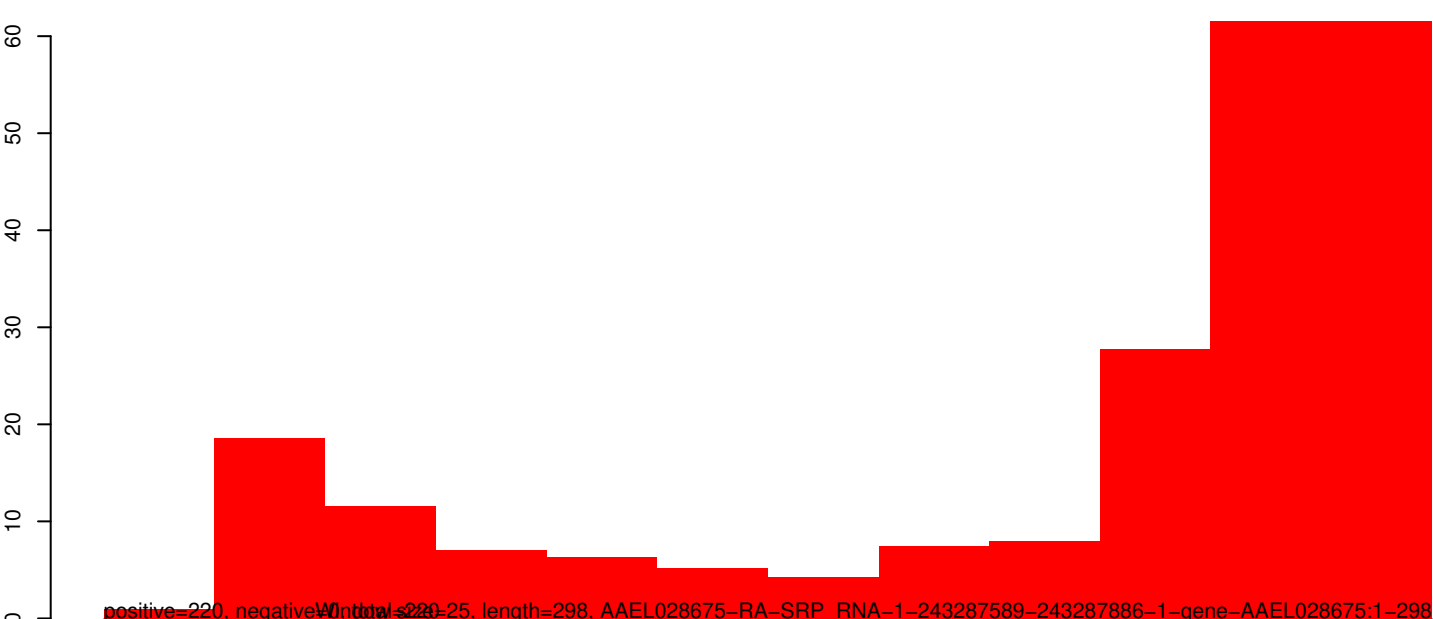
AeAeg_Aag2_Ago2_SINV_RA.18_23.rep



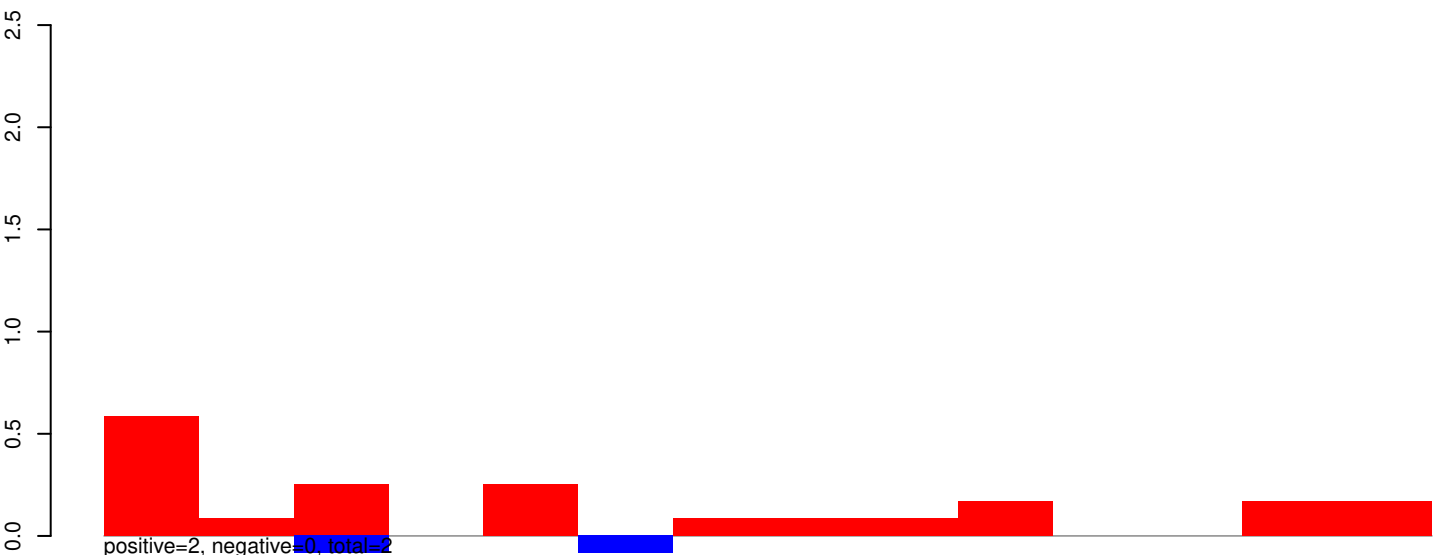
AeAeg_Aag2_Ago2_SINV_RA.24_35.rep



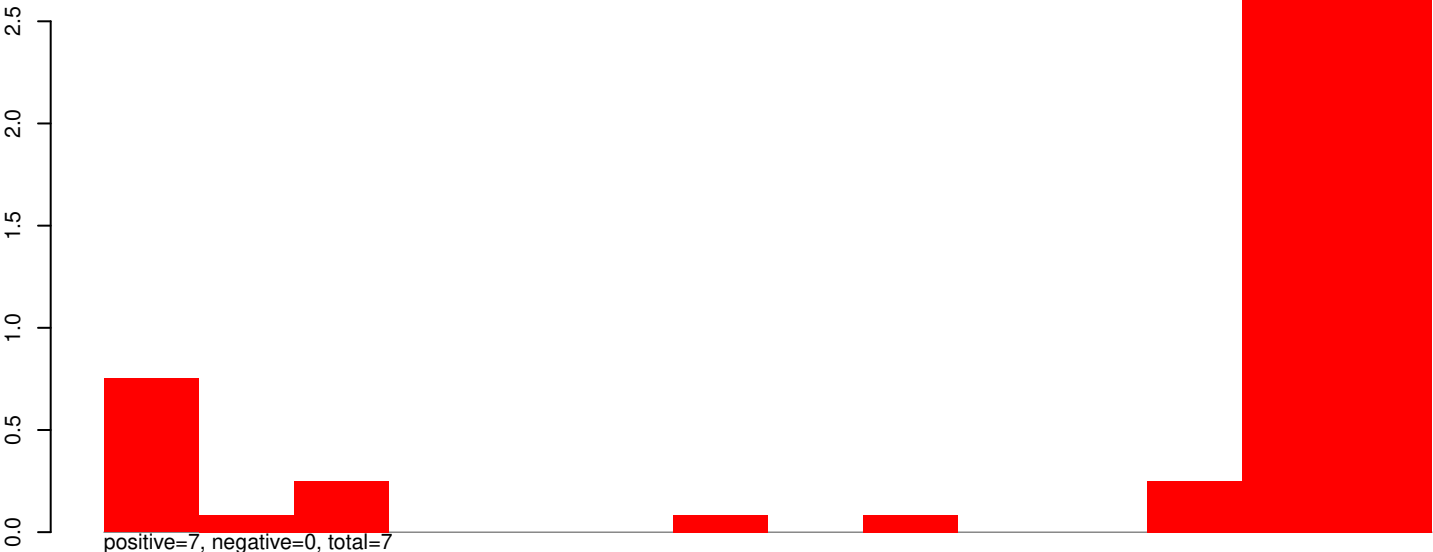
AeAeg_Aag2_Ago2_SINV_RA.rep



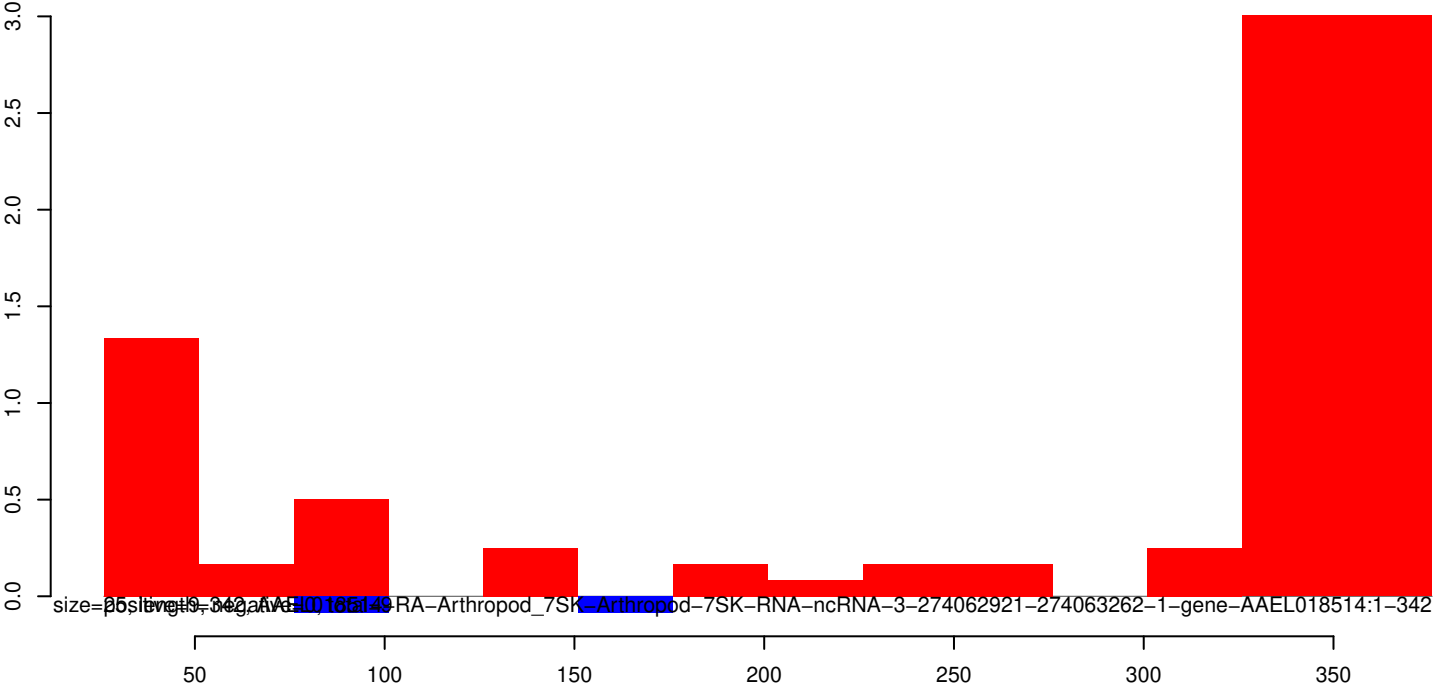
AeAeg_Aag2_Ago2_SINV_RA.18_23.rep



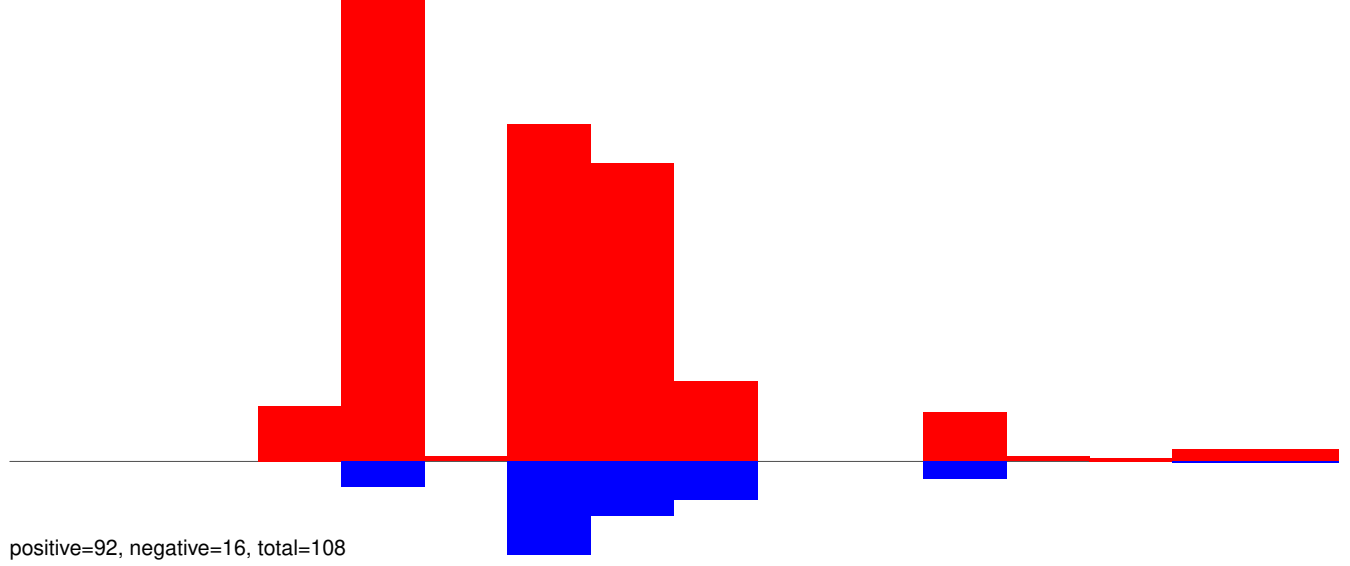
AeAeg_Aag2_Ago2_SINV_RA.24_35.rep



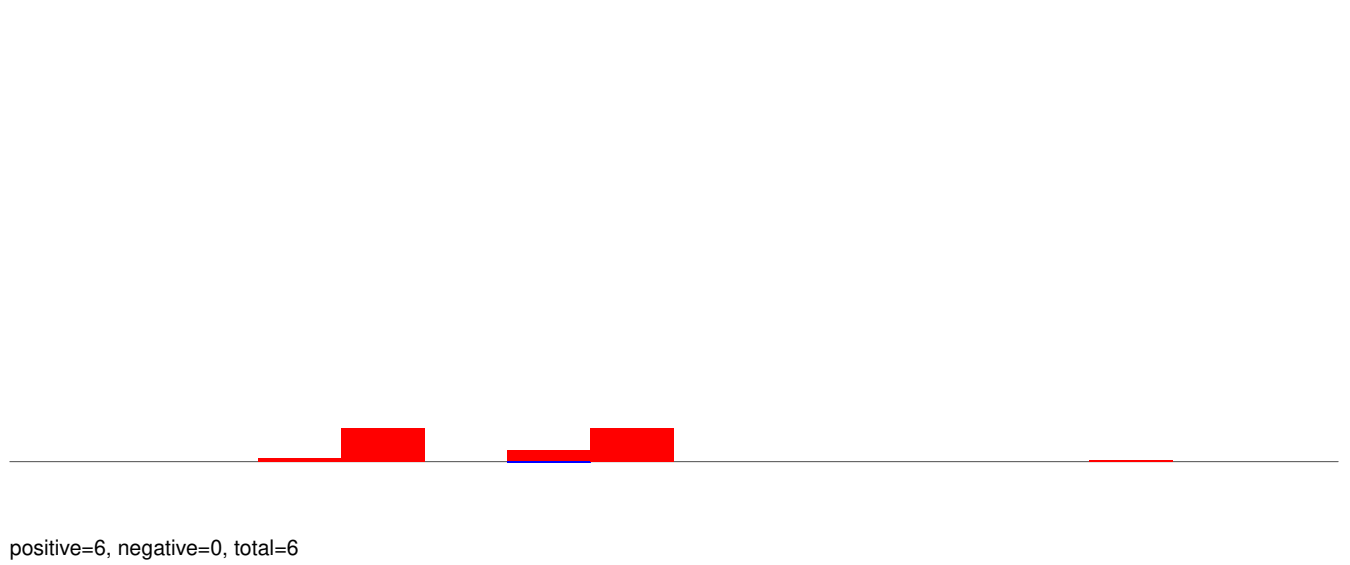
AeAeg_Aag2_Ago2_SINV_RA.rep



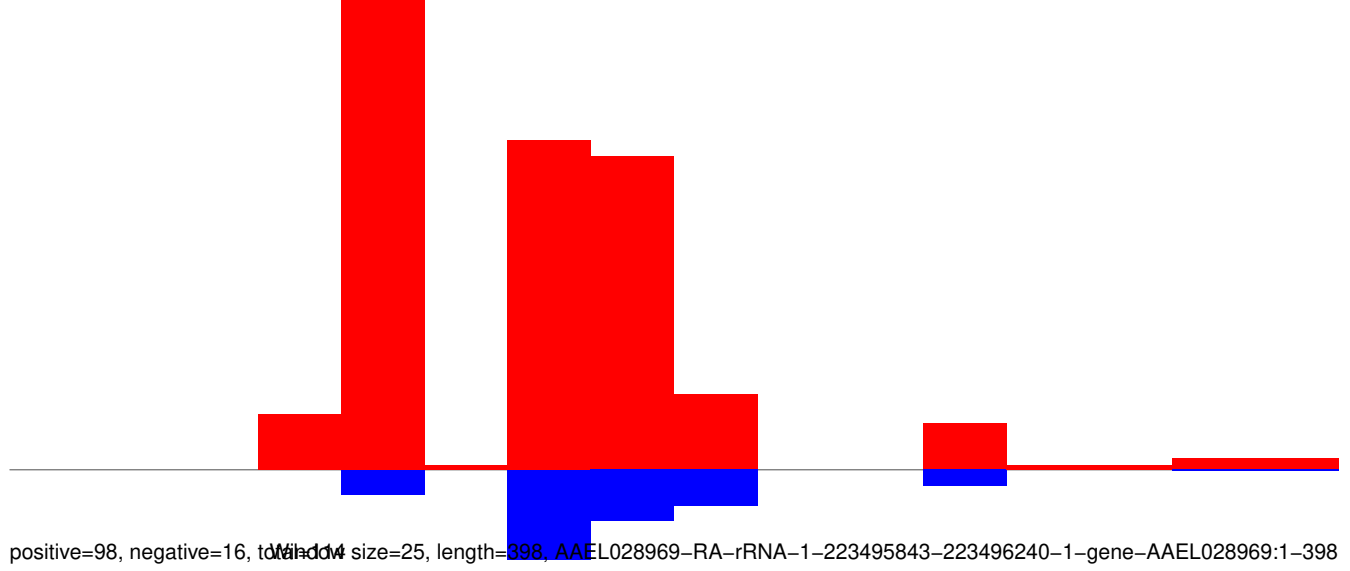
AeAeg_Aag2_Ago2_SINV_RA.18_23.rep



AeAeg_Aag2_Ago2_SINV_RA.24_35.rep

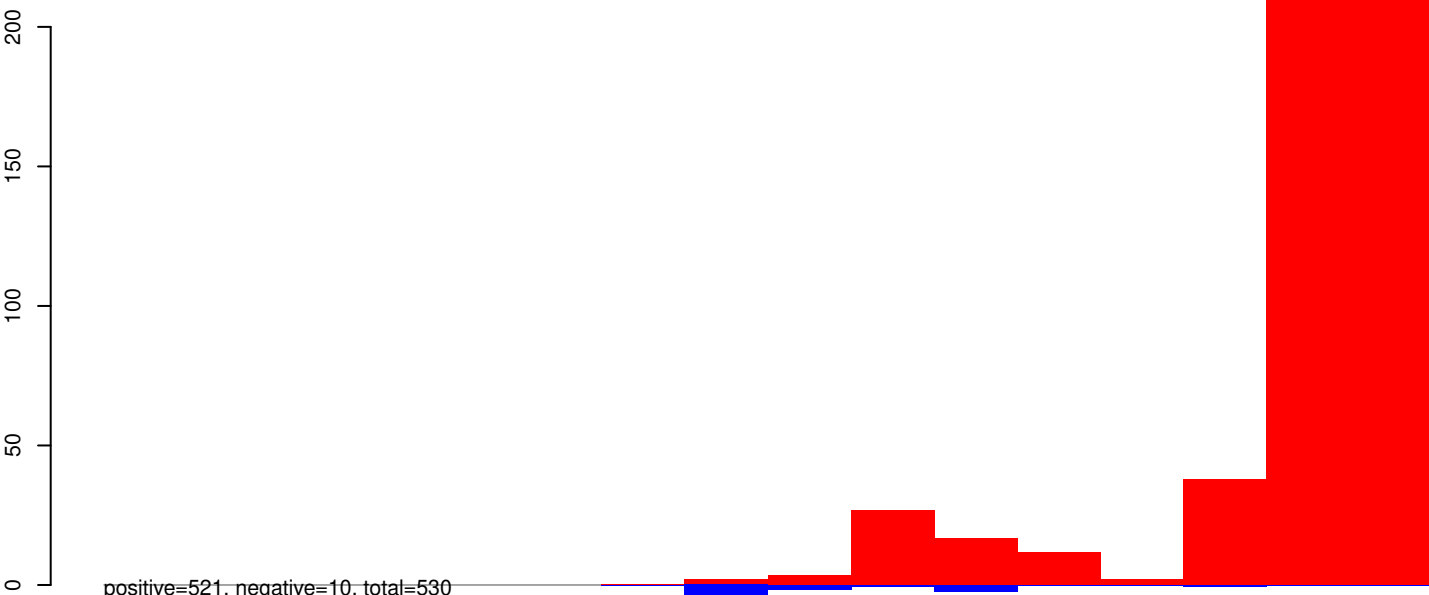


AeAeg_Aag2_Ago2_SINV_RA.rep

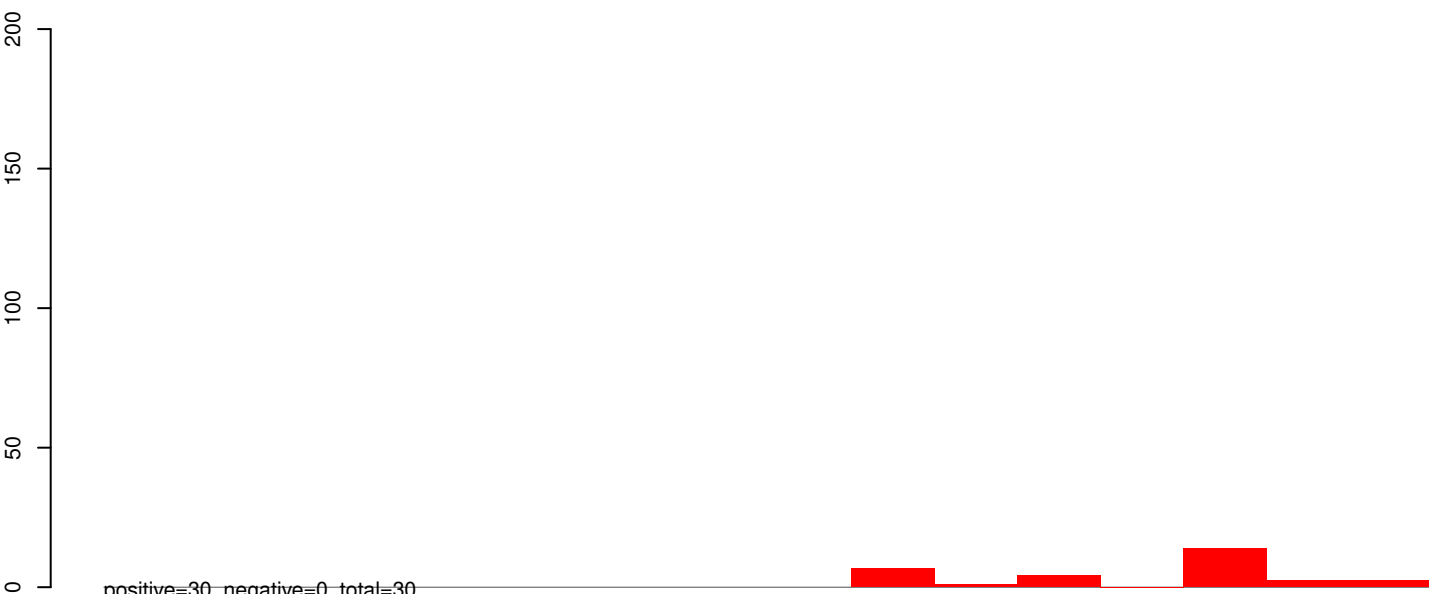


Window size=25, length=398, AAEL028969-RA-rRNA-1-223495843-223496240-1-gene-AAEL028969:1-398

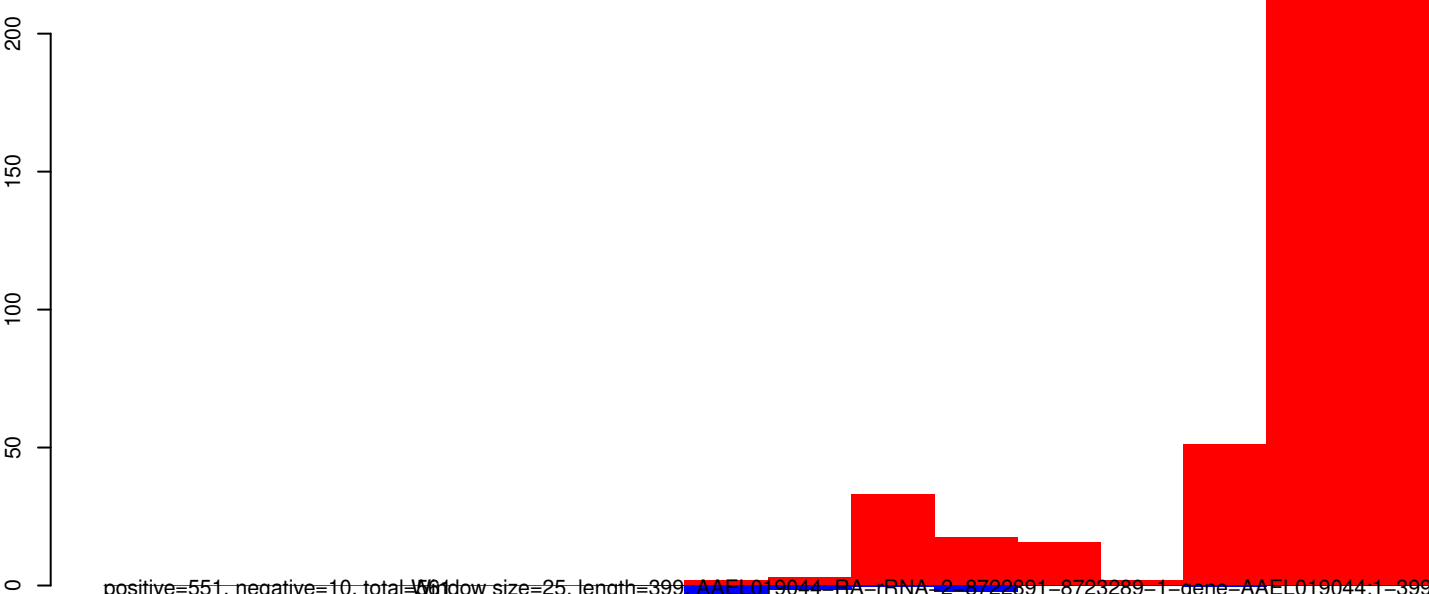
AeAeg_Aag2_Ago2_SINV_RA.18_23.rep



AeAeg_Aag2_Ago2_SINV_RA.24_35.rep



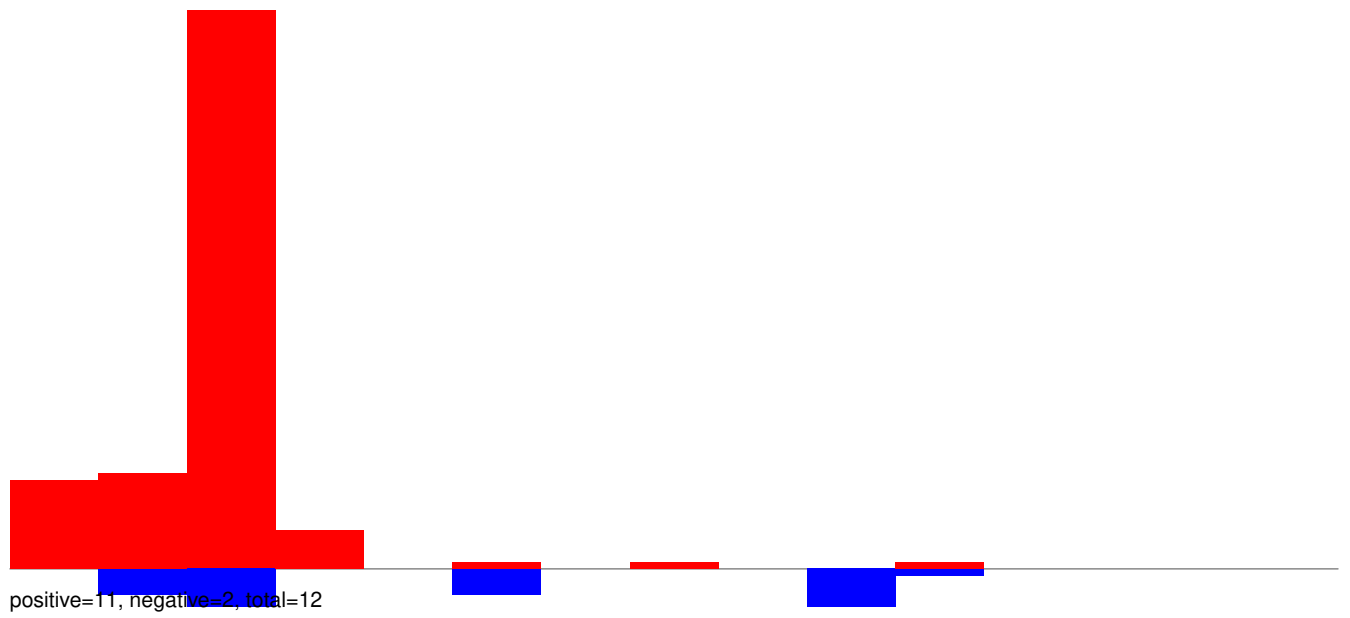
AeAeg_Aag2_Ago2_SINV_RA.rep



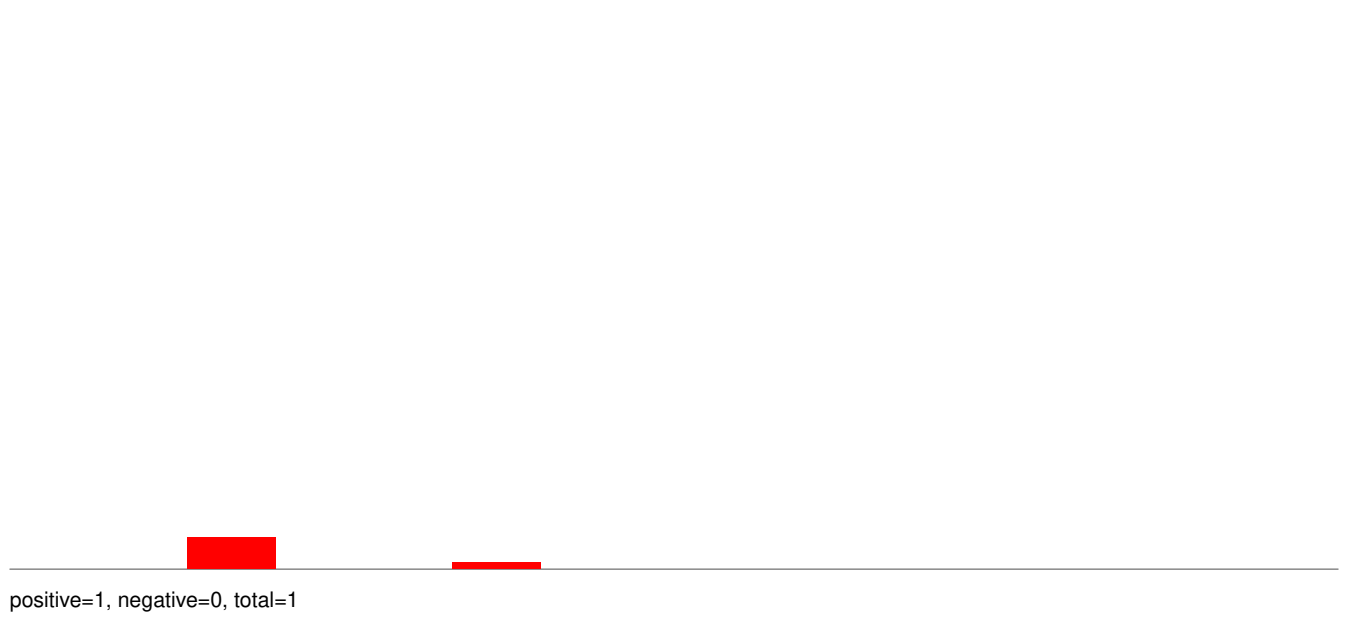
AAEL019044-RA-rRNA-2-8722691-8723289-1-gene-AAEL019044.1-399

100 200 300 400

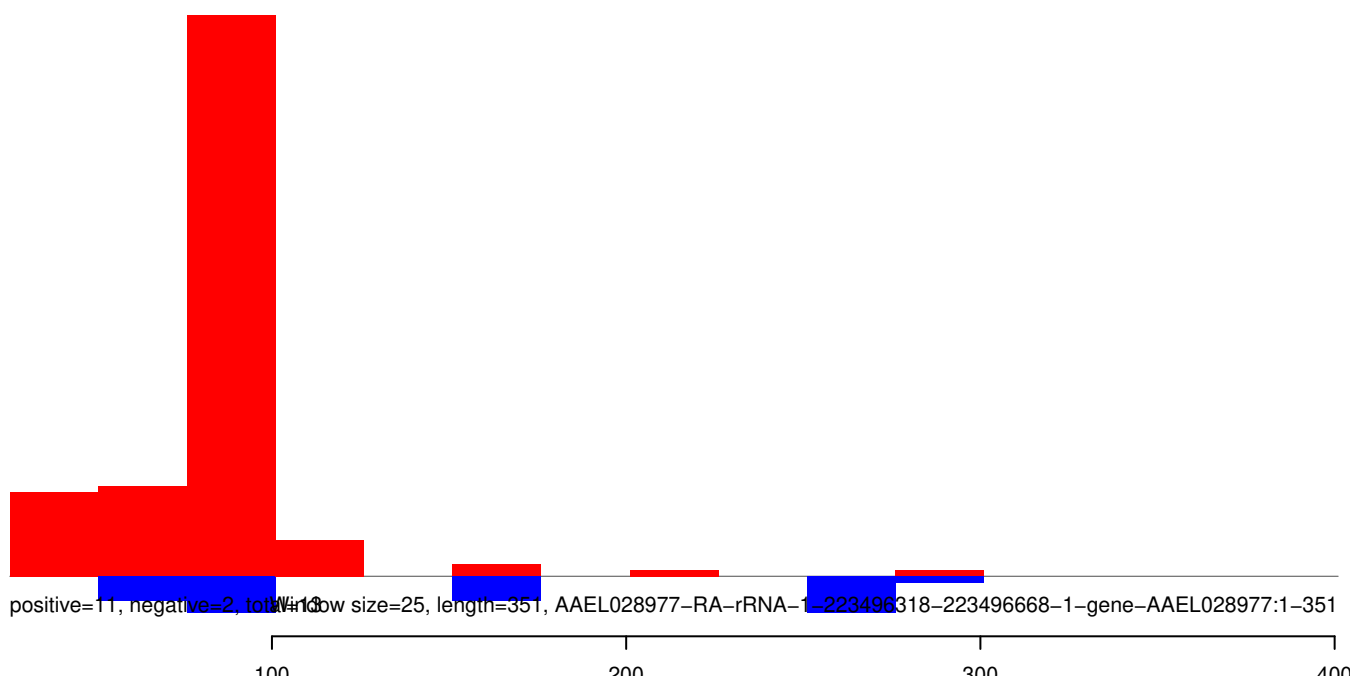
AeAeg_Aag2_Ago2_SINV_RA.18_23.rep



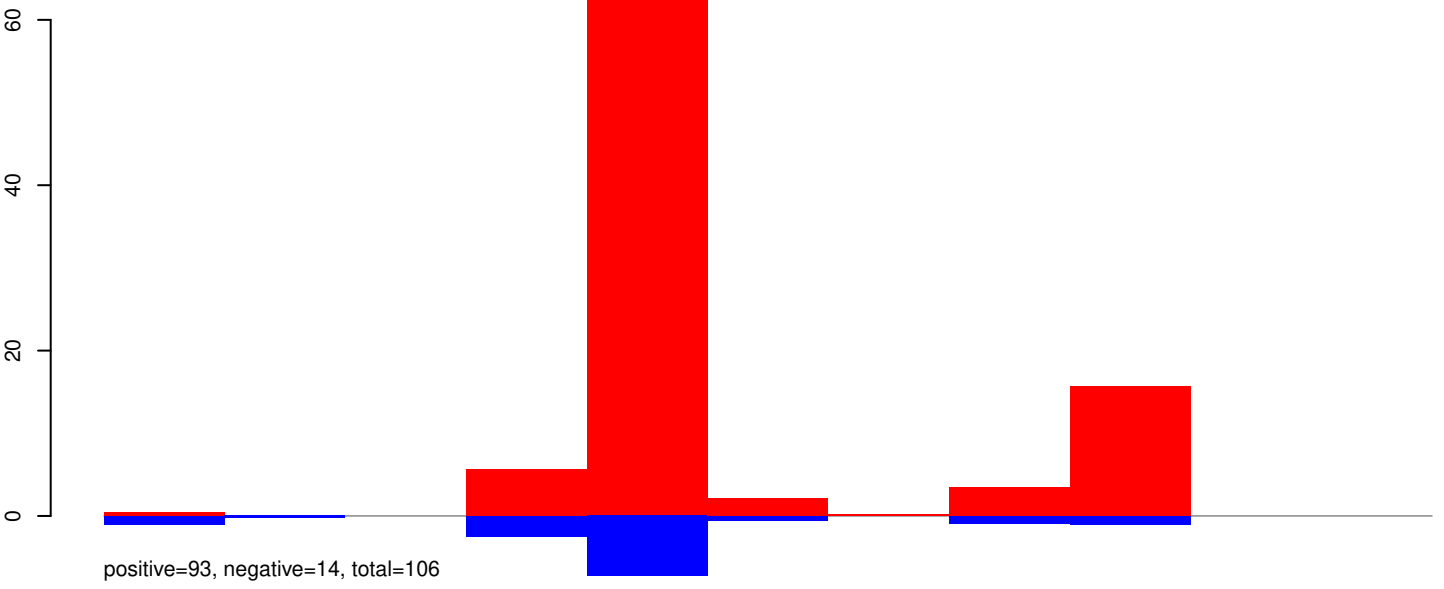
AeAeg_Aag2_Ago2_SINV_RA.24_35.rep



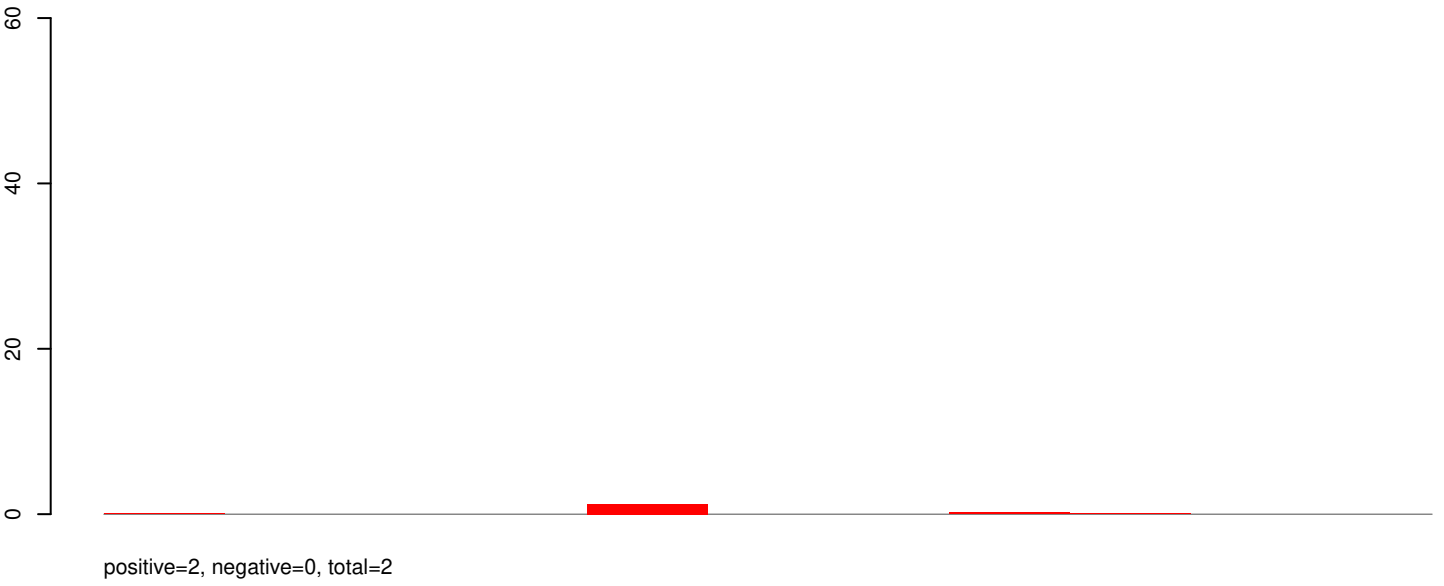
AeAeg_Aag2_Ago2_SINV_RA.rep



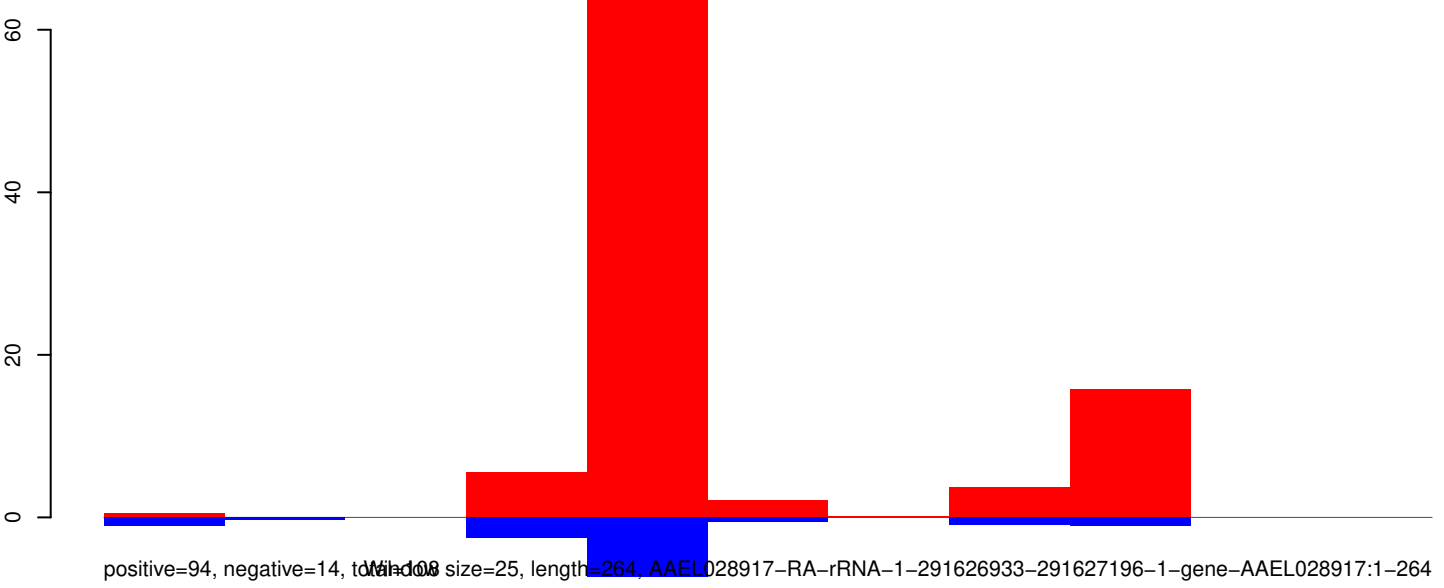
AeAeg_Aag2_Ago2_SINV_RA.18_23.rep



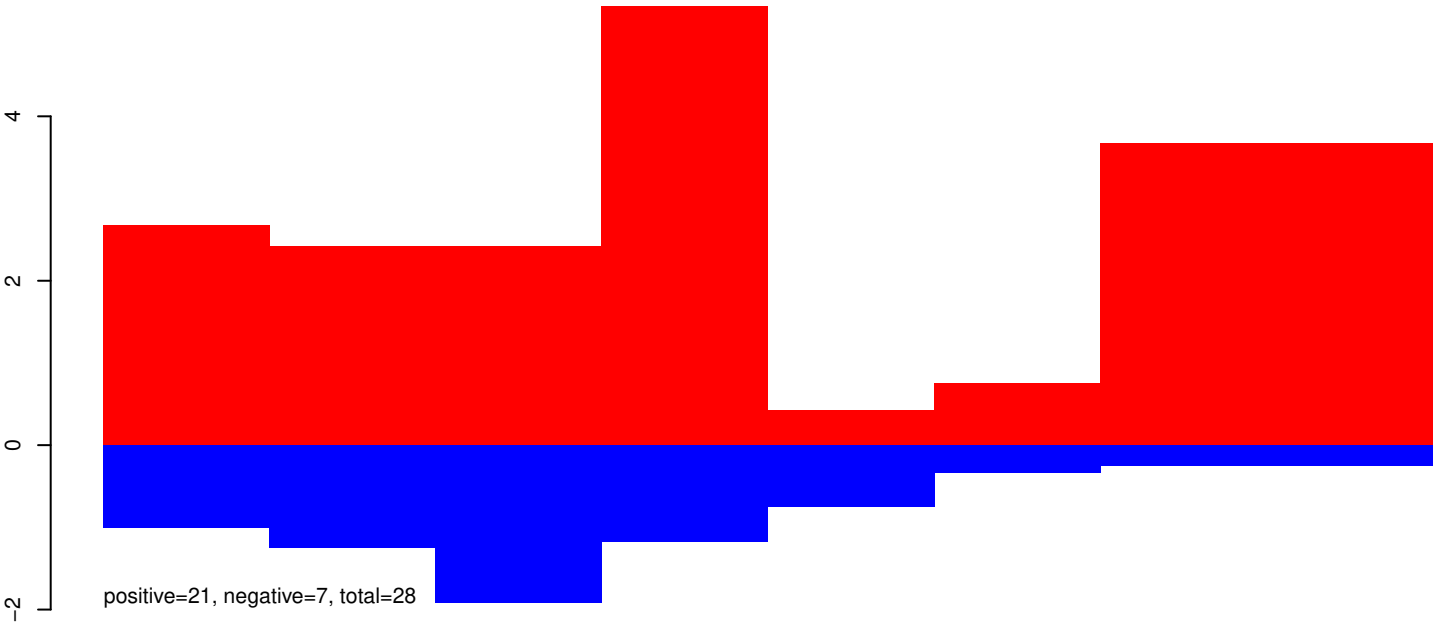
AeAeg_Aag2_Ago2_SINV_RA.24_35.rep



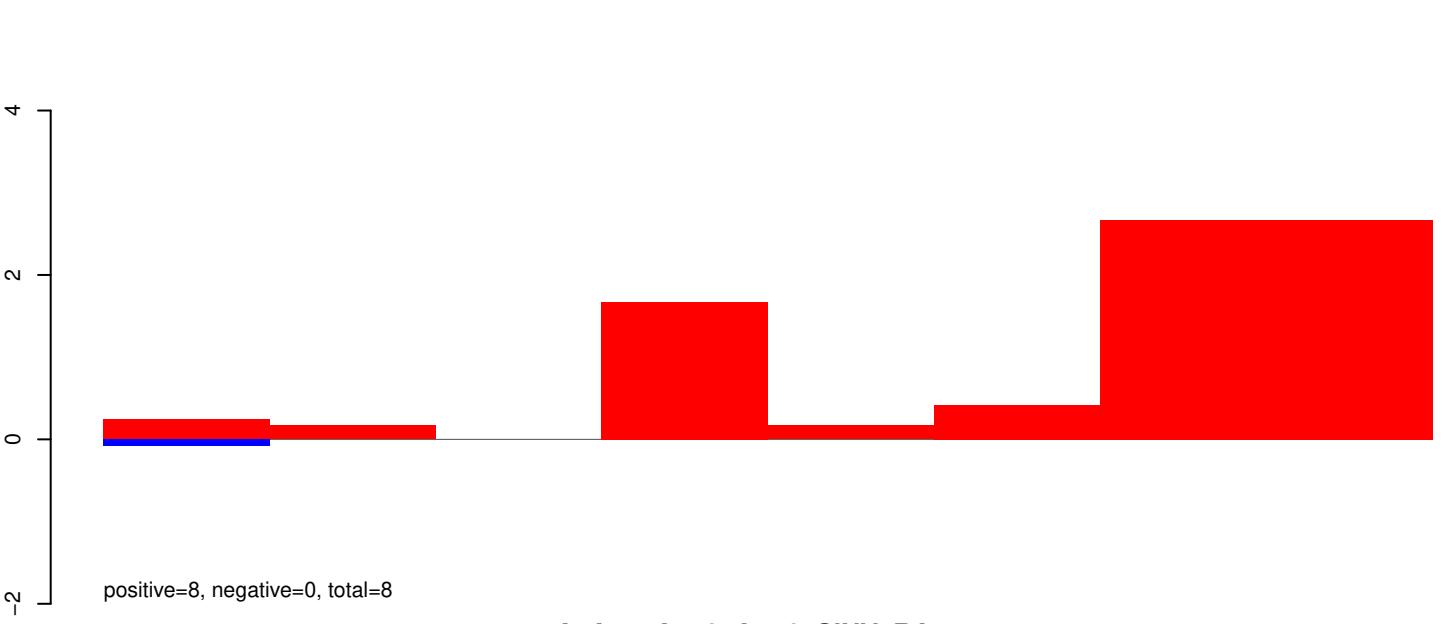
AeAeg_Aag2_Ago2_SINV_RA.rep



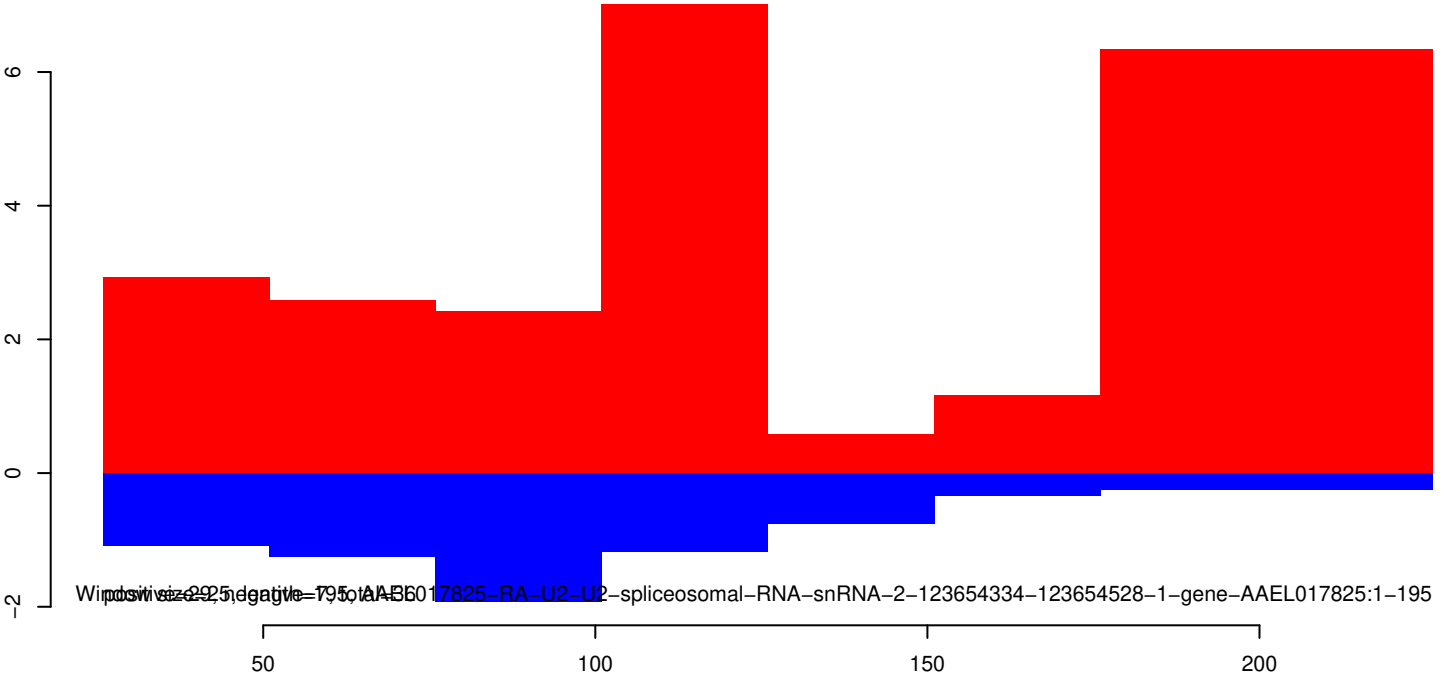
AeAeg_Aag2_Ago2_SINV_RA.18_23.rep



AeAeg_Aag2_Ago2_SINV_RA.24_35.rep

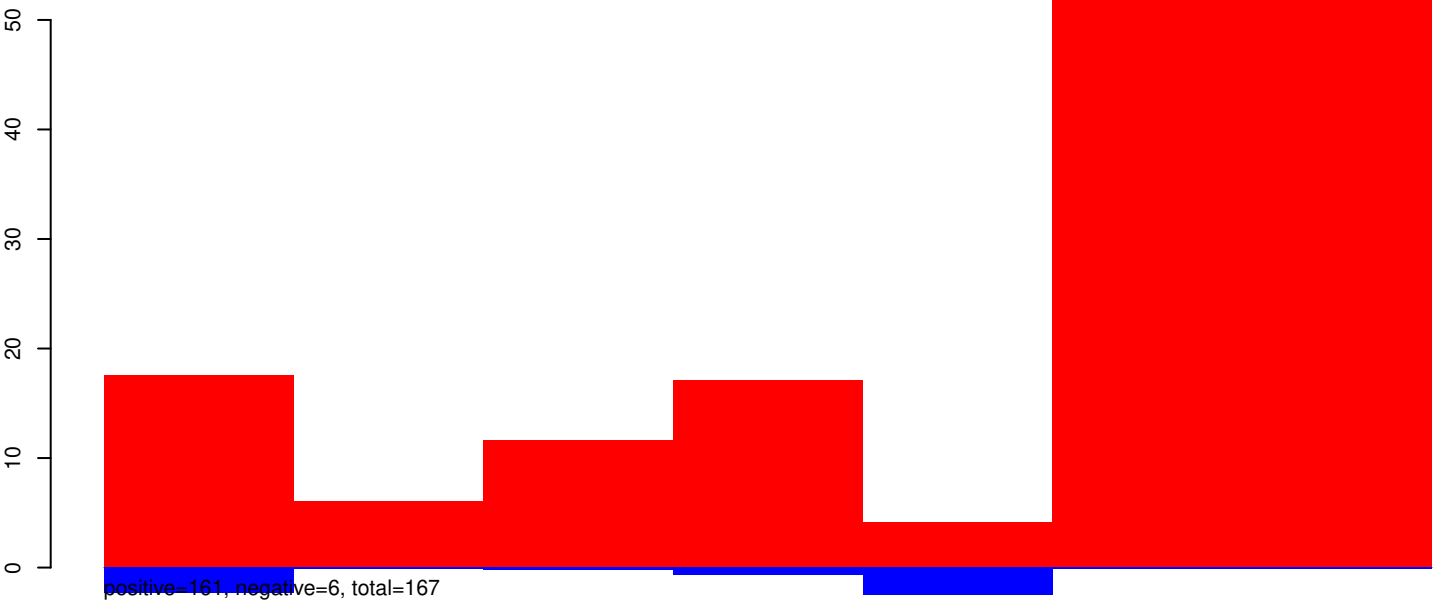


AeAeg_Aag2_Ago2_SINV_RA.rep

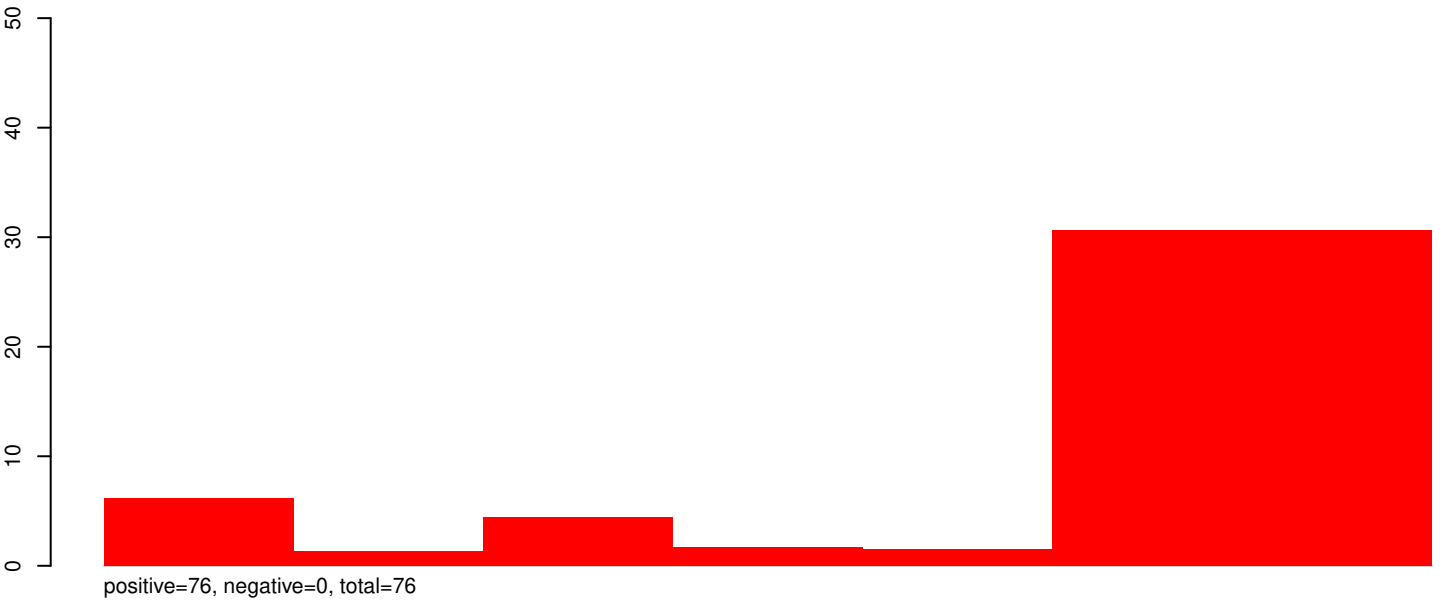


Wingspan: 295, negative=79, total=171, AAEL017825-RA-U2-U2-spliceosomal-RNA-snrRNA-2-123654334-123654528-1-gene-AAEL017825:1-195

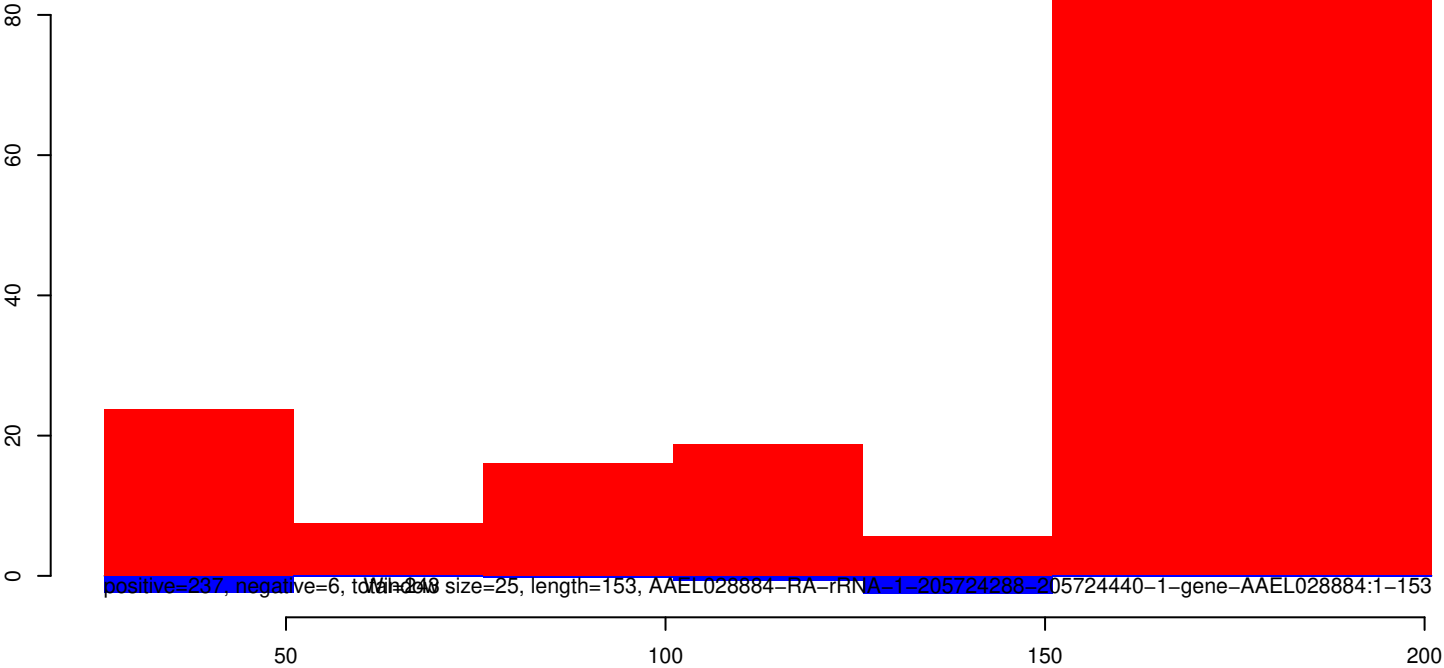
AeAeg_Aag2_Ago2_SINV_RA.18_23.rep



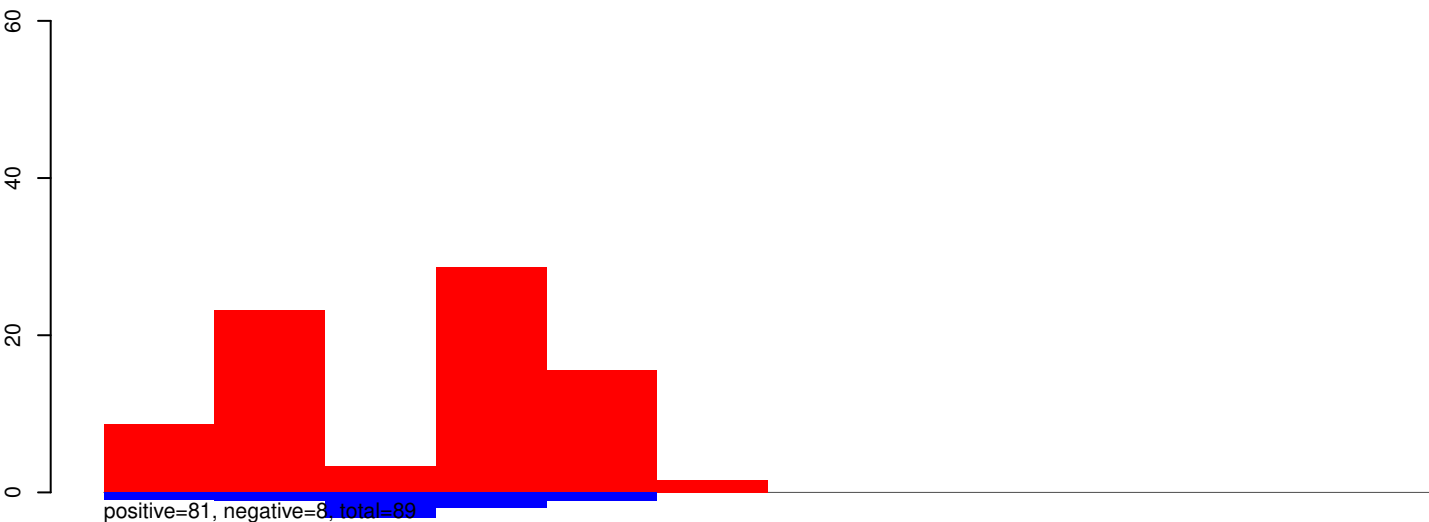
AeAeg_Aag2_Ago2_SINV_RA.24_35.rep



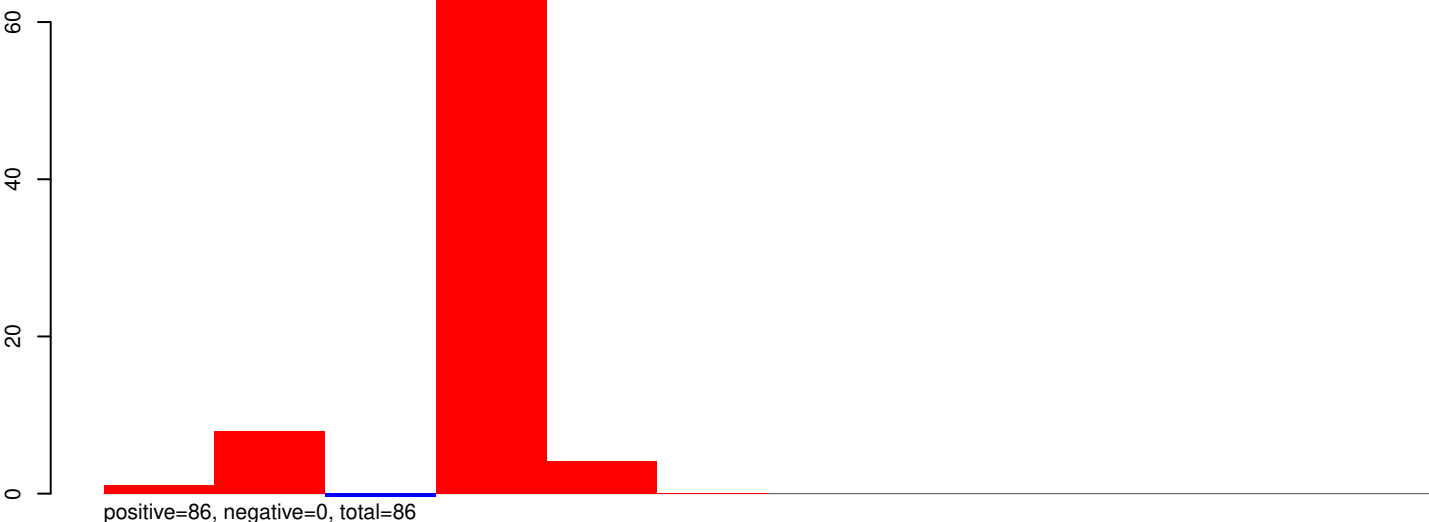
AeAeg_Aag2_Ago2_SINV_RA.rep



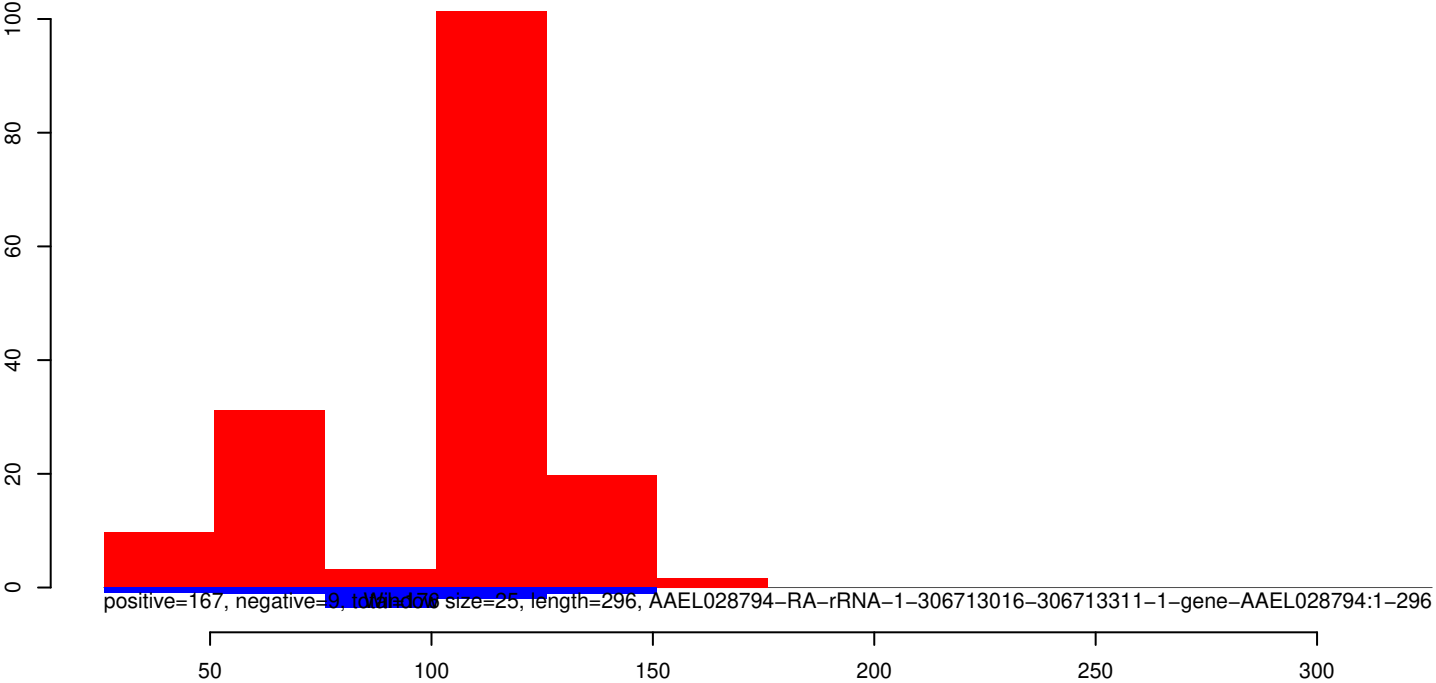
AeAeg_Aag2_Ago2_SINV_RA.18_23.rep



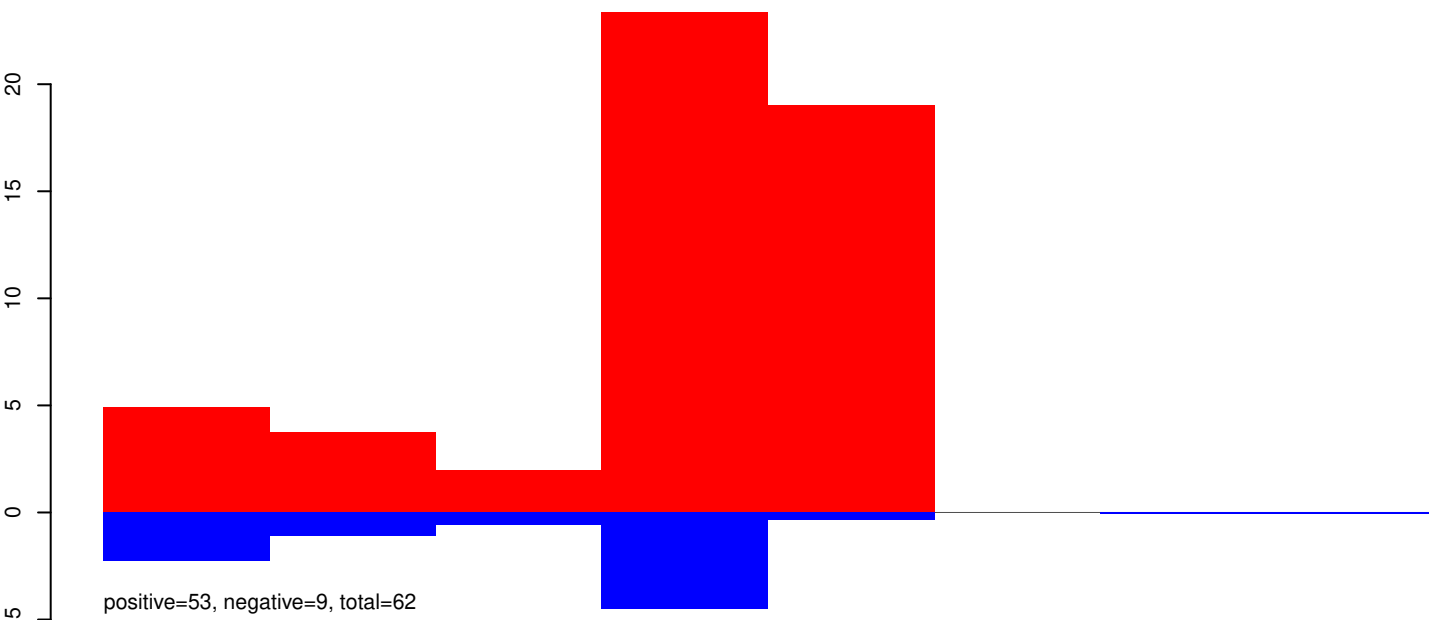
AeAeg_Aag2_Ago2_SINV_RA.24_35.rep



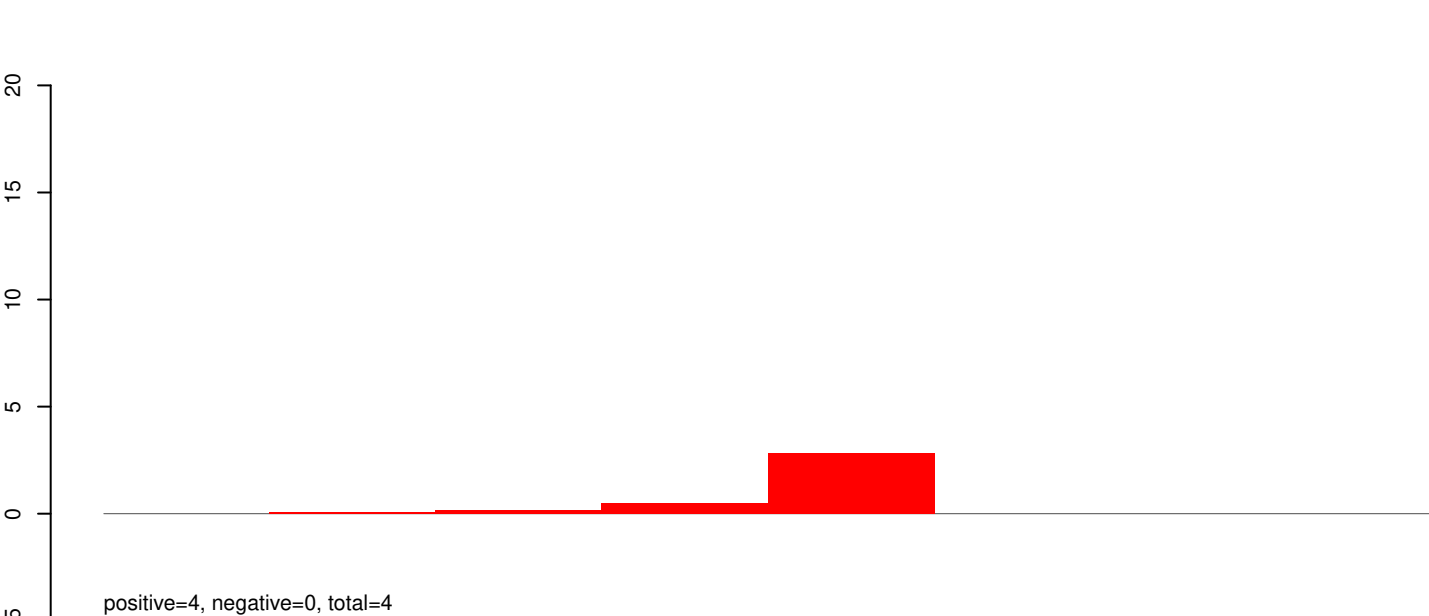
AeAeg_Aag2_Ago2_SINV_RA.rep



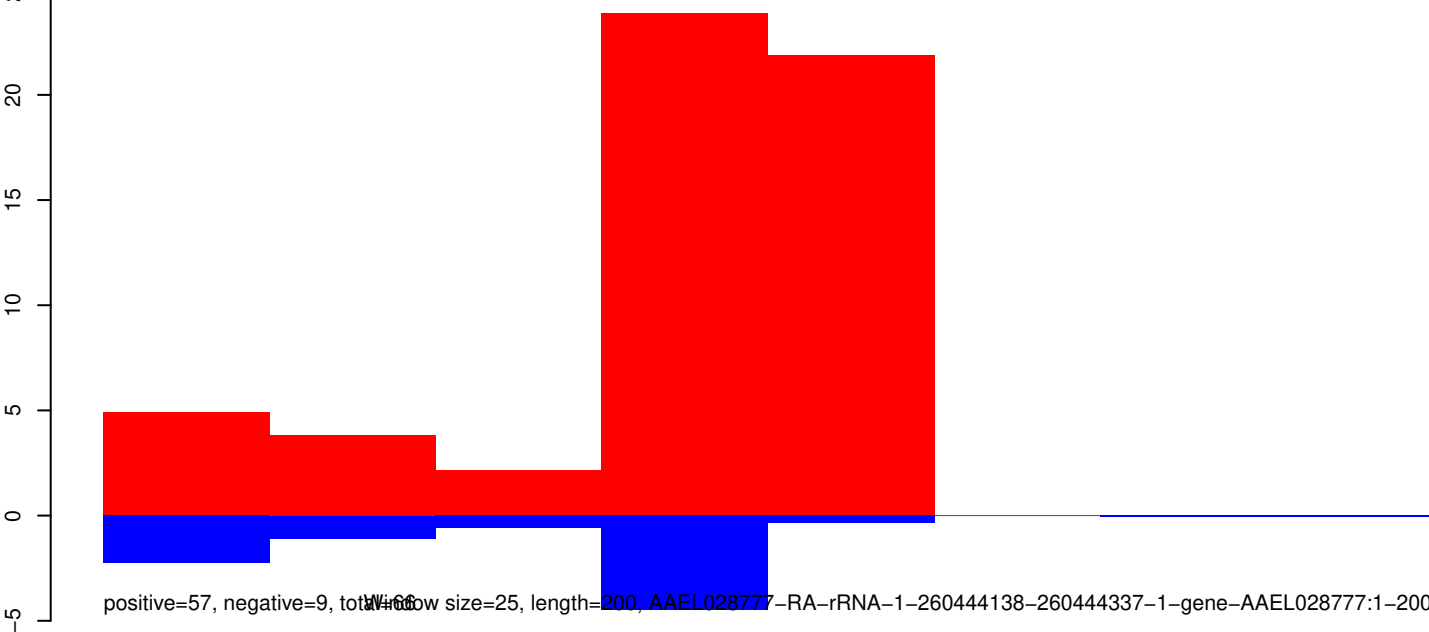
AeAeg_Aag2_Ago2_SINV_RA.18_23.rep



AeAeg_Aag2_Ago2_SINV_RA.24_35.rep



AeAeg_Aag2_Ago2_SINV_RA.rep



Window size=25, length=200, AAEL028777-RA-rRNA-1-260444138-260444337-1-gene-AAEL028777:1-200

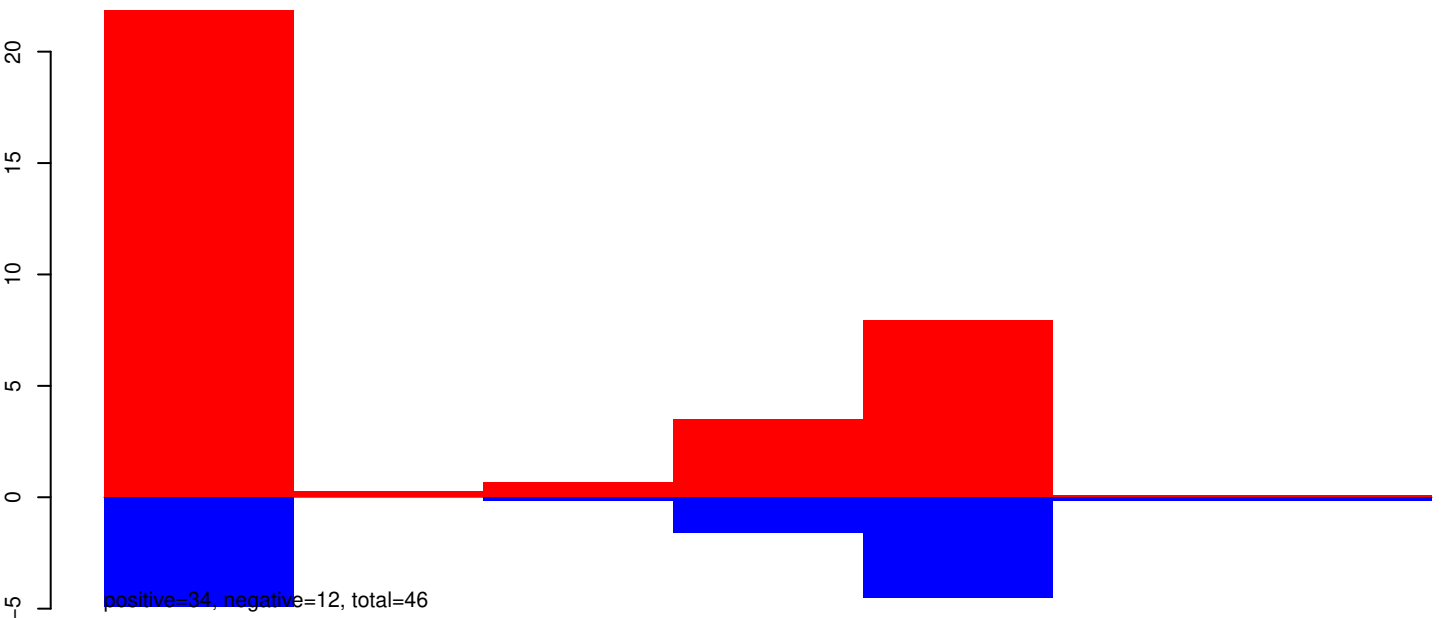
50

100

150

200

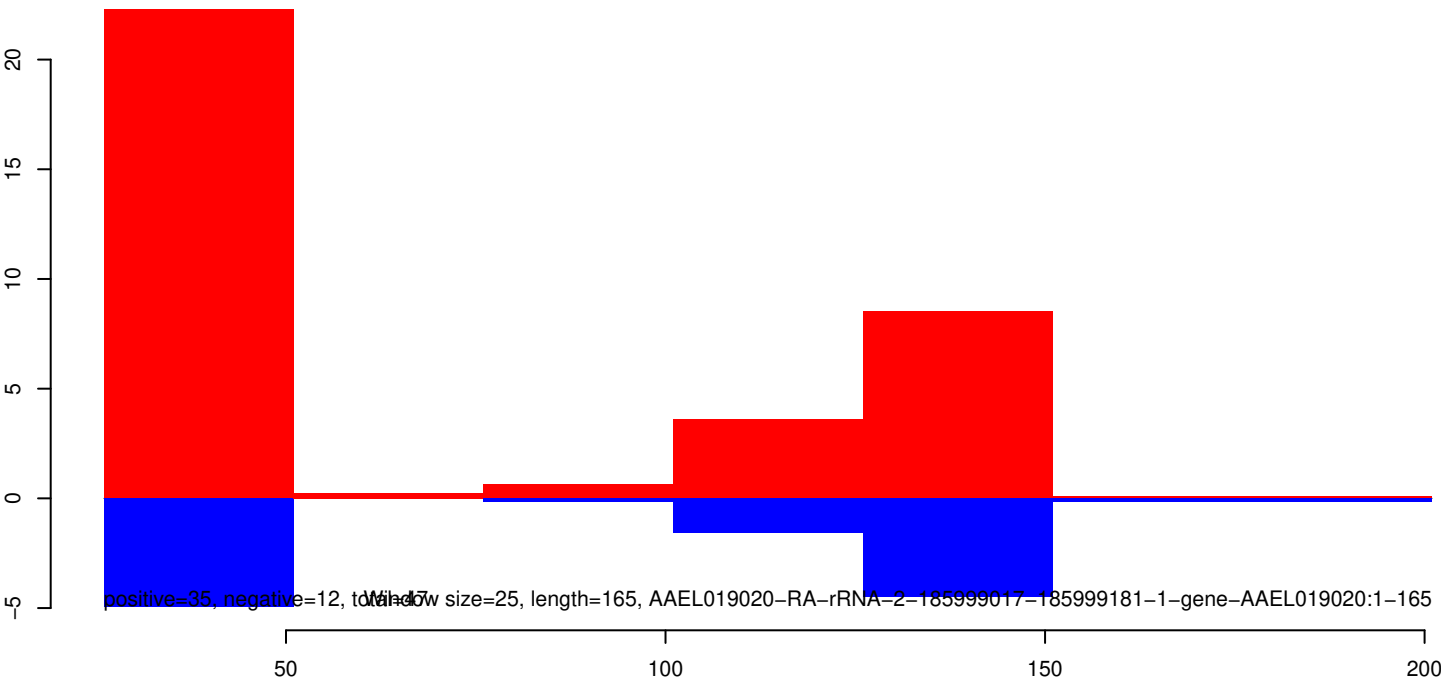
AeAeg_Aag2_Ago2_SINV_RA.18_23.rep



AeAeg_Aag2_Ago2_SINV_RA.24_35.rep



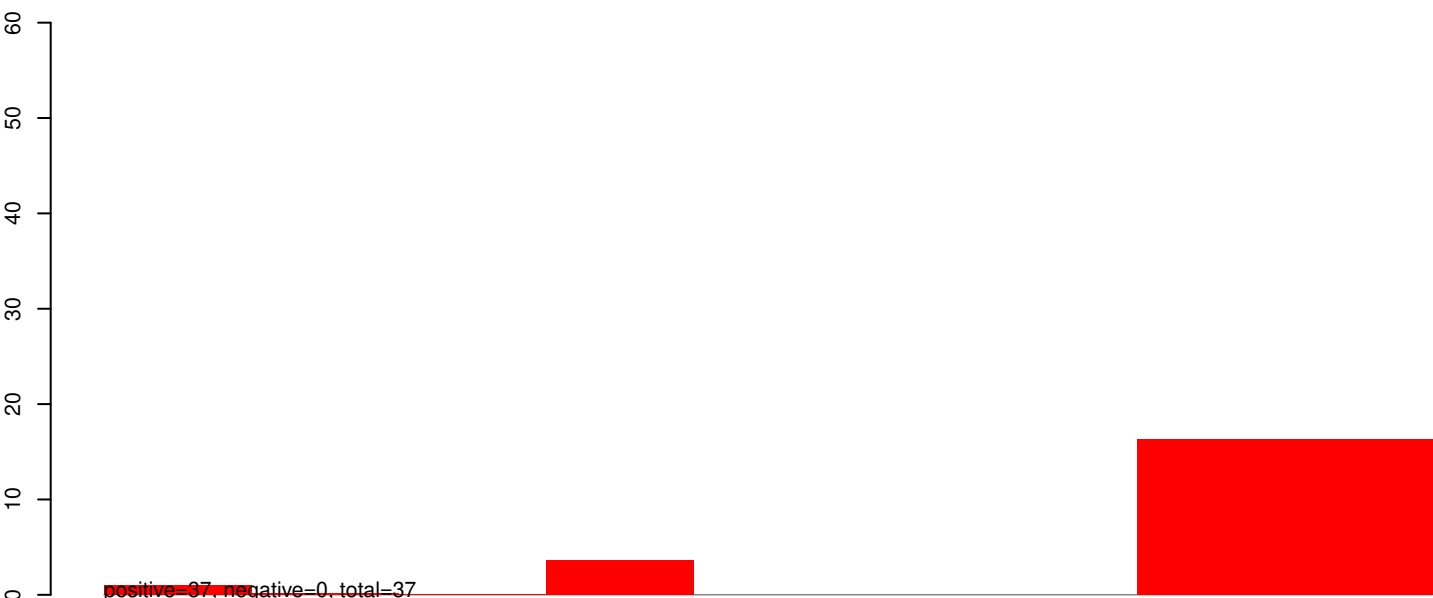
AeAeg_Aag2_Ago2_SINV_RA.rep



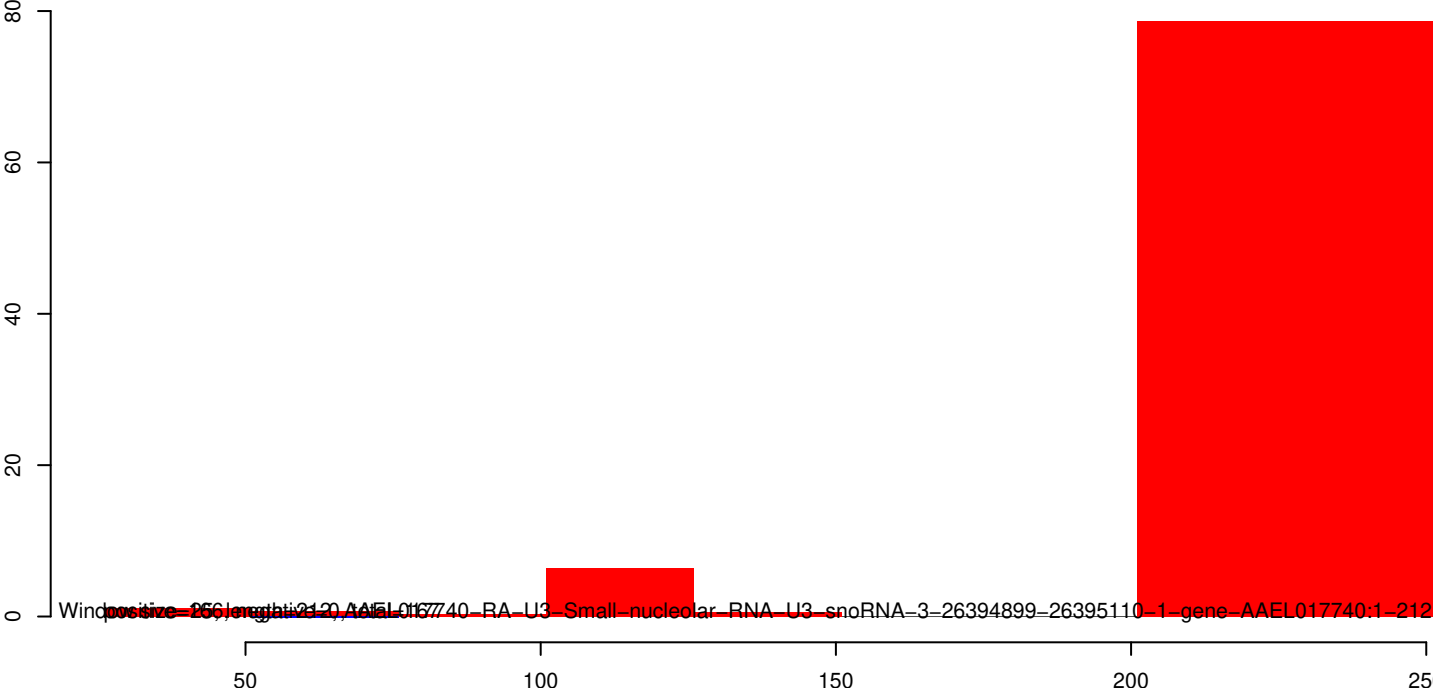
AeAeg_Aag2_Ago2_SINV_RA.18_23.rep



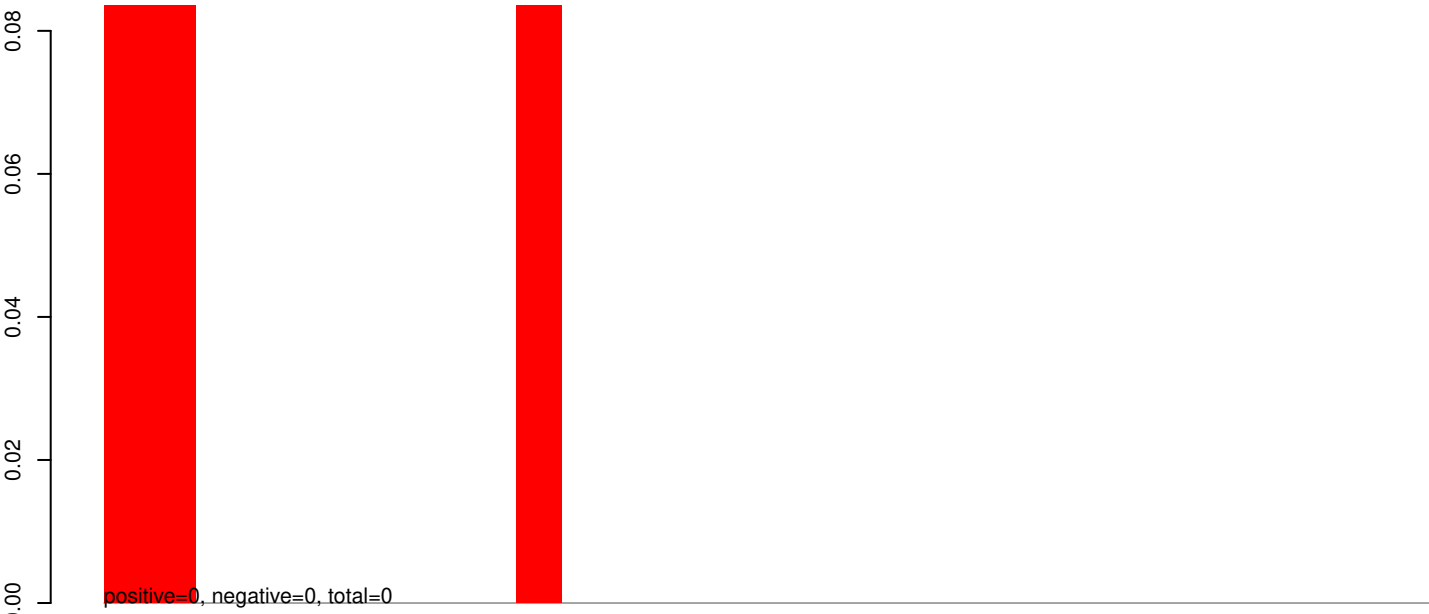
AeAeg_Aag2_Ago2_SINV_RA.24_35.rep



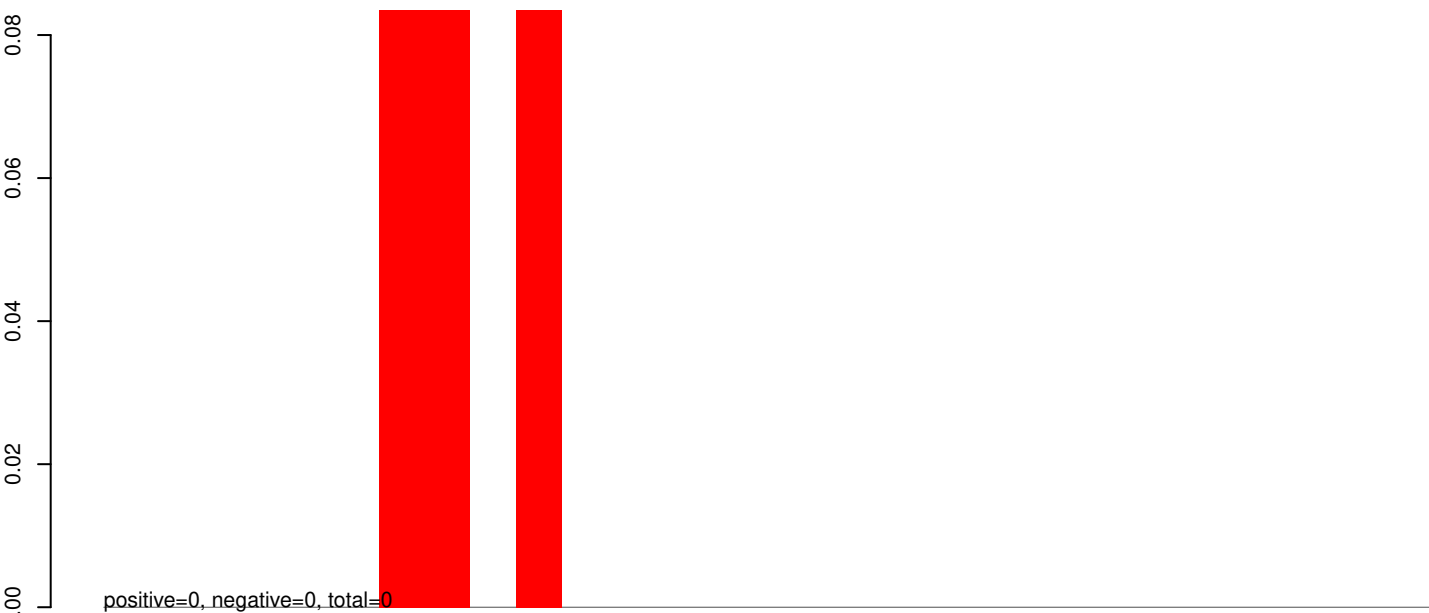
AeAeg_Aag2_Ago2_SINV_RA.rep



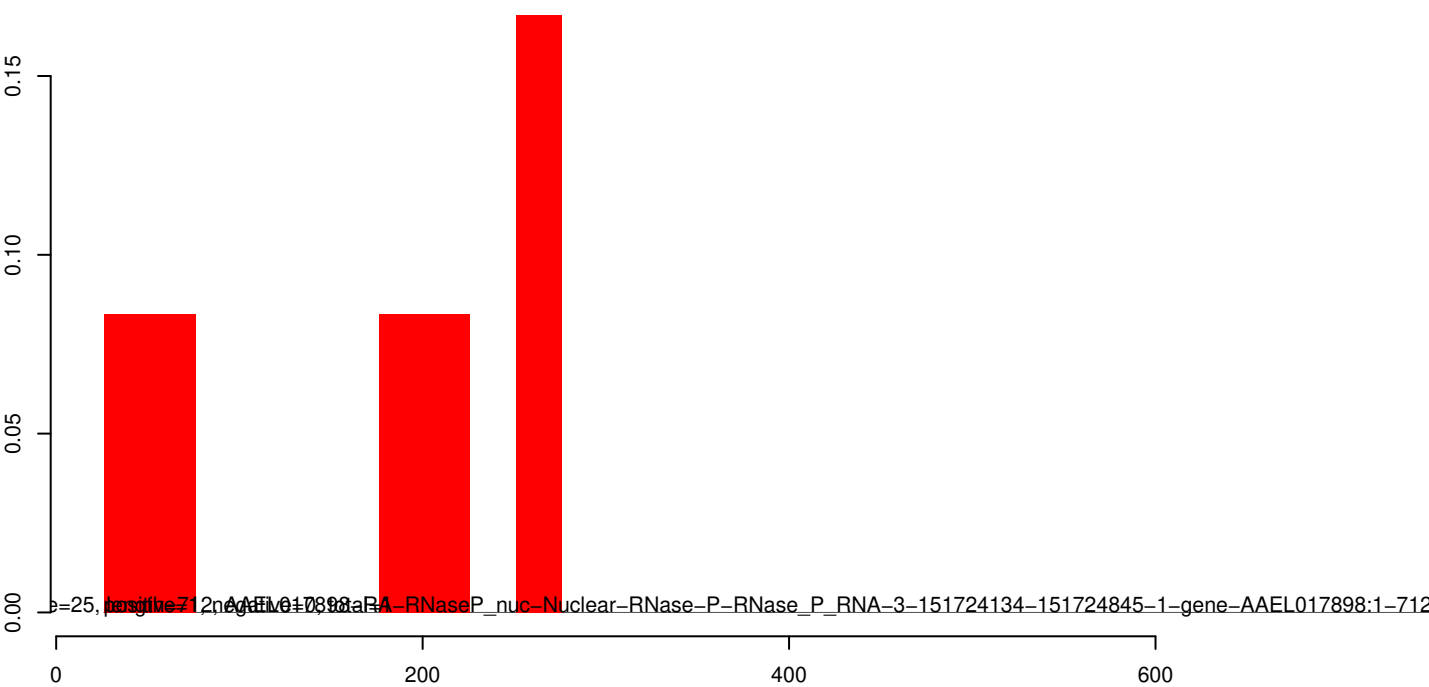
AeAeg_Aag2_Ago2_SINV_RA.18_23.rep



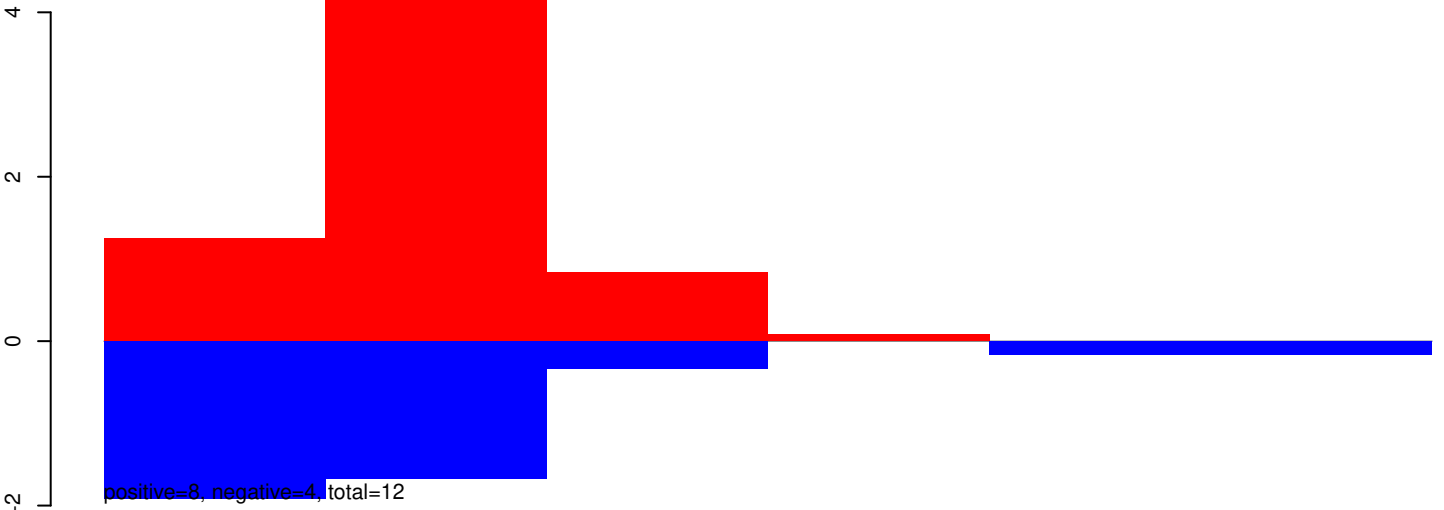
AeAeg_Aag2_Ago2_SINV_RA.24_35.rep



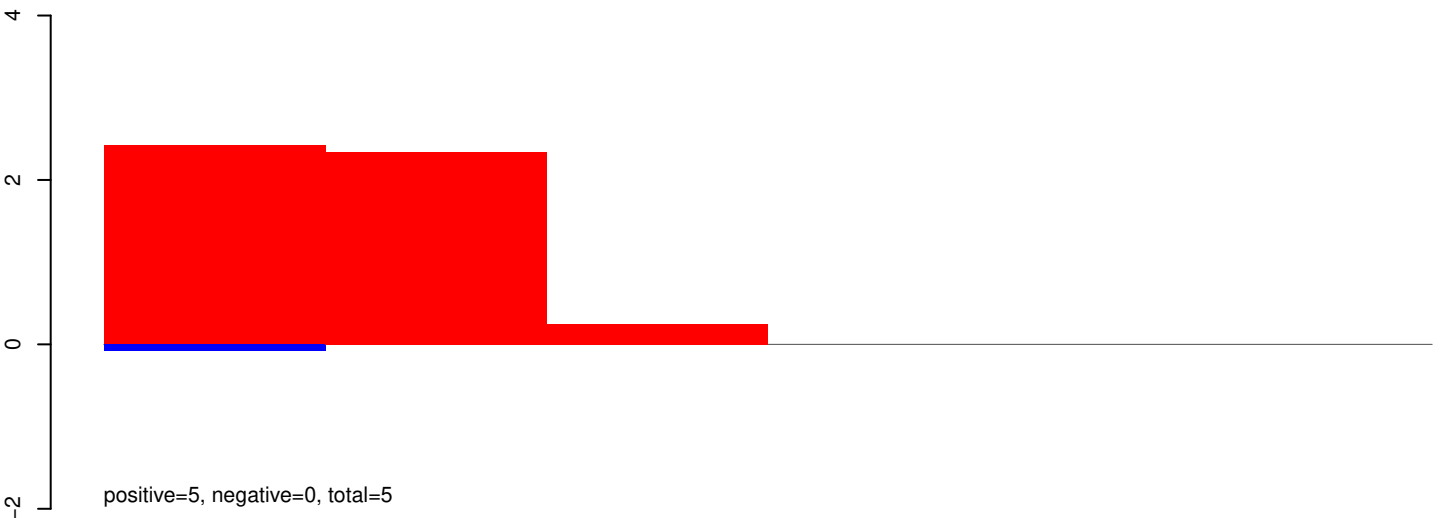
AeAeg_Aag2_Ago2_SINV_RA.rep



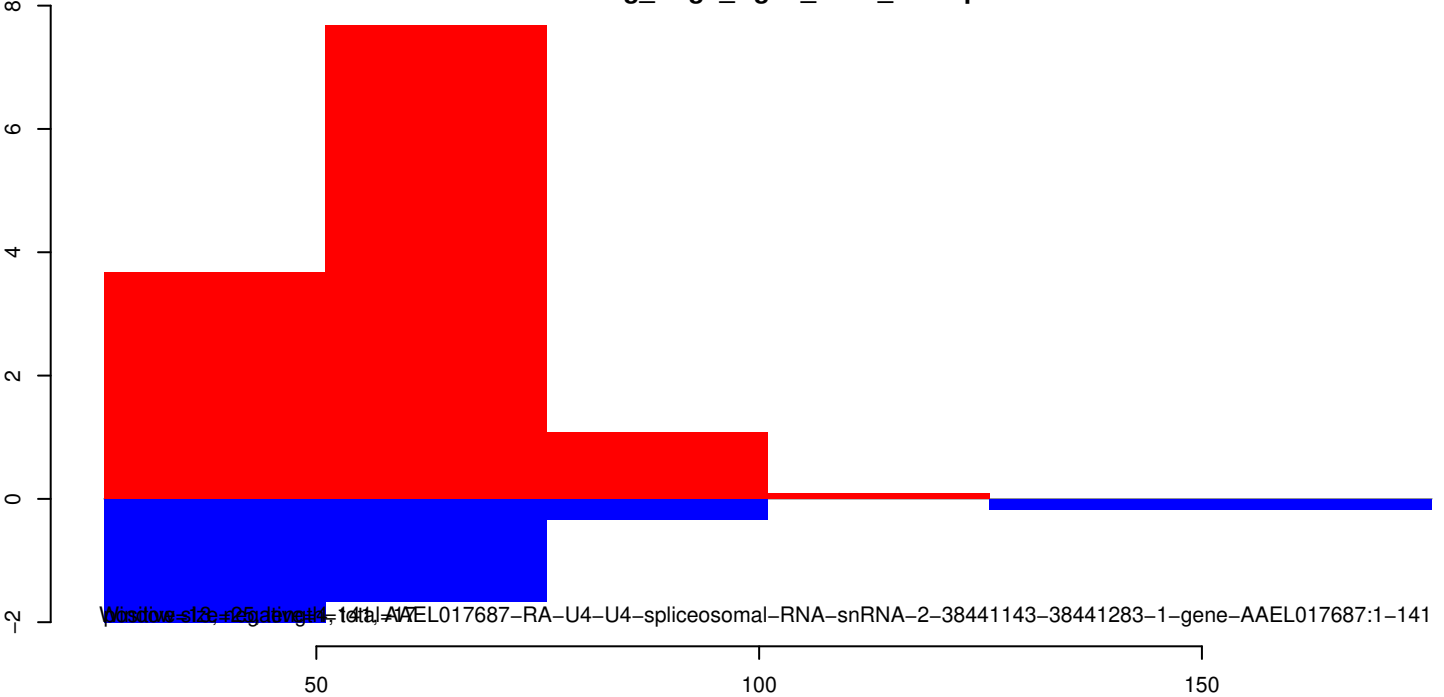
AeAeg_Aag2_Ago2_SINV_RA.18_23.rep



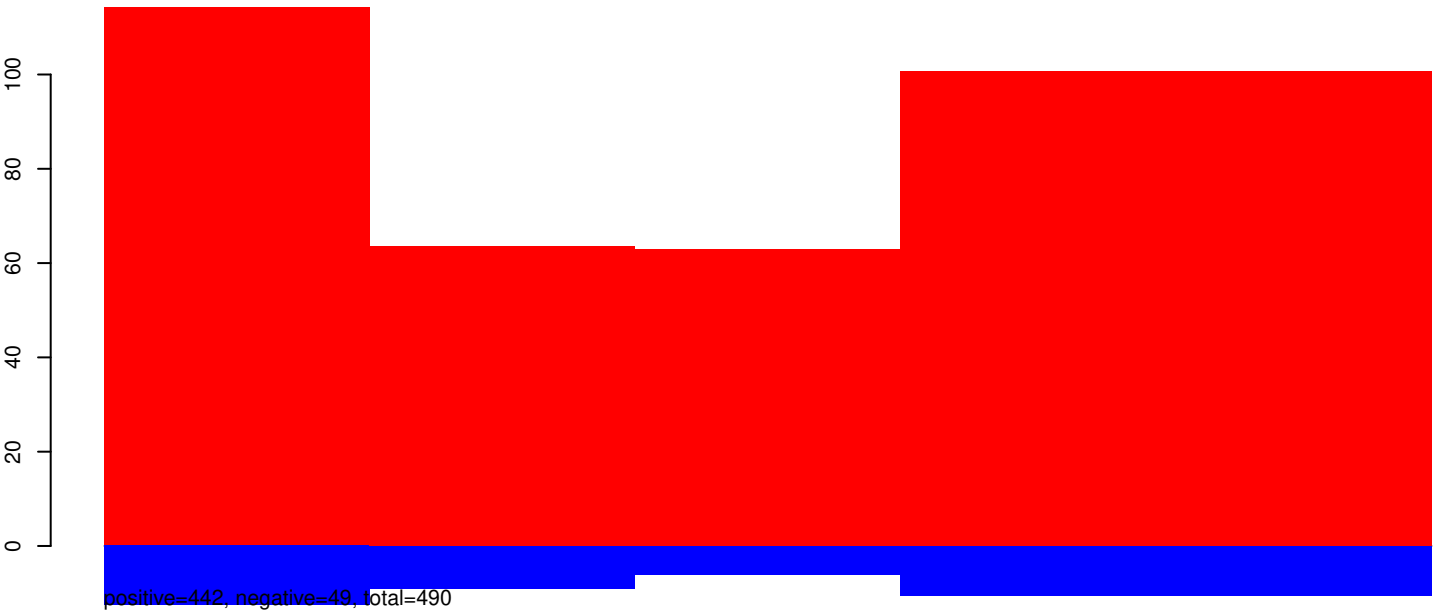
AeAeg_Aag2_Ago2_SINV_RA.24_35.rep



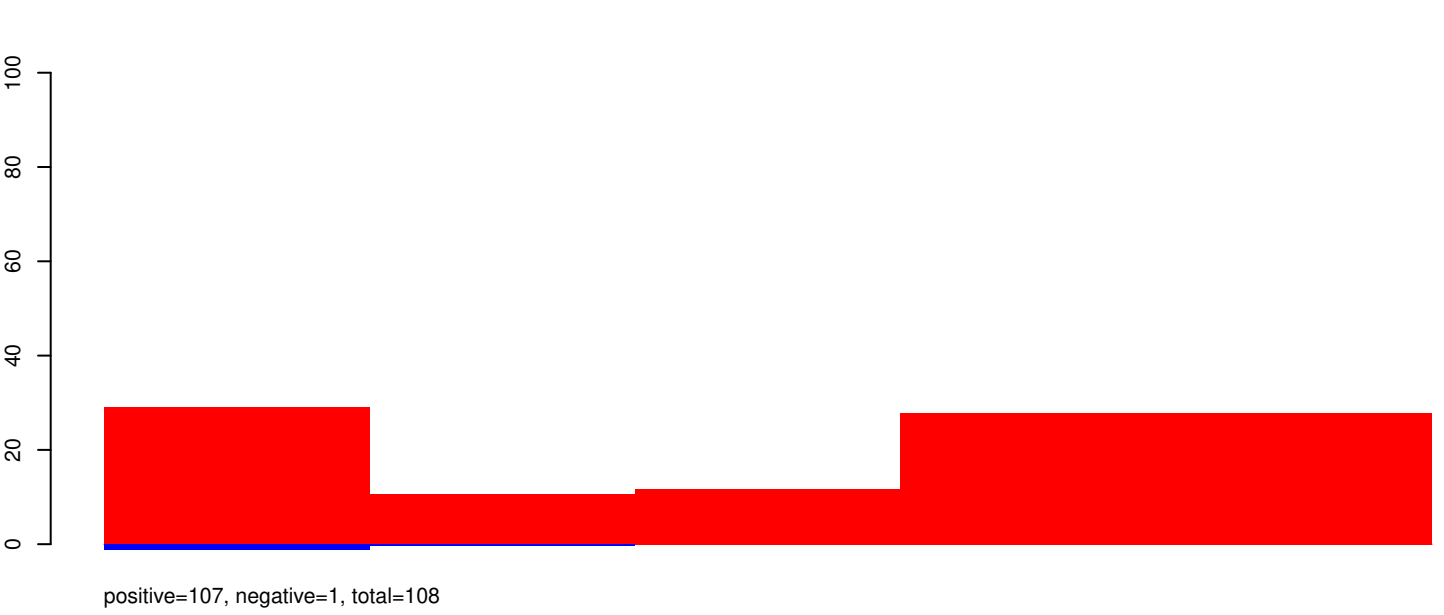
AeAeg_Aag2_Ago2_SINV_RA.rep



AeAeg_Aag2_Ago2_SINV_RA.18_23.rep



AeAeg_Aag2_Ago2_SINV_RA.24_35.rep

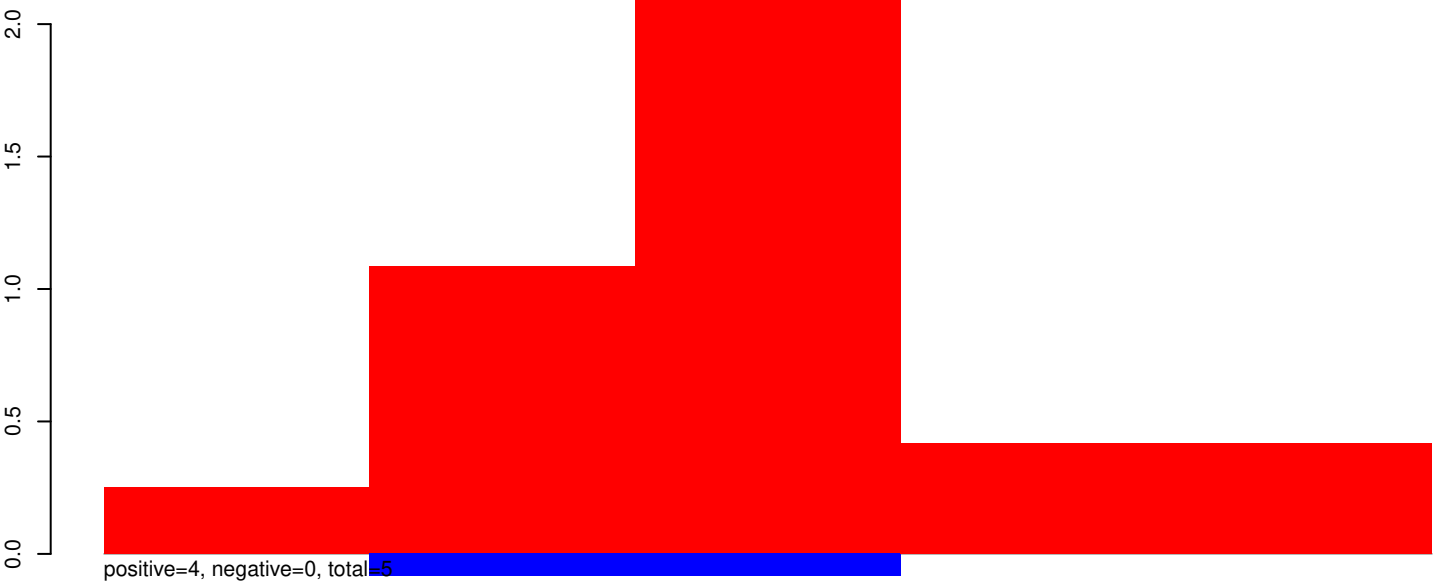


AeAeg_Aag2_Ago2_SINV_RA.rep

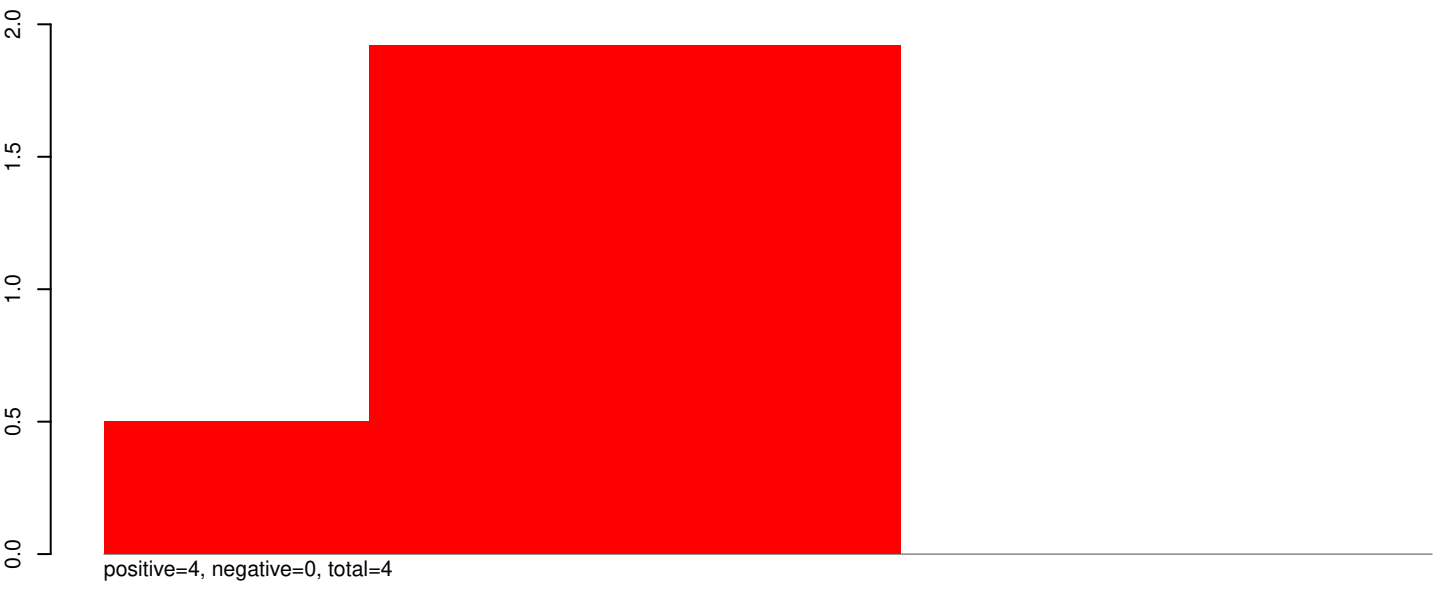


40 60 80 100 120 140

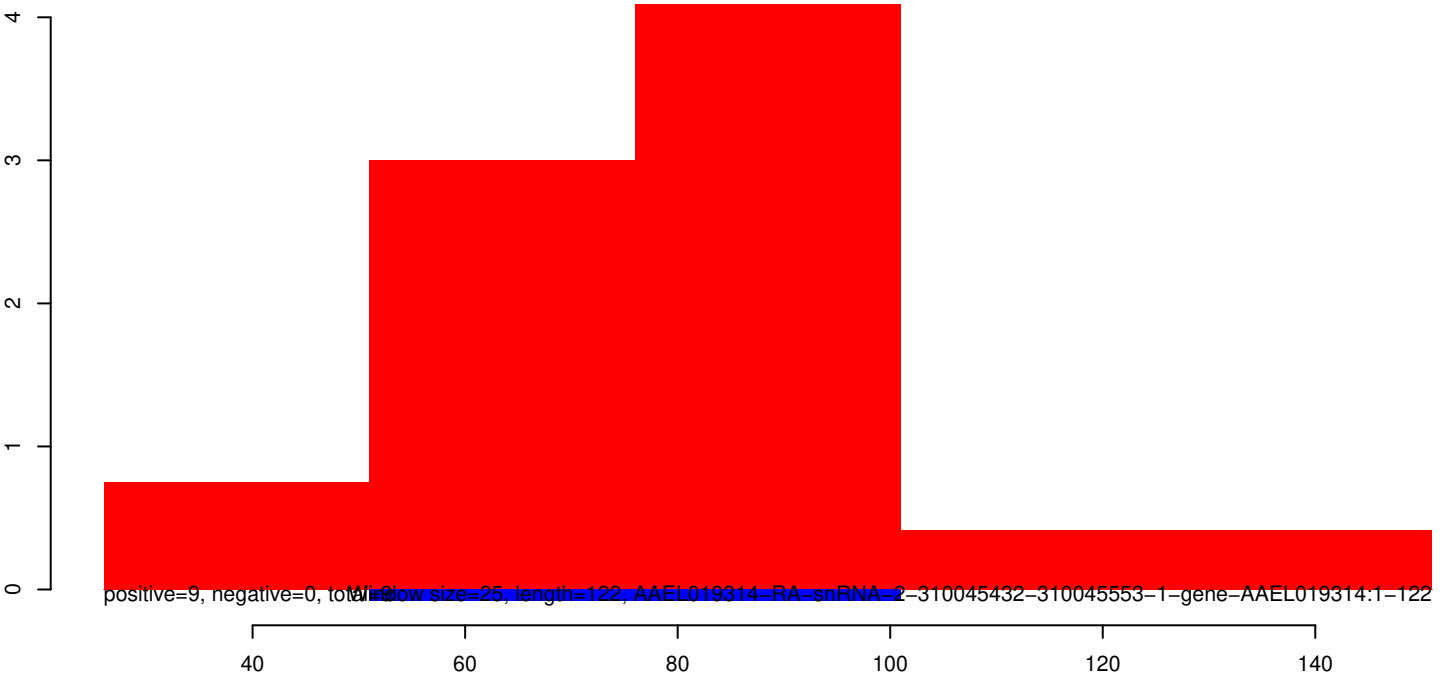
AeAeg_Aag2_Ago2_SINV_RA.18_23.rep



AeAeg_Aag2_Ago2_SINV_RA.24_35.rep



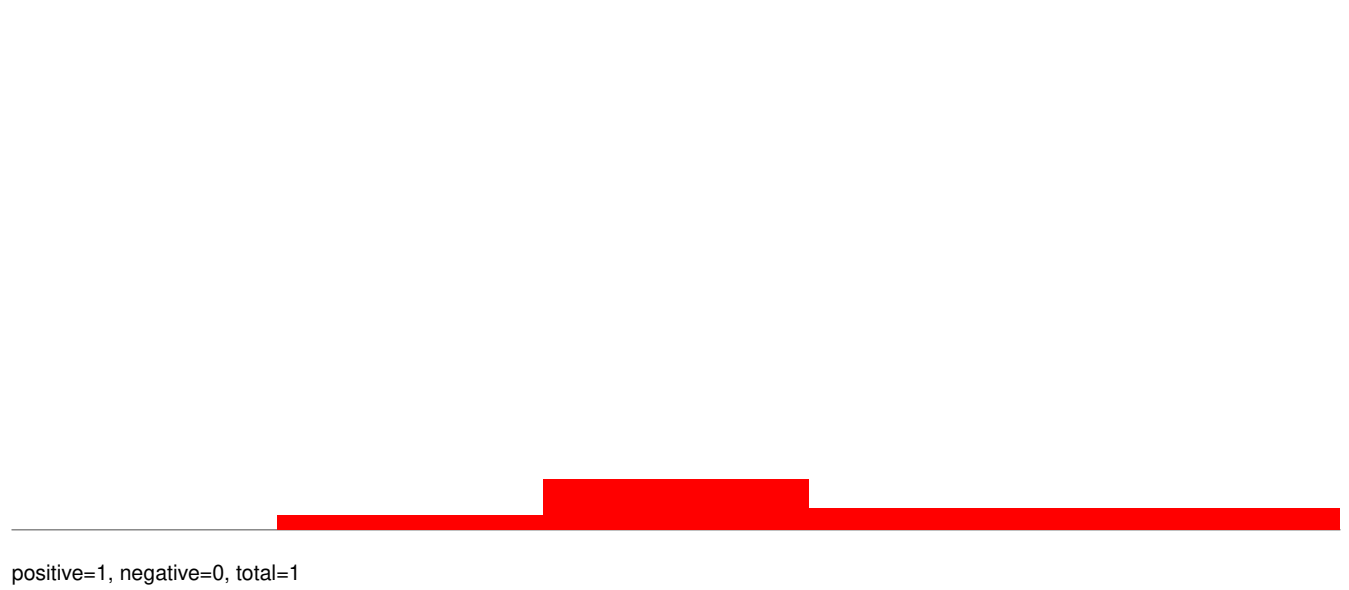
AeAeg_Aag2_Ago2_SINV_RA.rep



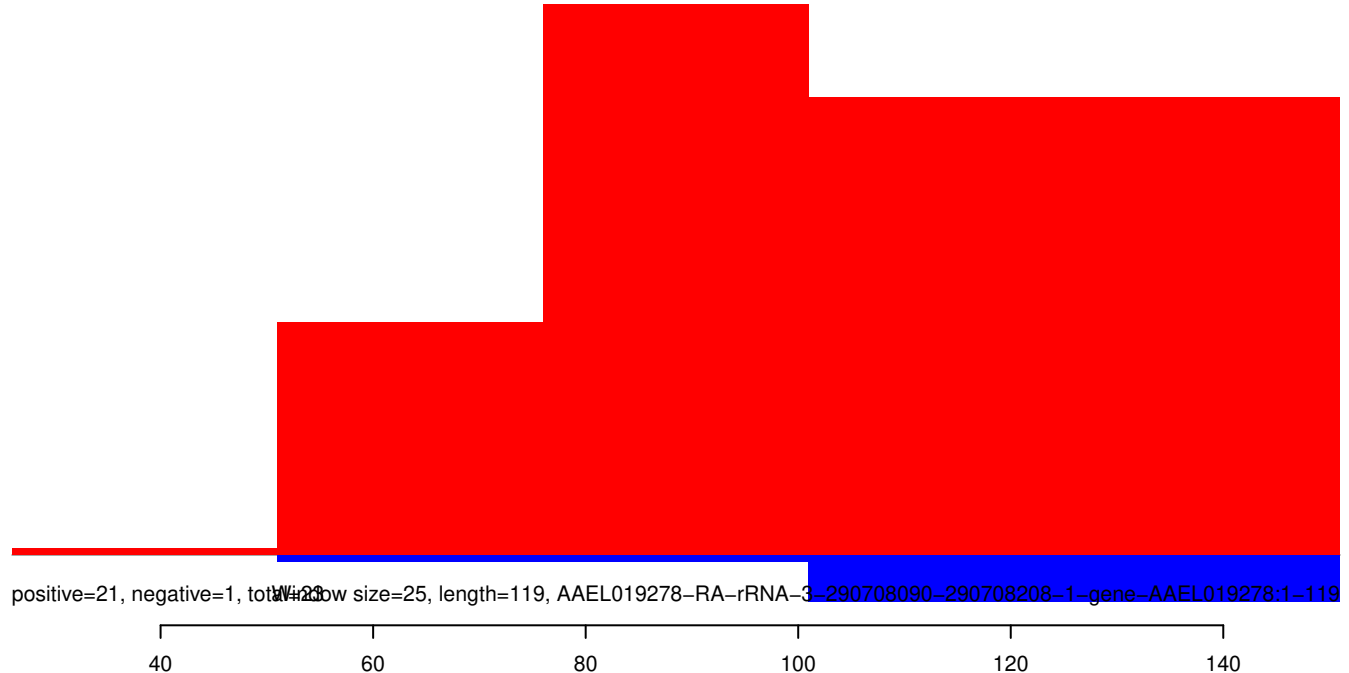
AeAeg_Aag2_Ago2_SINV_RA.18_23.rep



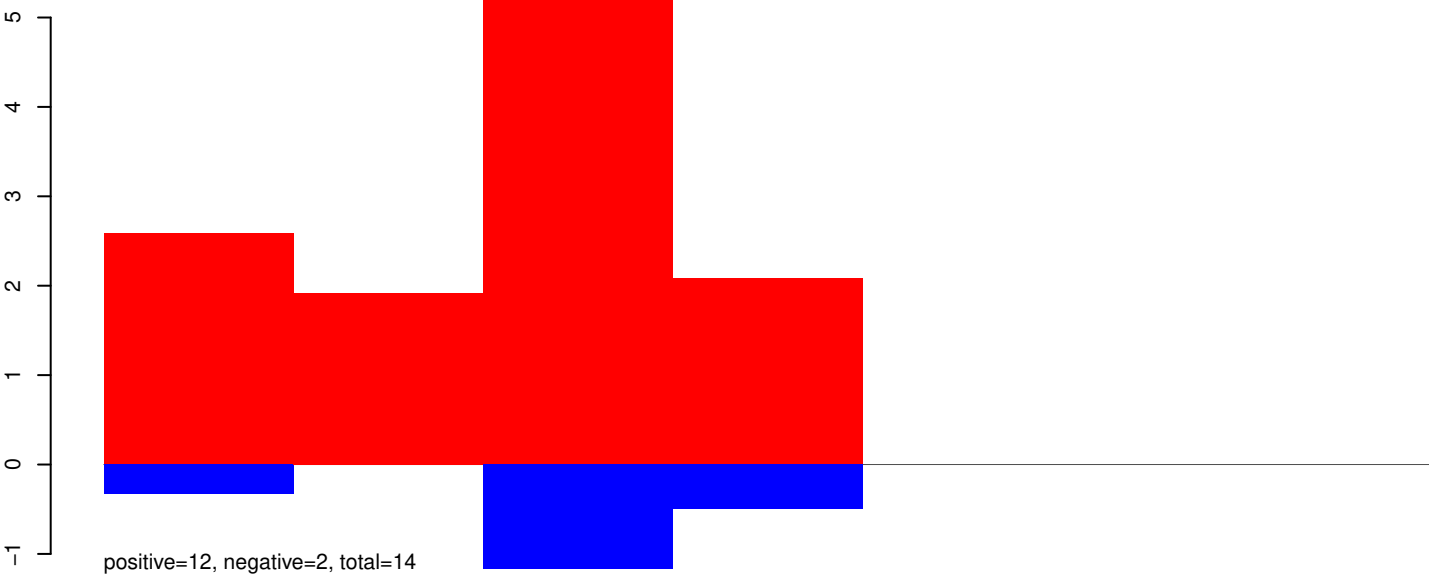
AeAeg_Aag2_Ago2_SINV_RA.24_35.rep



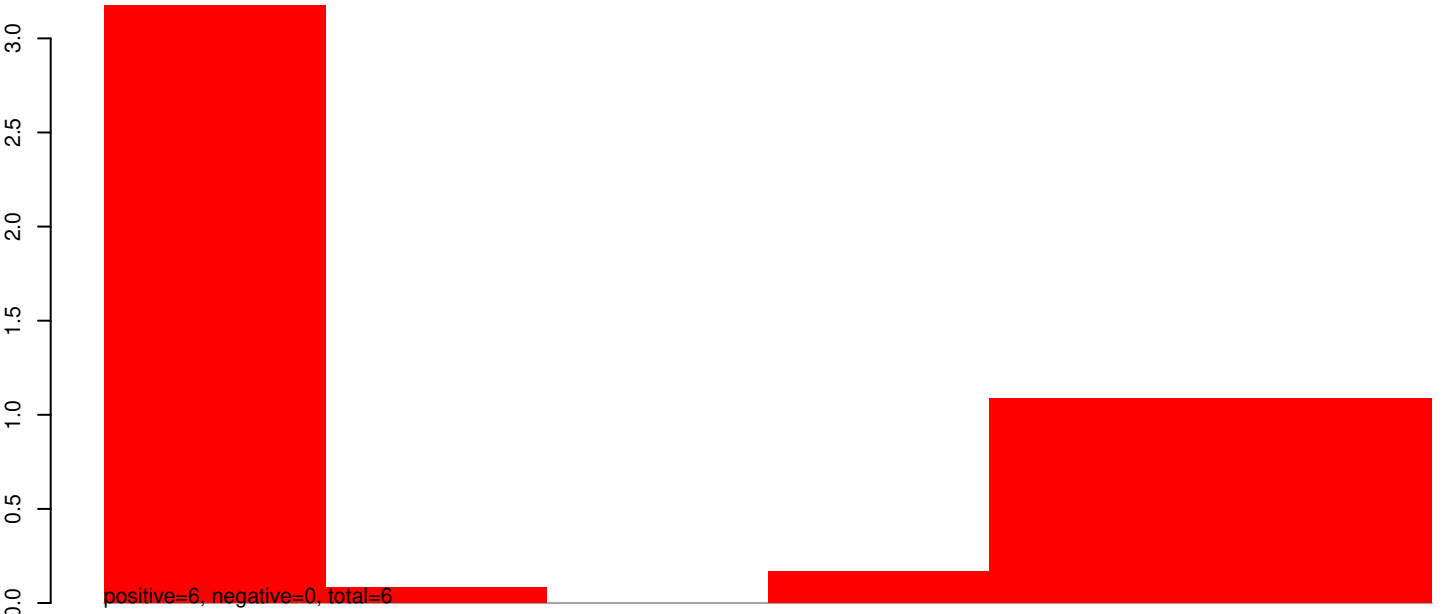
AeAeg_Aag2_Ago2_SINV_RA.rep



AeAeg_Aag2_Ago2_SINV_RA.18_23.rep



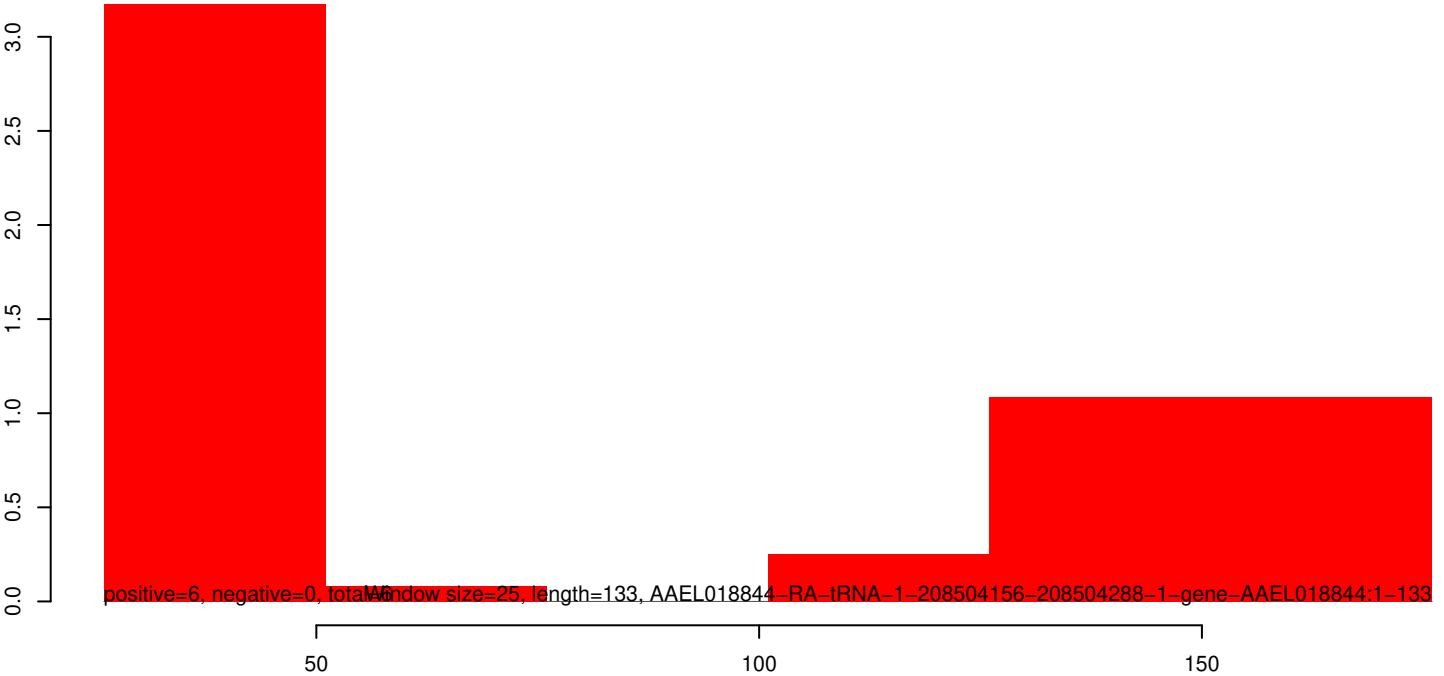
AeAeg_Aag2_Ago2_SINV_RA.18_23.rep



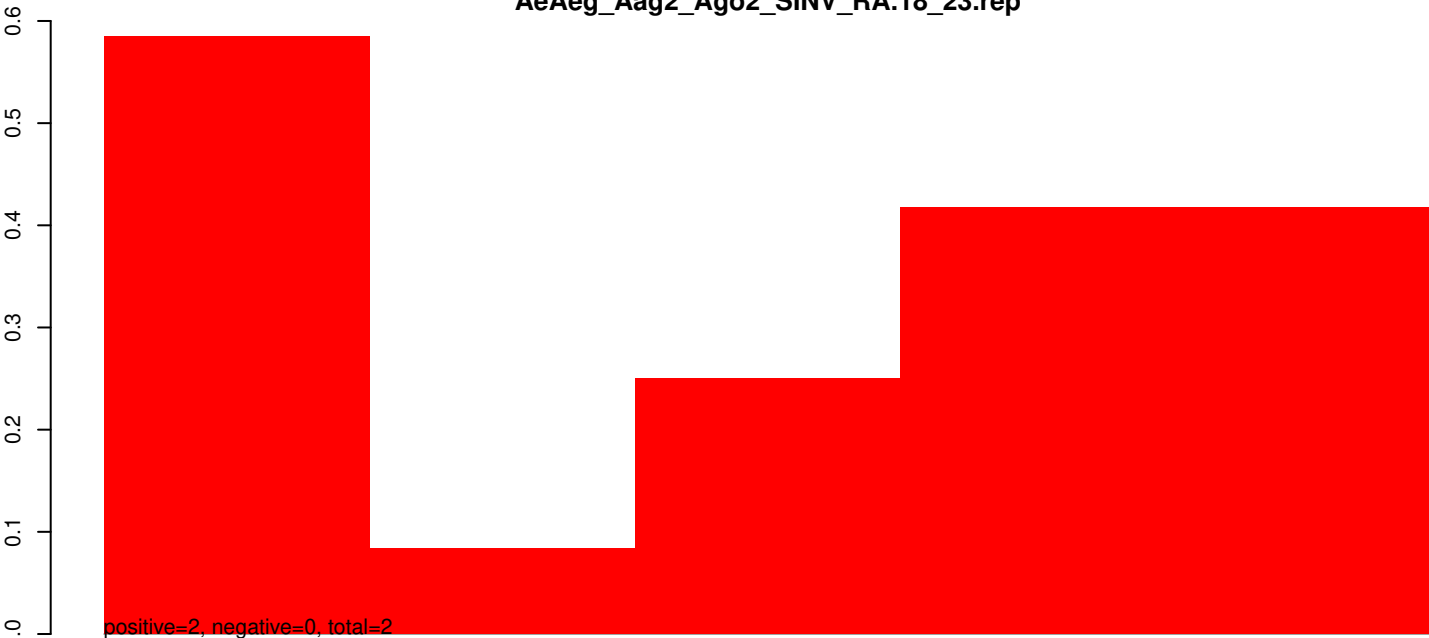
AeAeg_Aag2_Ago2_SINV_RA.24_35.rep



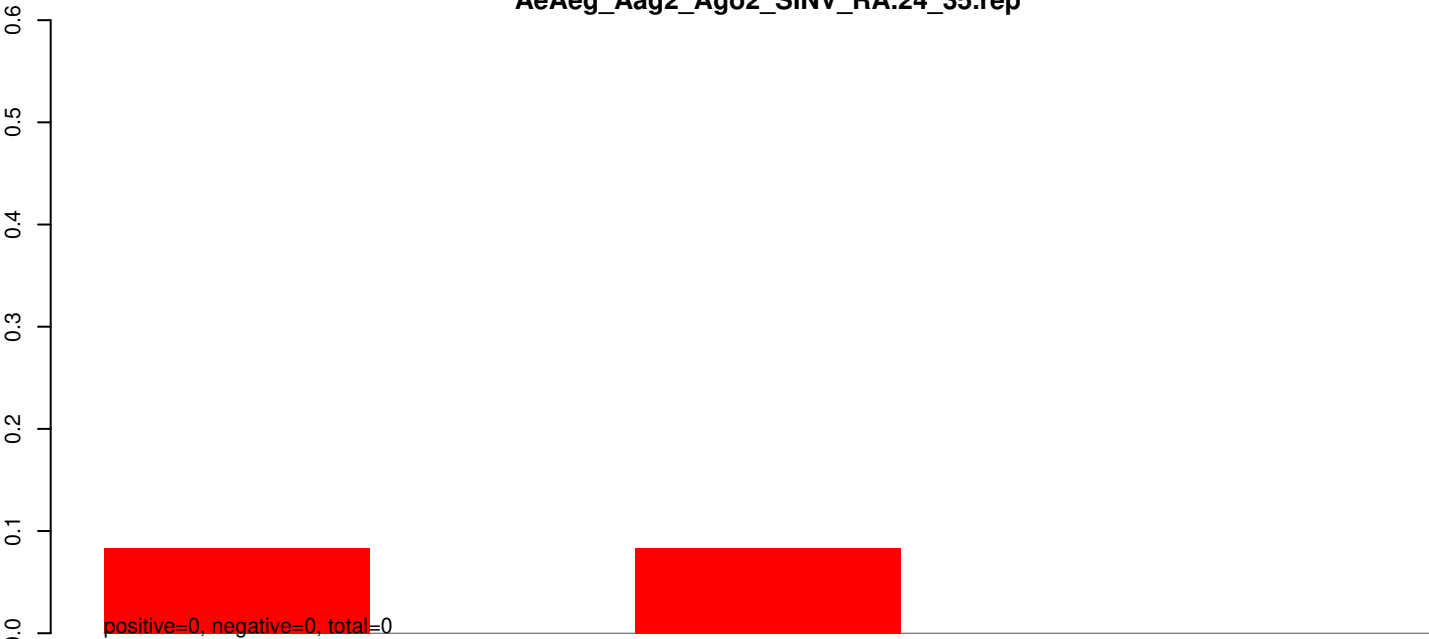
AeAeg_Aag2_Ago2_SINV_RA.rep



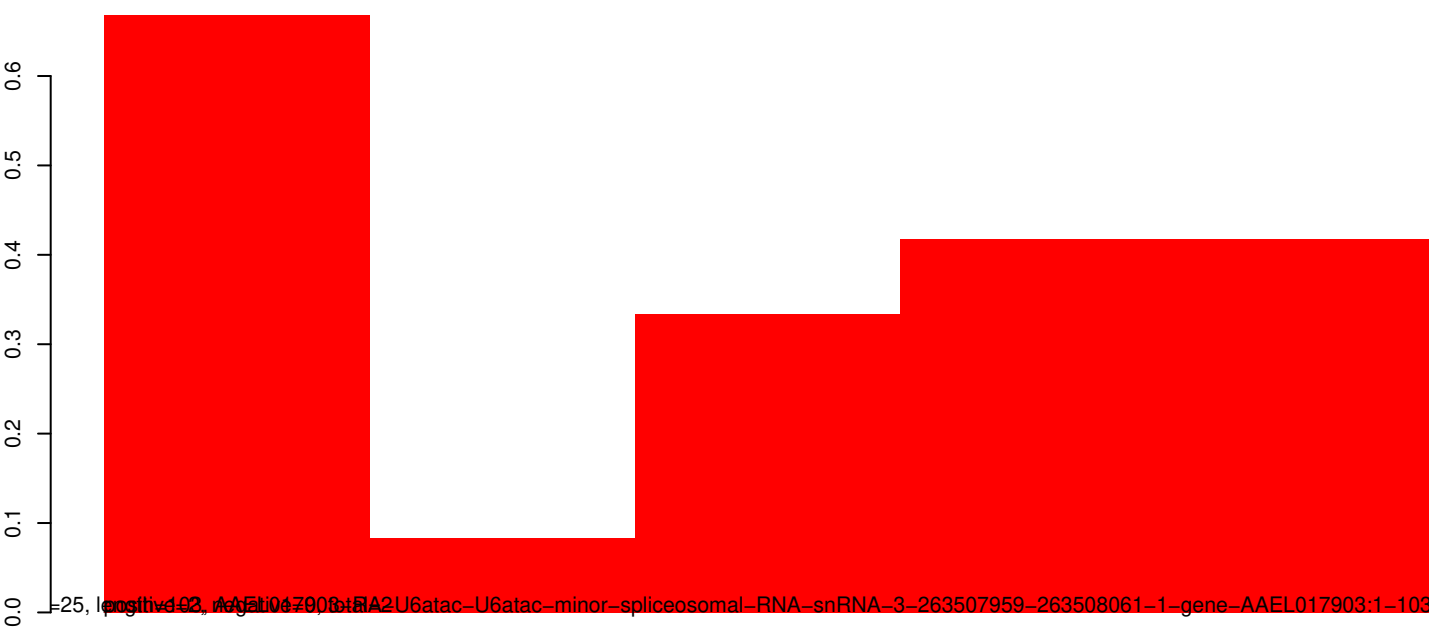
AeAeg_Aag2_Ago2_SINV_RA.18_23.rep



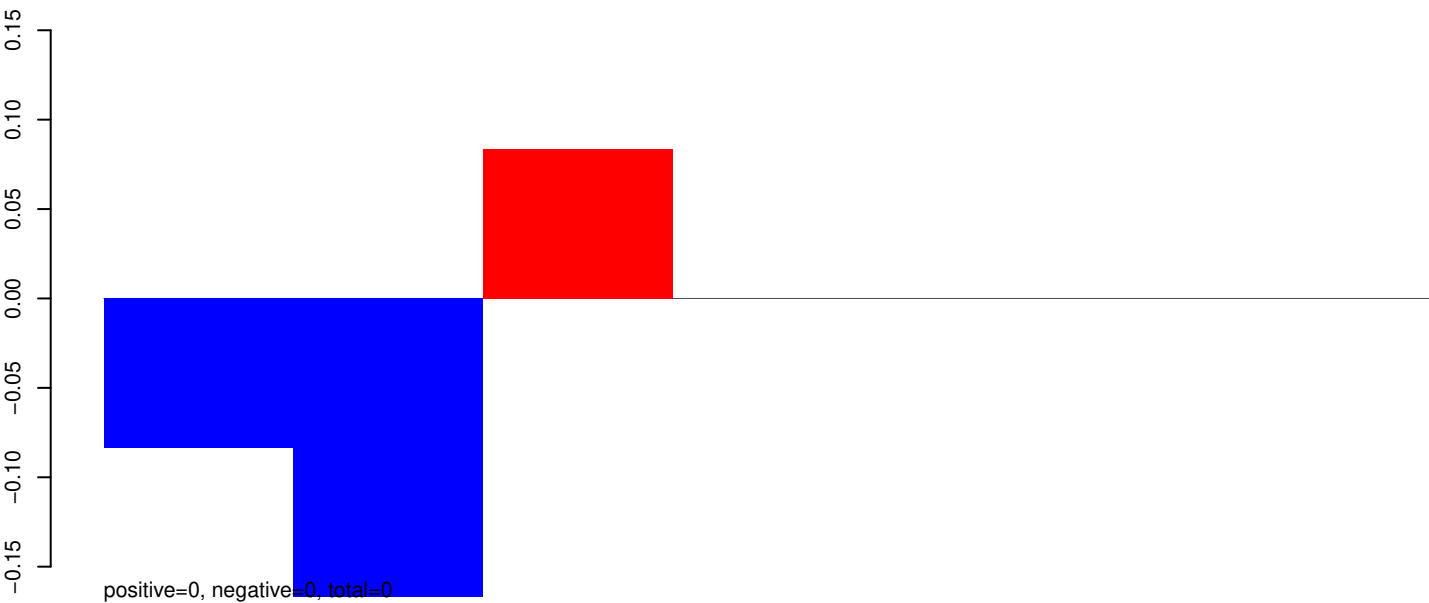
AeAeg_Aag2_Ago2_SINV_RA.24_35.rep



AeAeg_Aag2_Ago2_SINV_RA.rep



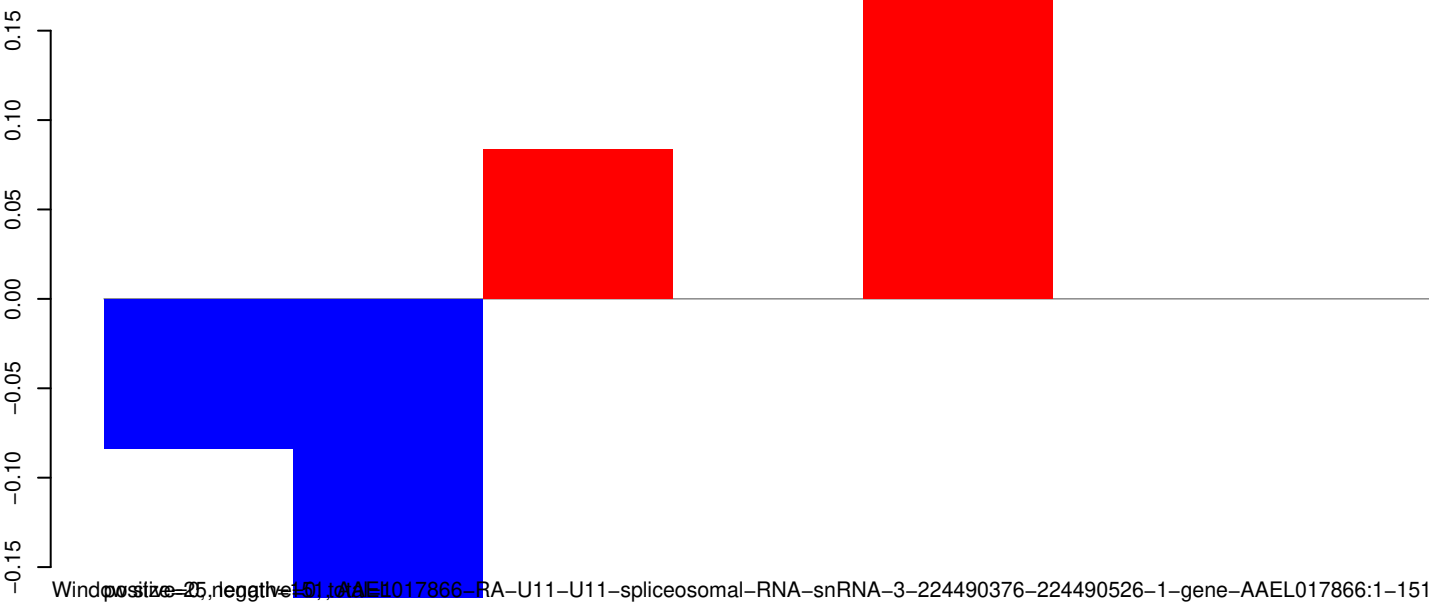
AeAeg_Aag2_Ago2_SINV_RA.18_23.rep



AeAeg_Aag2_Ago2_SINV_RA.24_35.rep



AeAeg_Aag2_Ago2_SINV_RA.rep



Window size=25, positive=0, negative=0, total=0

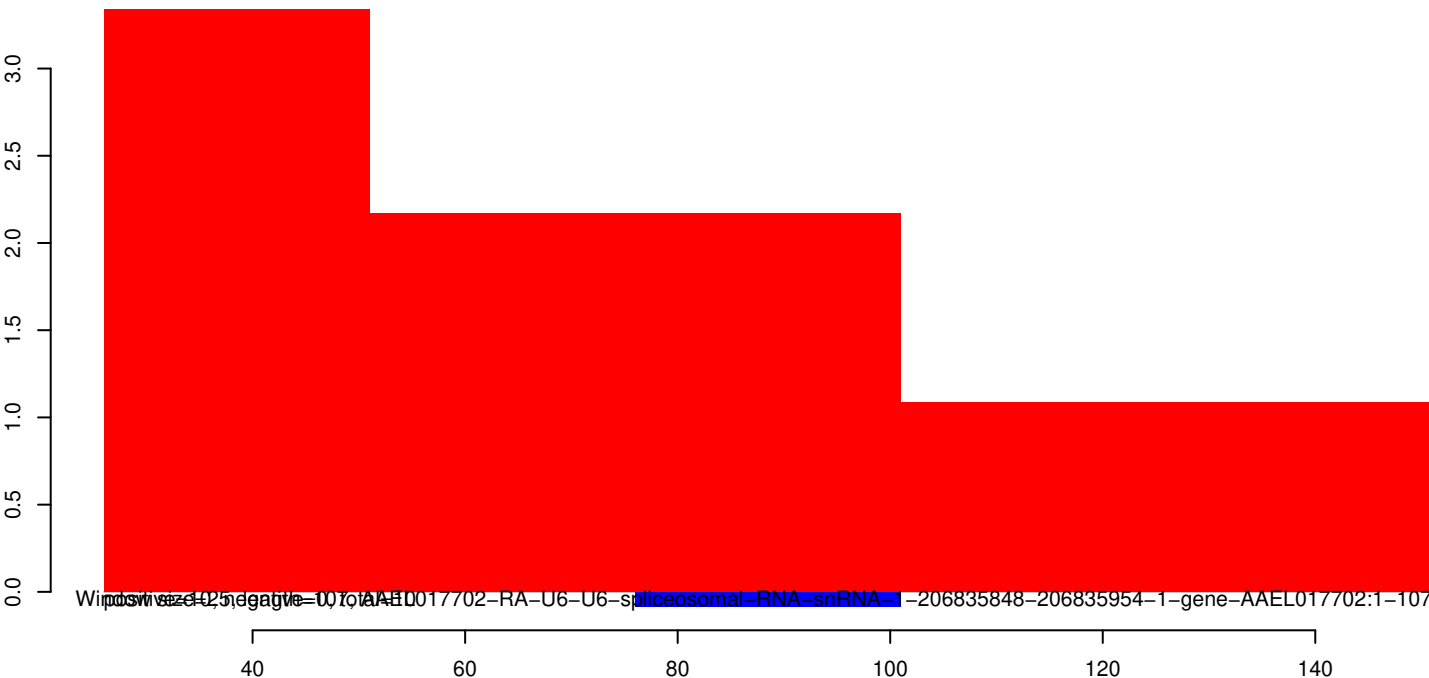
AeAeg_Aag2_Ago2_SINV_RA.18_23.rep



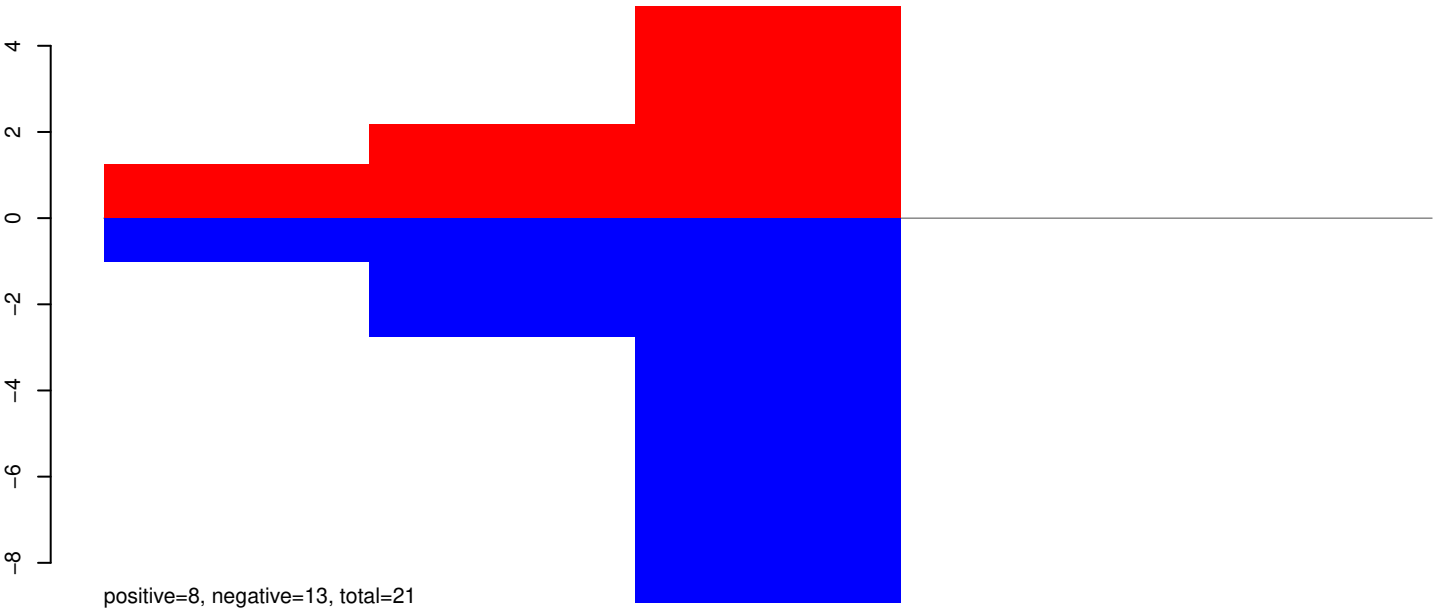
AeAeg_Aag2_Ago2_SINV_RA.24_35.rep



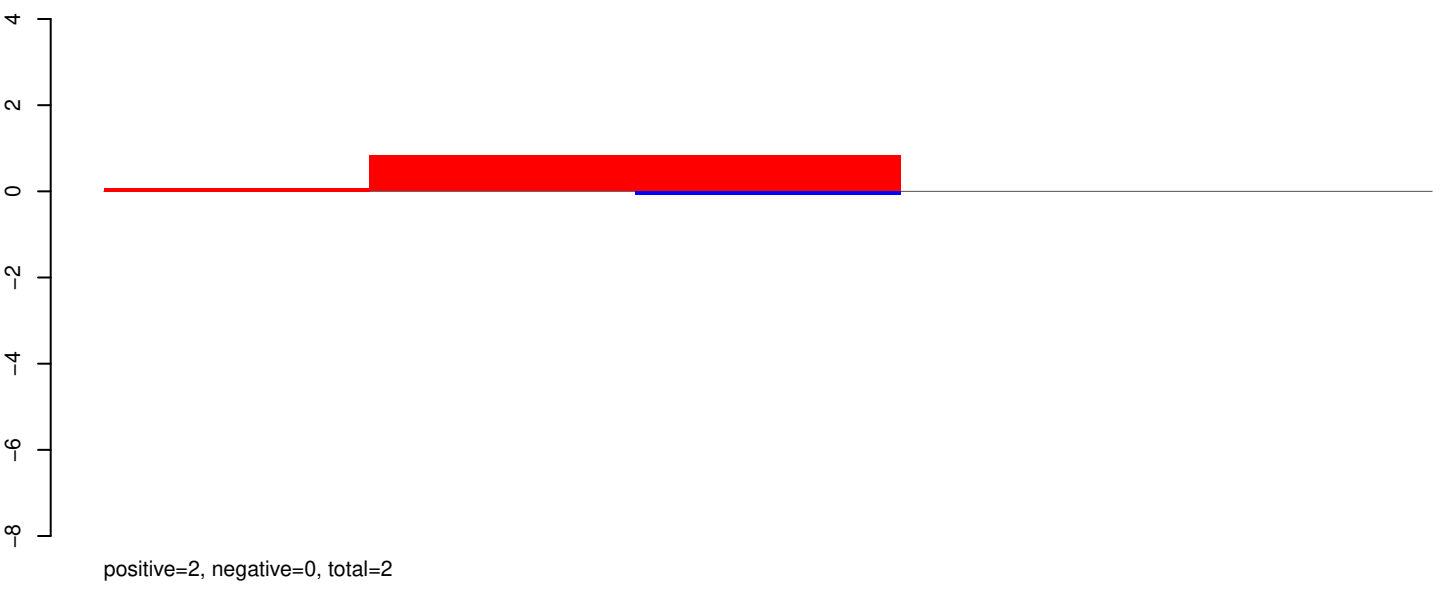
AeAeg_Aag2_Ago2_SINV_RA.rep



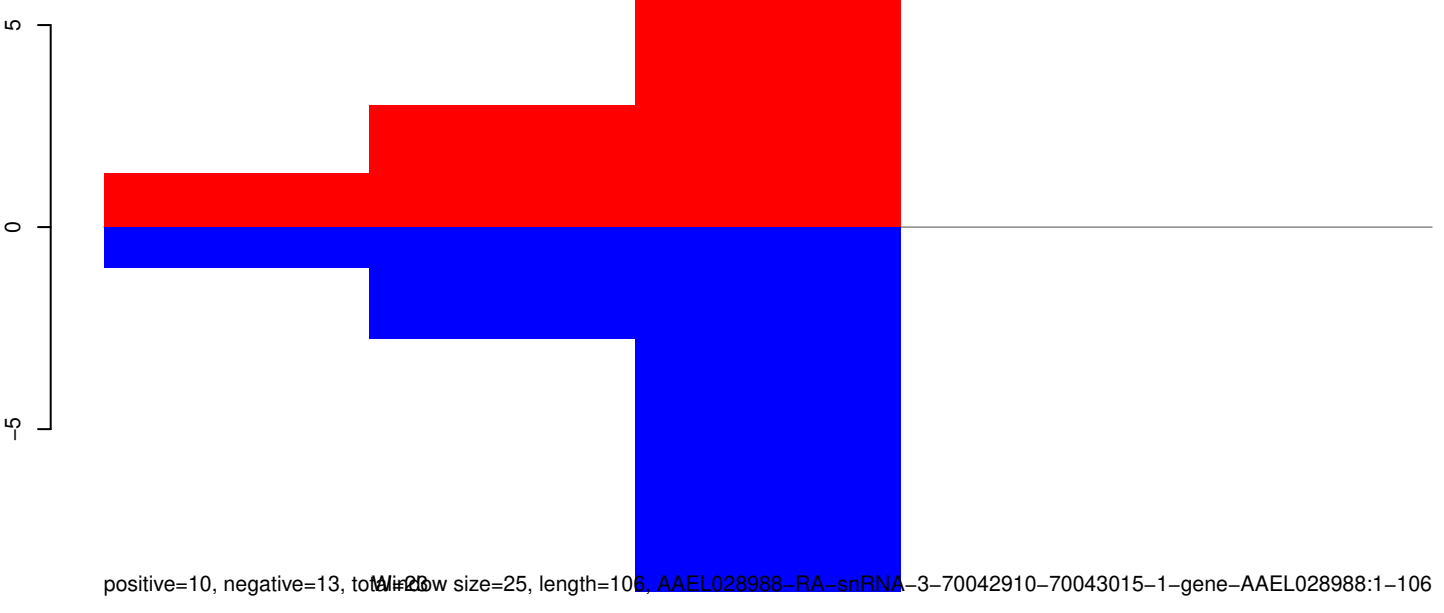
AeAeg_Aag2_Ago2_SINV_RA.18_23.rep



AeAeg_Aag2_Ago2_SINV_RA.24_35.rep



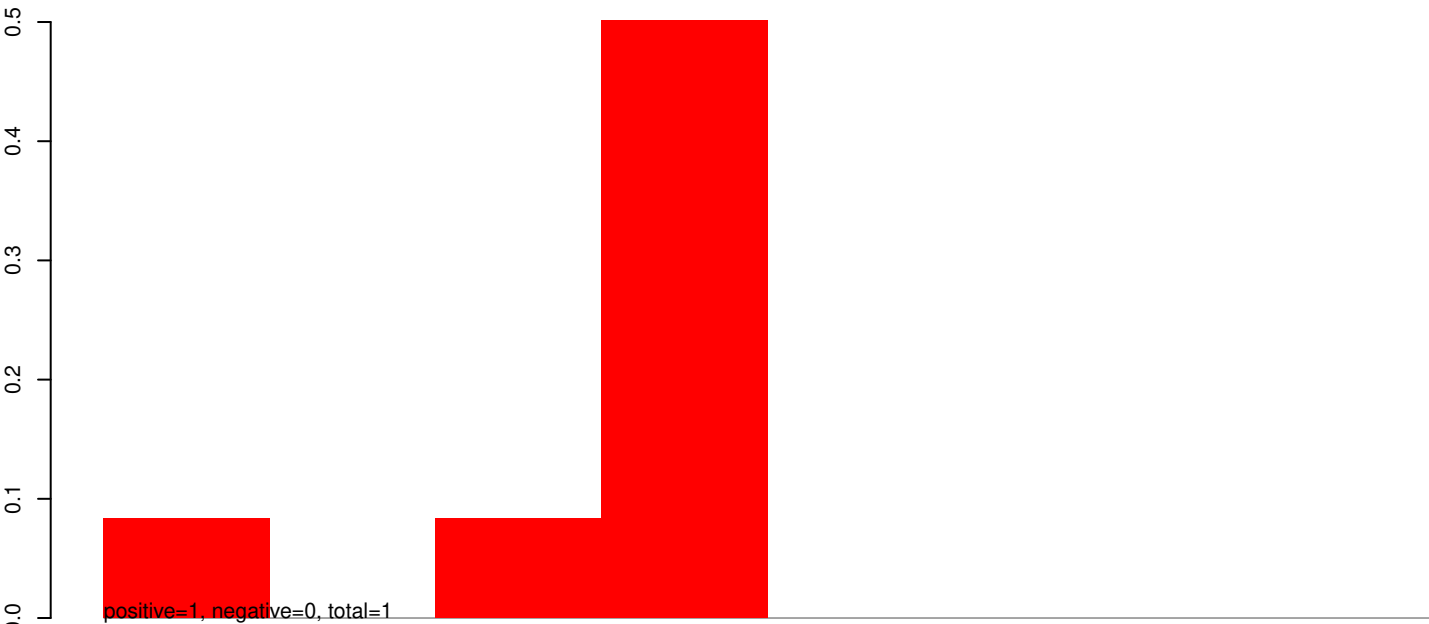
AeAeg_Aag2_Ago2_SINV_RA.rep



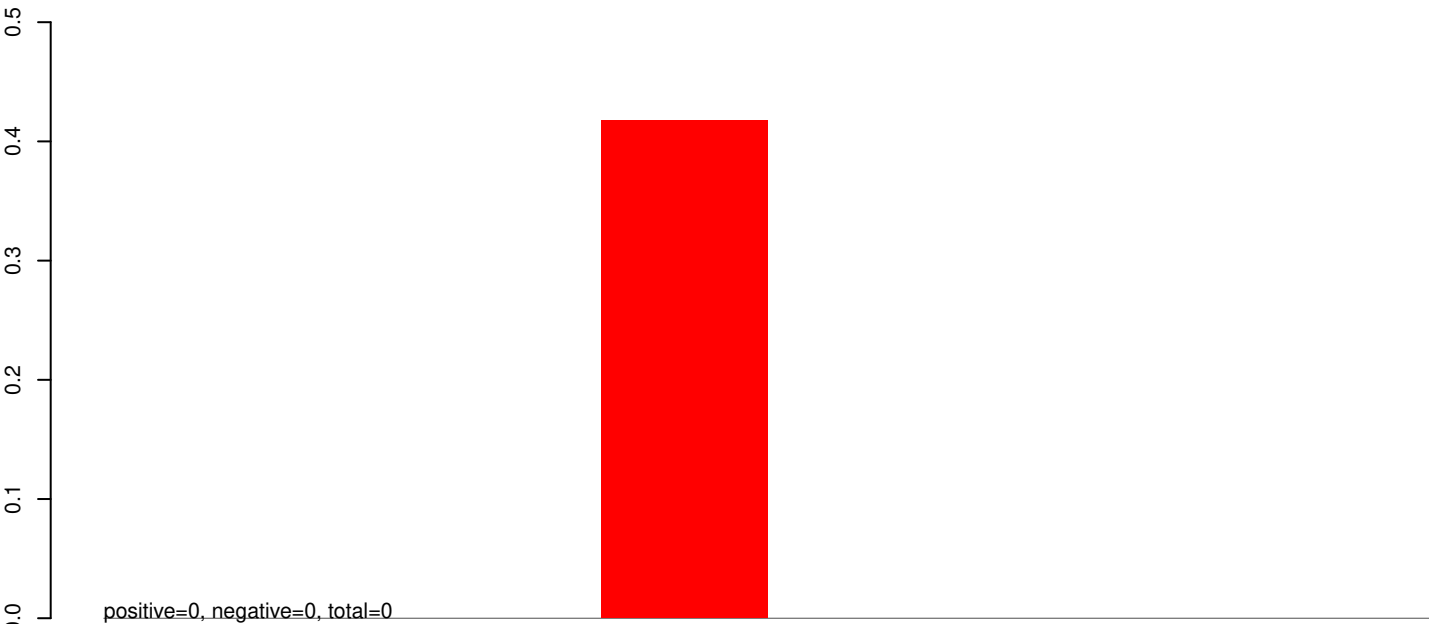
Window size=25, length=106, AAEL028988-RA-siRNA-3-70042910-70043015-1-gene-AAEL028988:1-106

40 60 80 100 120 140

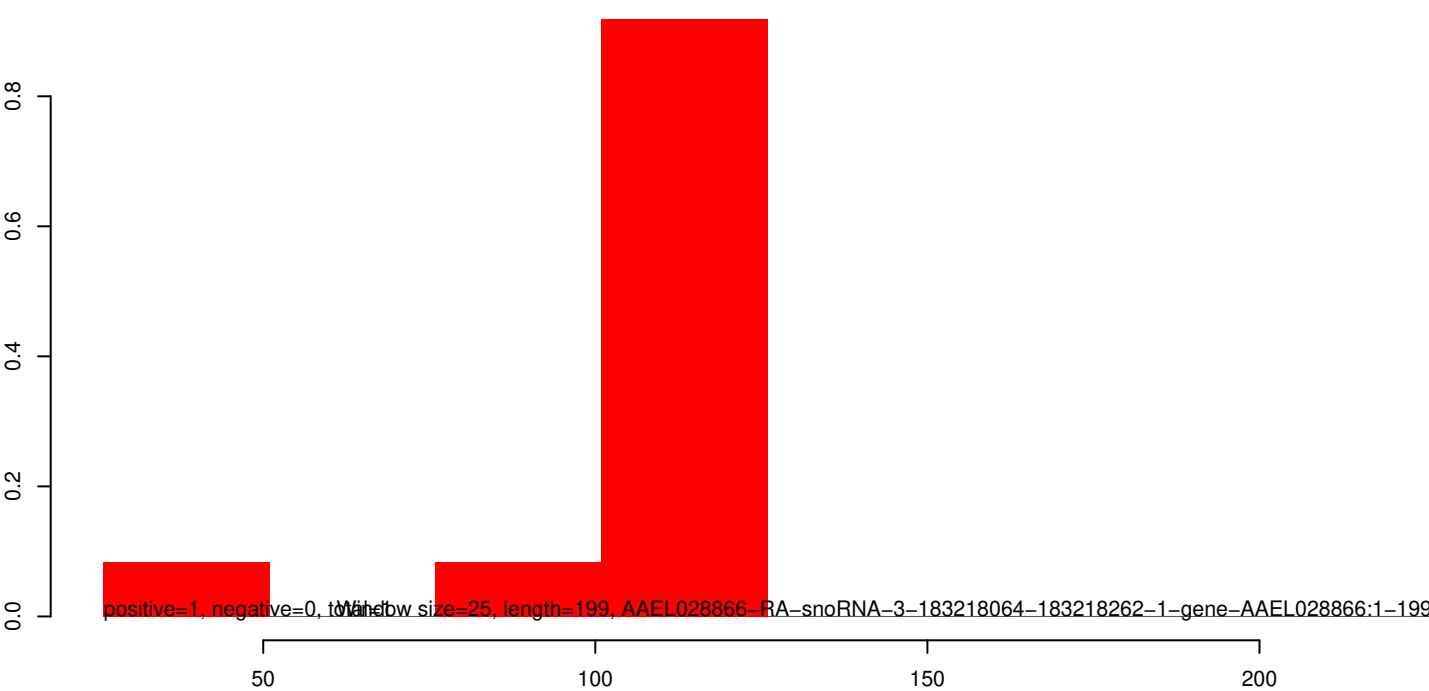
AeAeg_Aag2_Ago2_SINV_RA.18_23.rep



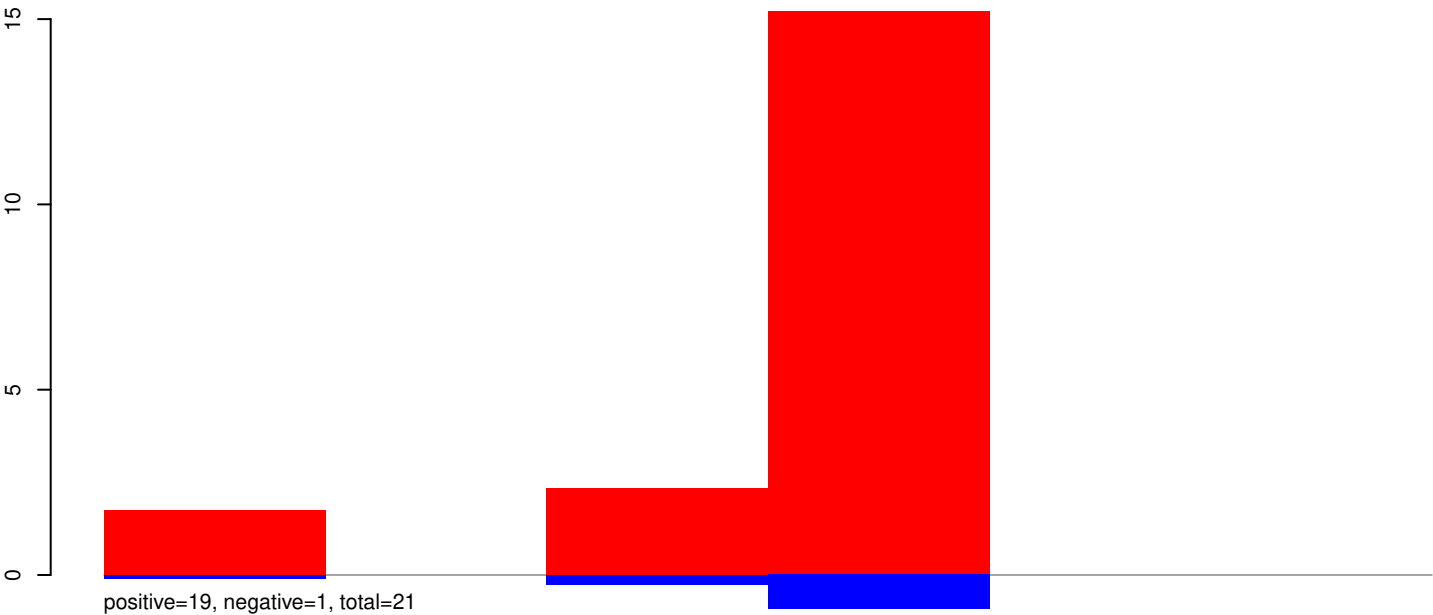
AeAeg_Aag2_Ago2_SINV_RA.24_35.rep



AeAeg_Aag2_Ago2_SINV_RA.rep



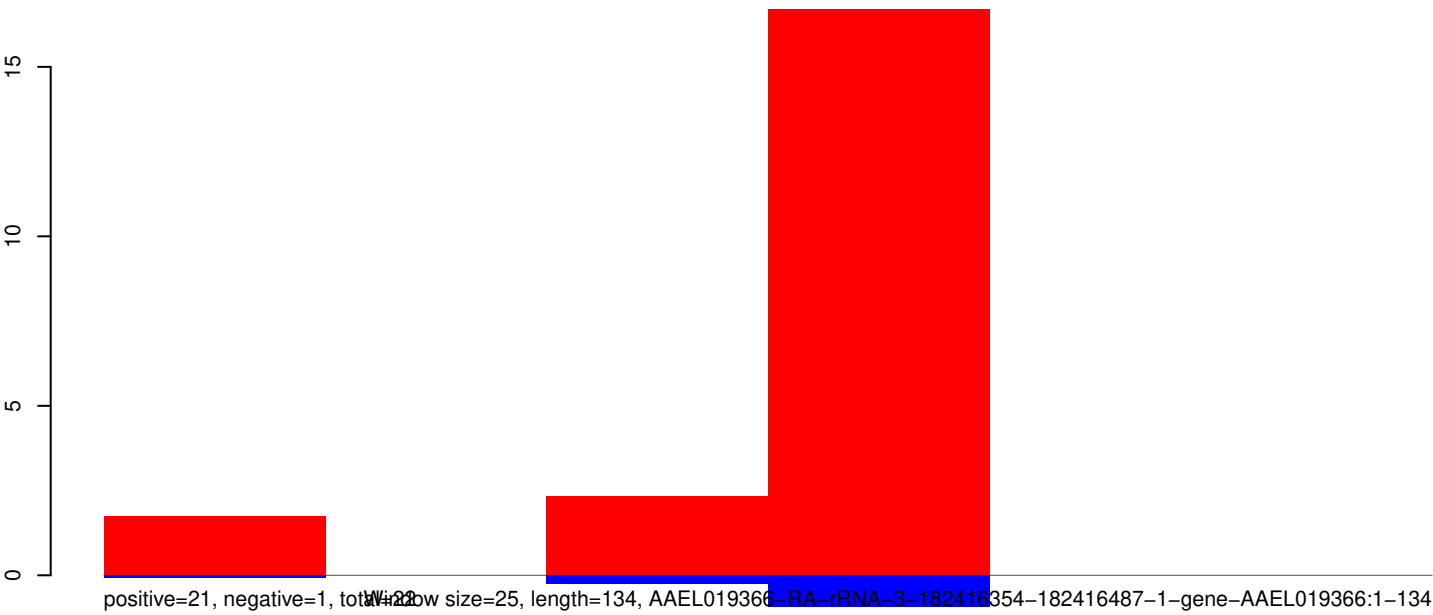
AeAeg_Aag2_Ago2_SINV_RA.18_23.rep



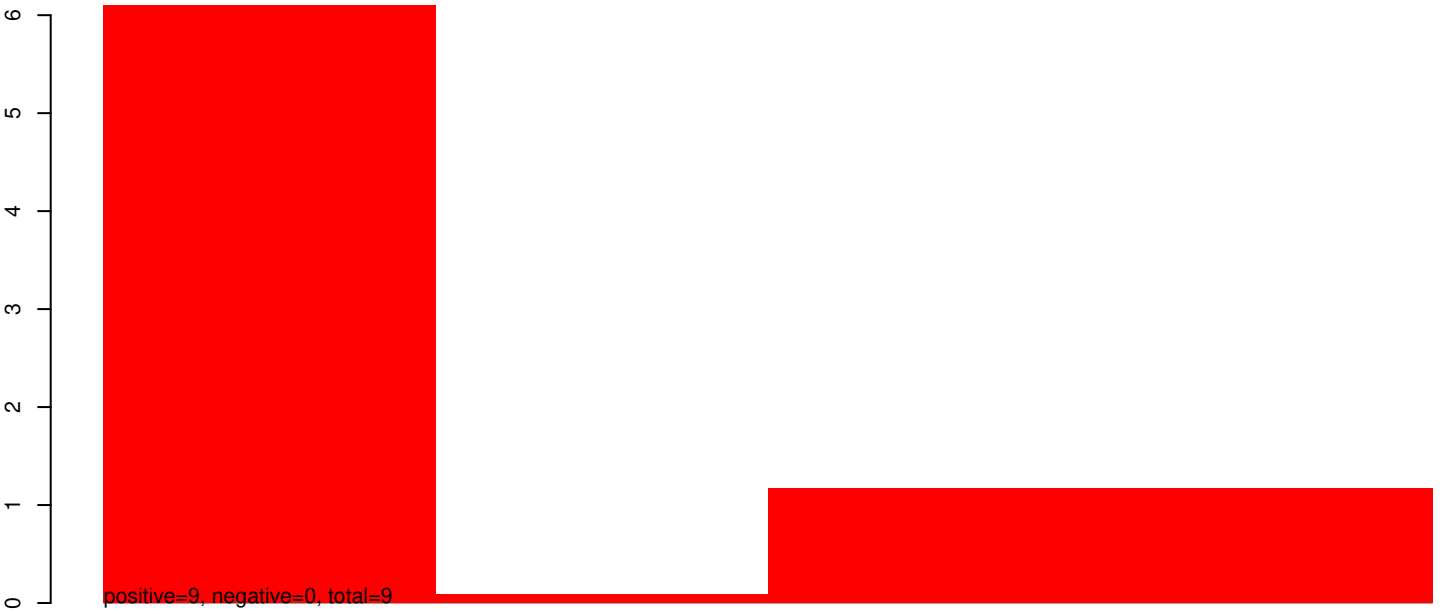
AeAeg_Aag2_Ago2_SINV_RA.24_35.rep



AeAeg_Aag2_Ago2_SINV_RA.rep



AeAeg_Aag2_Ago2_SINV_RA.18_23.rep



positive=9, negative=0, total=9

AeAeg_Aag2_Ago2_SINV_RA.24_35.rep



positive=4, negative=0, total=4

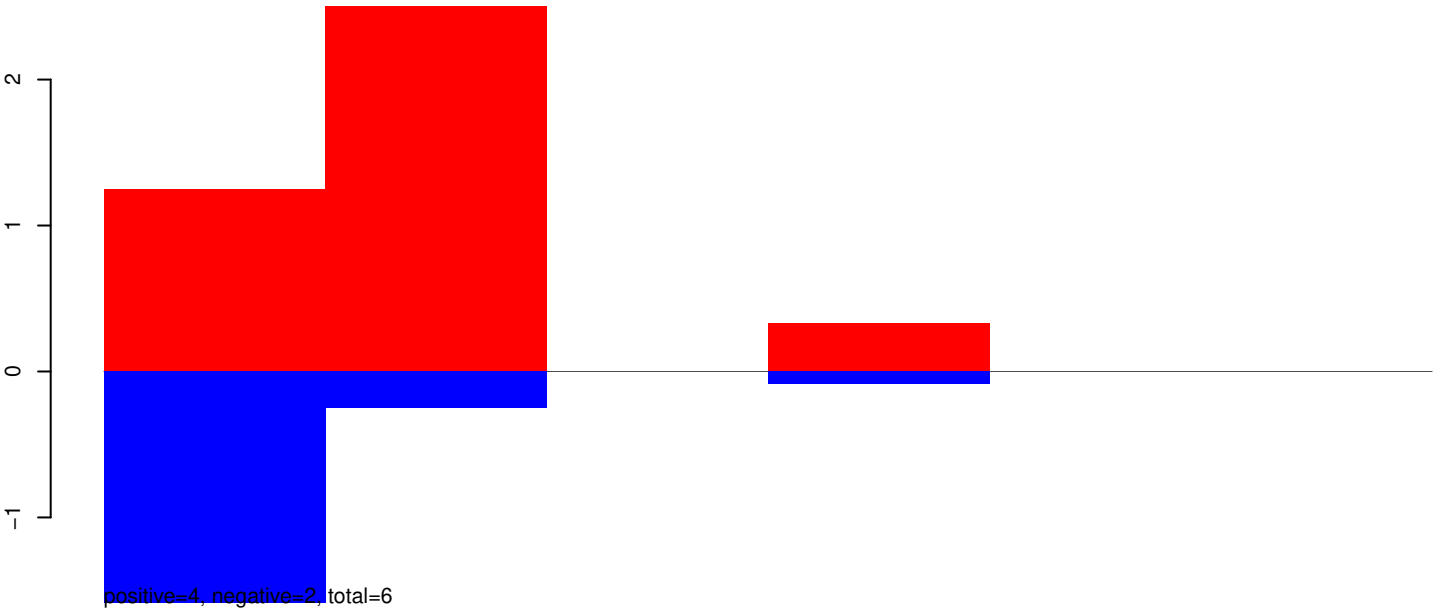
AeAeg_Aag2_Ago2_SINV_RA.rep



31, AAF017843.2, AgastisA46283, Ant282-Small-nucleolar-RNA-Me28S-Am982-snoRNA-1-30439572-30439652-1-gene-AAEL017843:1-81

40 60 80 100 120

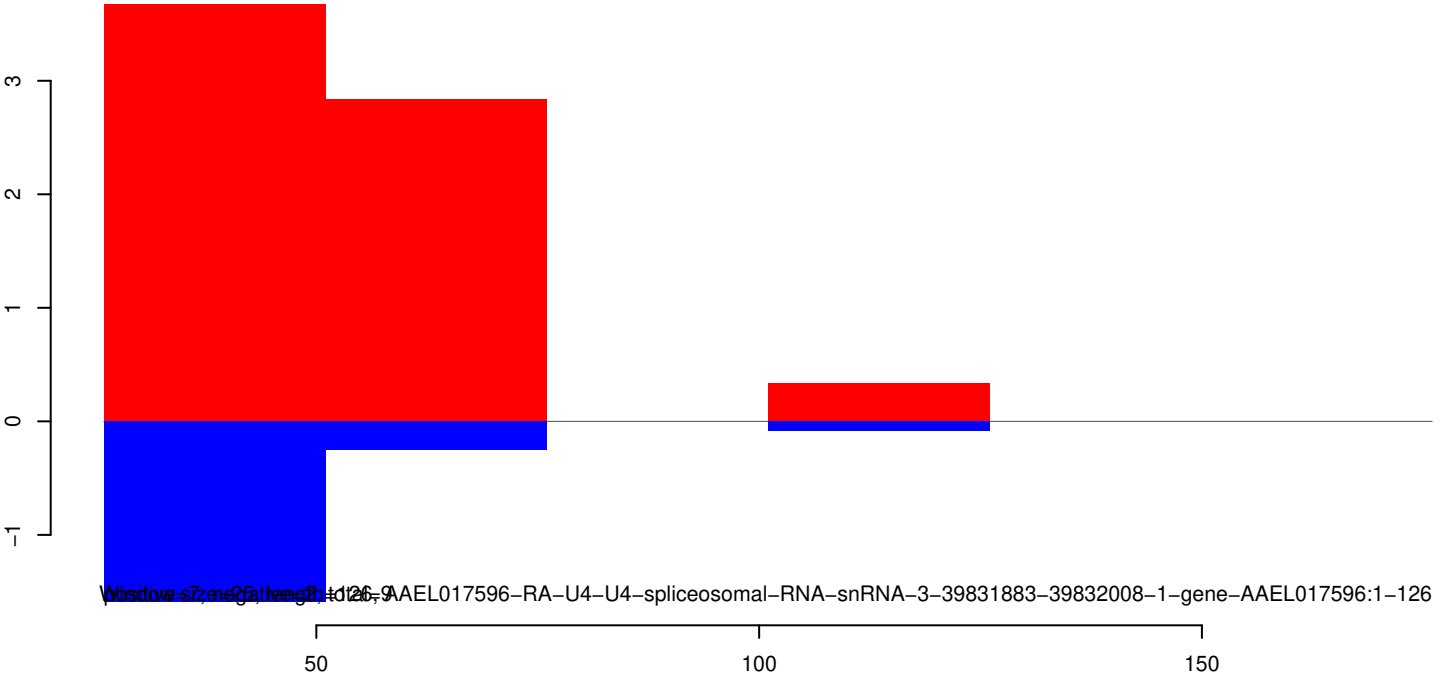
AeAeg_Aag2_Ago2_SINV_RA.18_23.rep



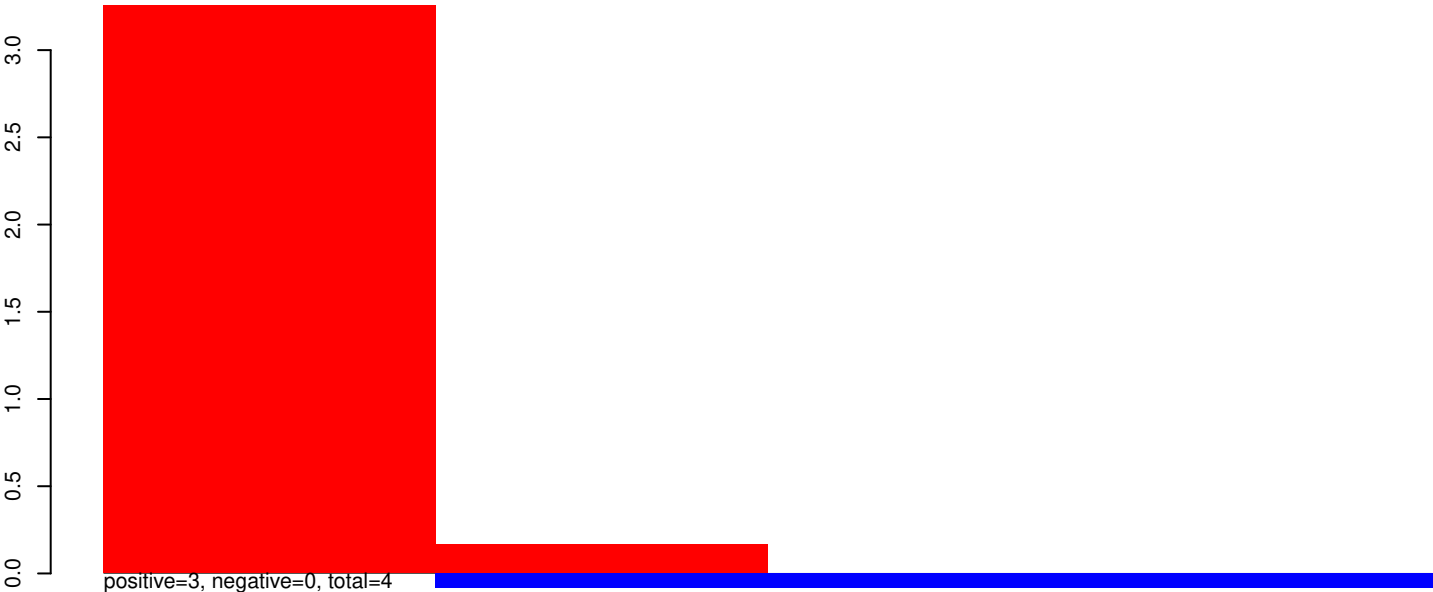
AeAeg_Aag2_Ago2_SINV_RA.24_35.rep



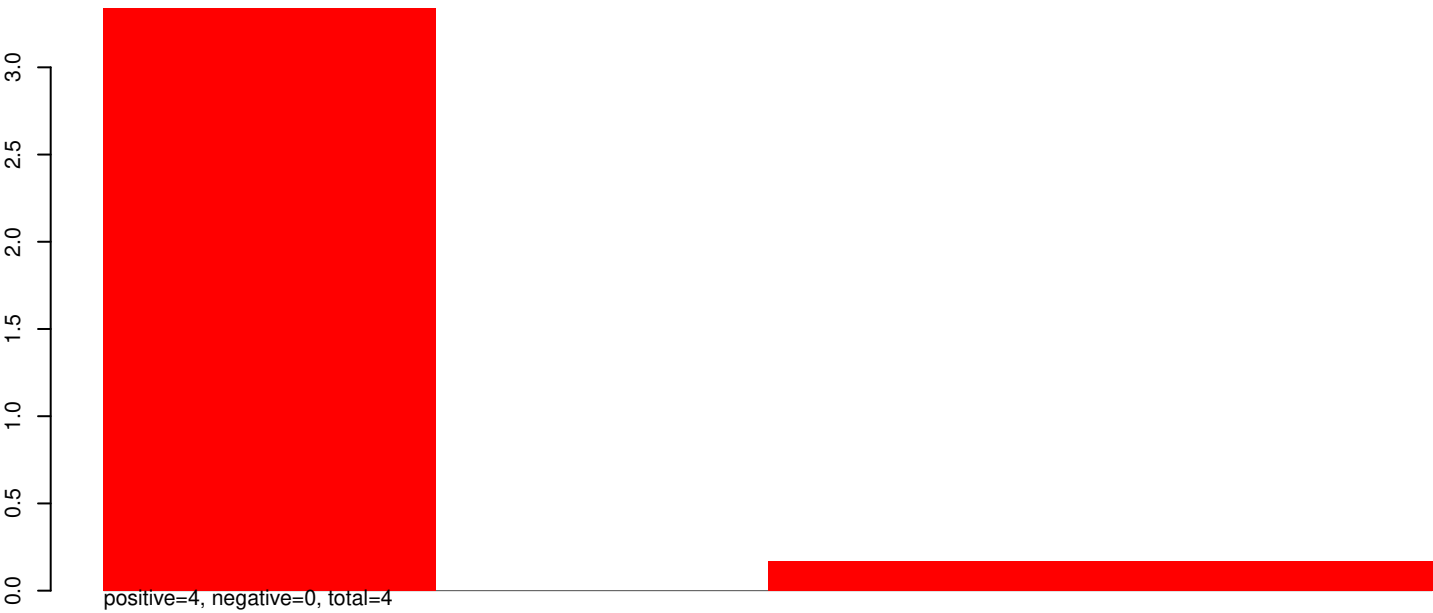
AeAeg_Aag2_Ago2_SINV_RA.rep



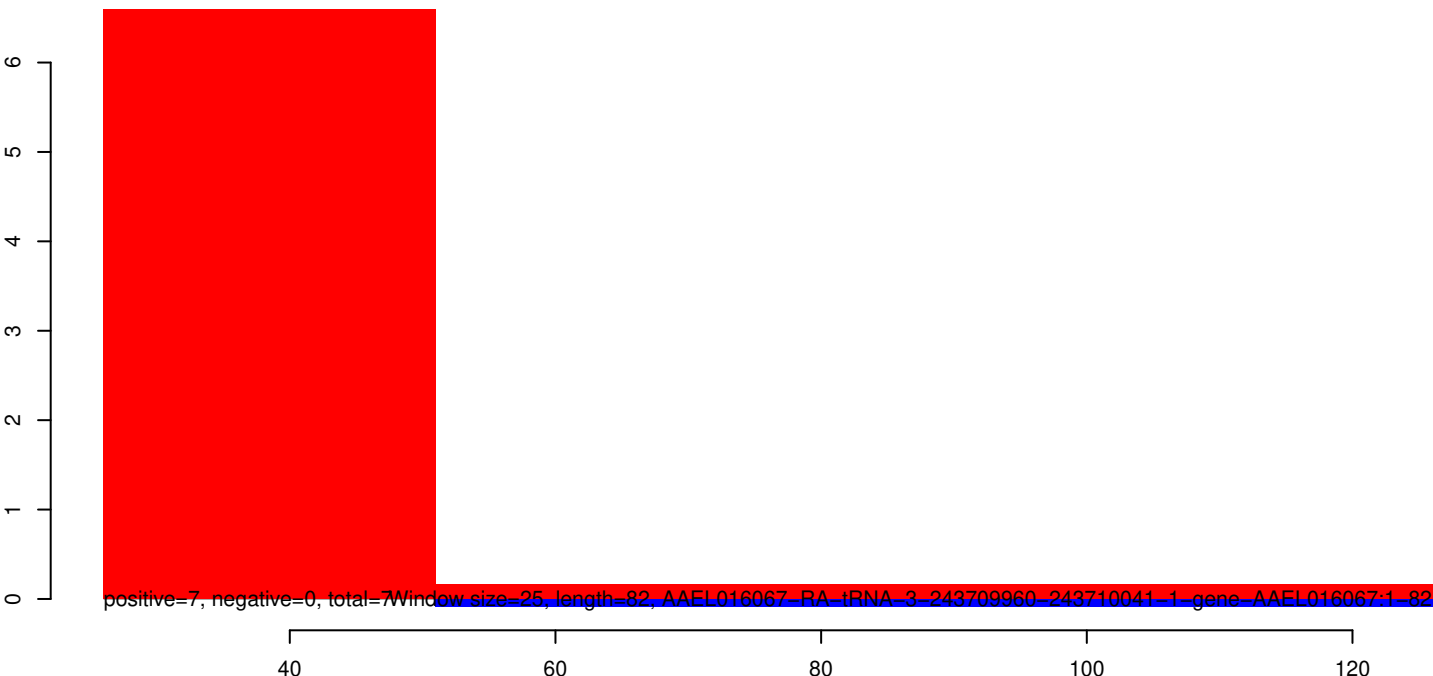
AeAeg_Aag2_Ago2_SINV_RA.18_23.rep



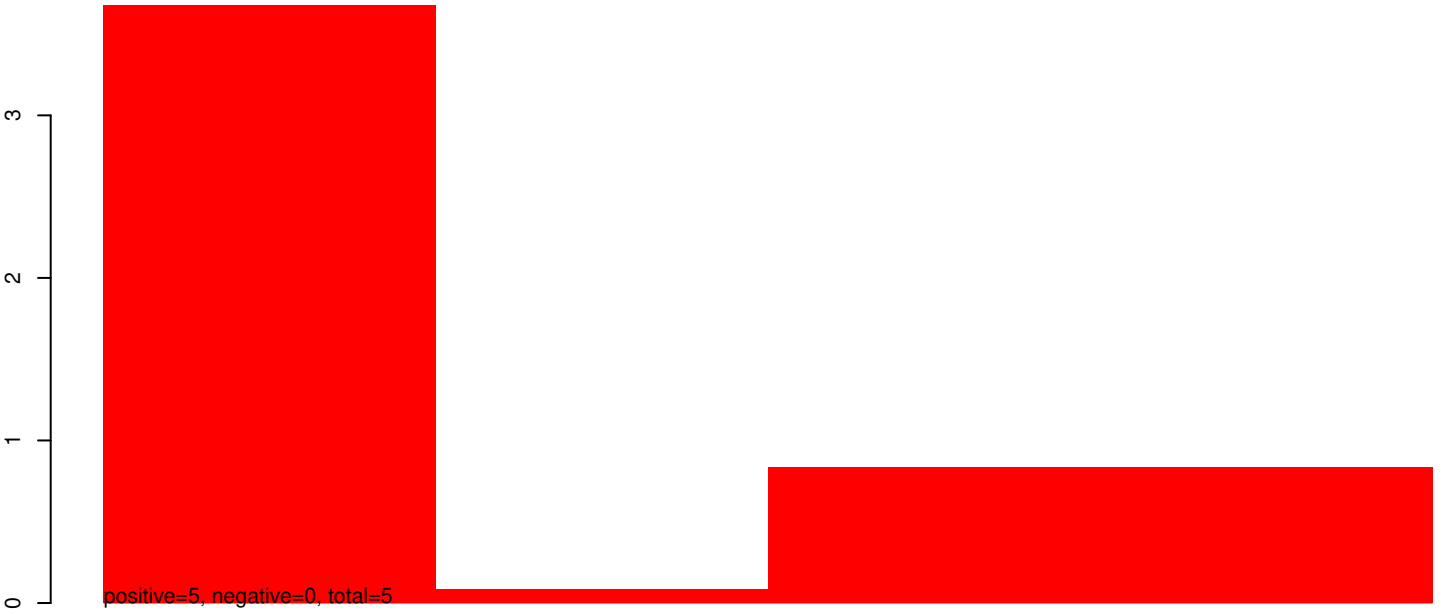
AeAeg_Aag2_Ago2_SINV_RA.24_35.rep



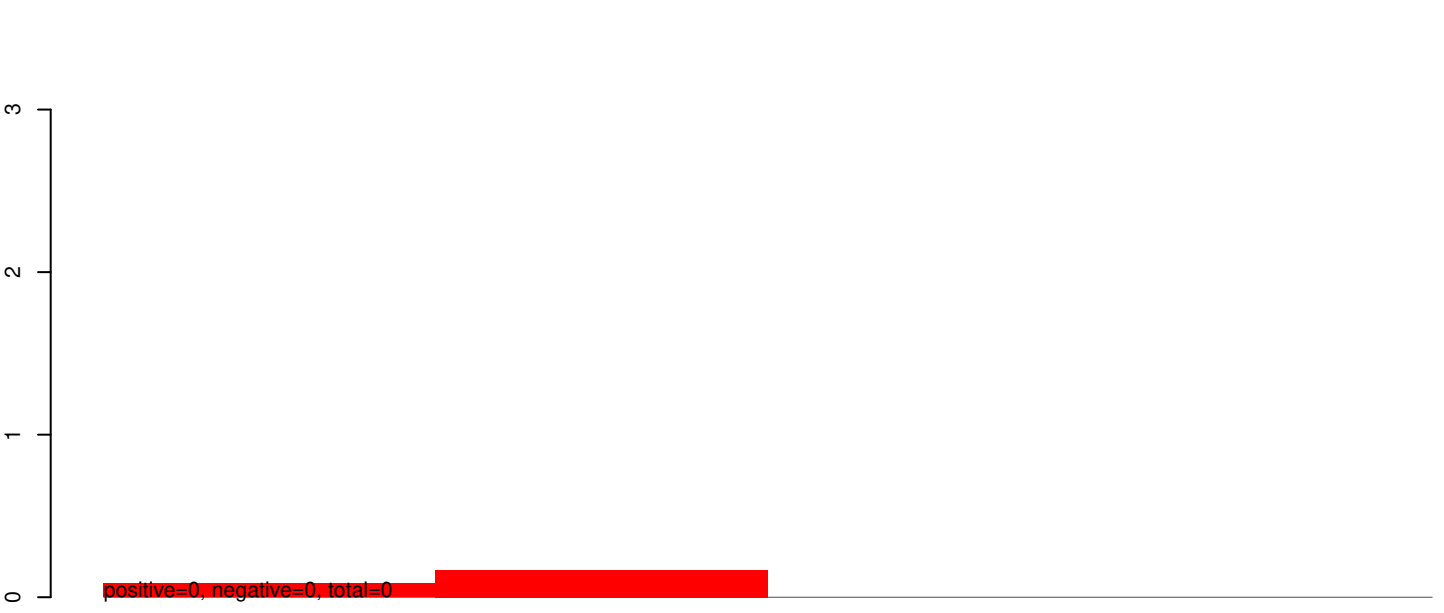
AeAeg_Aag2_Ago2_SINV_RA.rep



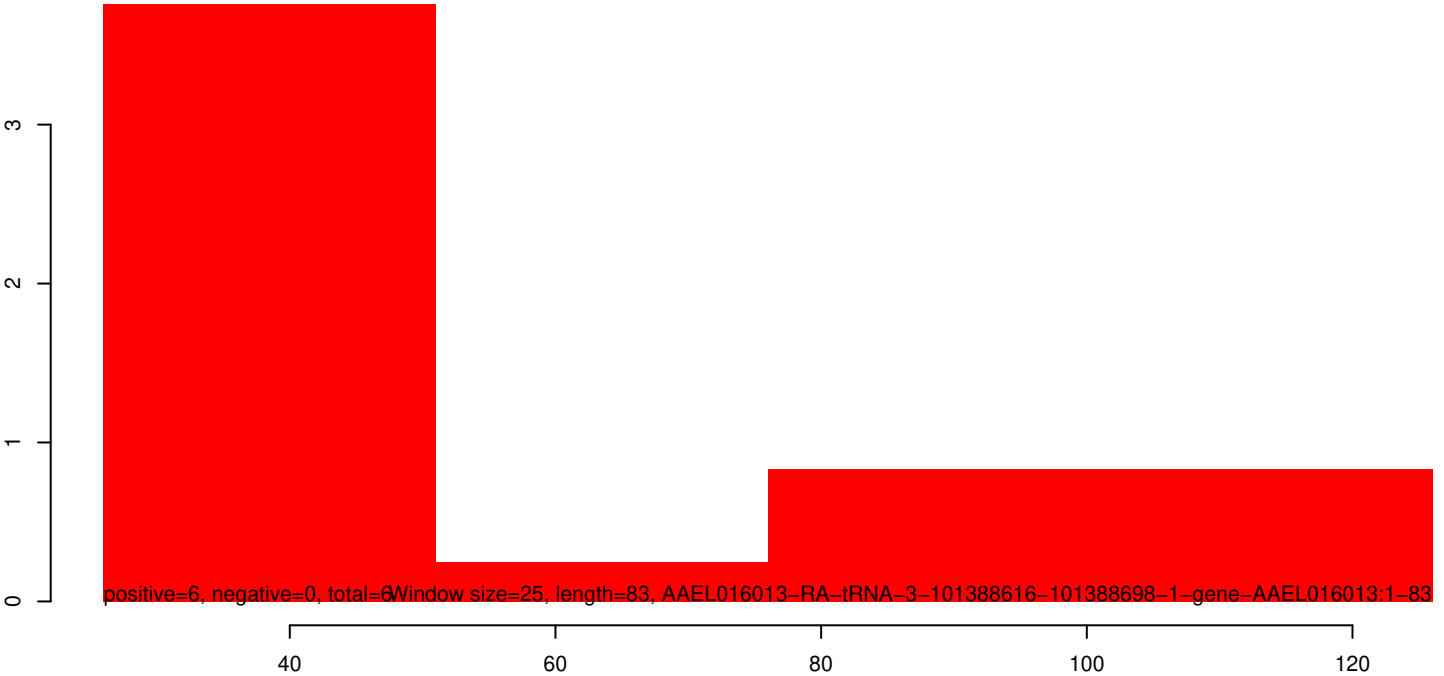
AeAeg_Aag2_Ago2_SINV_RA.18_23.rep



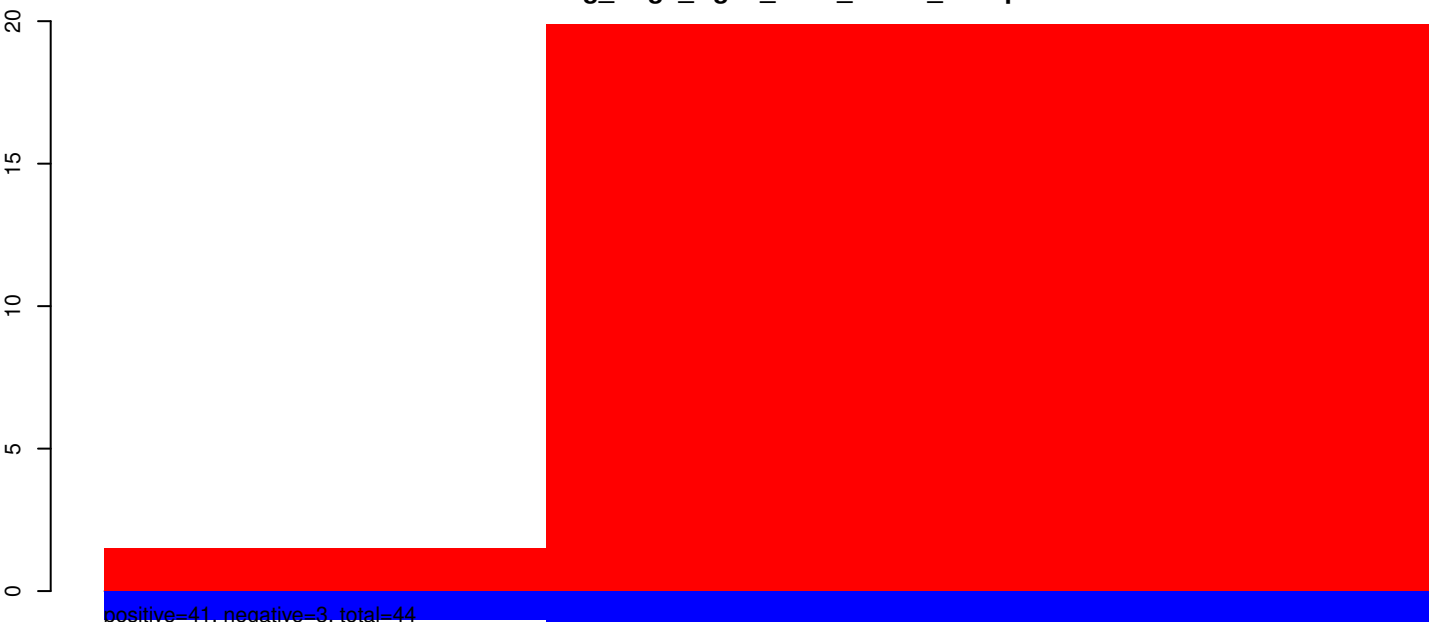
AeAeg_Aag2_Ago2_SINV_RA.24_35.rep



AeAeg_Aag2_Ago2_SINV_RA.rep



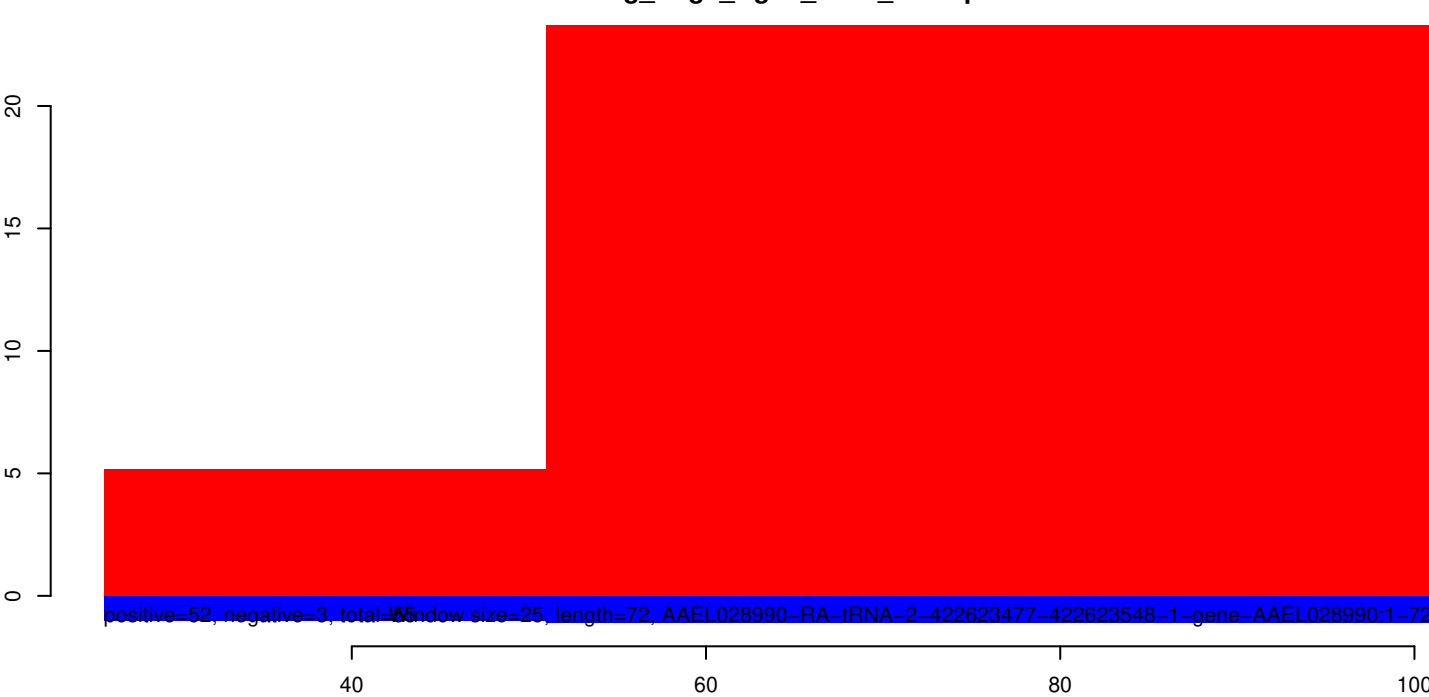
AeAeg_Aag2_Ago2_SINV_RA.18_23.rep



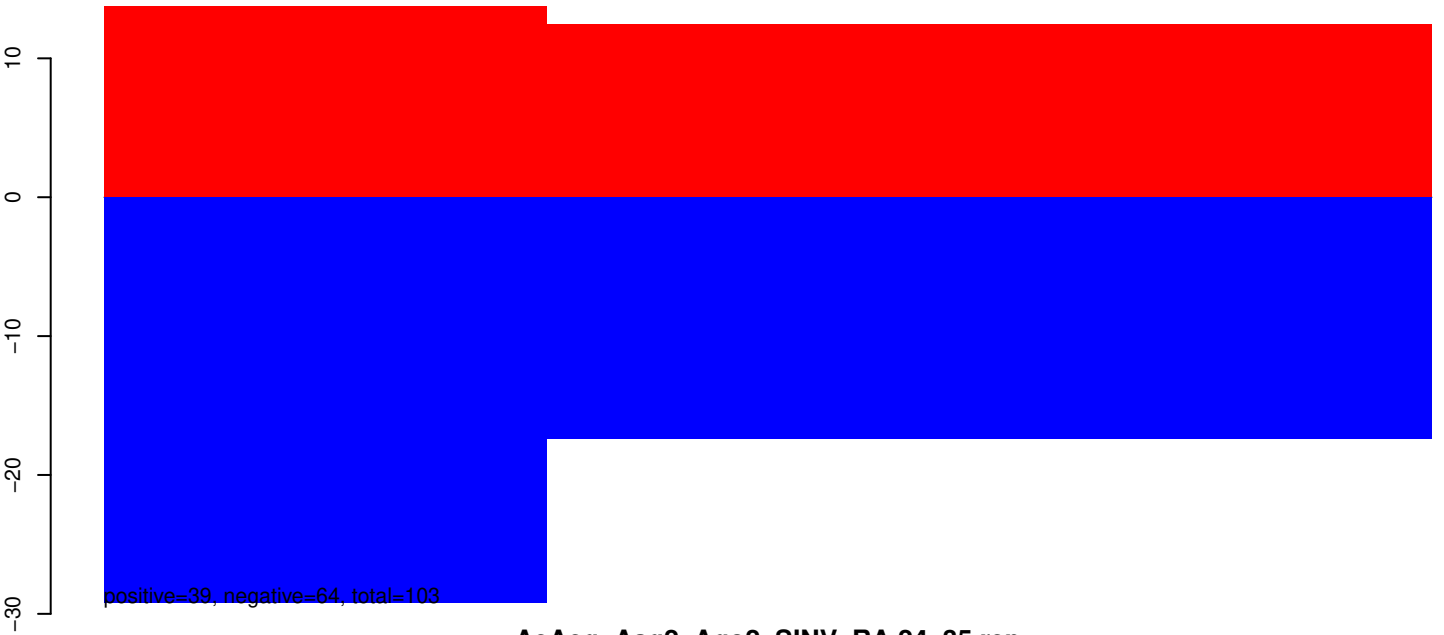
AeAeg_Aag2_Ago2_SINV_RA.24_35.rep



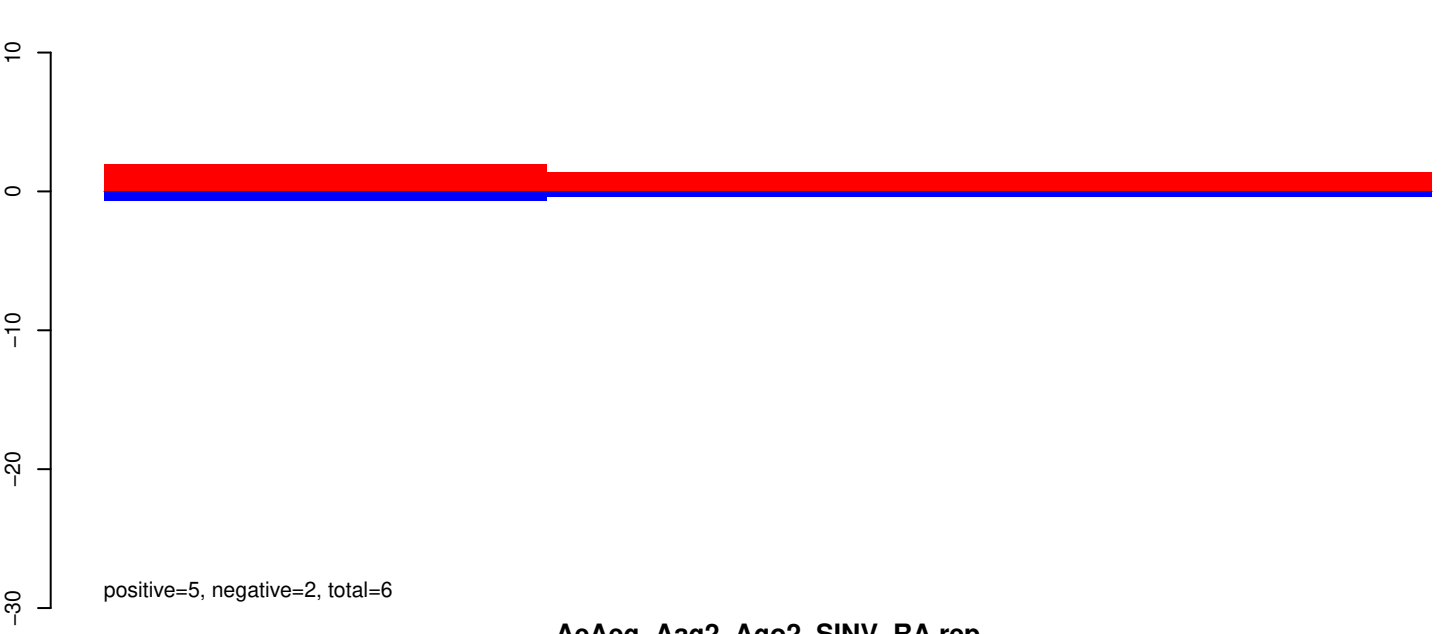
AeAeg_Aag2_Ago2_SINV_RA.rep



AeAeg_Aag2_Ago2_SINV_RA.18_23.rep



AeAeg_Aag2_Ago2_SINV_RA.24_35.rep



AeAeg_Aag2_Ago2_SINV_RA.rep



AeAeg_Aag2_Ago2_SINV_RA.18_23.rep



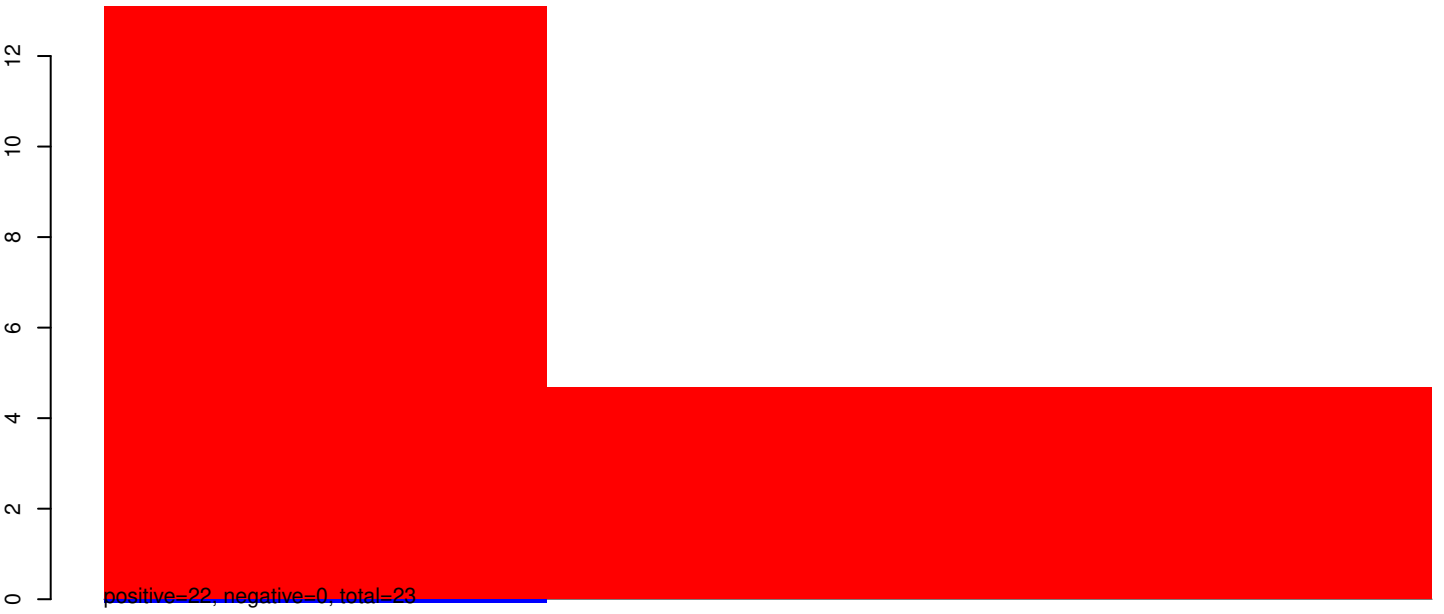
AeAeg_Aag2_Ago2_SINV_RA.24_35.rep



AeAeg_Aag2_Ago2_SINV_RA.rep



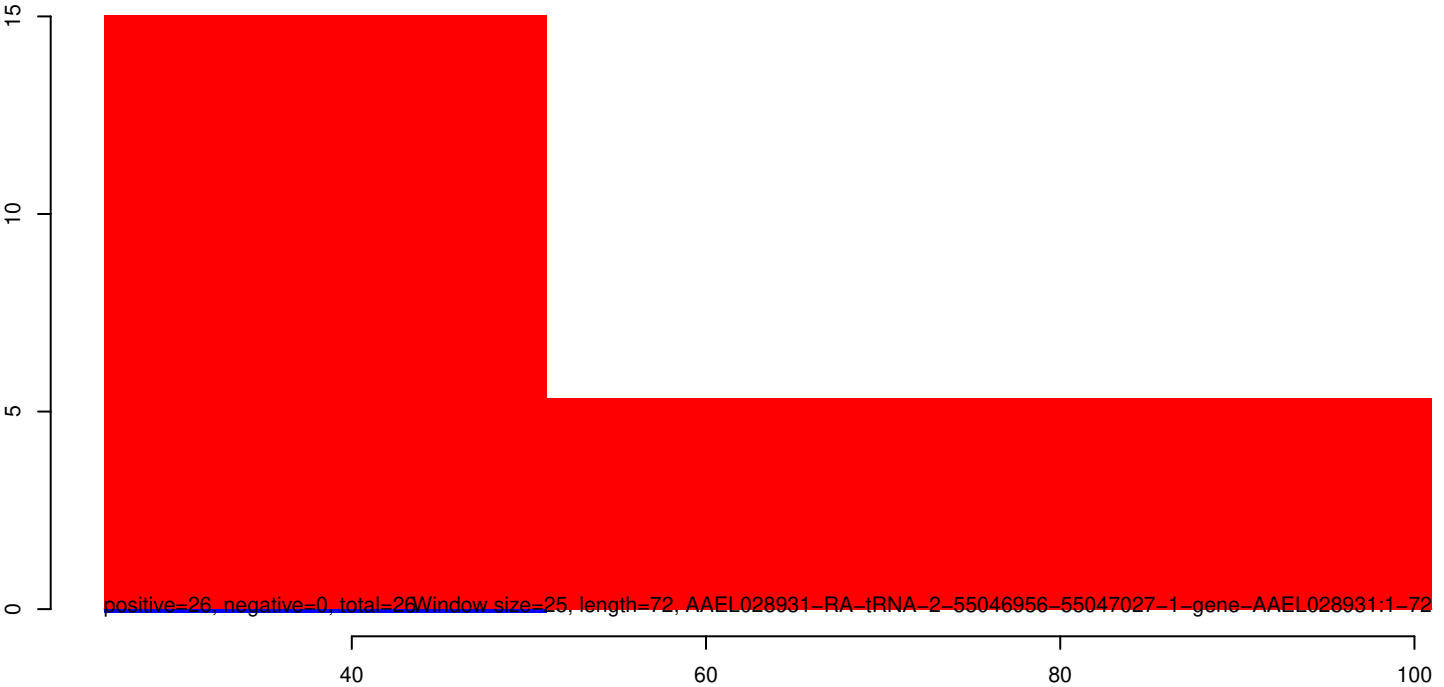
AeAeg_Aag2_Ago2_SINV_RA.18_23.rep



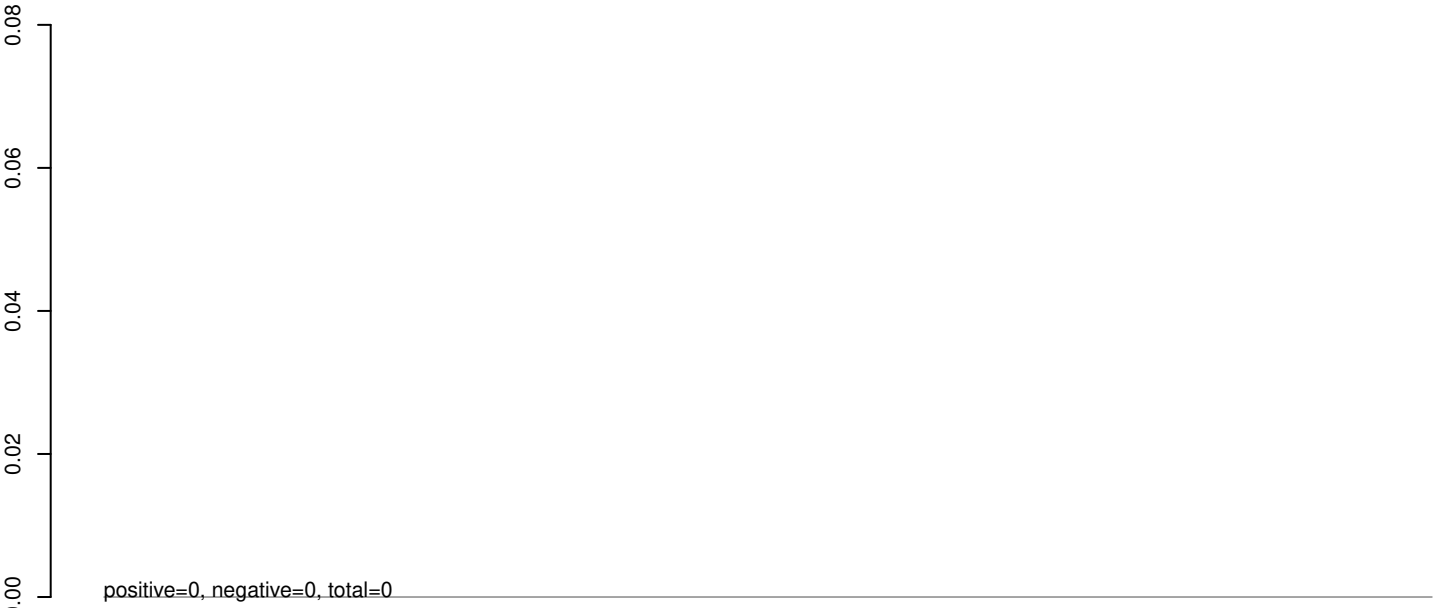
AeAeg_Aag2_Ago2_SINV_RA.24_35.rep



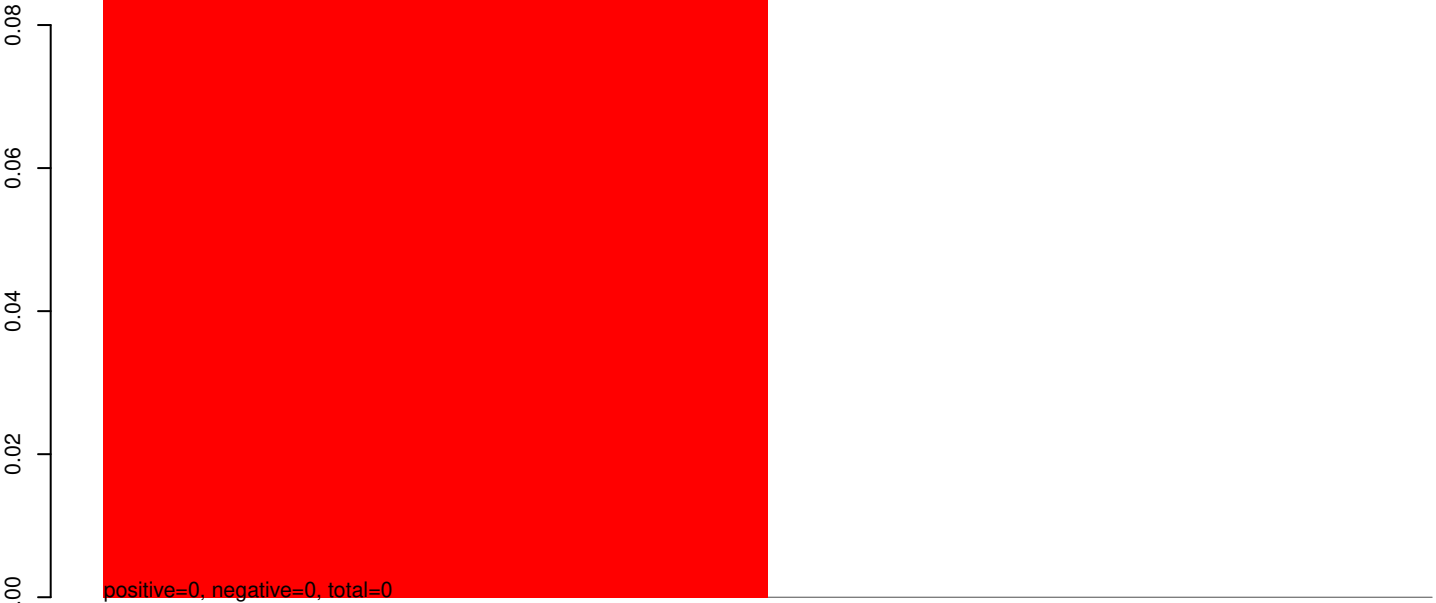
AeAeg_Aag2_Ago2_SINV_RA.rep



AeAeg_Aag2_Ago2_SINV_RA.18_23.rep



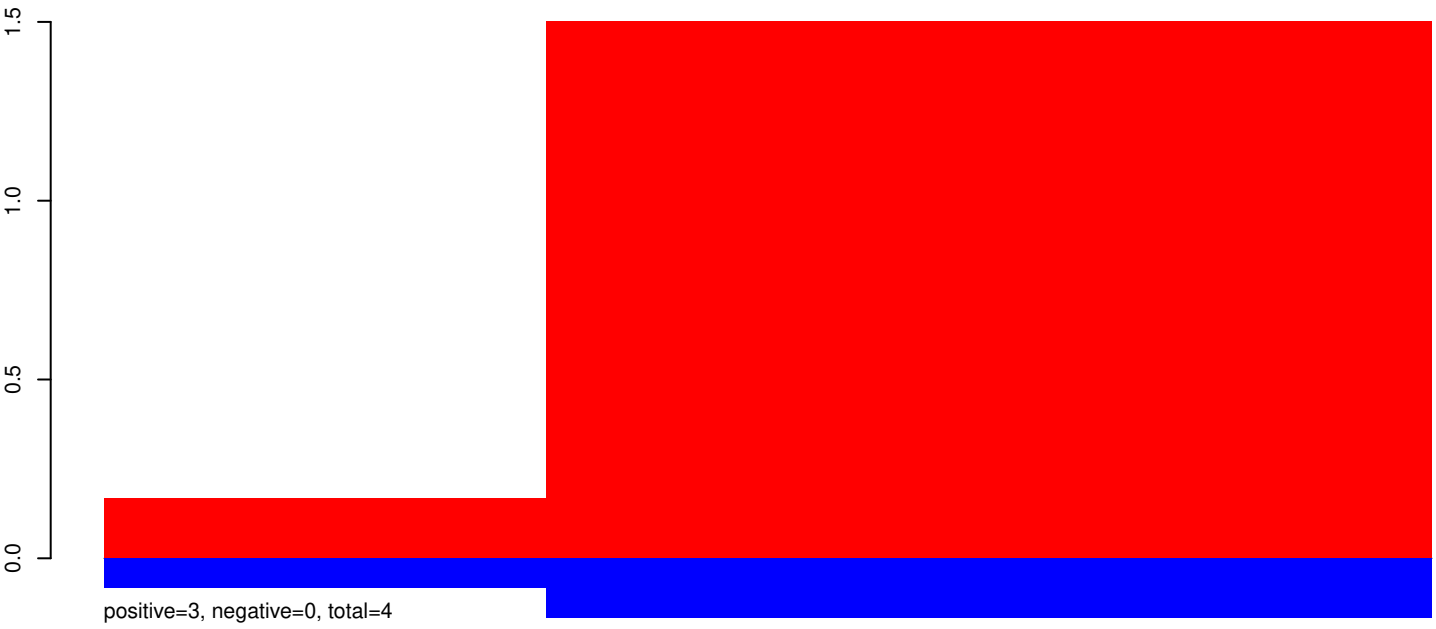
AeAeg_Aag2_Ago2_SINV_RA.24_35.rep



AeAeg_Aag2_Ago2_SINV_RA.rep



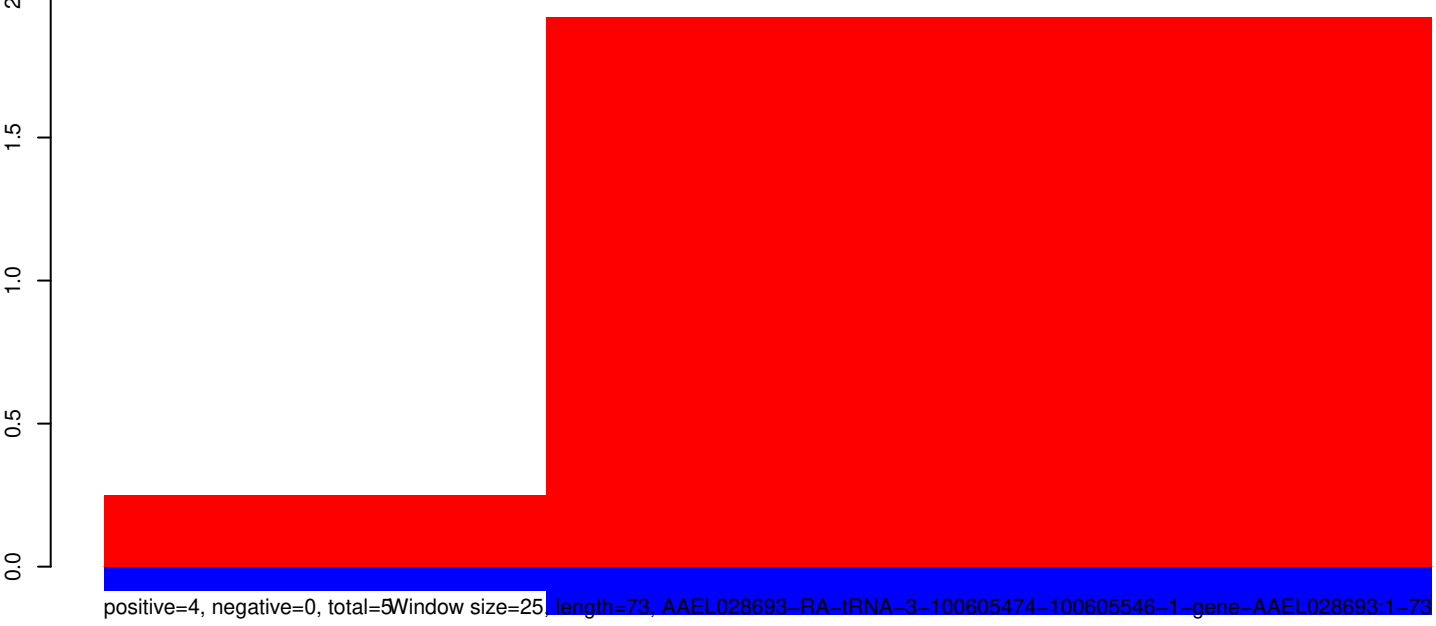
AeAeg_Aag2_Ago2_SINV_RA.18_23.rep



AeAeg_Aag2_Ago2_SINV_RA.24_35.rep

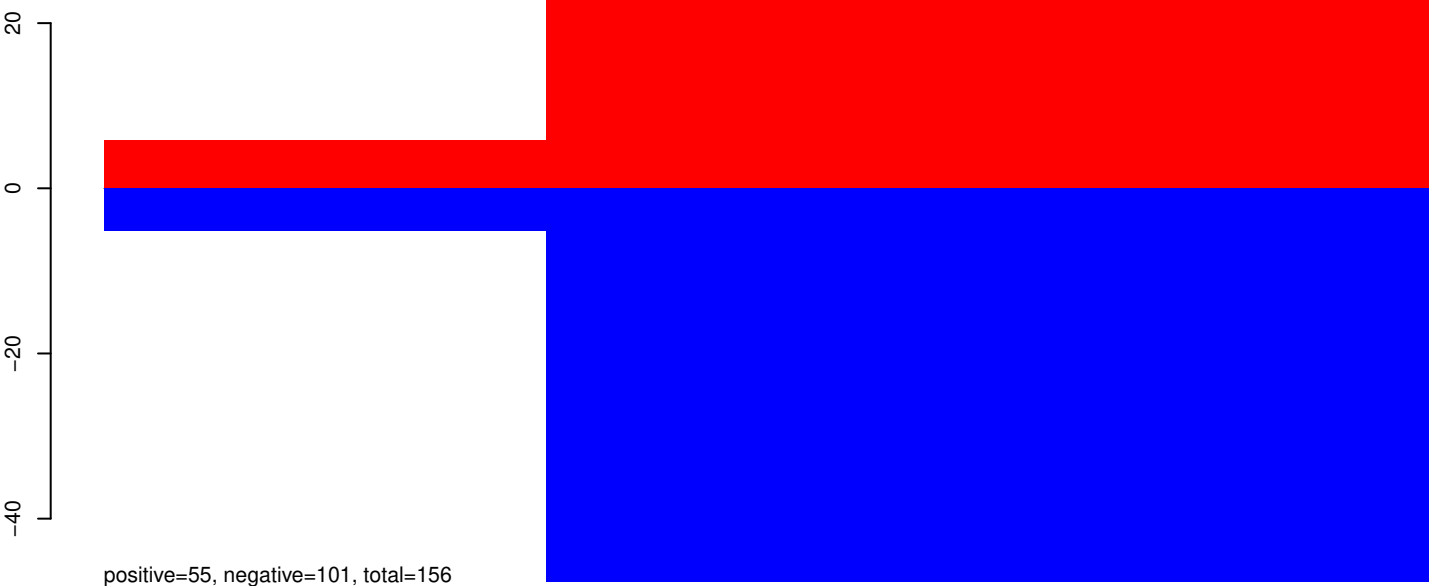


AeAeg_Aag2_Ago2_SINV_RA.rep



40 60 80 100

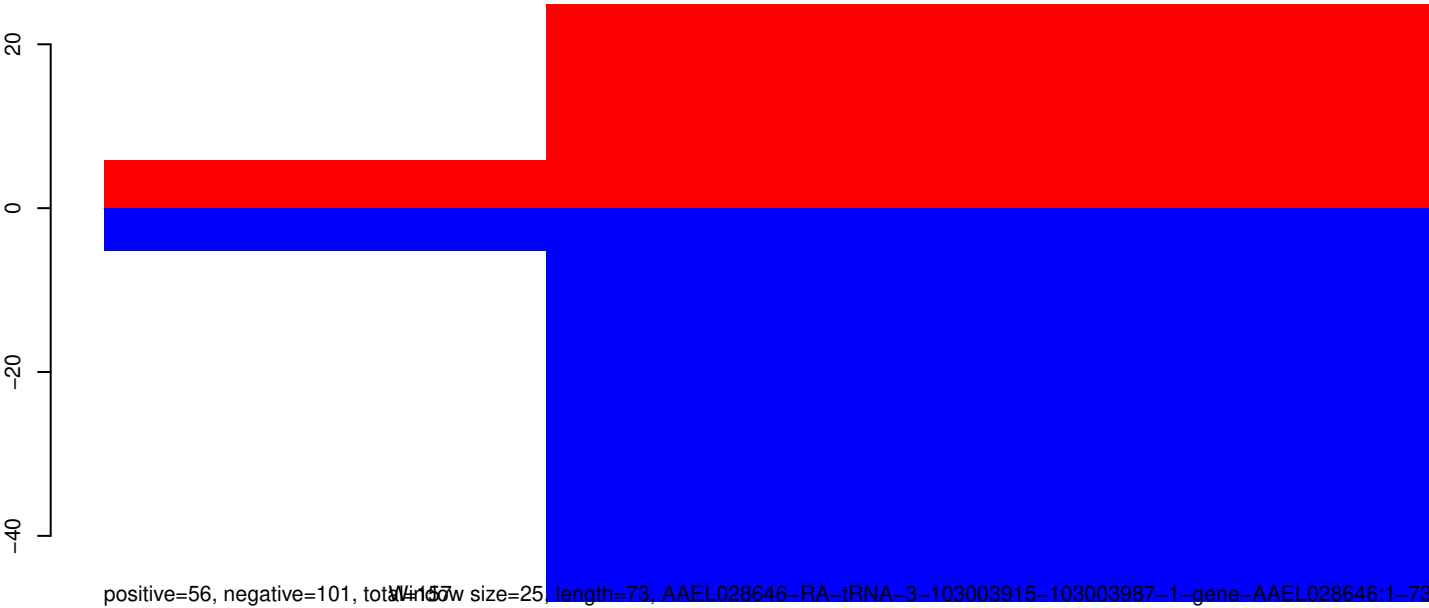
AeAeg_Aag2_Ago2_SINV_RA.18_23.rep



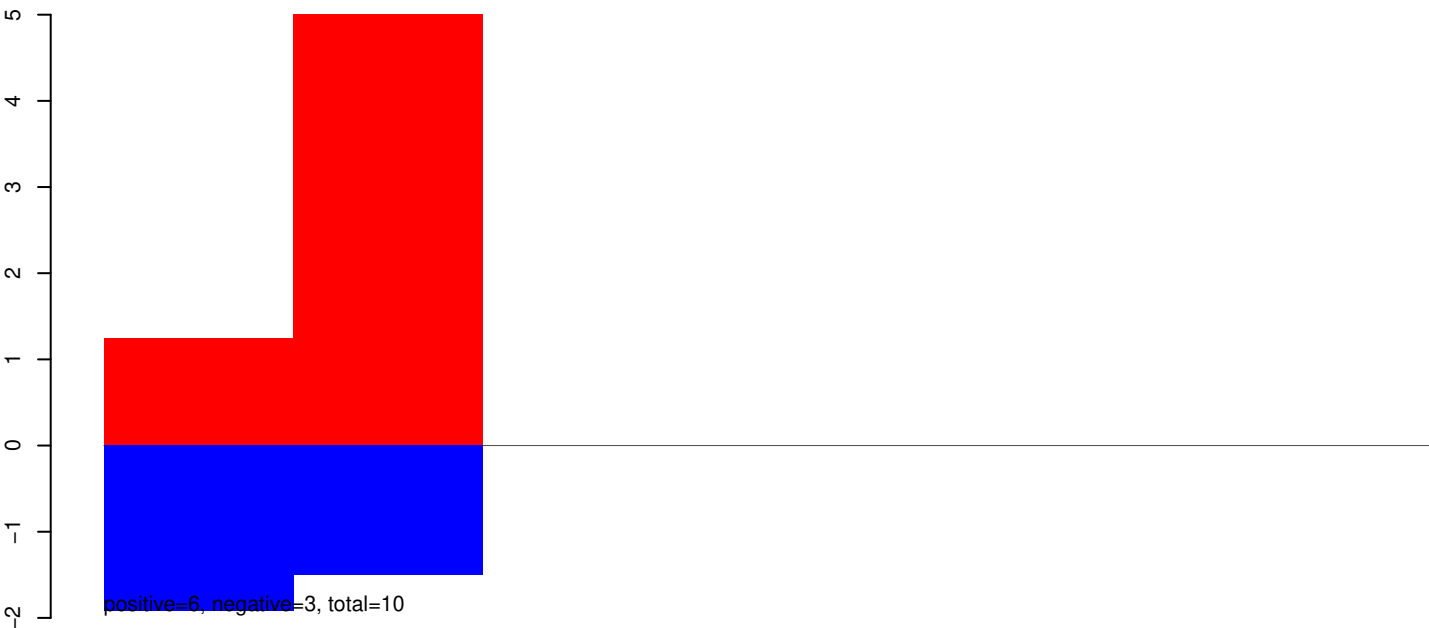
AeAeg_Aag2_Ago2_SINV_RA.24_35.rep



AeAeg_Aag2_Ago2_SINV_RA.rep



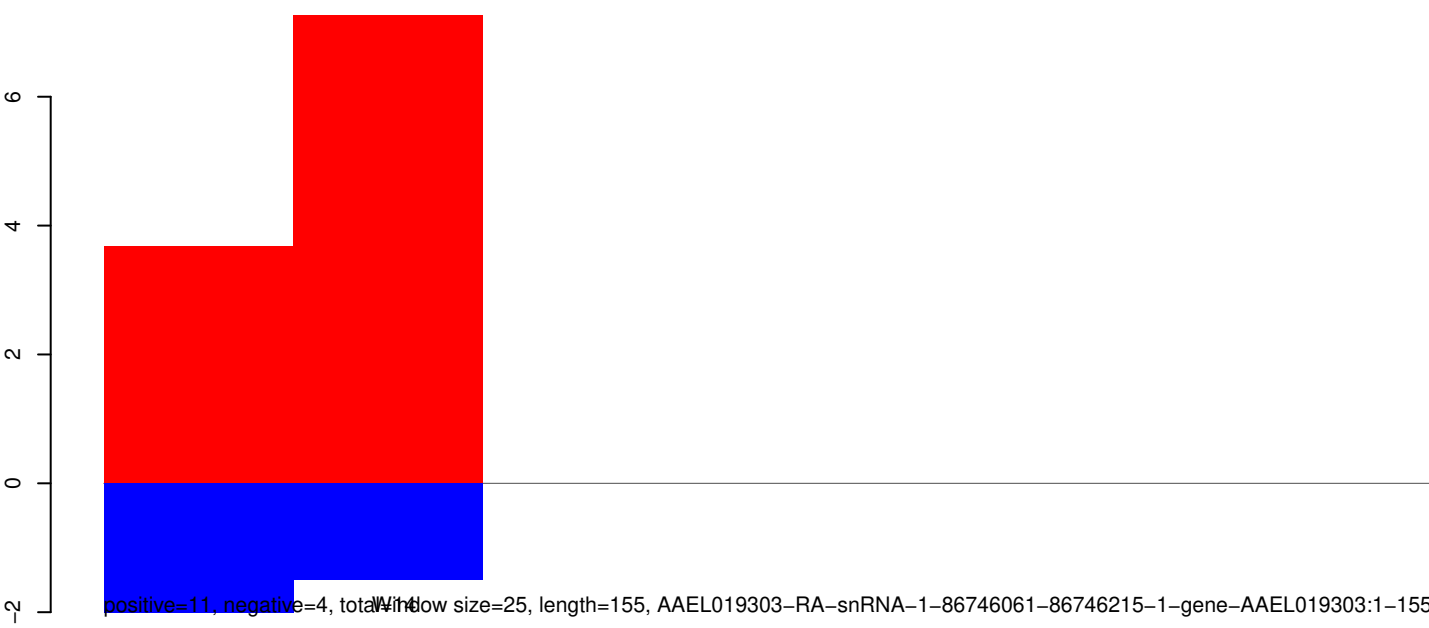
AeAeg_Aag2_Ago2_SINV_RA.18_23.rep



AeAeg_Aag2_Ago2_SINV_RA.24_35.rep



AeAeg_Aag2_Ago2_SINV_RA.rep



Window size=25, length=155, AAEL019303-RA-snrRNA-1-86746061-86746215-1-gene-AAEL019303:1-155

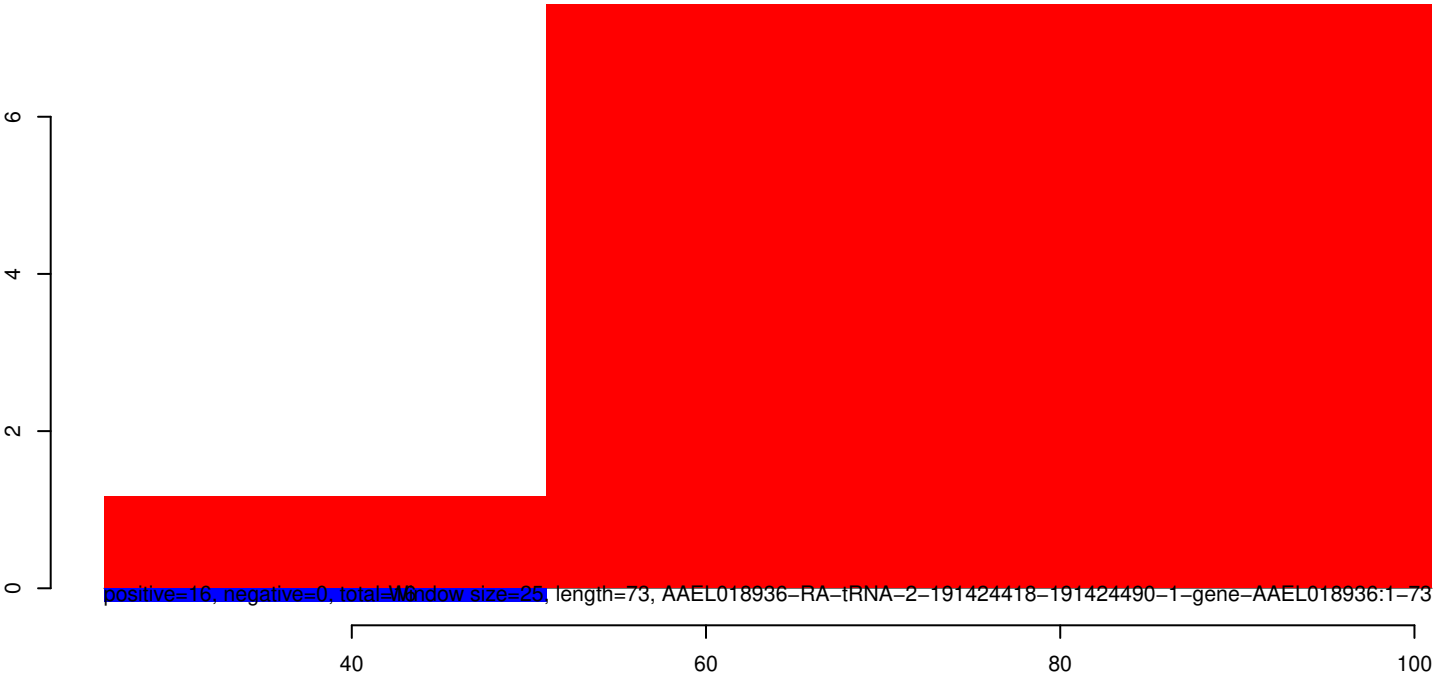
AeAeg_Aag2_Ago2_SINV_RA.18_23.rep



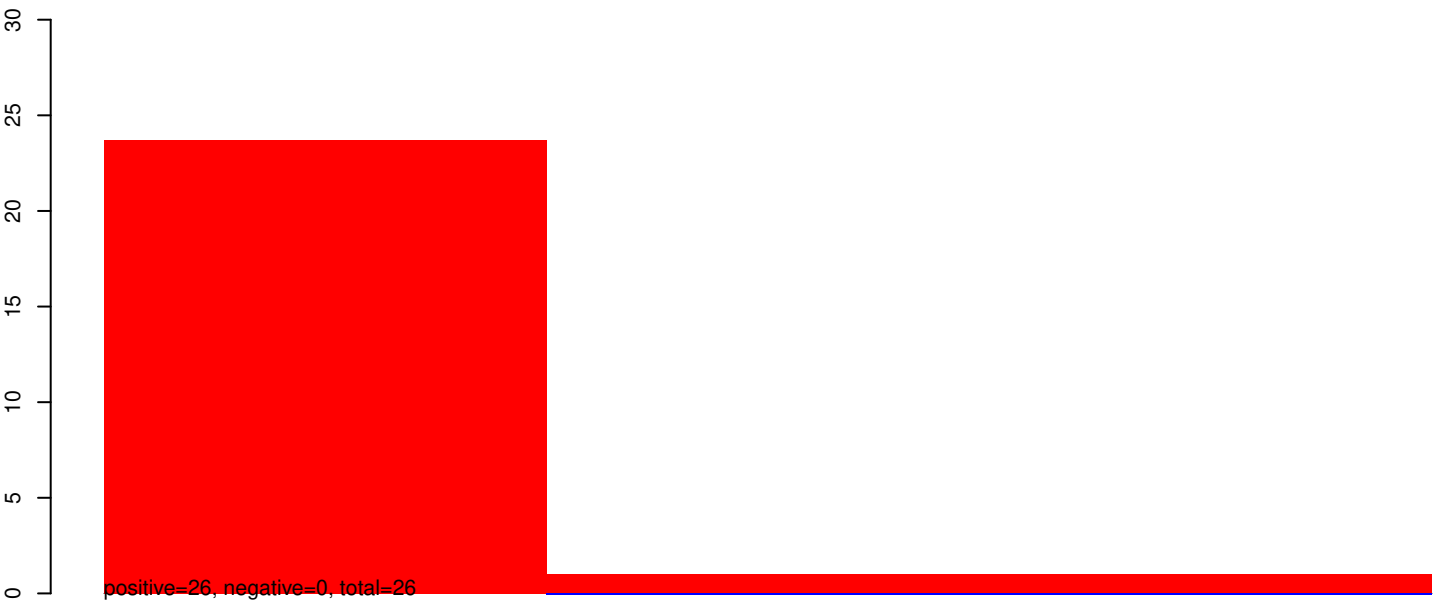
AeAeg_Aag2_Ago2_SINV_RA.24_35.rep



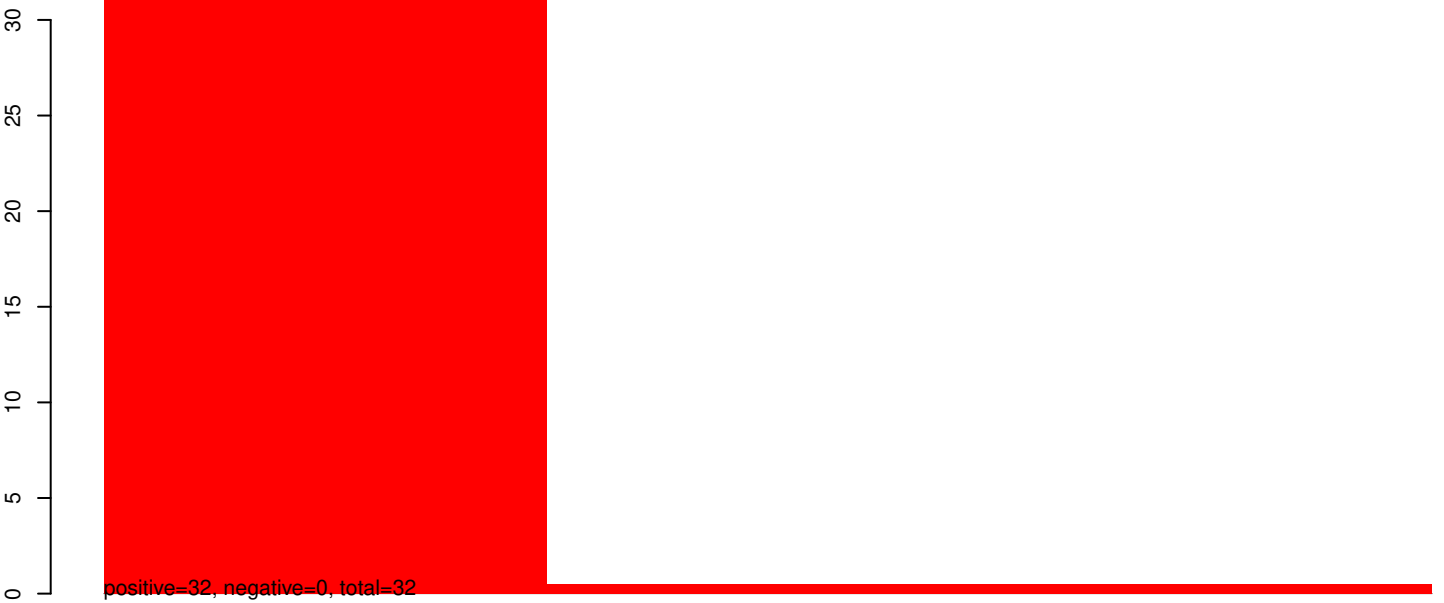
AeAeg_Aag2_Ago2_SINV_RA.rep



AeAeg_Aag2_Ago2_SINV_RA.18_23.rep



AeAeg_Aag2_Ago2_SINV_RA.24_35.rep



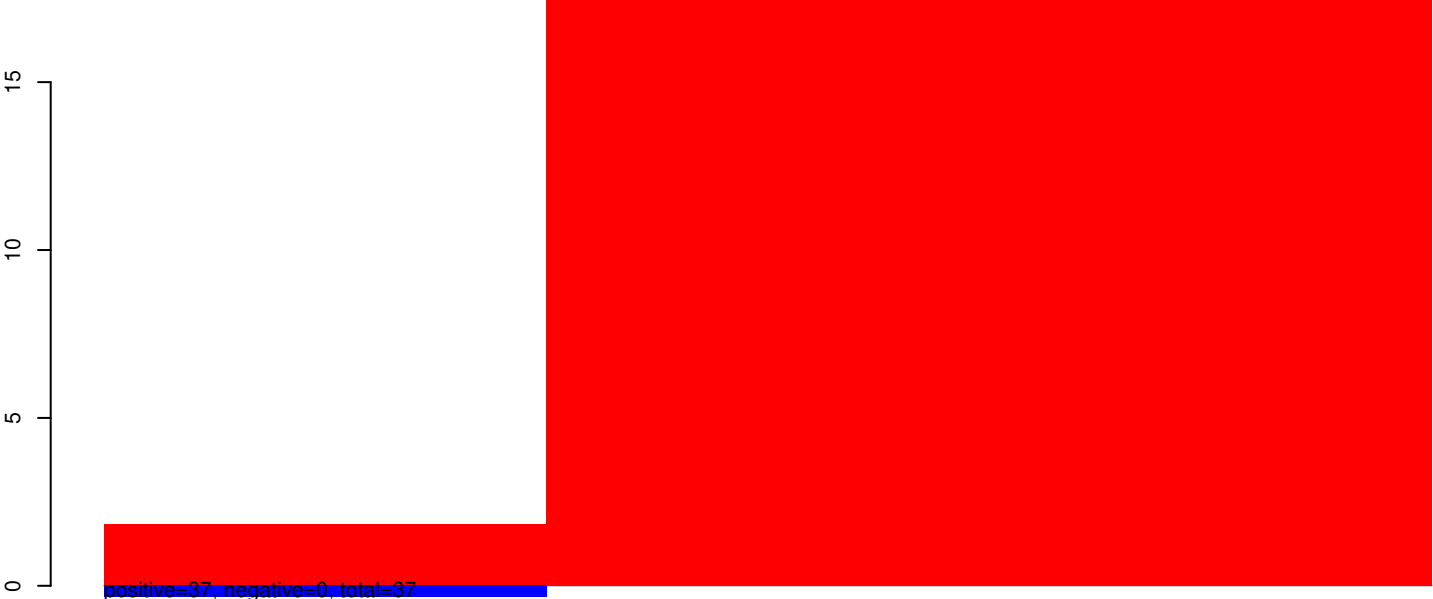
AeAeg_Aag2_Ago2_SINV_RA.rep



Window size=25, length=73, AAEL018904-RA-IRNA-3-224540165-224540237-1-gene-AAEL018904:1-73

40 60 80 100

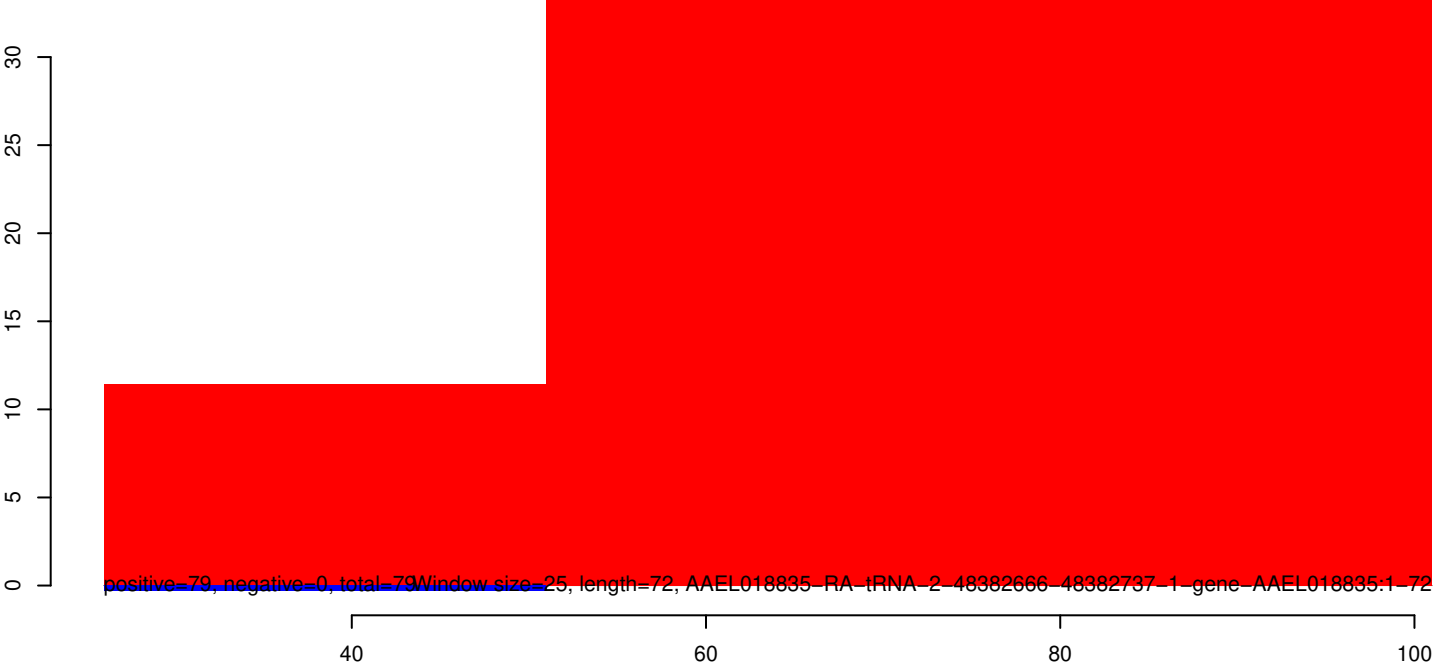
AeAeg_Aag2_Ago2_SINV_RA.18_23.rep



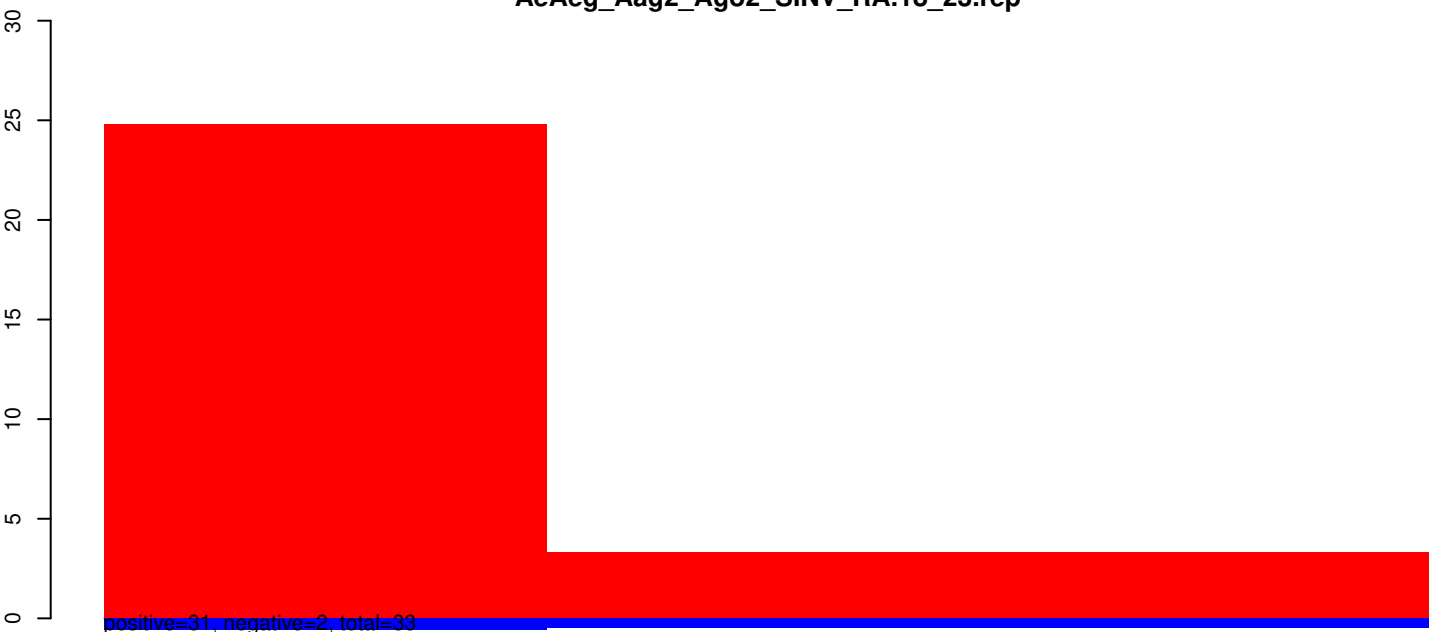
AeAeg_Aag2_Ago2_SINV_RA.24_35.rep



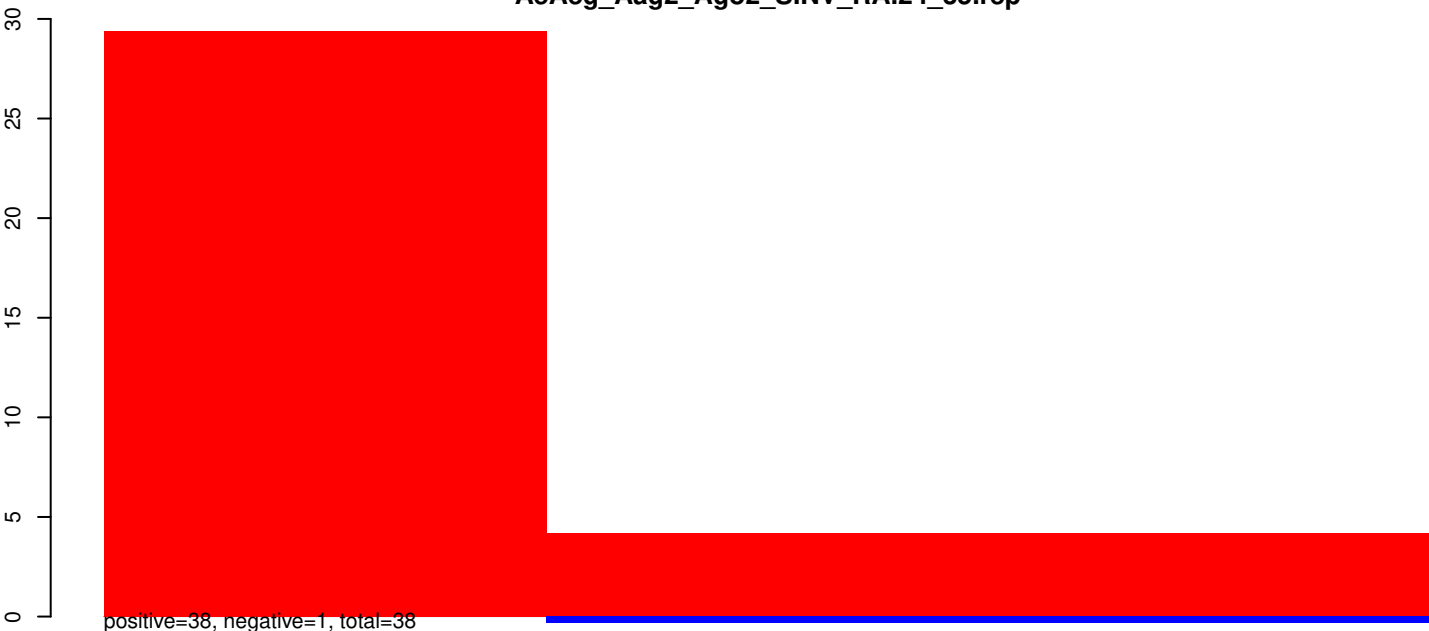
AeAeg_Aag2_Ago2_SINV_RA.rep



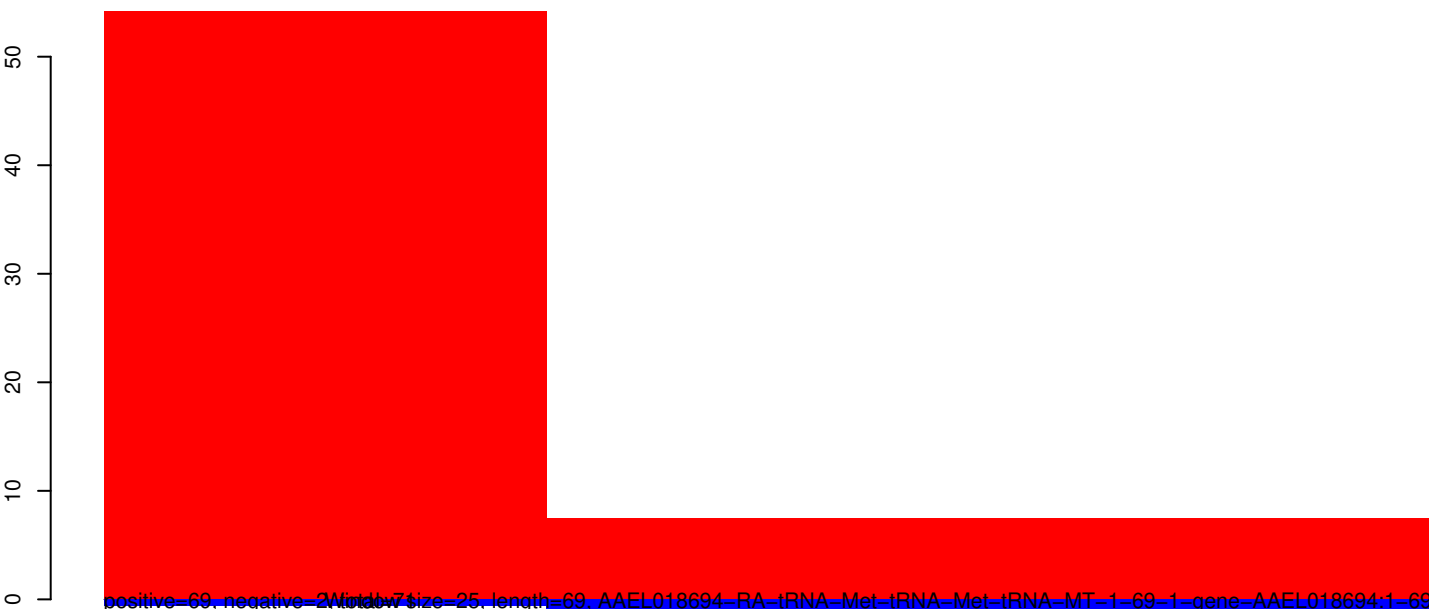
AeAeg_Aag2_Ago2_SINV_RA.18_23.rep



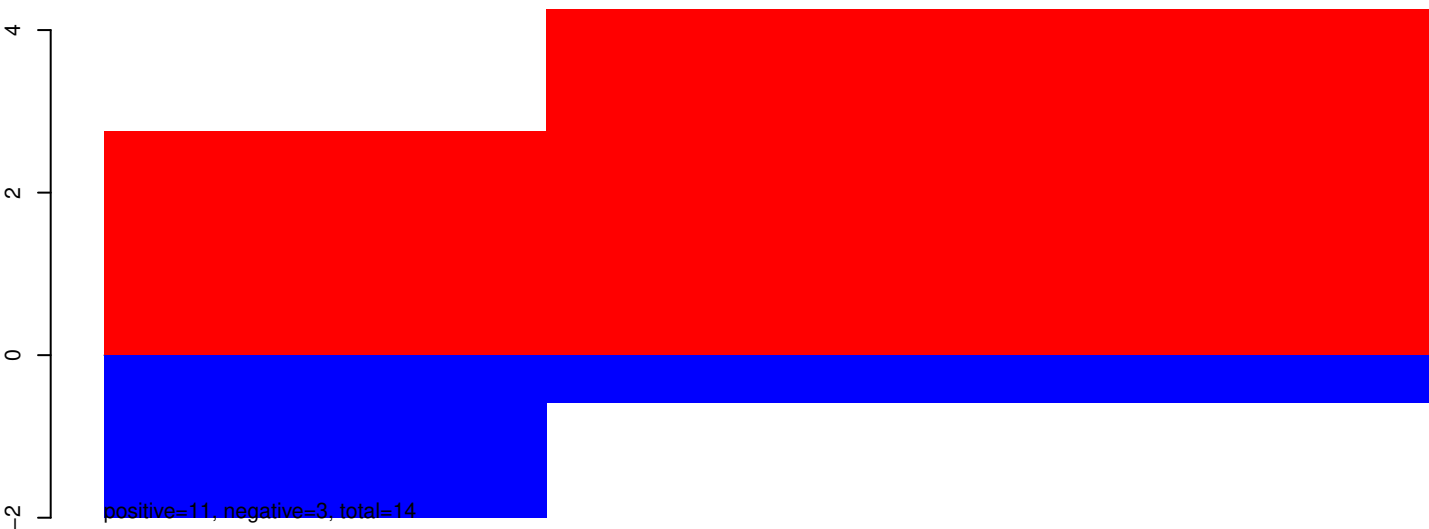
AeAeg_Aag2_Ago2_SINV_RA.24_35.rep



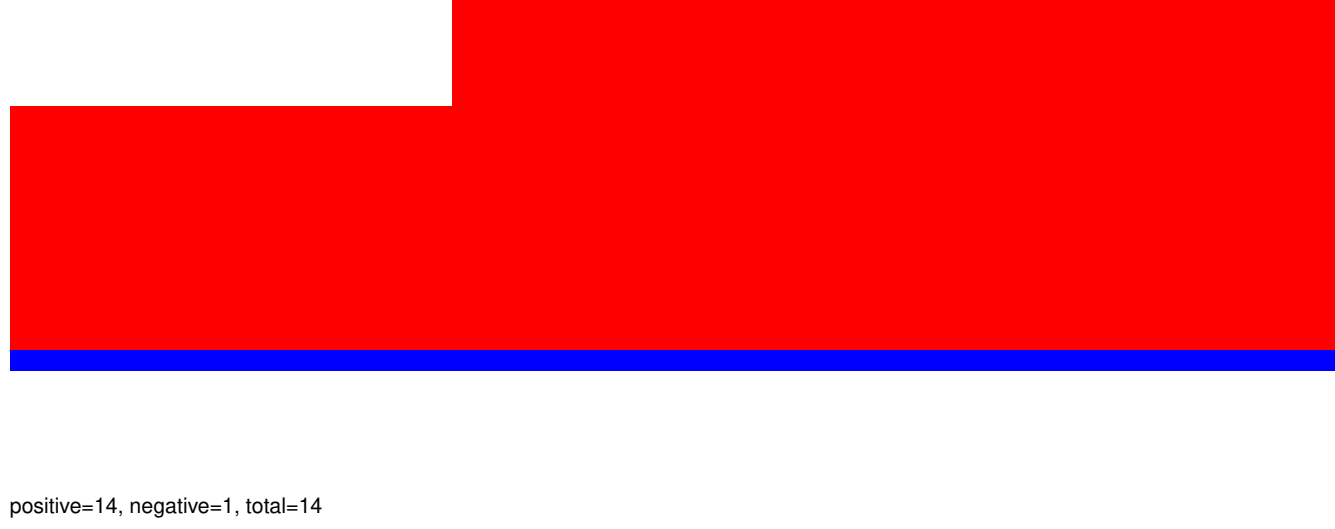
AeAeg_Aag2_Ago2_SINV_RA.rep



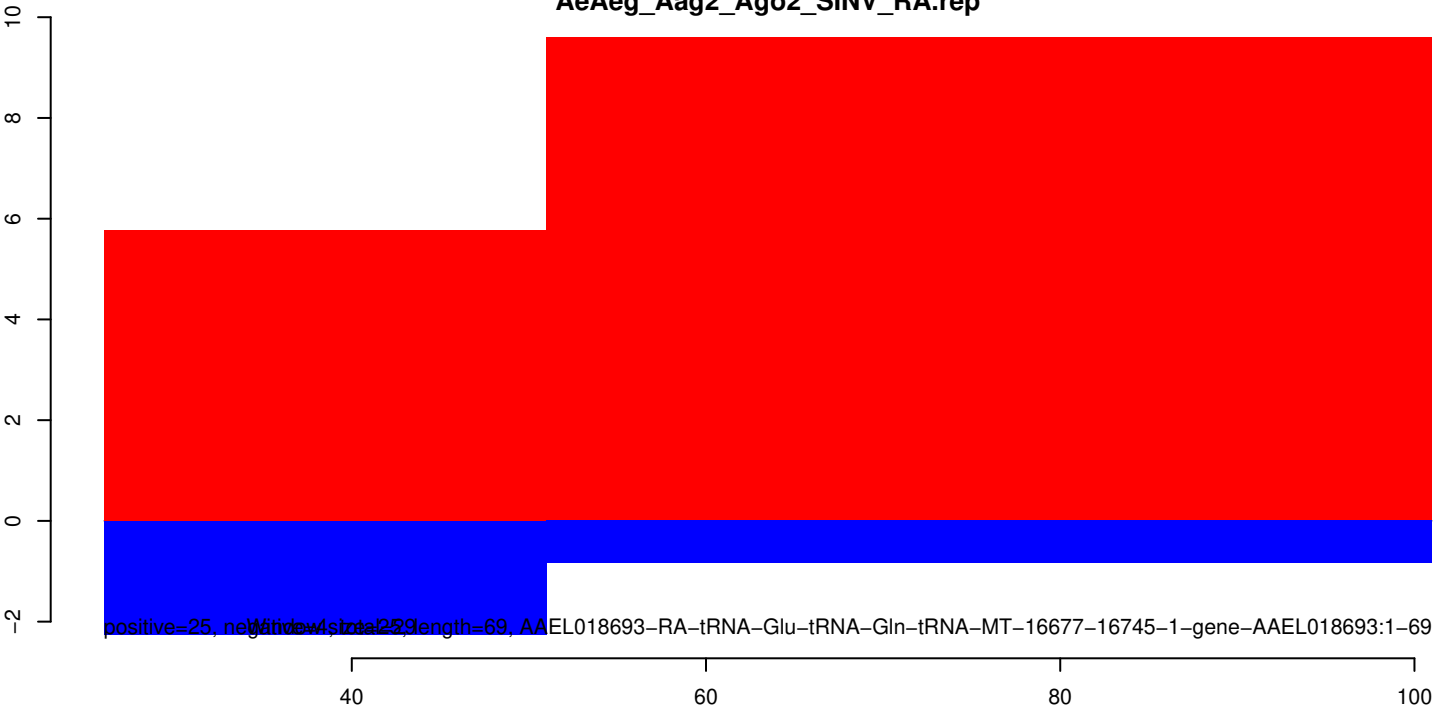
AeAeg_Aag2_Ago2_SINV_RA.18_23.rep



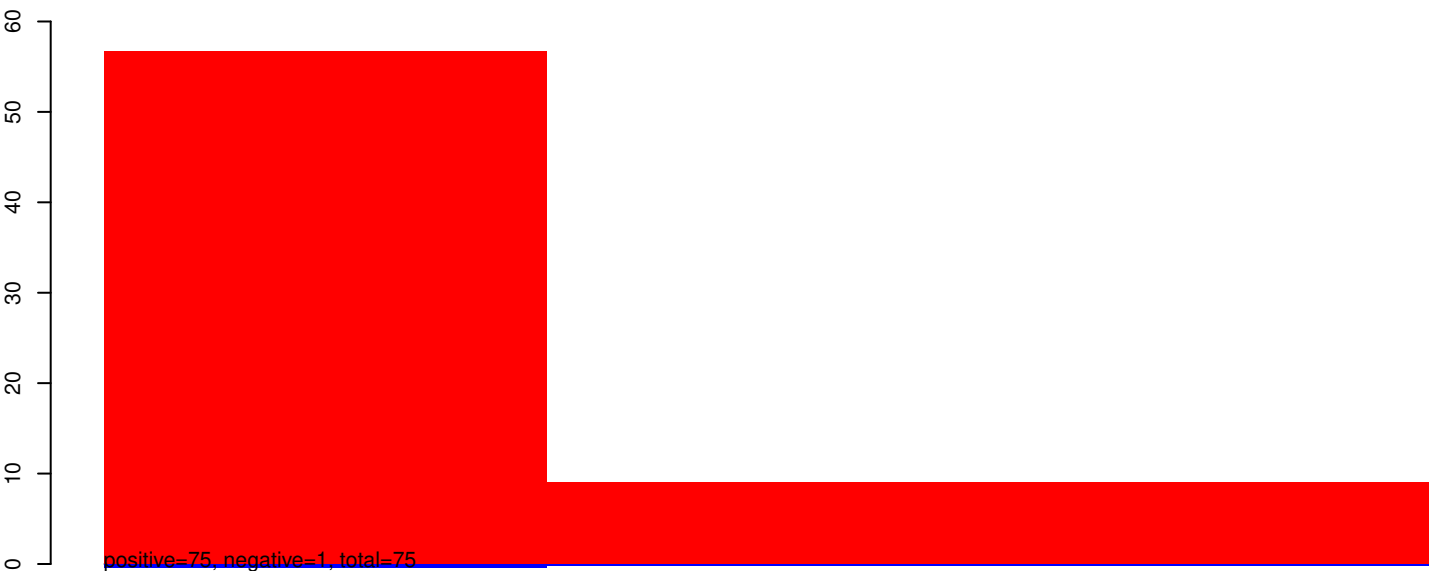
AeAeg_Aag2_Ago2_SINV_RA.24_35.rep



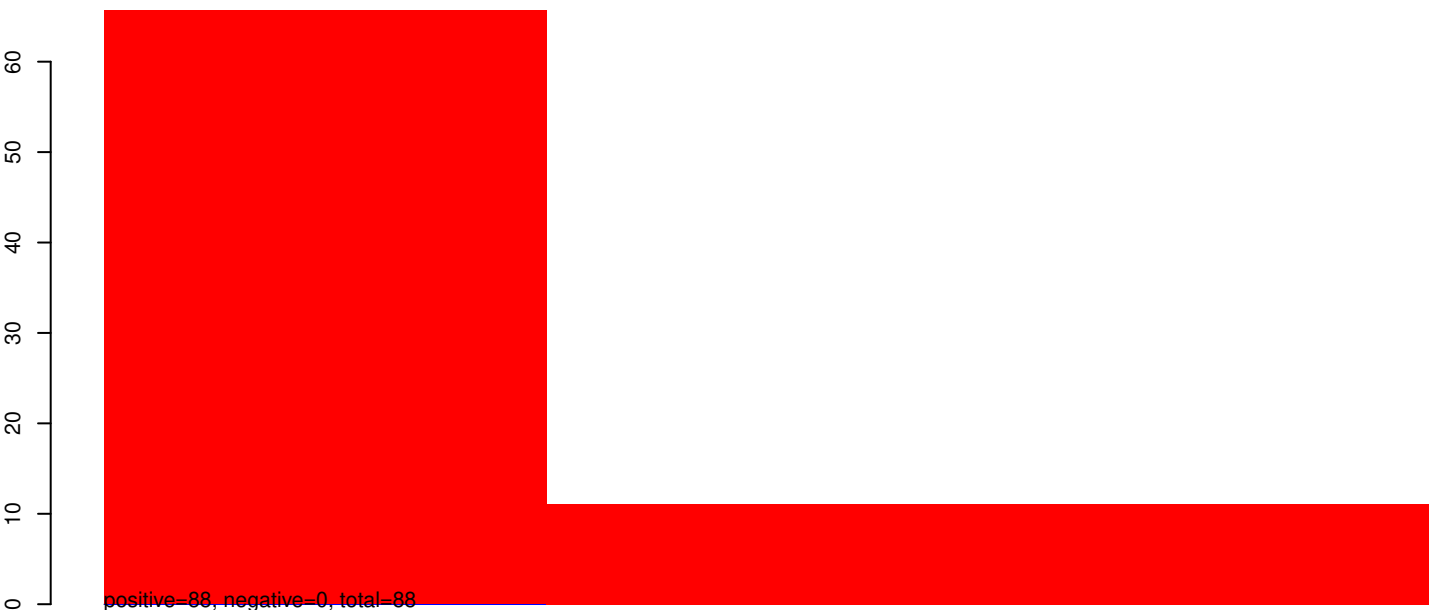
AeAeg_Aag2_Ago2_SINV_RA.rep



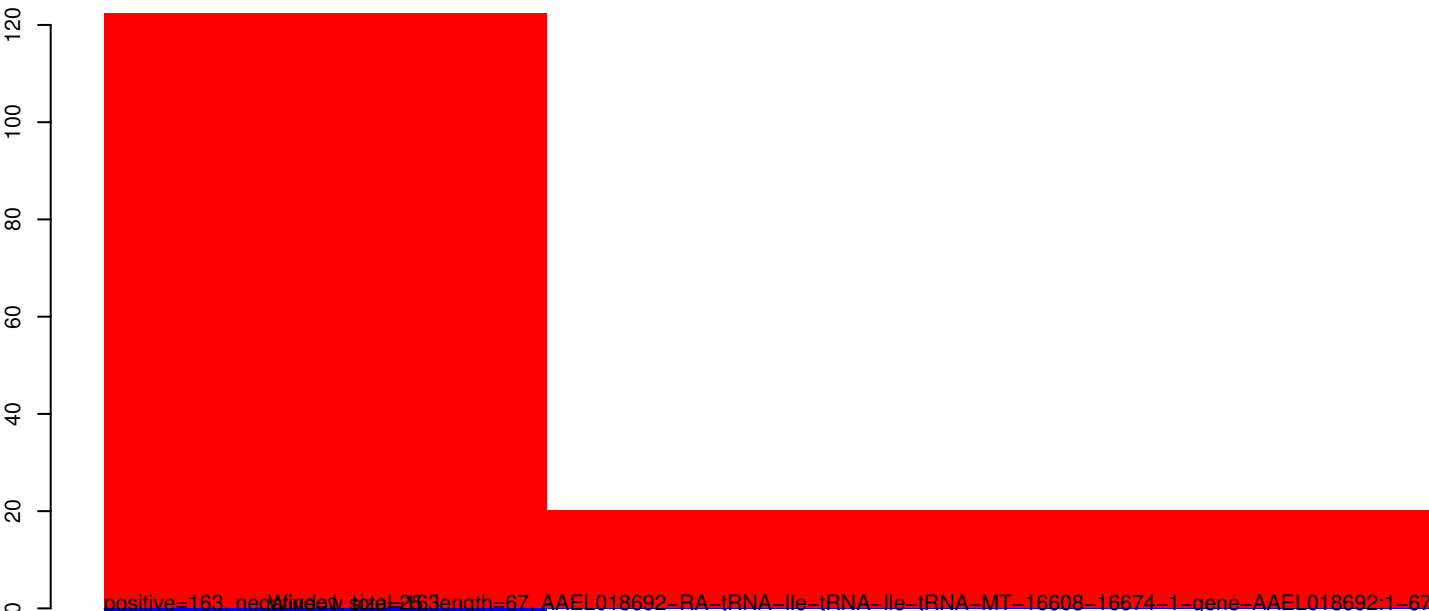
AeAeg_Aag2_Ago2_SINV_RA.18_23.rep



AeAeg_Aag2_Ago2_SINV_RA.24_35.rep



AeAeg_Aag2_Ago2_SINV_RA.rep

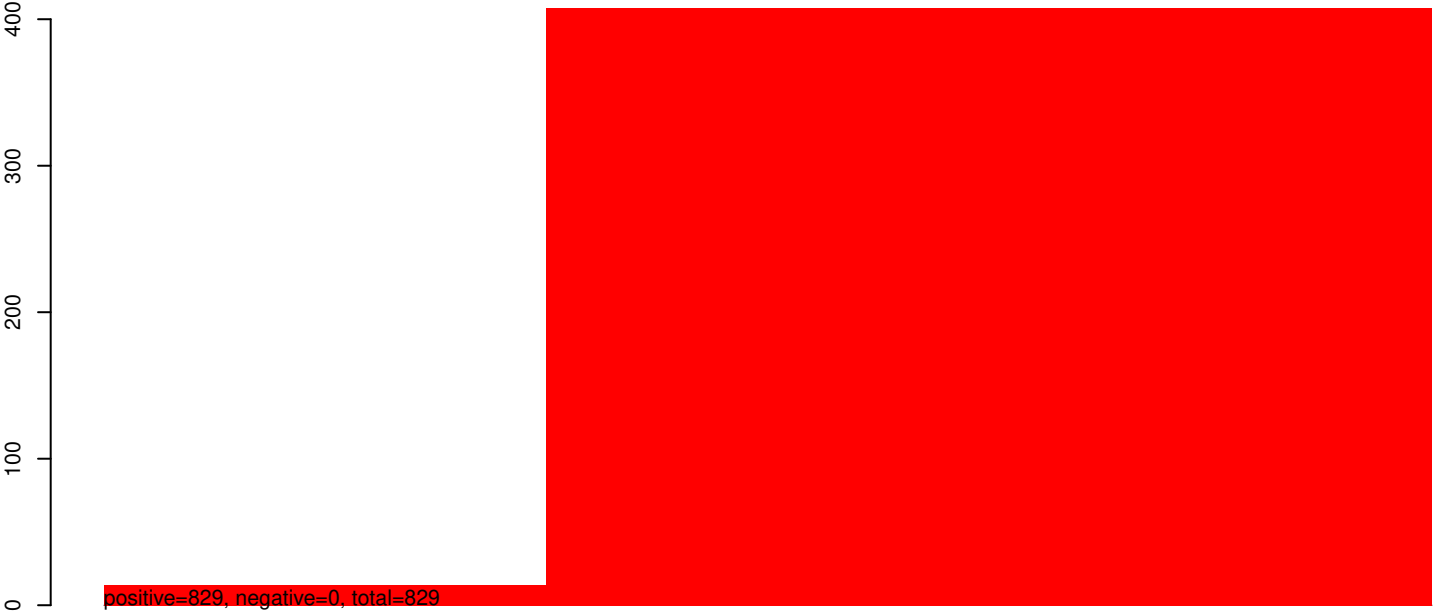


40 60 80 100

AeAeg_Aag2_Ago2_SINV_RA.18_23.rep



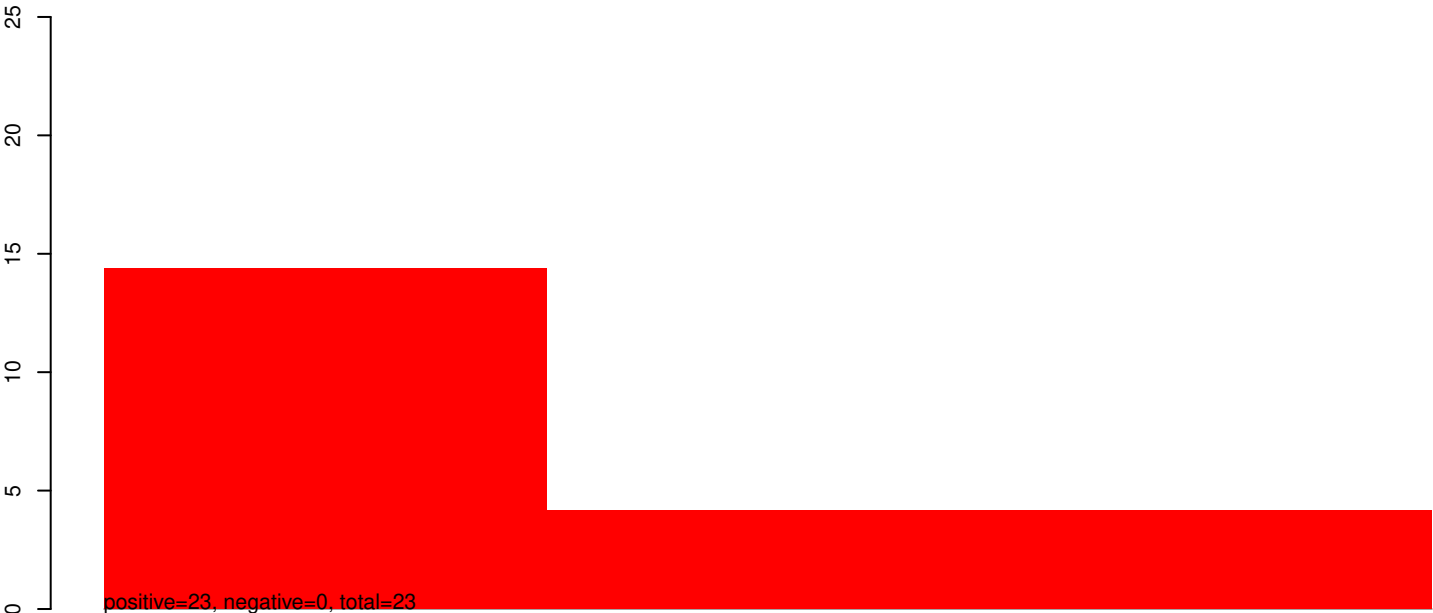
AeAeg_Aag2_Ago2_SINV_RA.24_35.rep



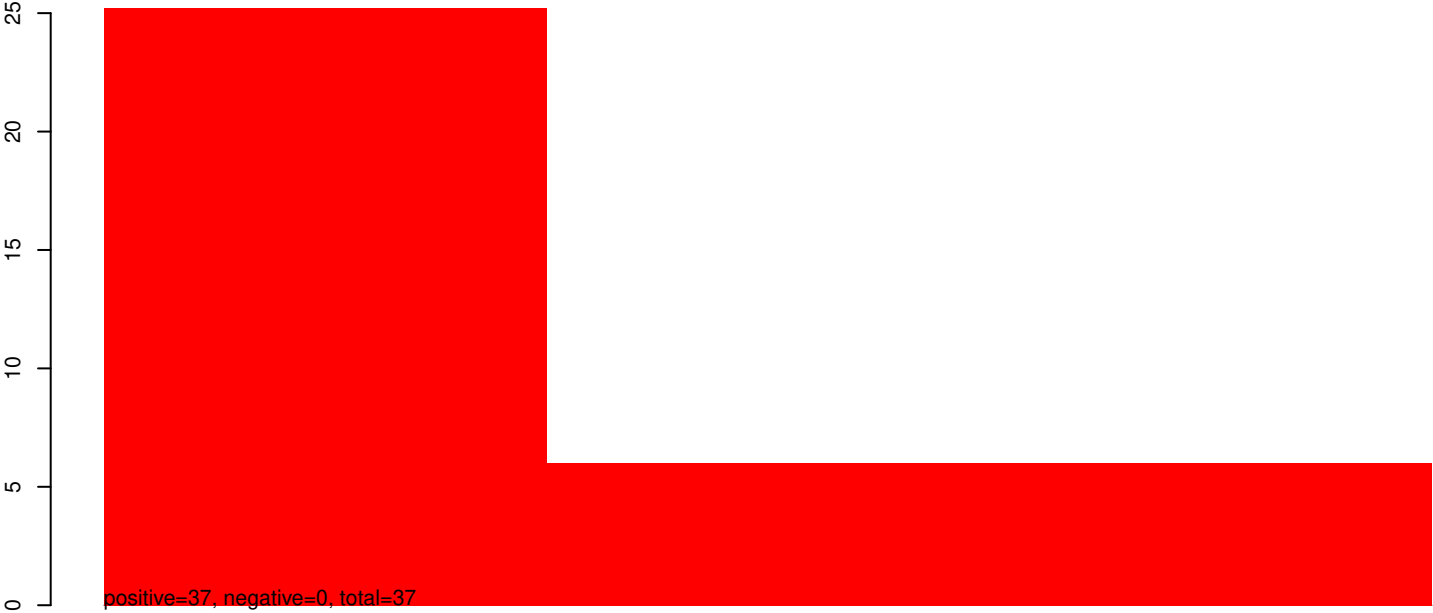
AeAeg_Aag2_Ago2_SINV_RA.rep



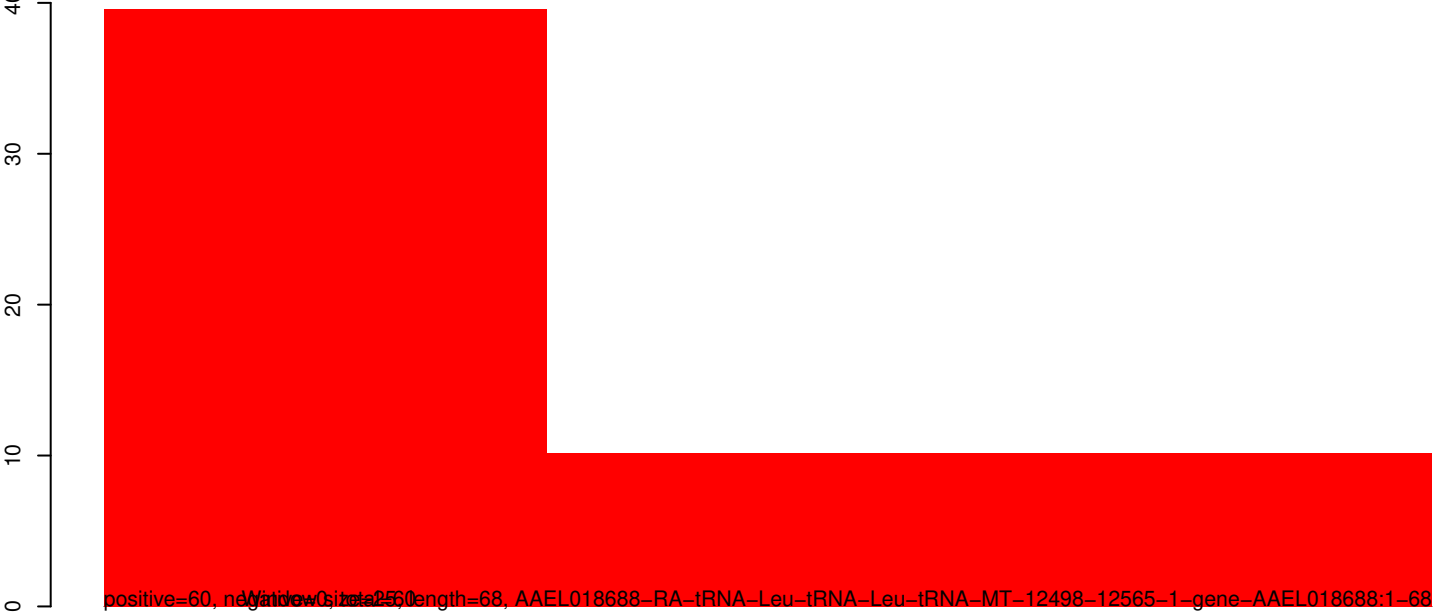
AeAeg_Aag2_Ago2_SINV_RA.18_23.rep



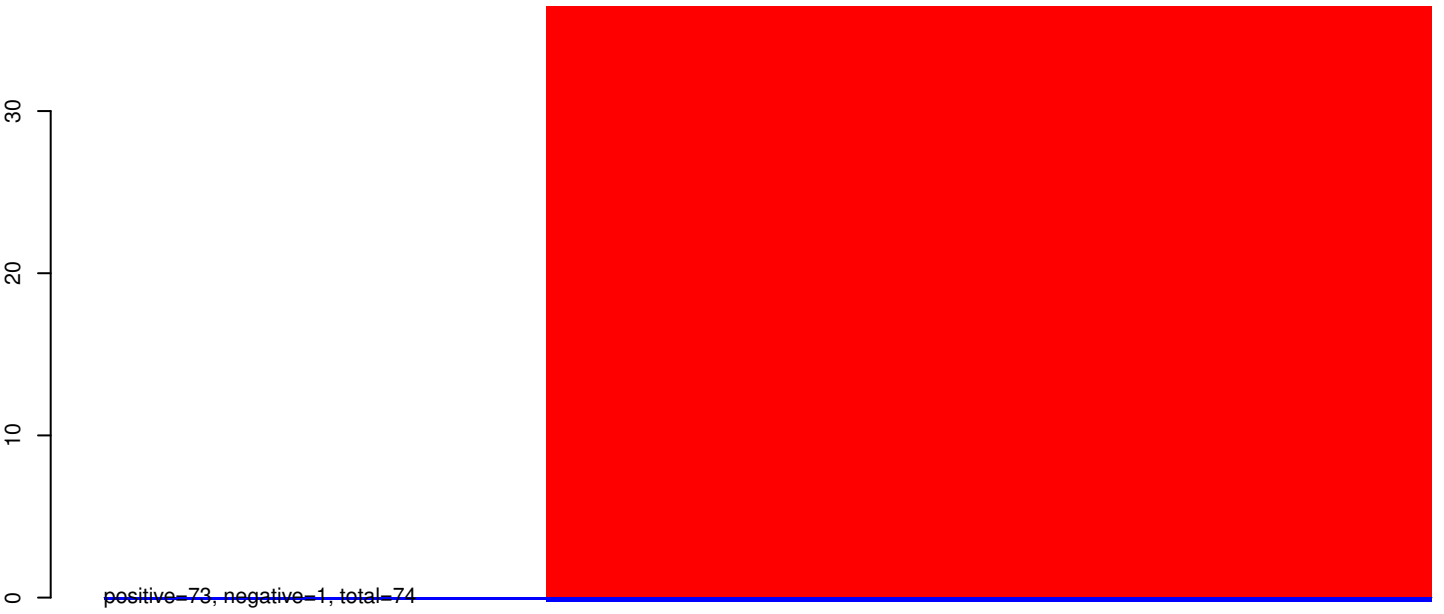
AeAeg_Aag2_Ago2_SINV_RA.24_35.rep



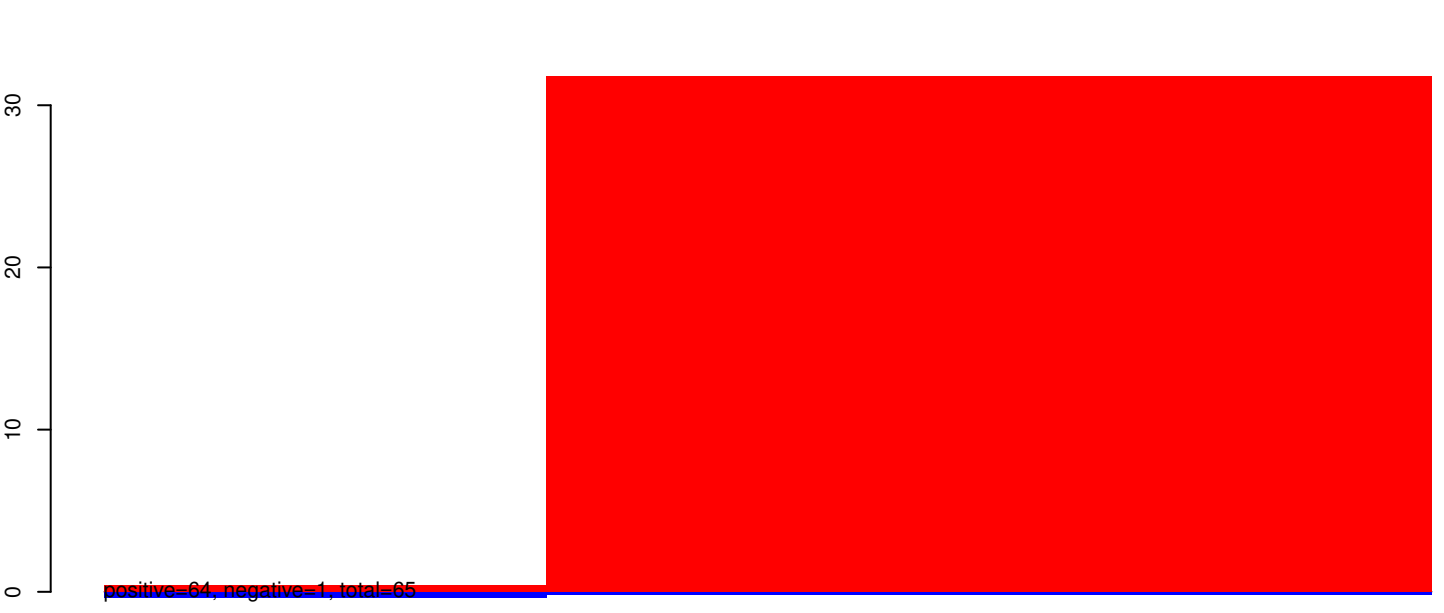
AeAeg_Aag2_Ago2_SINV_RA.rep



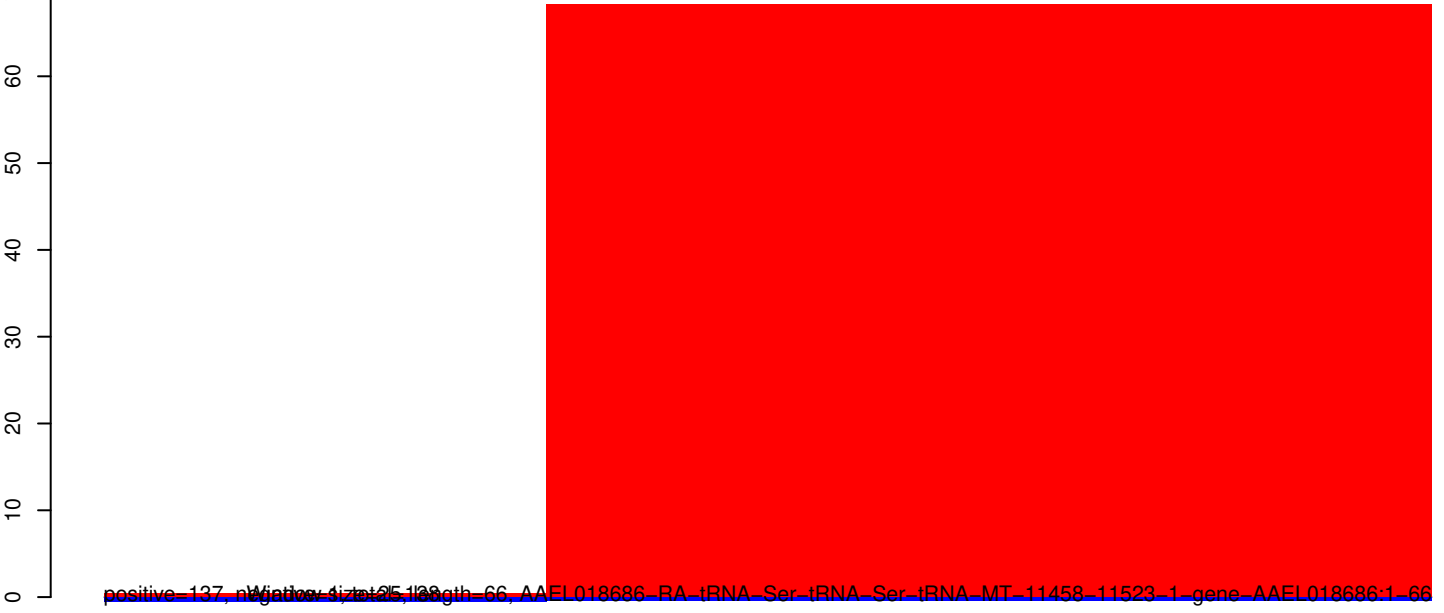
AeAeg_Aag2_Ago2_SINV_RA.18_23.rep



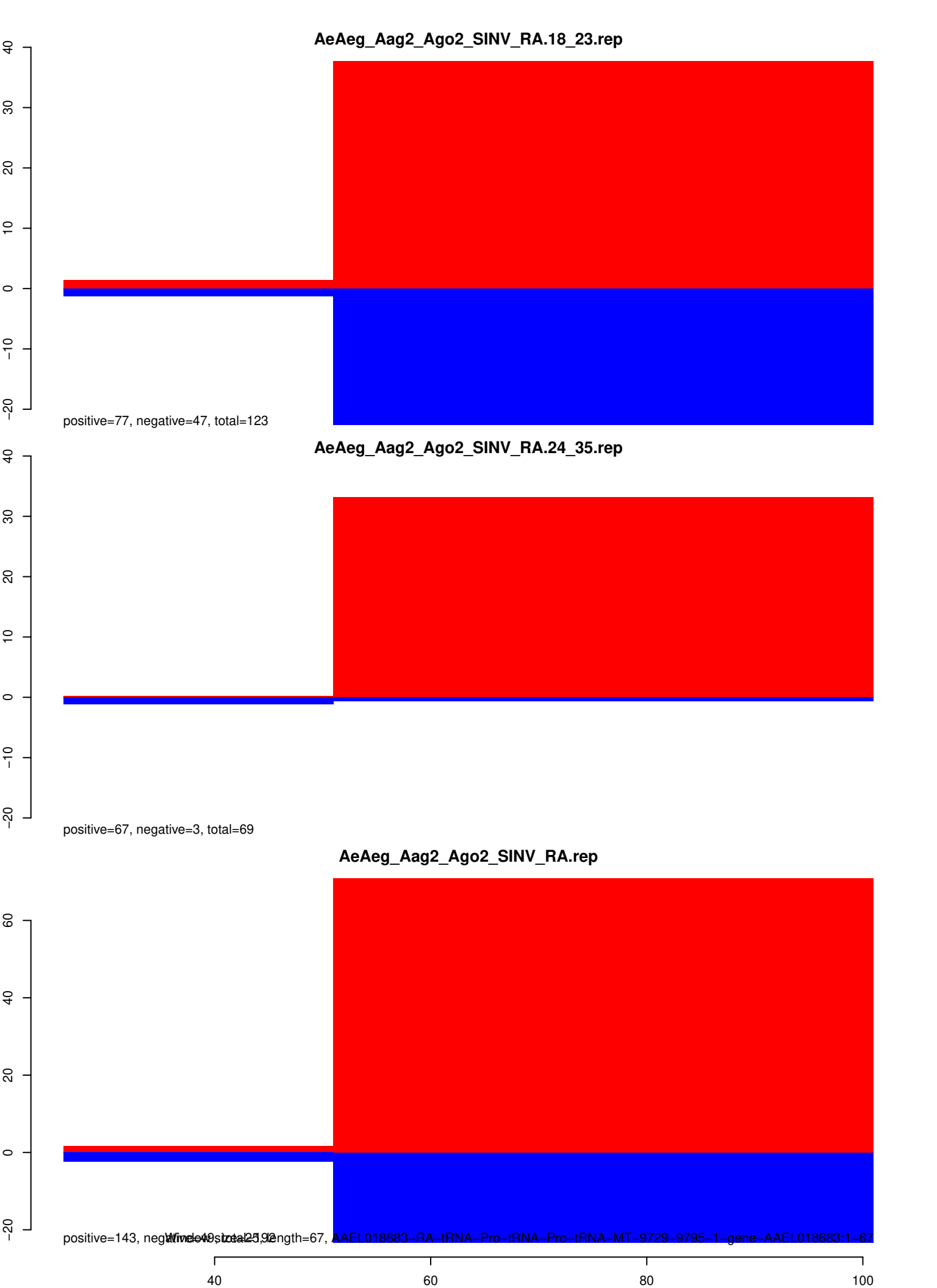
AeAeg_Aag2_Ago2_SINV_RA.24_35.rep



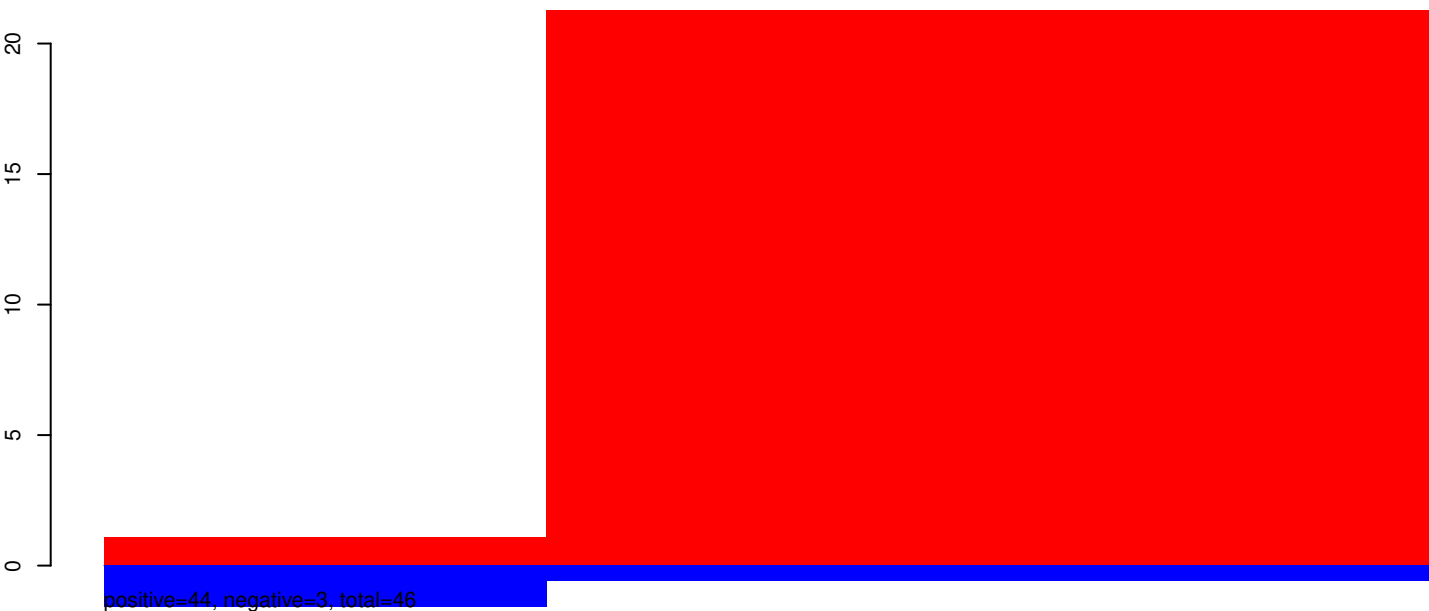
AeAeg_Aag2_Ago2_SINV_RA.rep



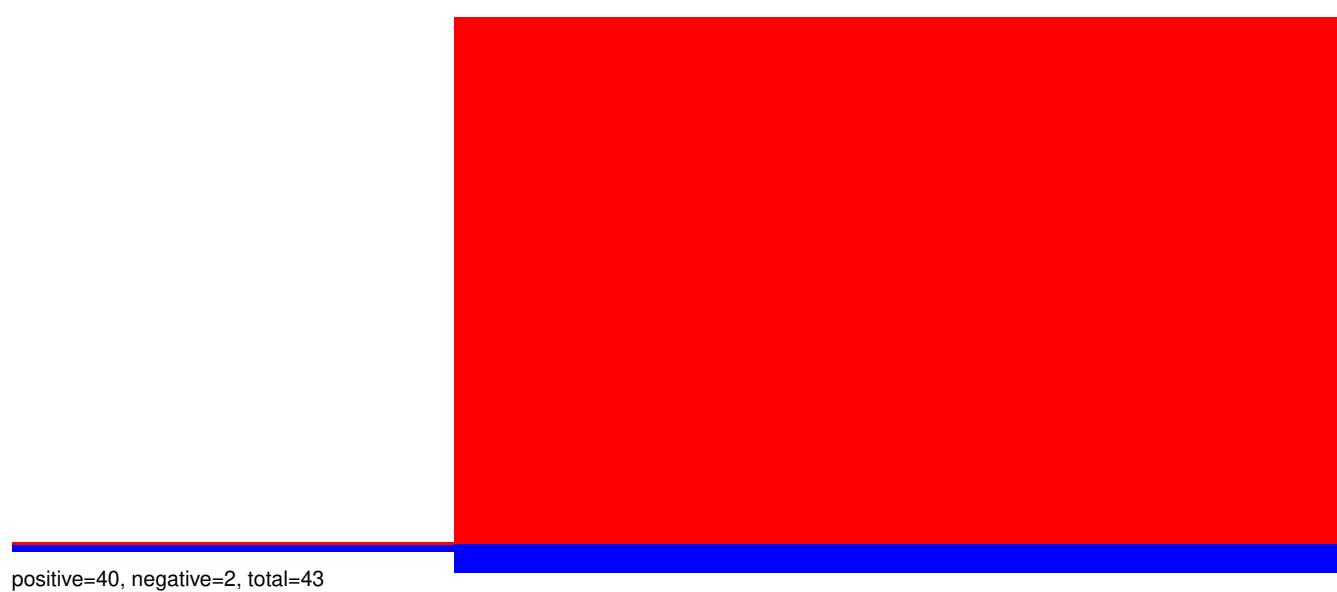
40 60 80 100



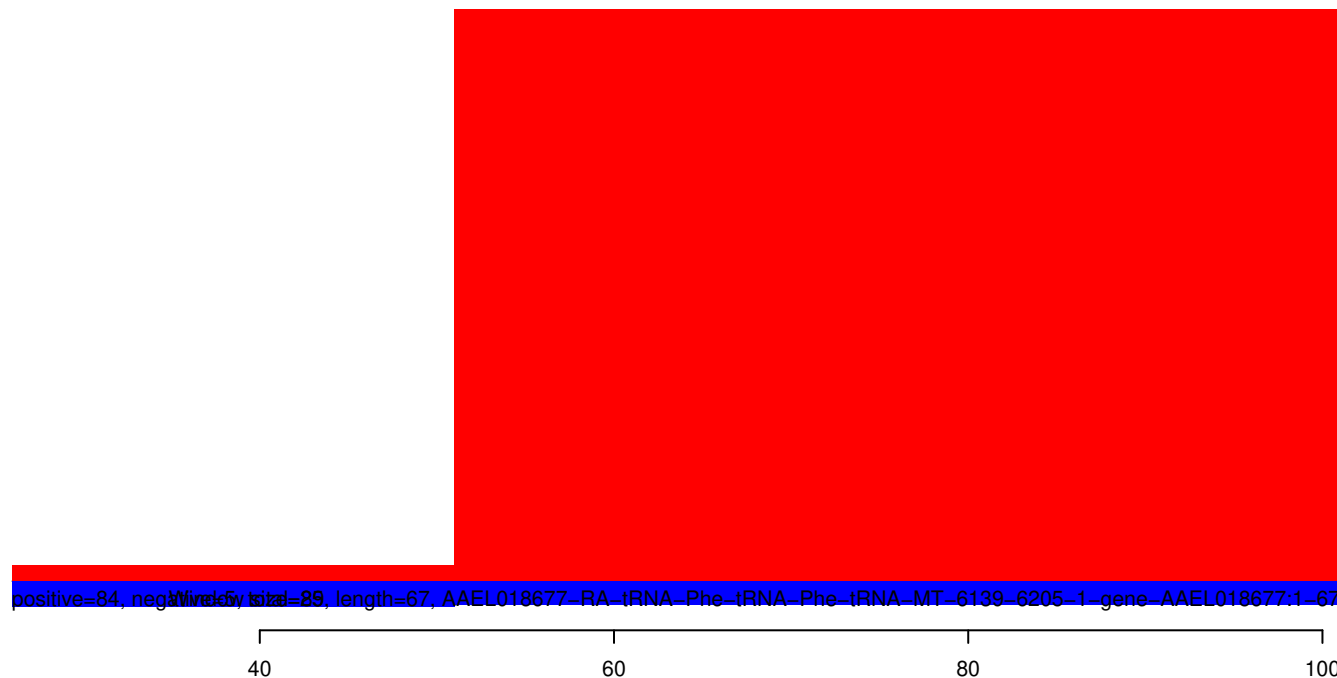
AeAeg_Aag2_Ago2_SINV_RA.18_23.rep



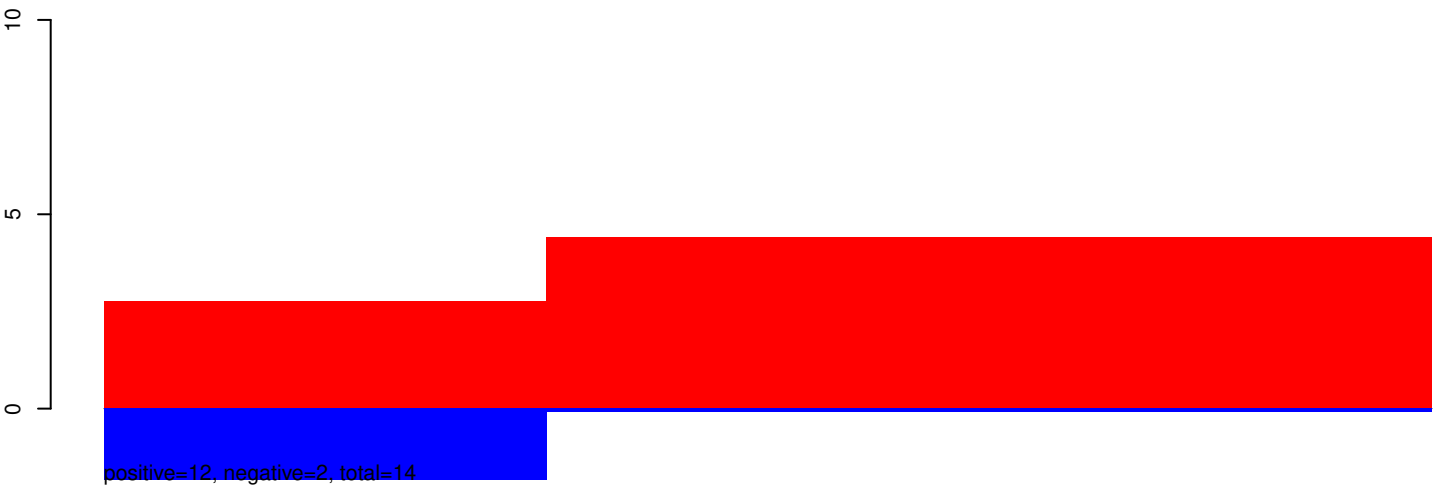
AeAeg_Aag2_Ago2_SINV_RA.24_35.rep



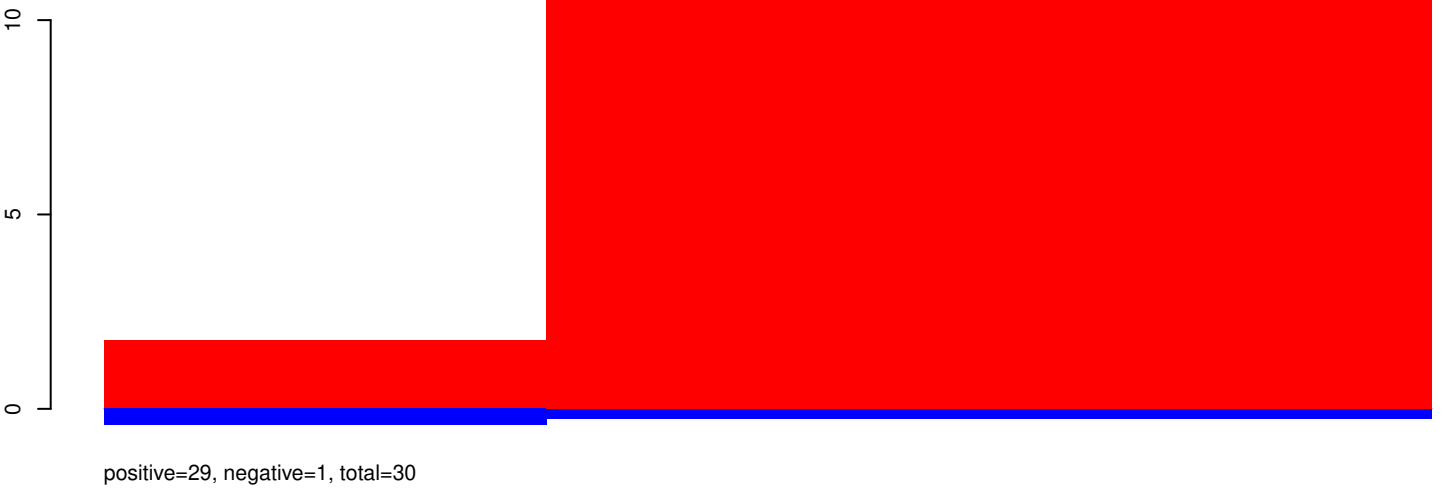
AeAeg_Aag2_Ago2_SINV_RA.rep



AeAeg_Aag2_Ago2_SINV_RA.18_23.rep



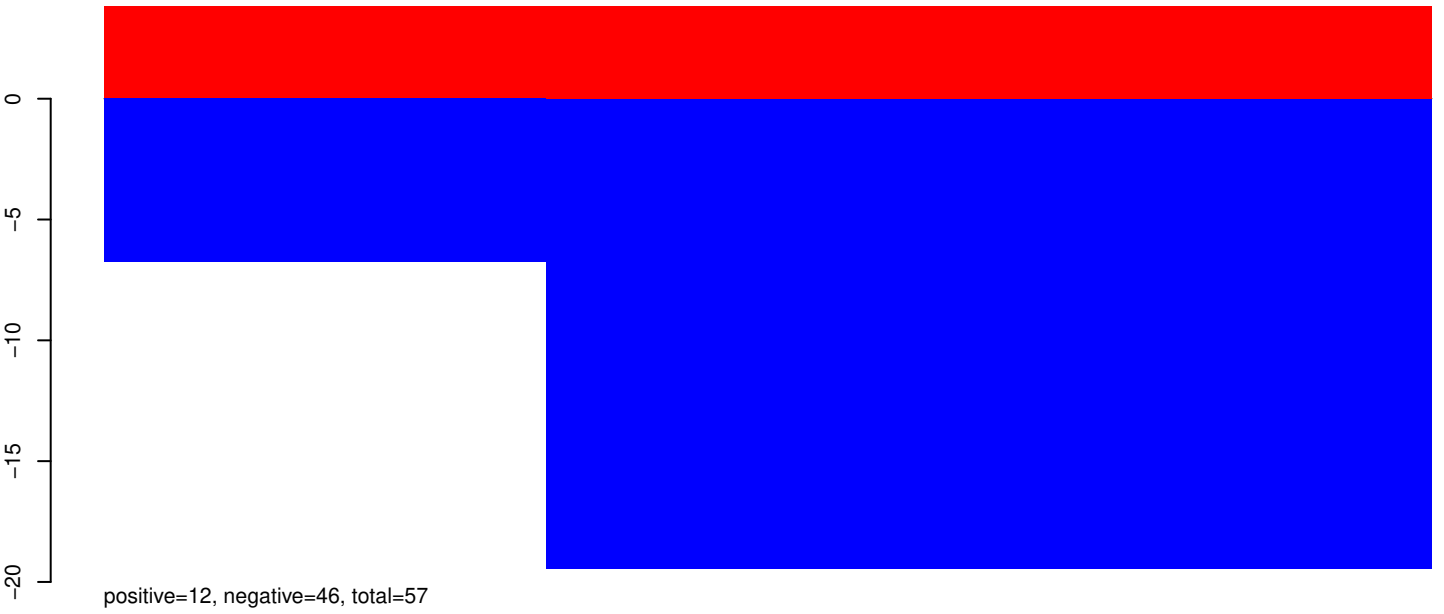
AeAeg_Aag2_Ago2_SINV_RA.24_35.rep



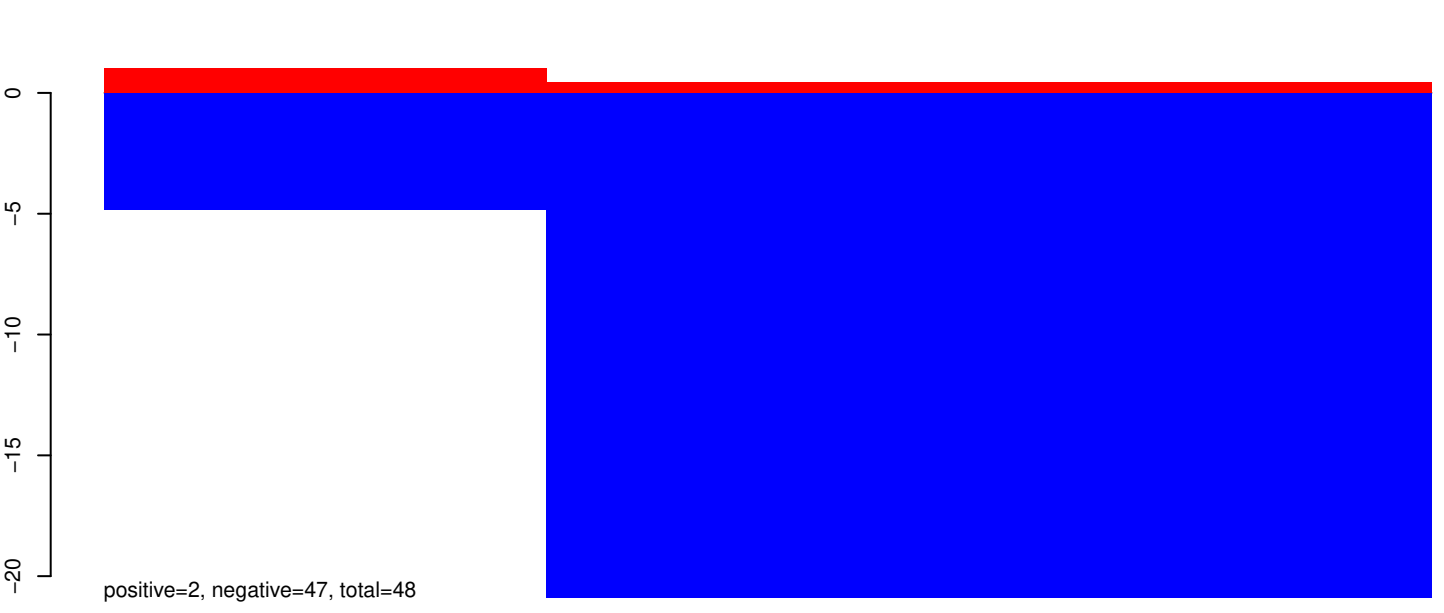
AeAeg_Aag2_Ago2_SINV_RA.rep



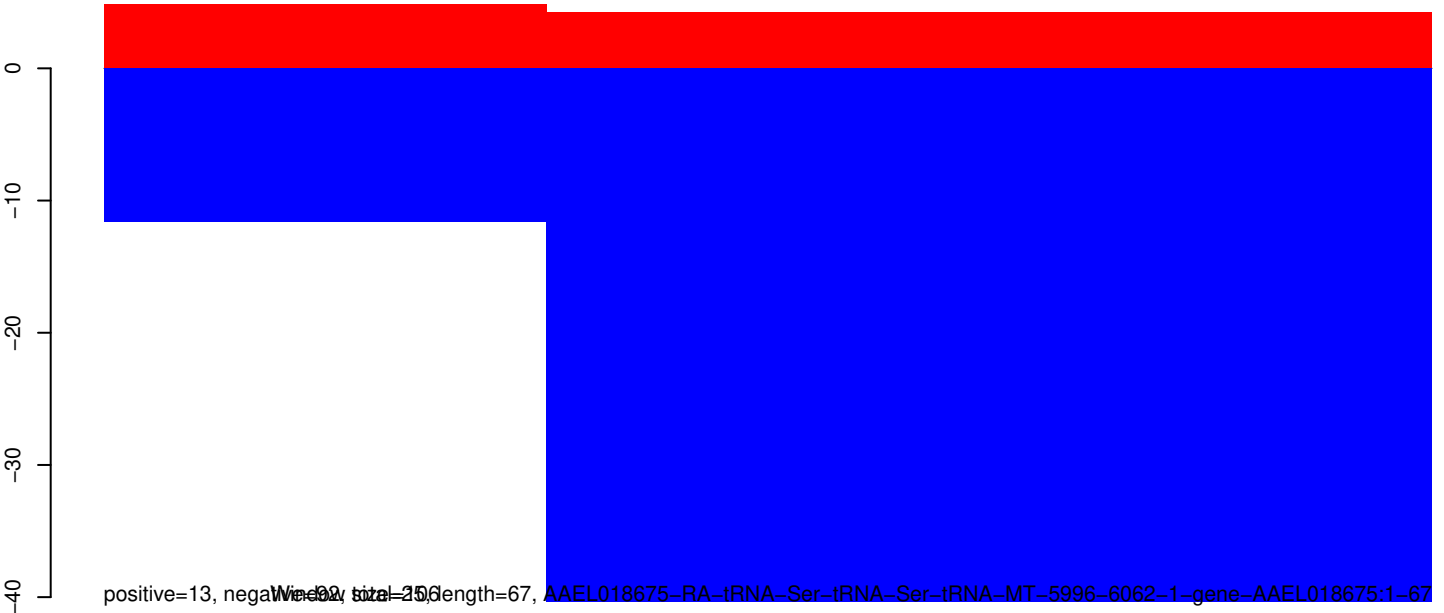
AeAeg_Aag2_Ago2_SINV_RA.18_23.rep



AeAeg_Aag2_Ago2_SINV_RA.24_35.rep



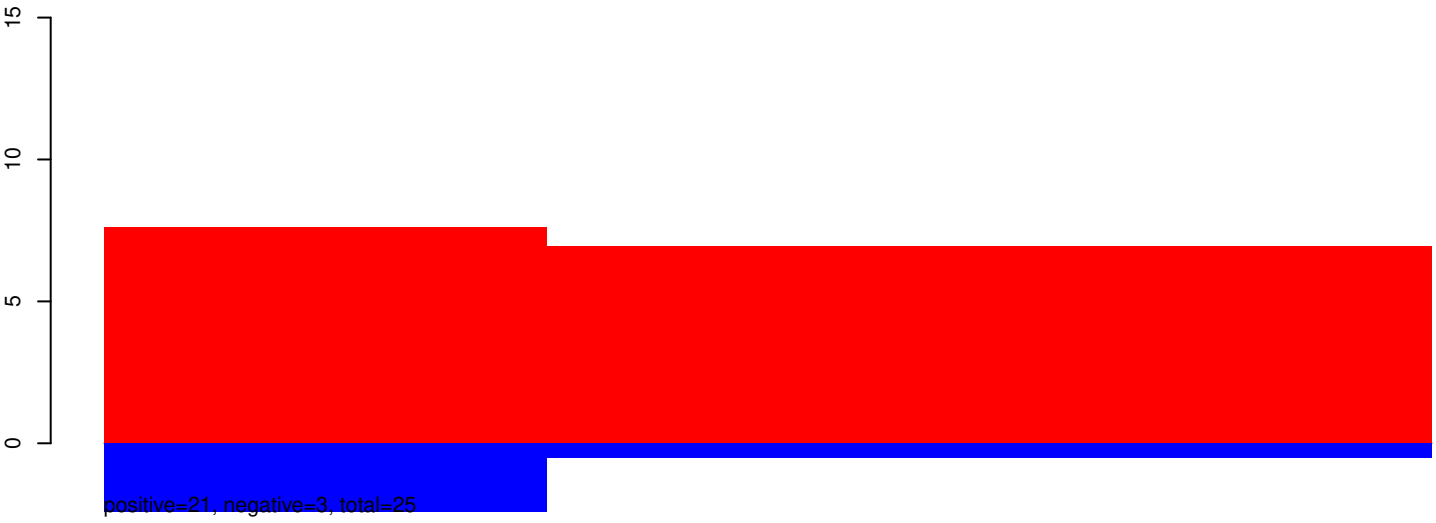
AeAeg_Aag2_Ago2_SINV_RA.rep



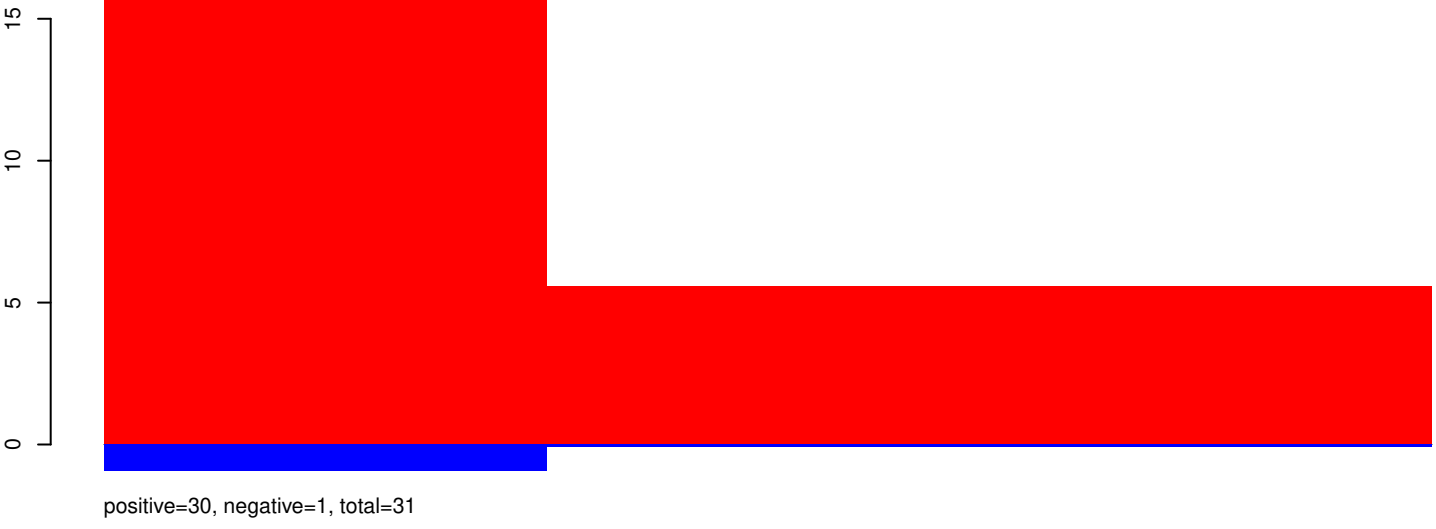
Wedge size=25 length=67, AAEL018675-RA-tRNA-Ser-tRNA-Ser-tRNA-MT-5996-6062-1-gene-AAEL018675:1-67

40 60 80 100

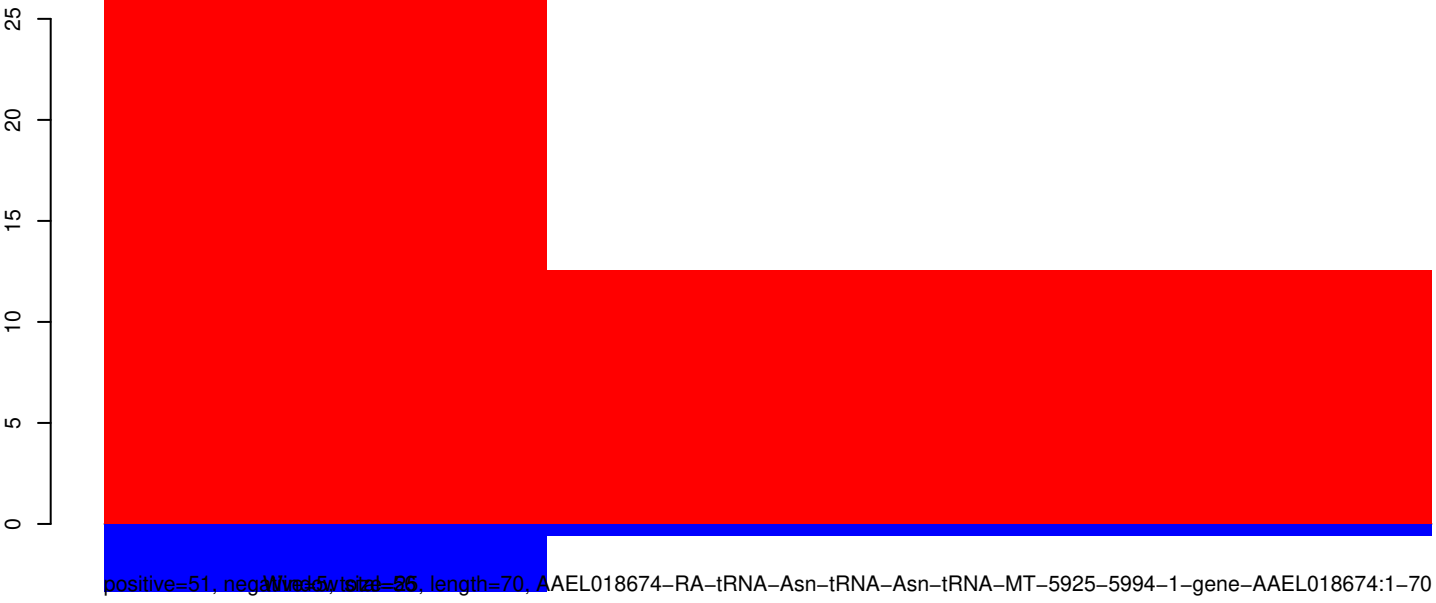
AeAeg_Aag2_Ago2_SINV_RA.18_23.rep



AeAeg_Aag2_Ago2_SINV_RA.24_35.rep



AeAeg_Aag2_Ago2_SINV_RA.rep



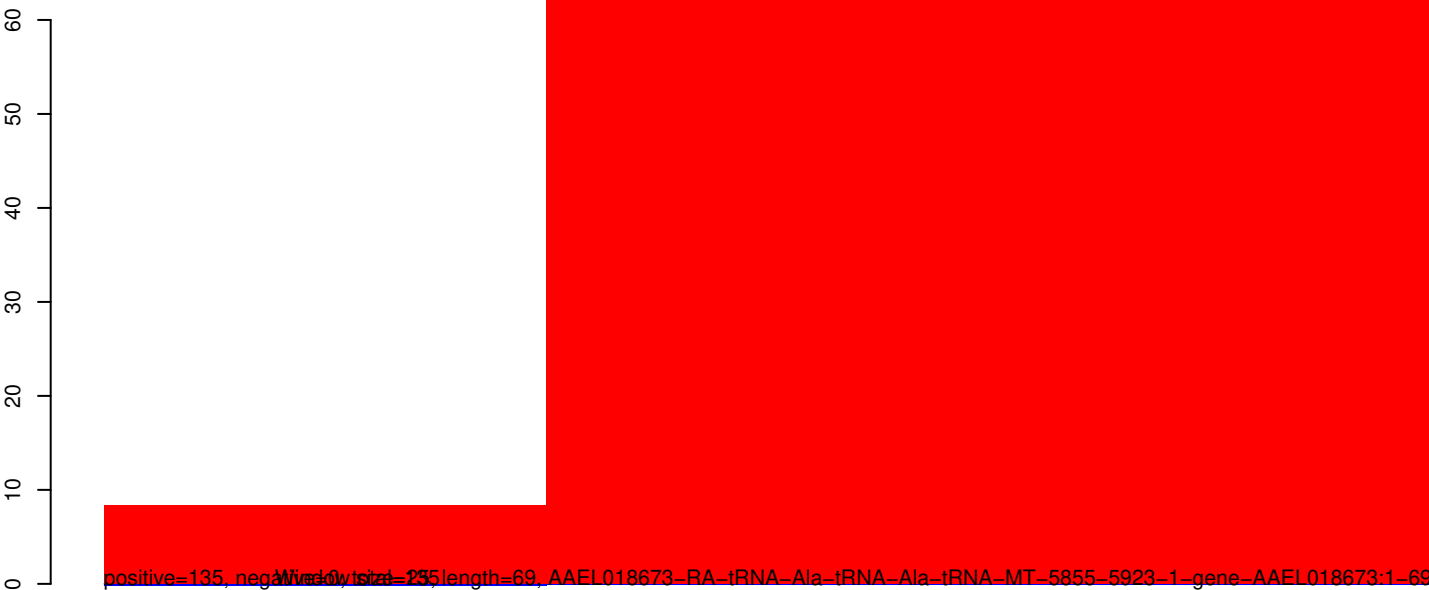
AeAeg_Aag2_Ago2_SINV_RA.18_23.rep



AeAeg_Aag2_Ago2_SINV_RA.24_35.rep

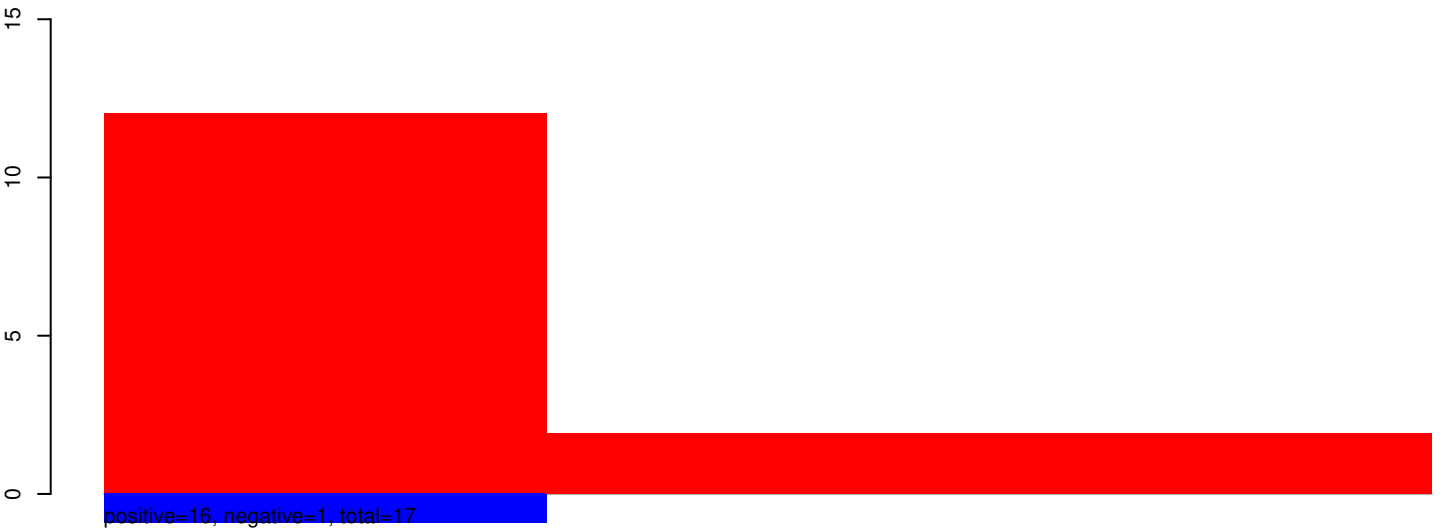


AeAeg_Aag2_Ago2_SINV_RA.rep

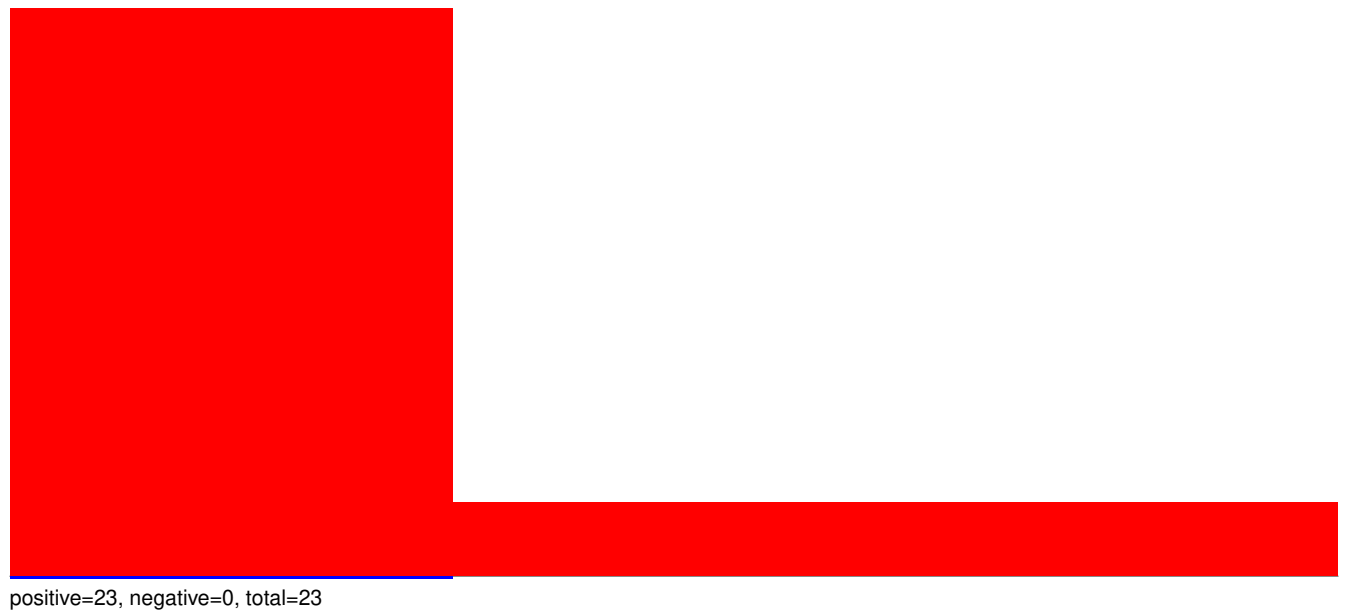


40 60 80 100

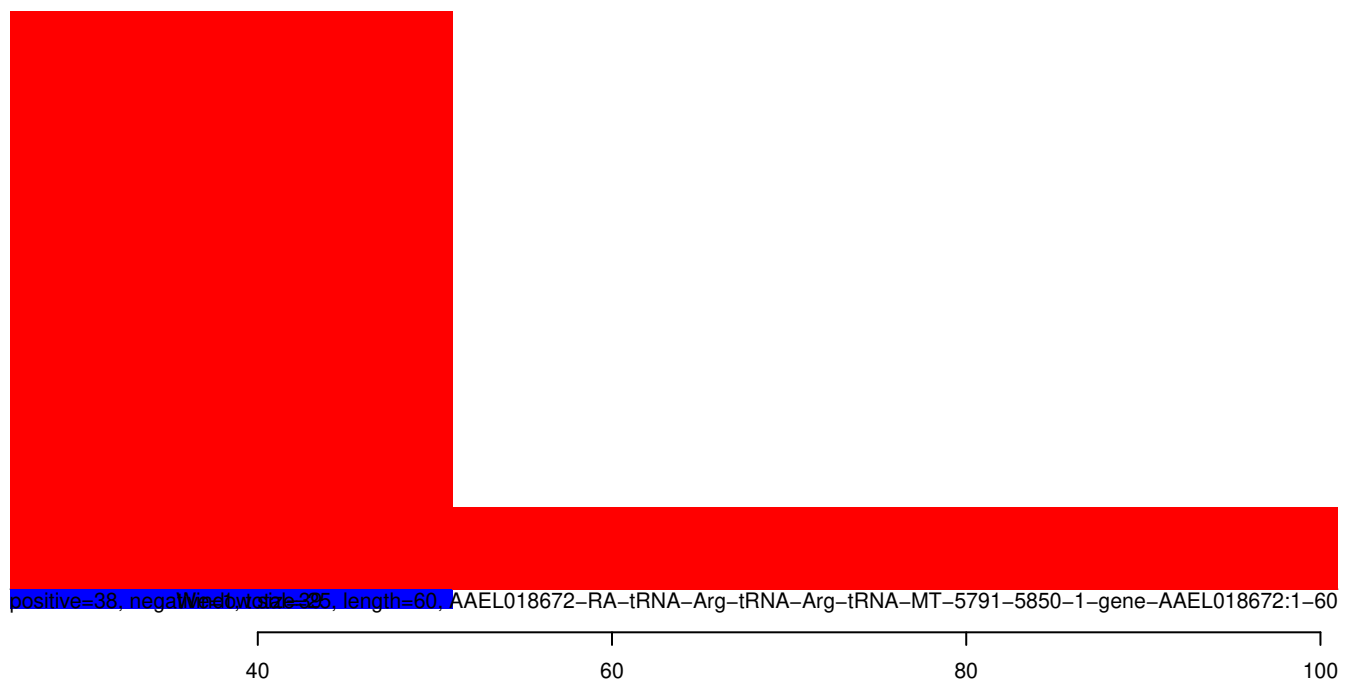
AeAeg_Aag2_Ago2_SINV_RA.18_23.rep



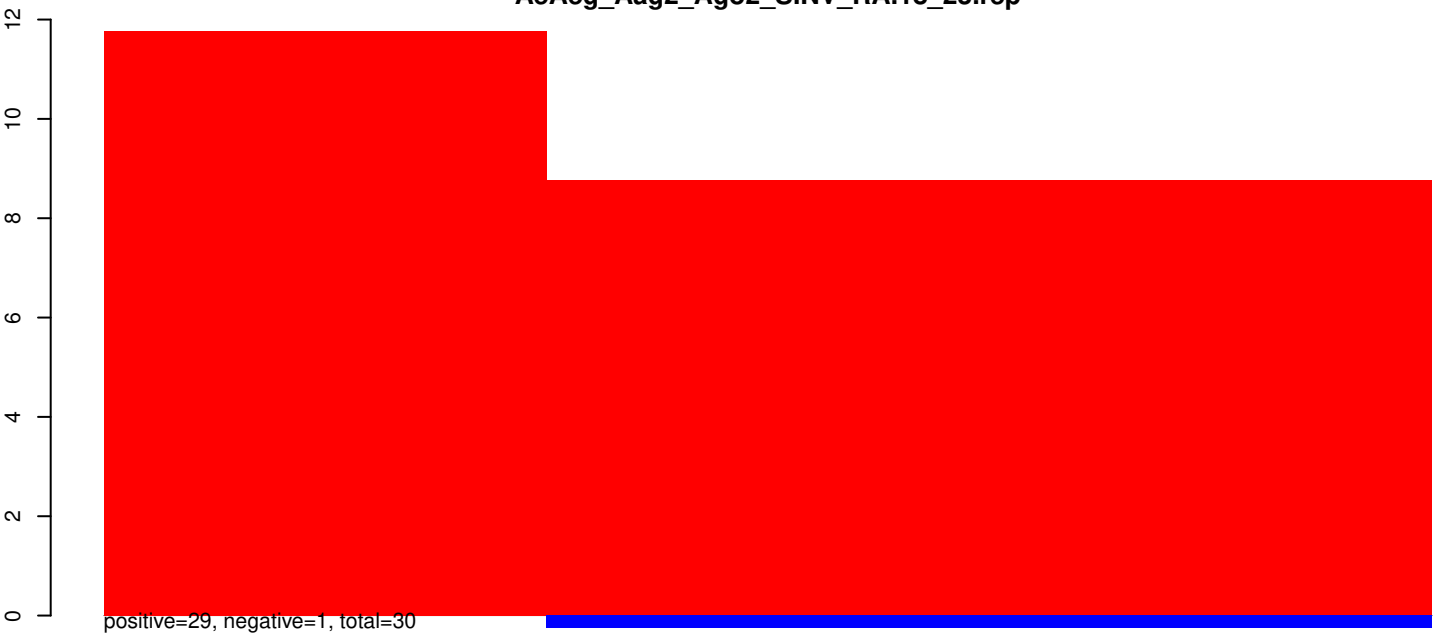
AeAeg_Aag2_Ago2_SINV_RA.24_35.rep



AeAeg_Aag2_Ago2_SINV_RA.rep



AeAeg_Aag2_Ago2_SINV_RA.18_23.rep



AeAeg_Aag2_Ago2_SINV_RA.24_35.rep

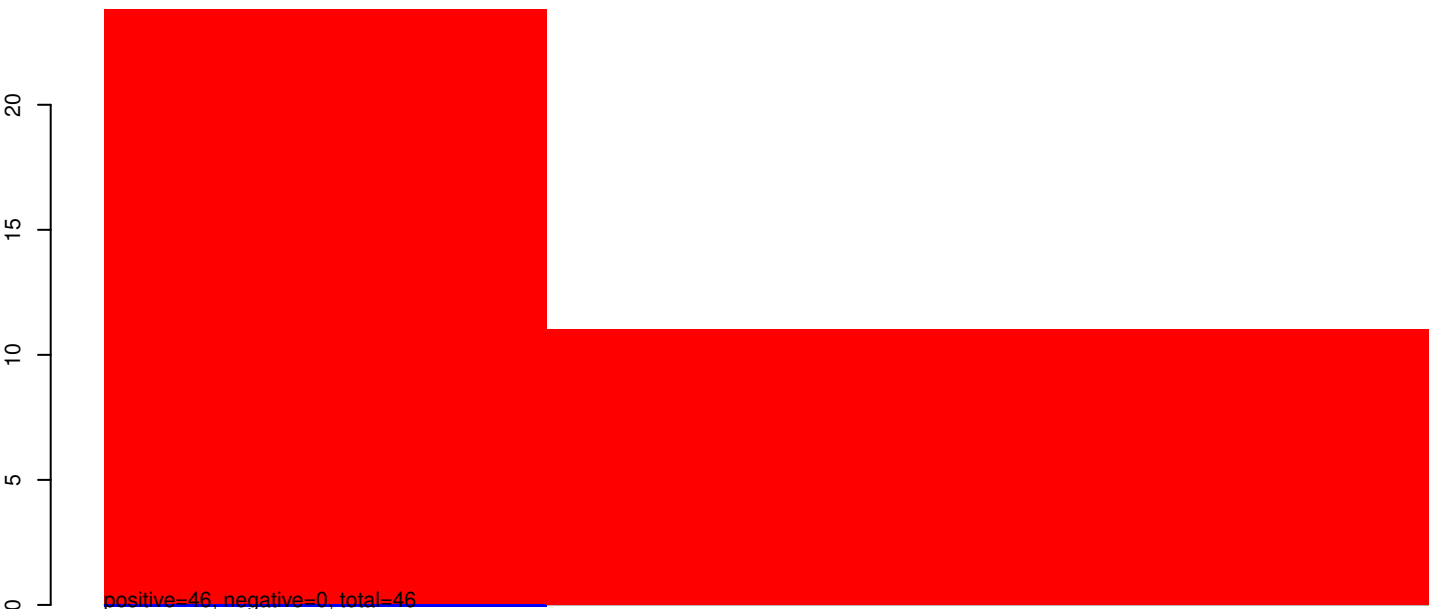


AeAeg_Aag2_Ago2_SINV_RA.rep

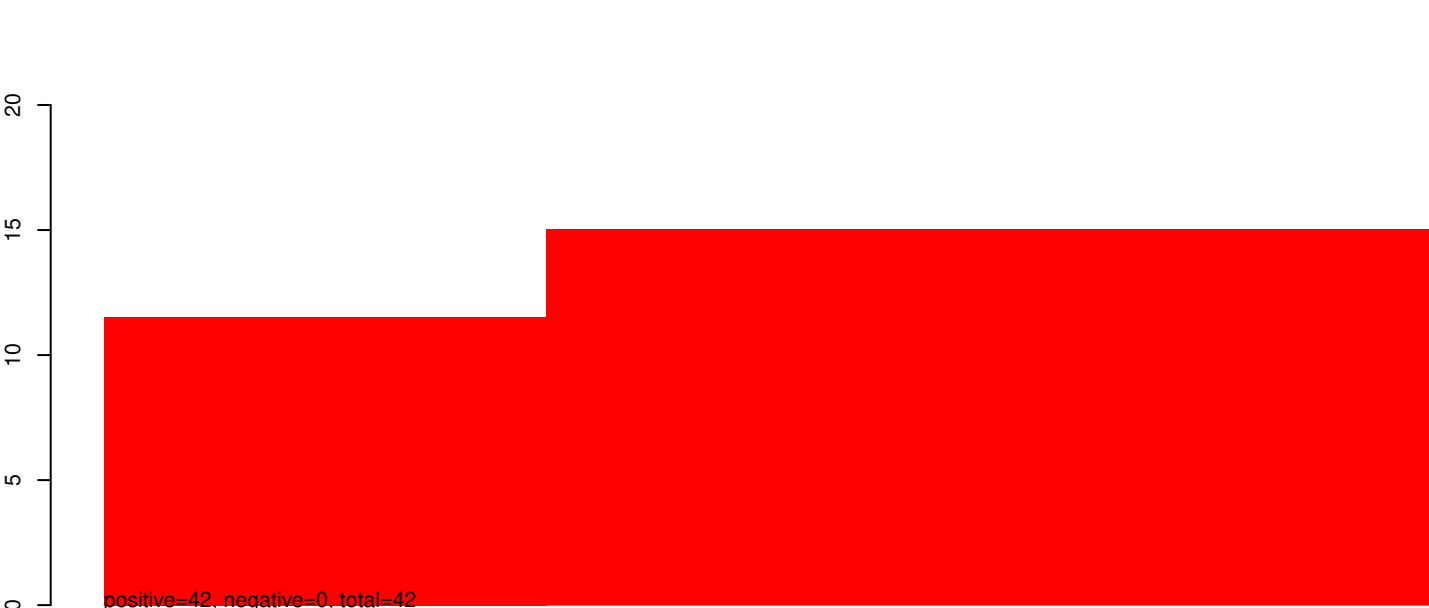


40 60 80 100

AeAeg_Aag2_Ago2_SINV_RA.18_23.rep



AeAeg_Aag2_Ago2_SINV_RA.24_35.rep



AeAeg_Aag2_Ago2_SINV_RA.rep

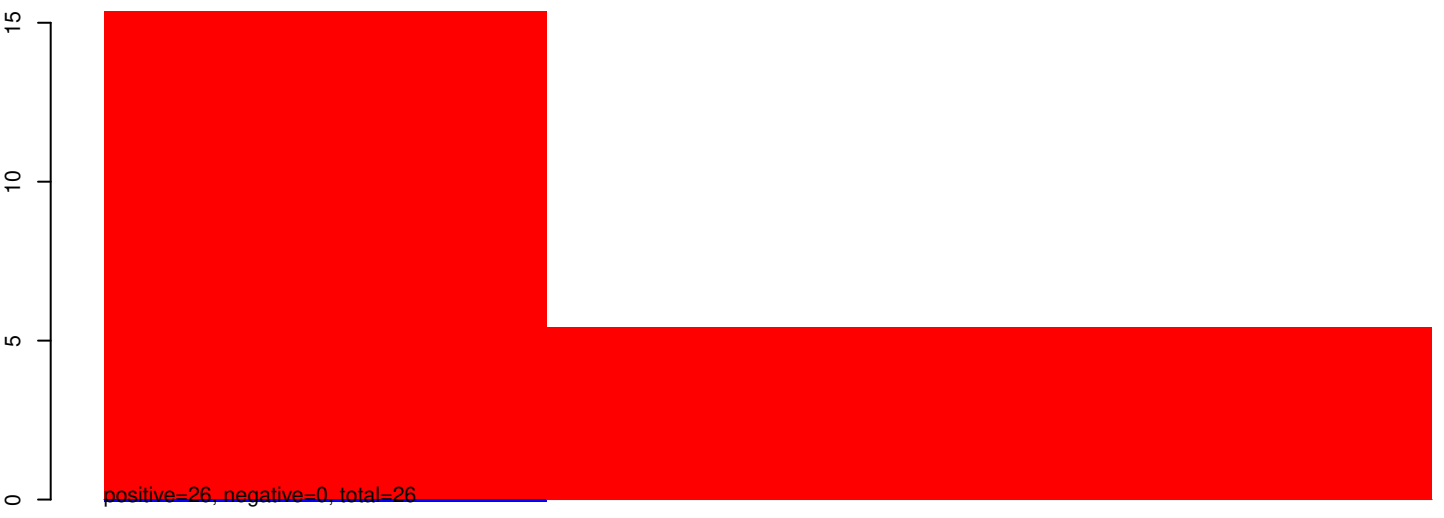


Window size=25, length=69, AAEL018666-RA-tRNA-Asp-tRNA-Asp-tRNA-MT-3675-3743-1-gene-AAEL018666:1-69

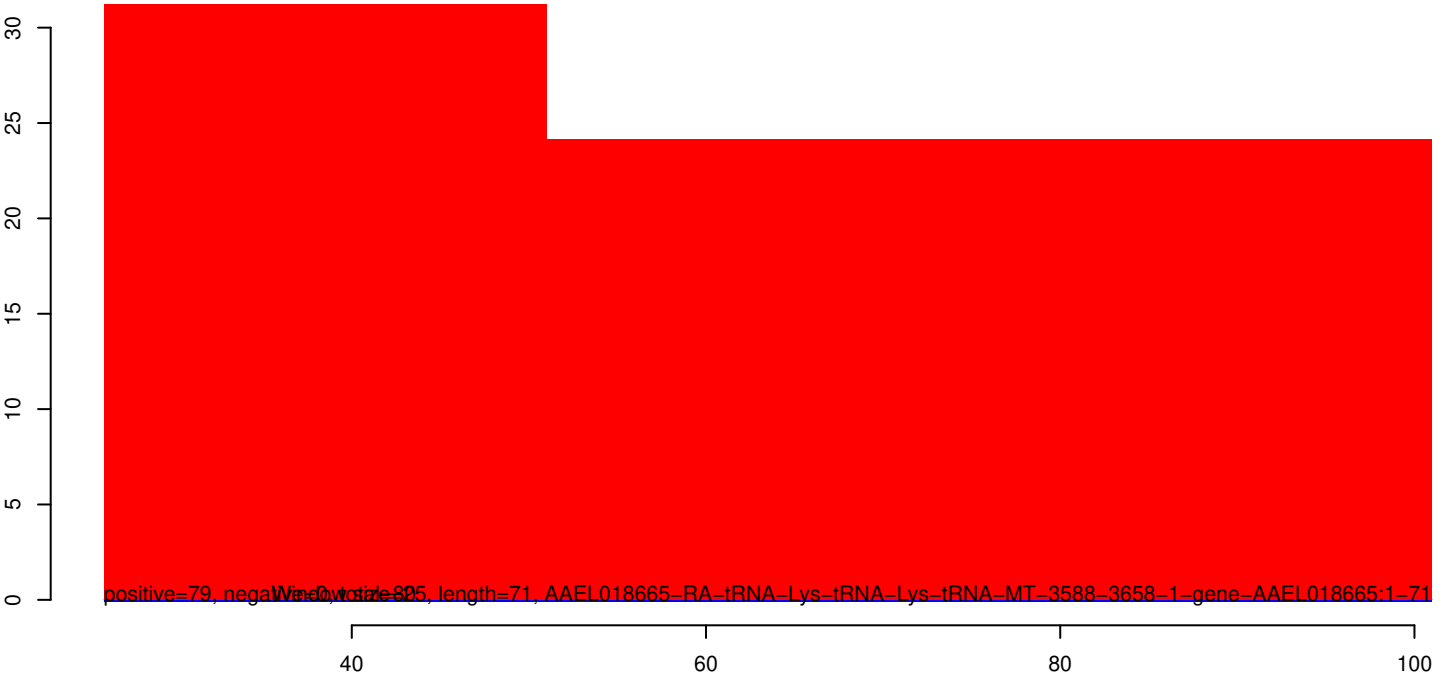
AeAeg_Aag2_Ago2_SINV_RA.18_23.rep



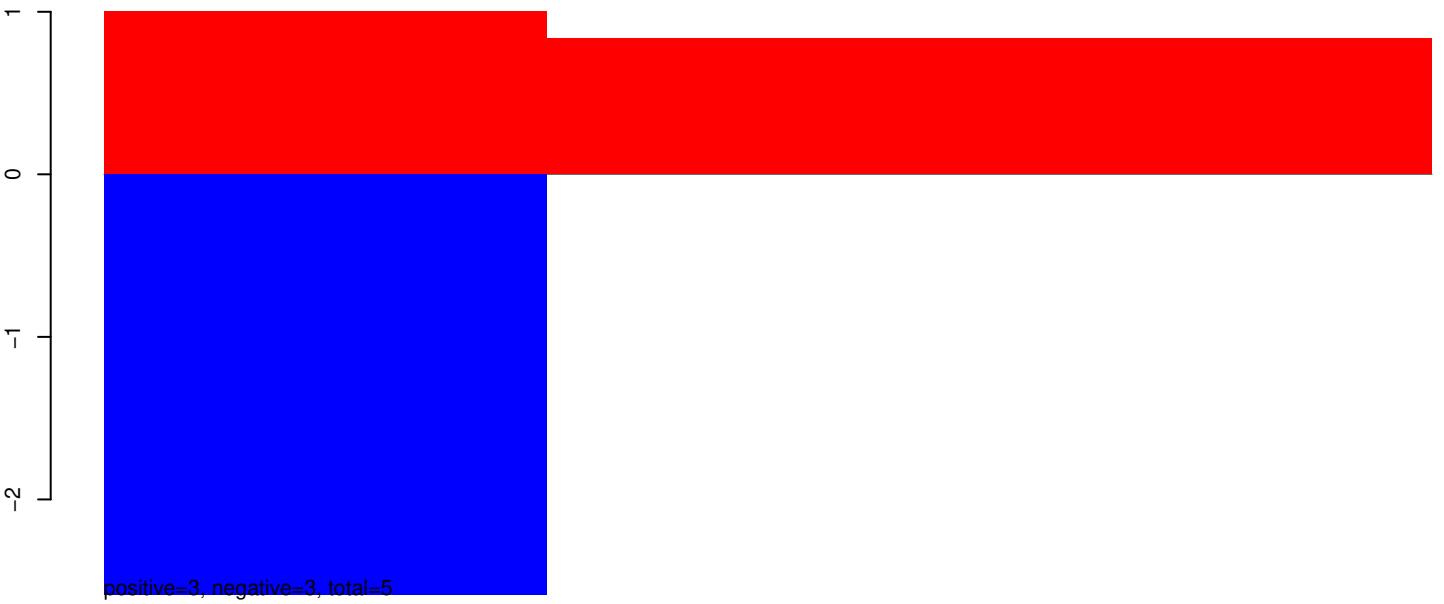
AeAeg_Aag2_Ago2_SINV_RA.24_35.rep



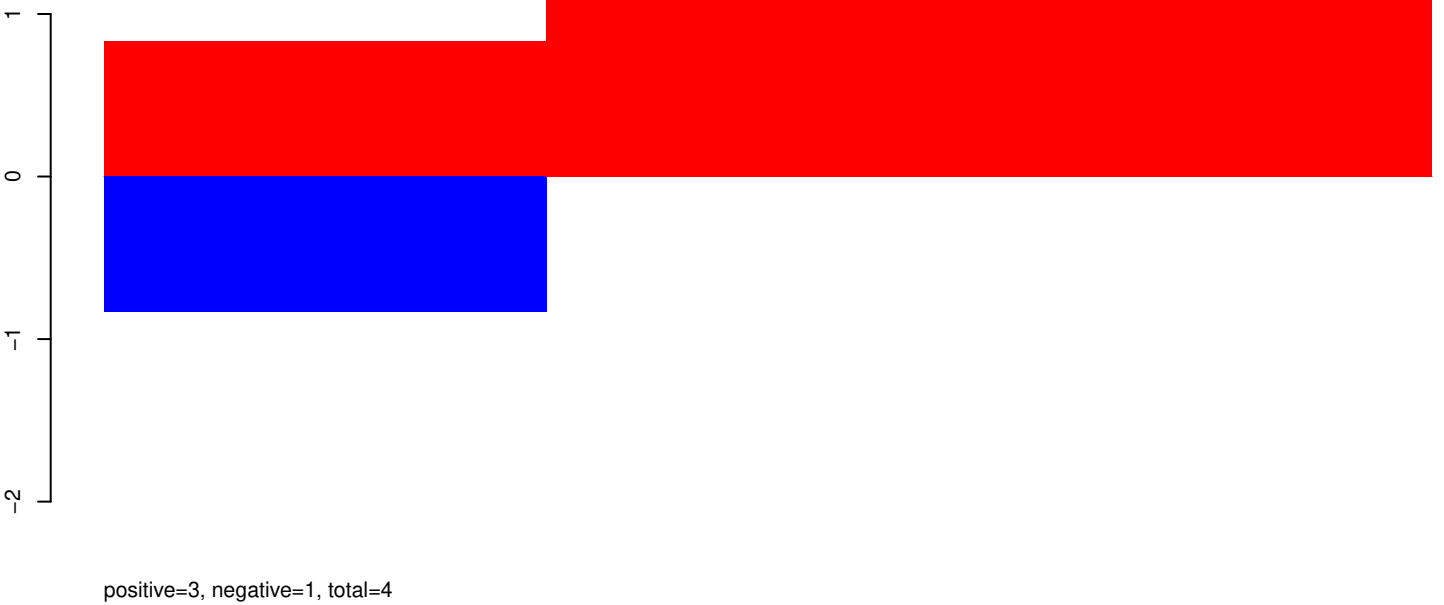
AeAeg_Aag2_Ago2_SINV_RA.rep



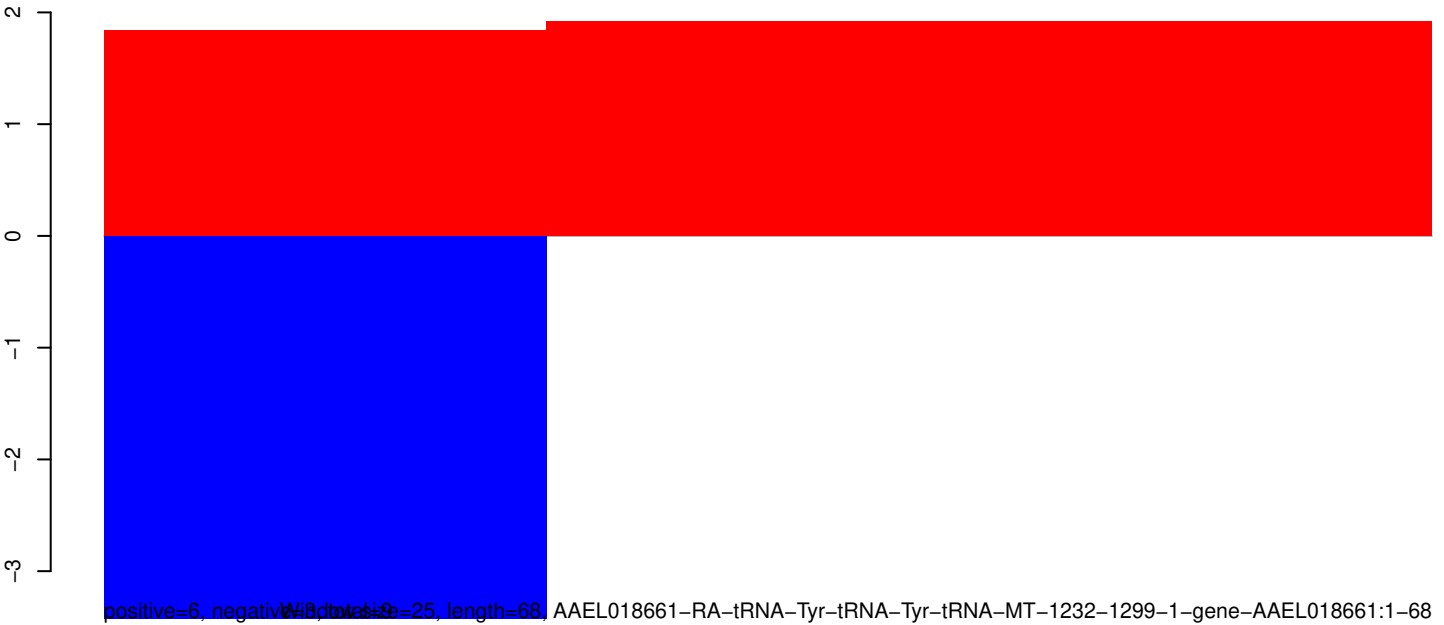
AeAeg_Aag2_Ago2_SINV_RA.18_23.rep



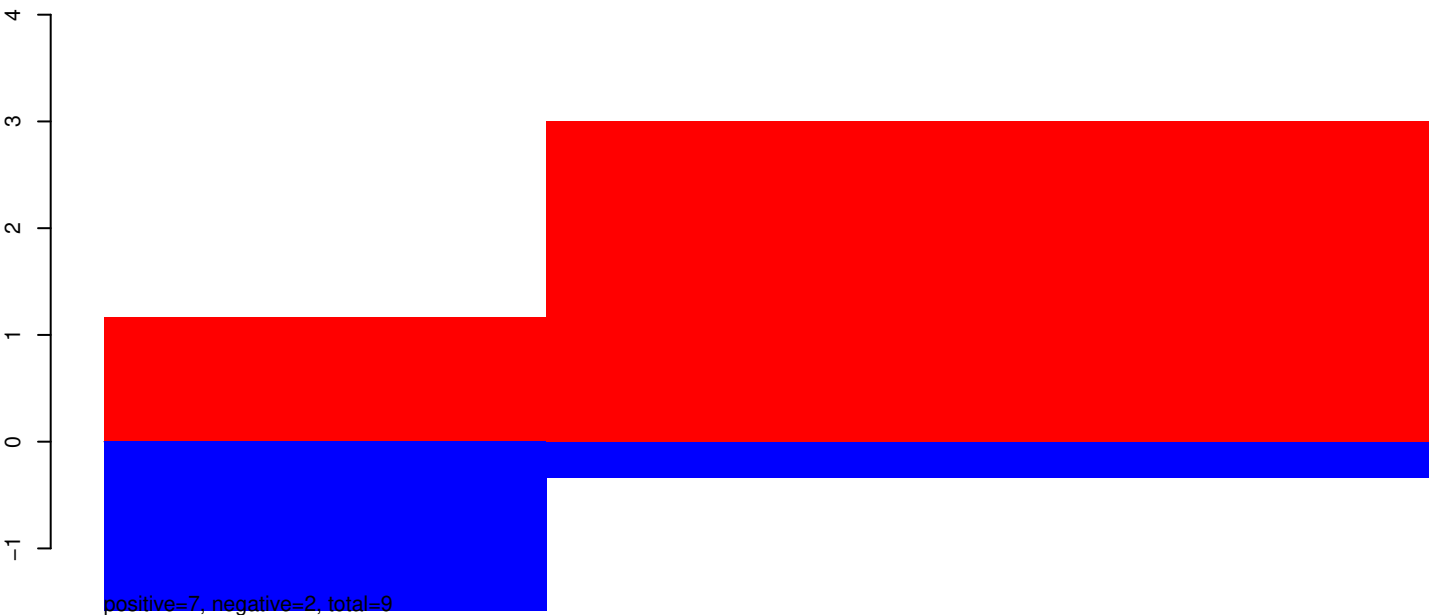
AeAeg_Aag2_Ago2_SINV_RA.24_35.rep



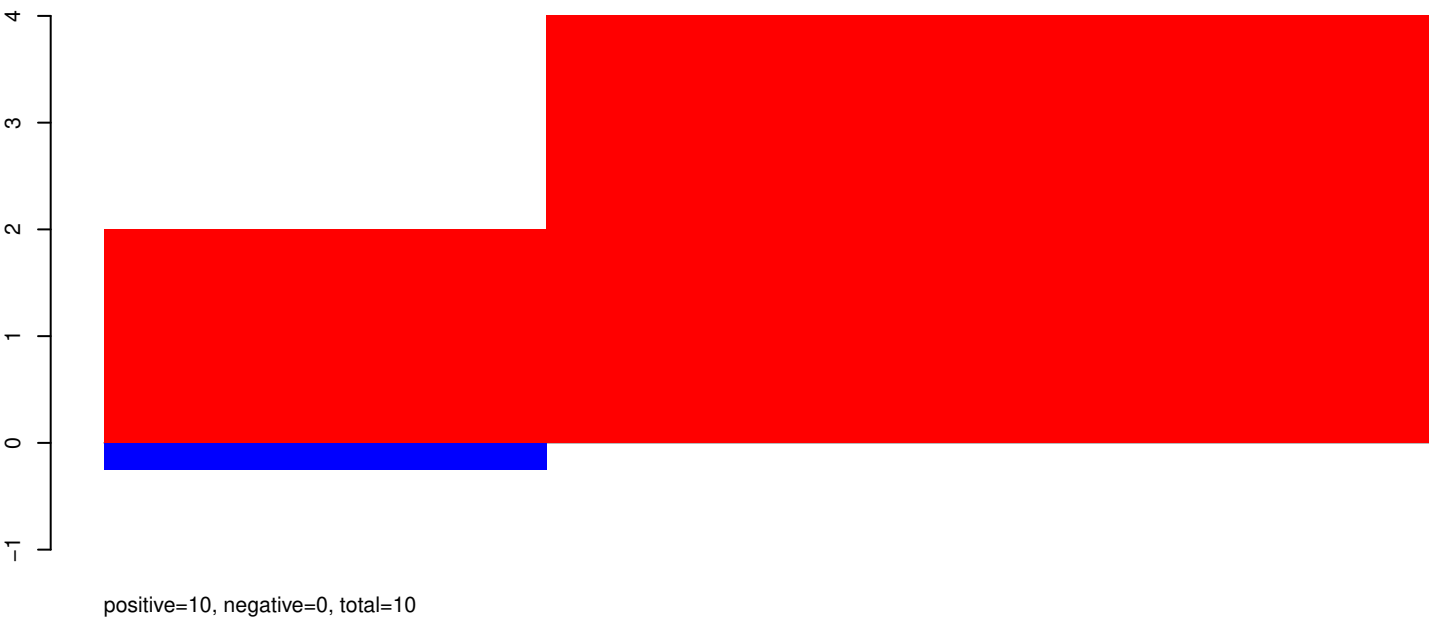
AeAeg_Aag2_Ago2_SINV_RA.rep



AeAeg_Aag2_Ago2_SINV_RA.18_23.rep



AeAeg_Aag2_Ago2_SINV_RA.24_35.rep



AeAeg_Aag2_Ago2_SINV_RA.rep



40 60 80 100

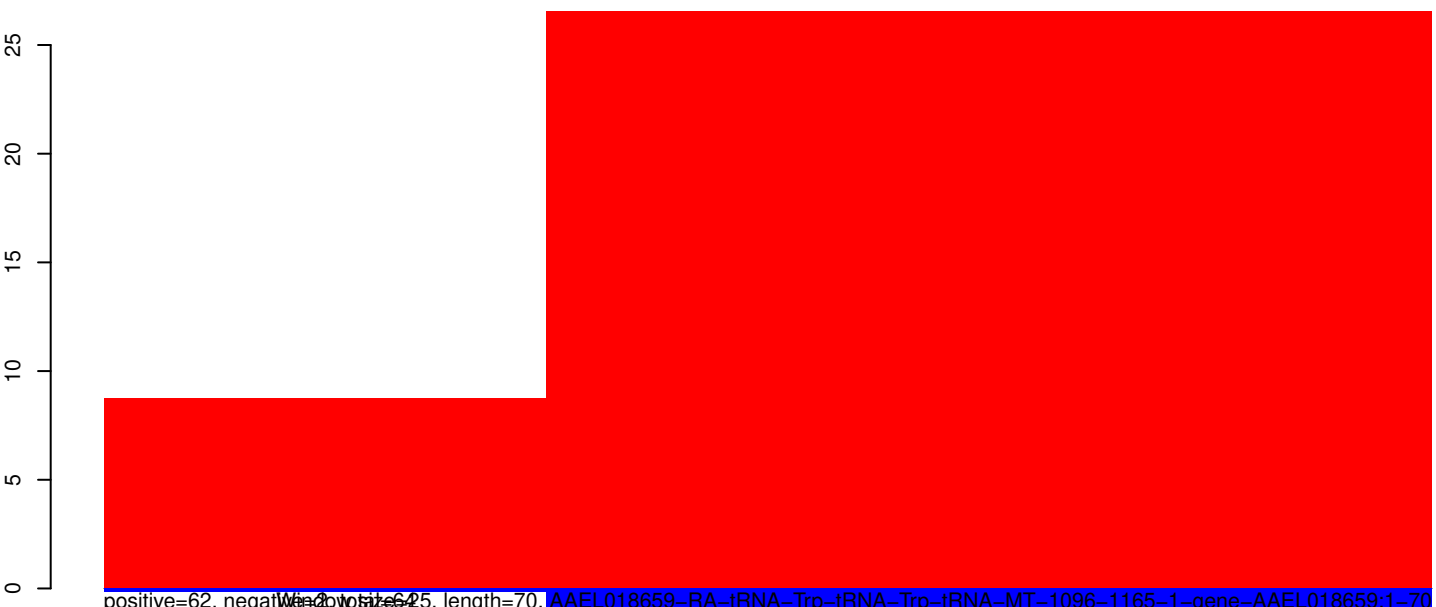
AeAeg_Aag2_Ago2_SINV_RA.18_23.rep



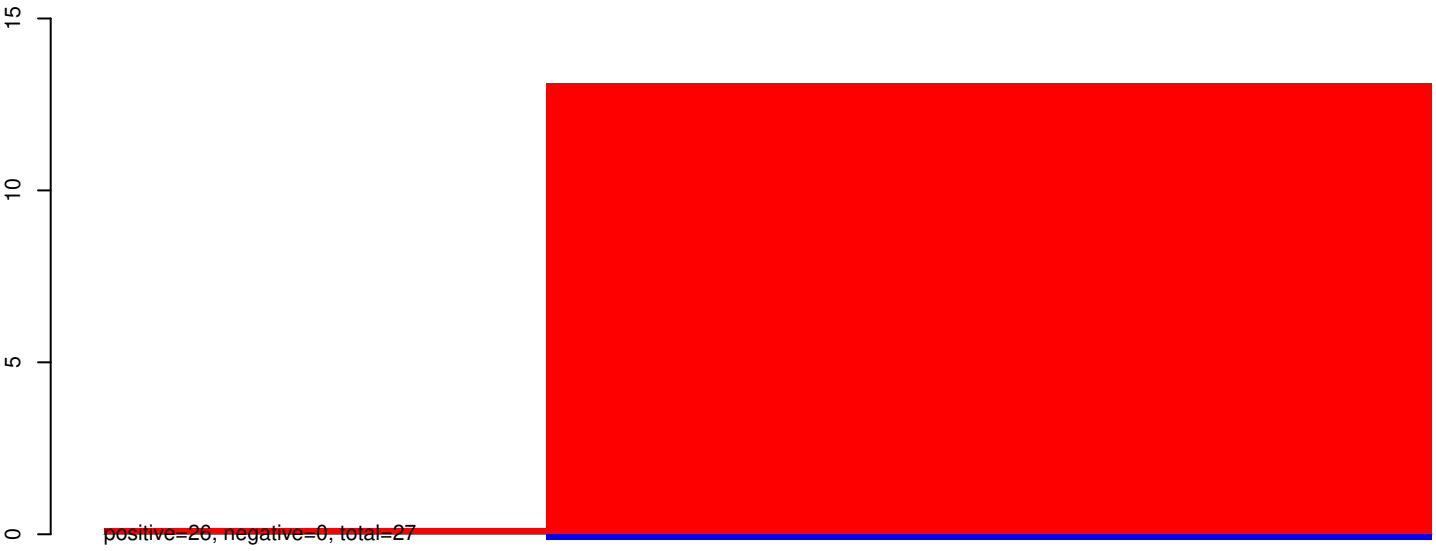
AeAeg_Aag2_Ago2_SINV_RA.24_35.rep



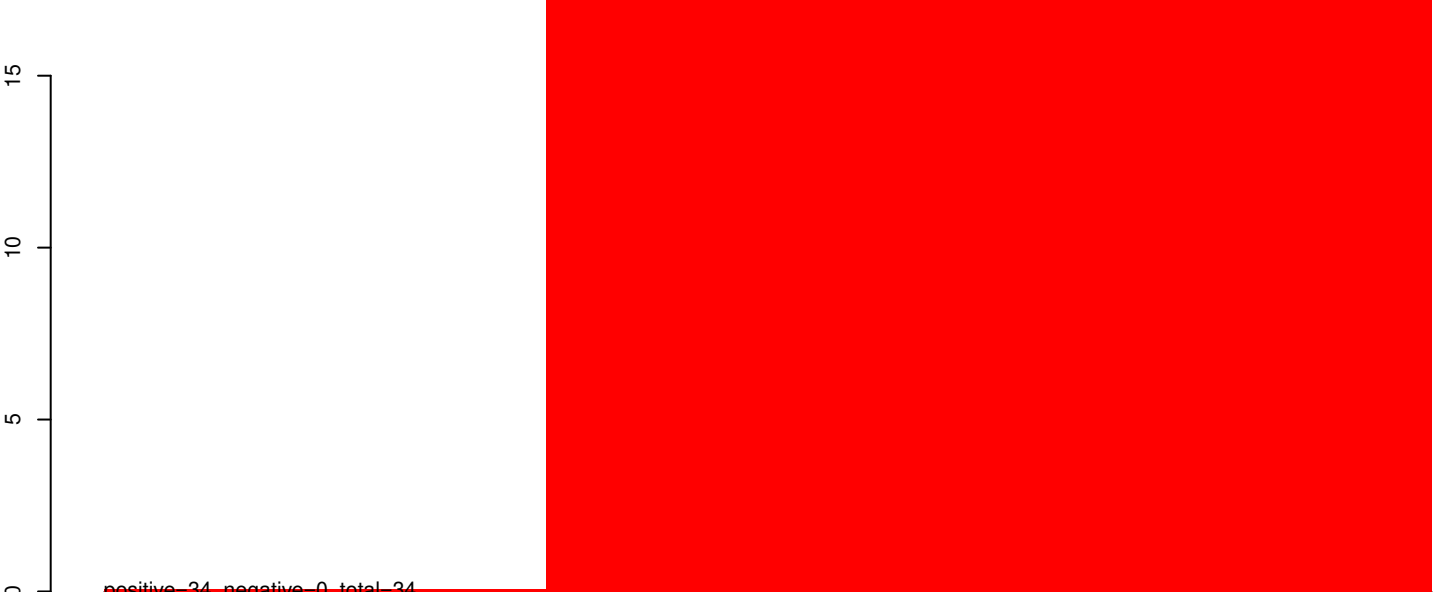
AeAeg_Aag2_Ago2_SINV_RA.rep



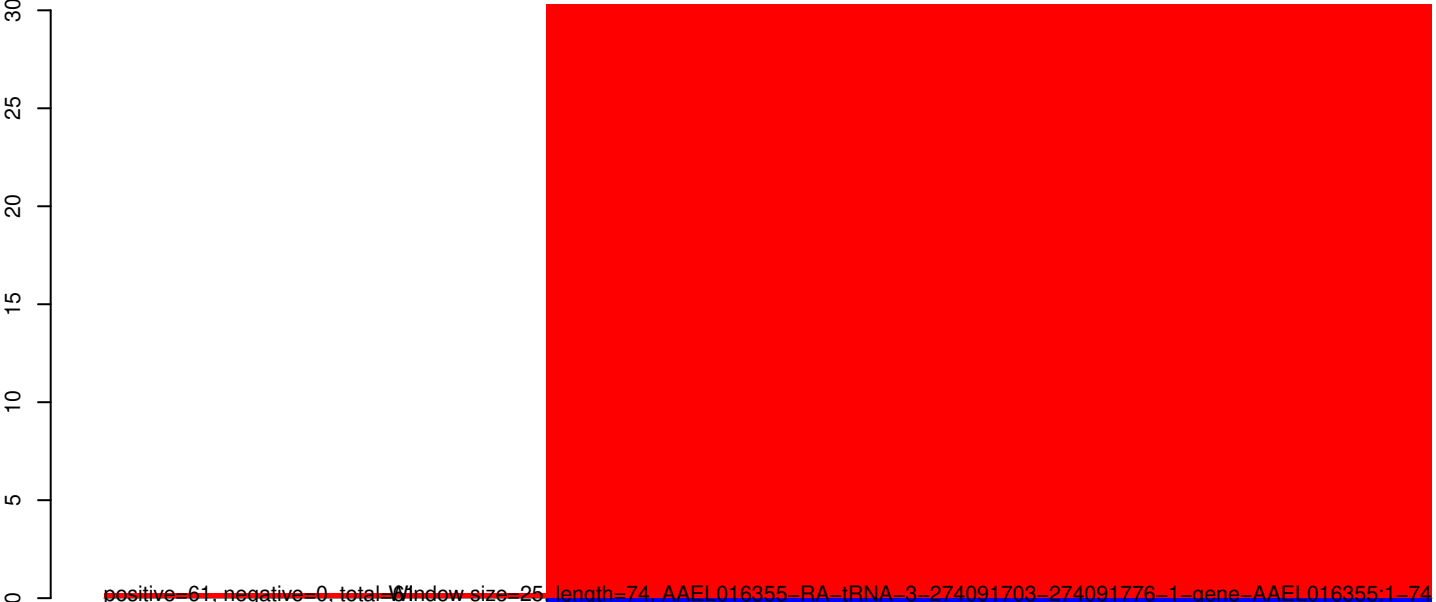
AeAeg_Aag2_Ago2_SINV_RA.18_23.rep



AeAeg_Aag2_Ago2_SINV_RA.24_35.rep

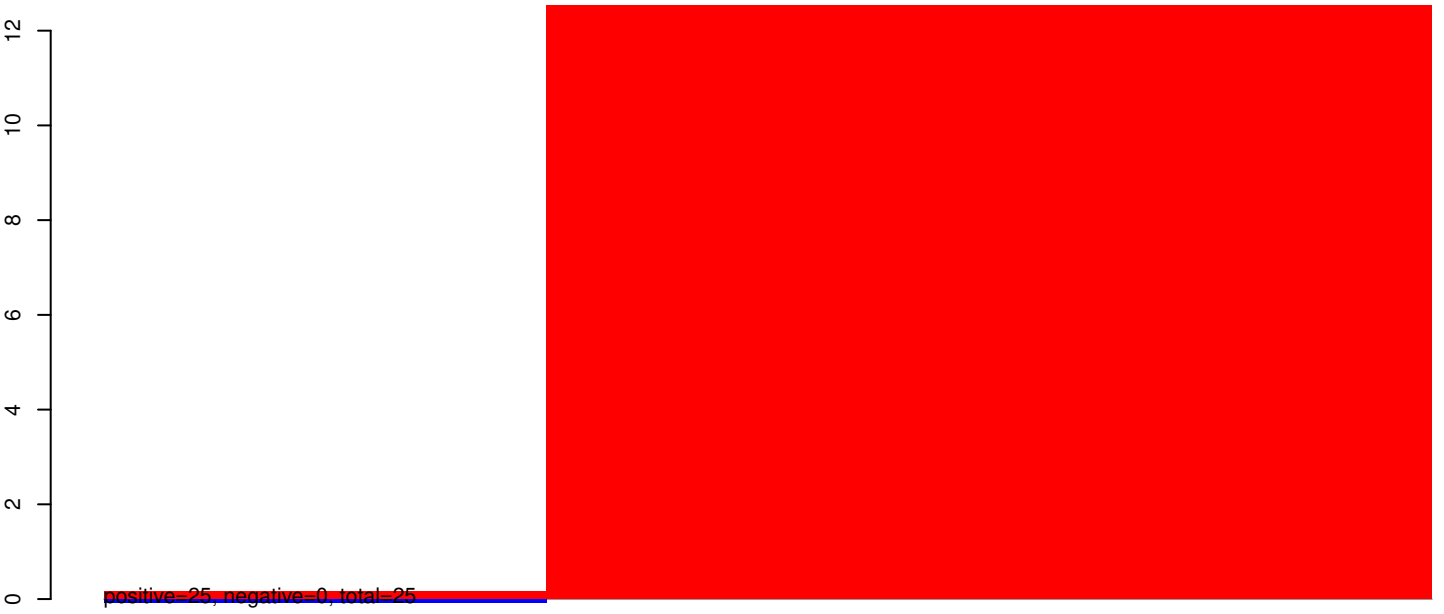


AeAeg_Aag2_Ago2_SINV_RA.rep



Window size=25, length=74, AAEL016355-RA-tRNA-3-274091703-274091776-1-gene-AAEL016355:1-74

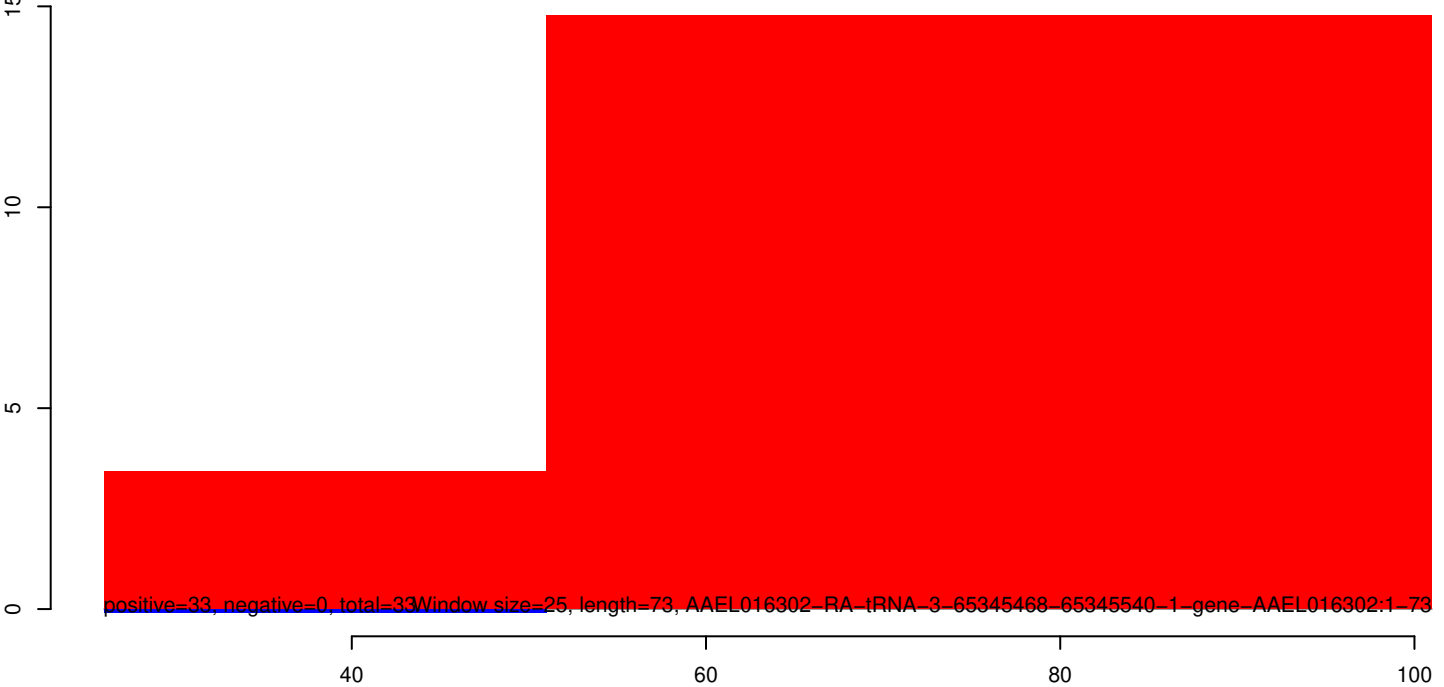
AeAeg_Aag2_Ago2_SINV_RA.18_23.rep



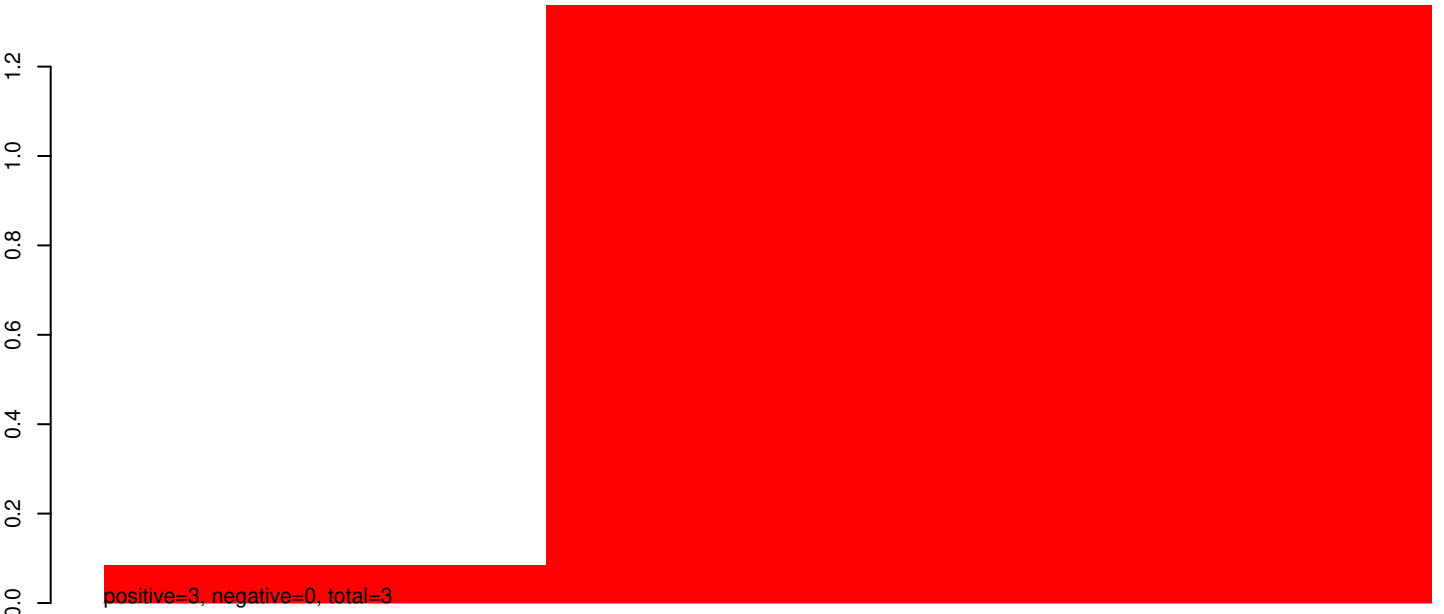
AeAeg_Aag2_Ago2_SINV_RA.24_35.rep



AeAeg_Aag2_Ago2_SINV_RA.rep



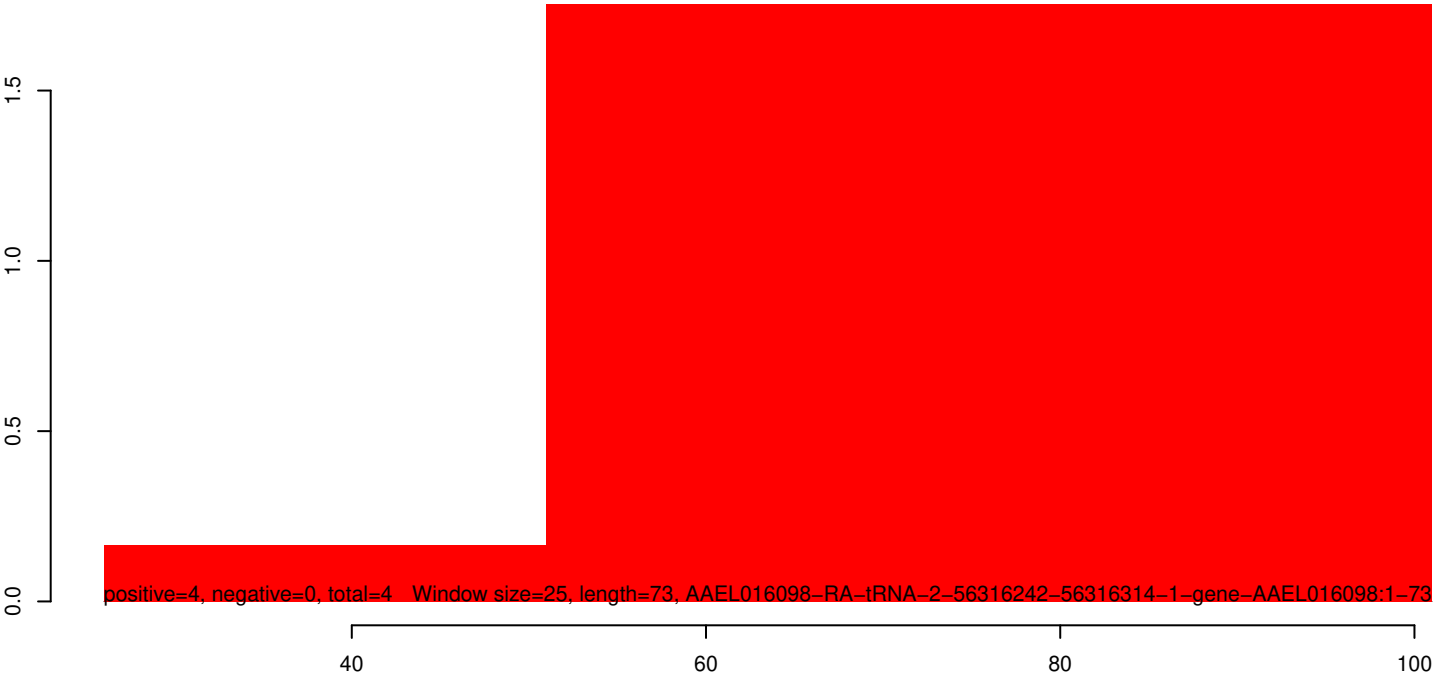
AeAeg_Aag2_Ago2_SINV_RA.18_23.rep



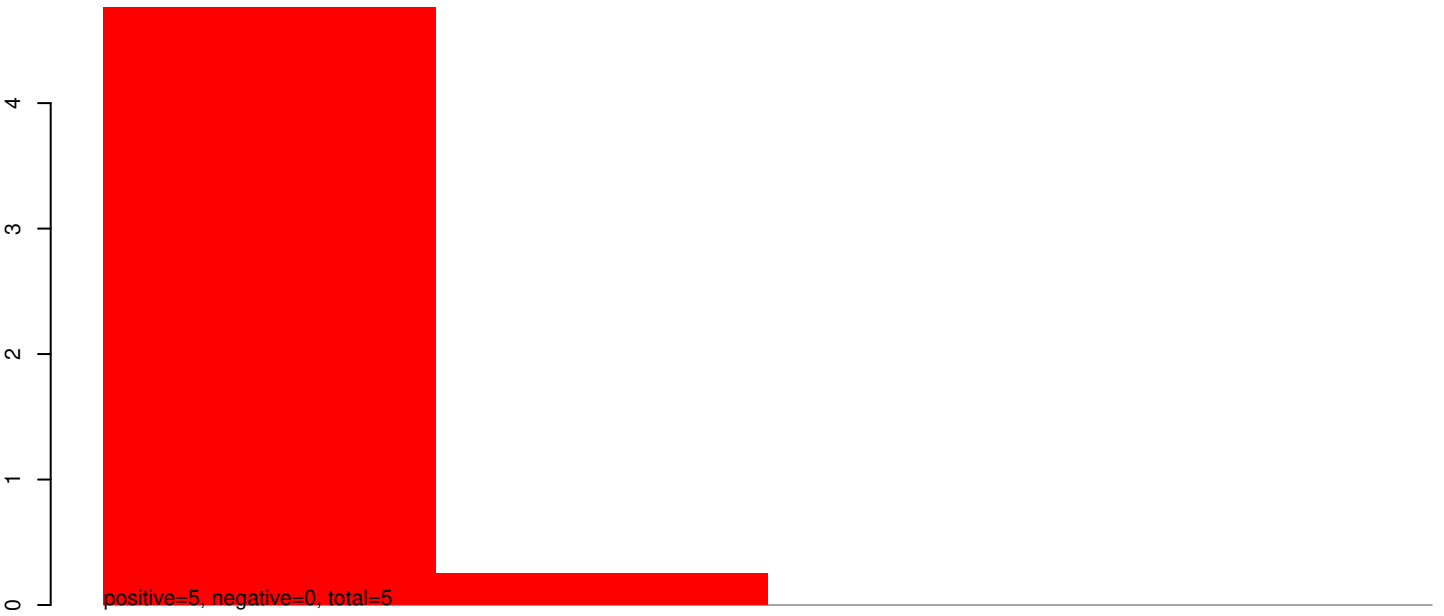
AeAeg_Aag2_Ago2_SINV_RA.24_35.rep



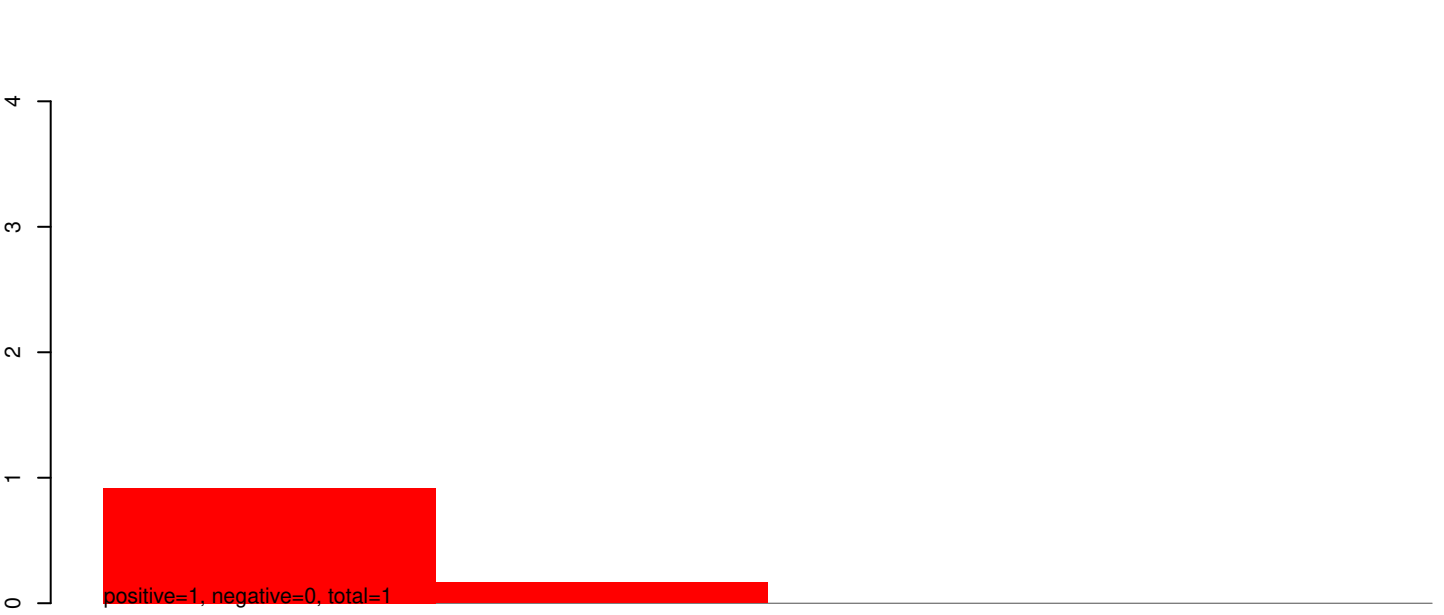
AeAeg_Aag2_Ago2_SINV_RA.rep



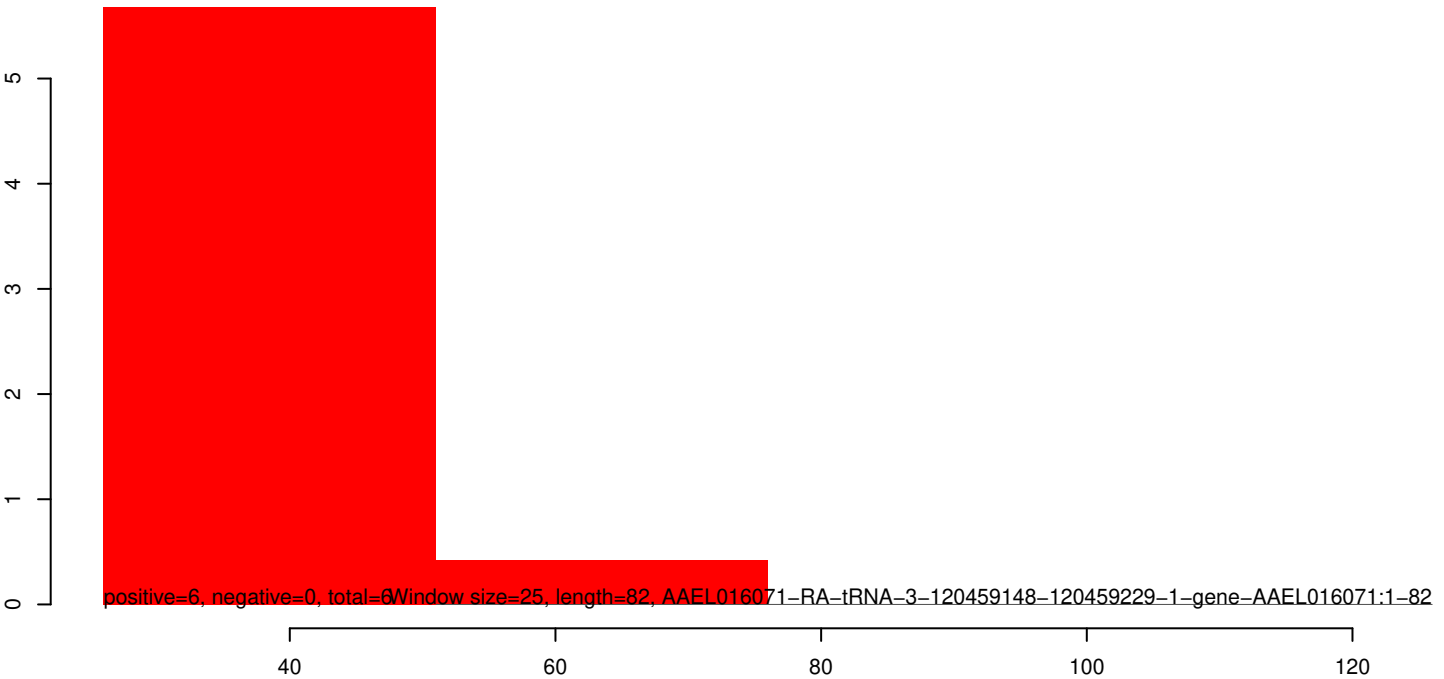
AeAeg_Aag2_Ago2_SINV_RA.18_23.rep



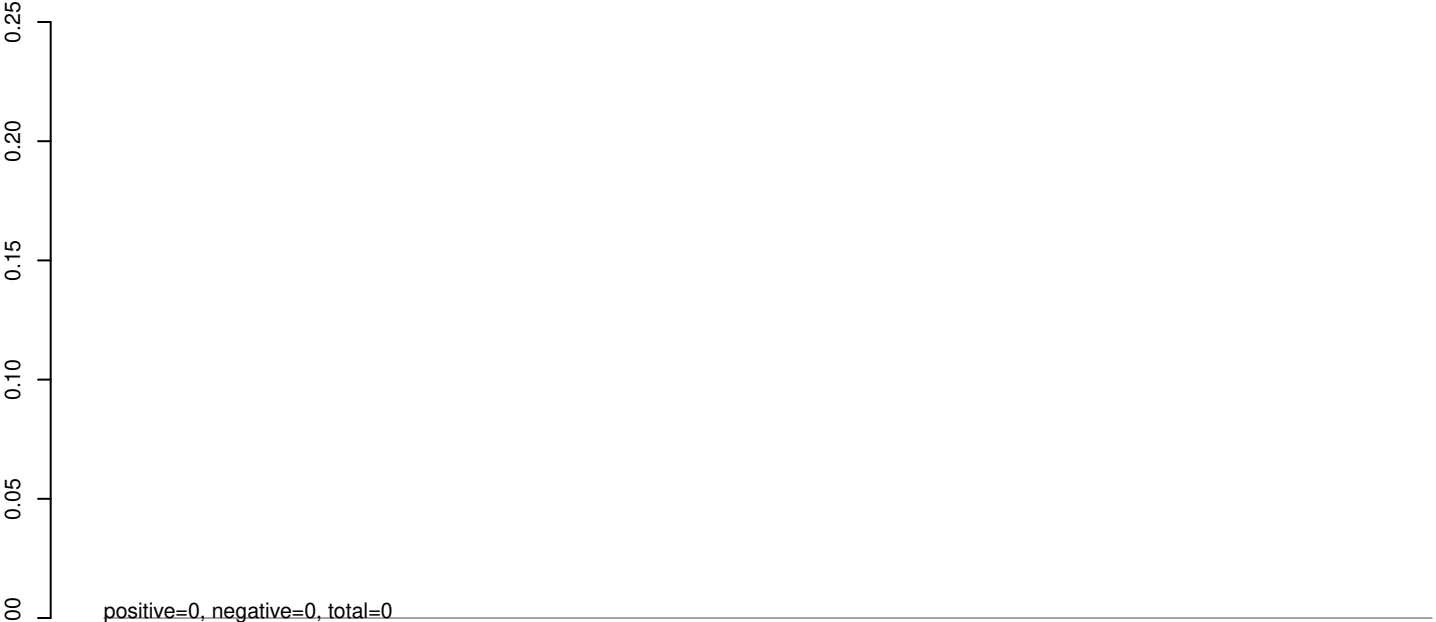
AeAeg_Aag2_Ago2_SINV_RA.24_35.rep



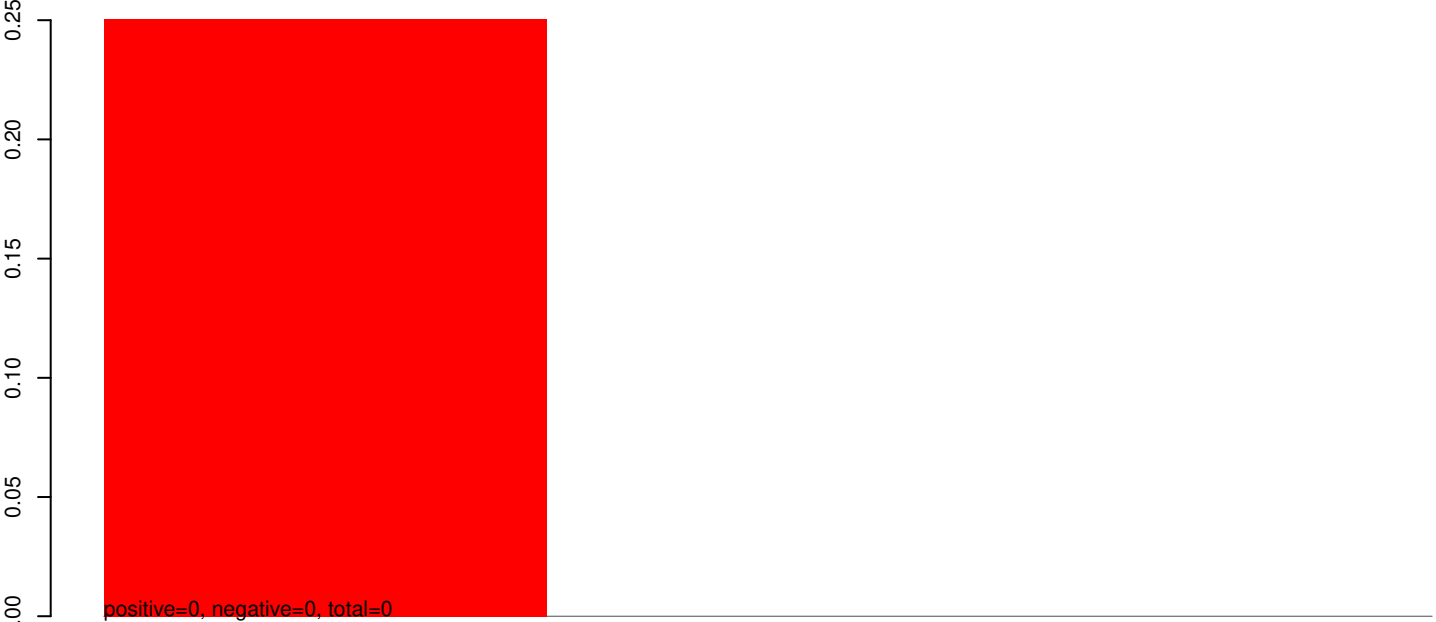
AeAeg_Aag2_Ago2_SINV_RA.rep



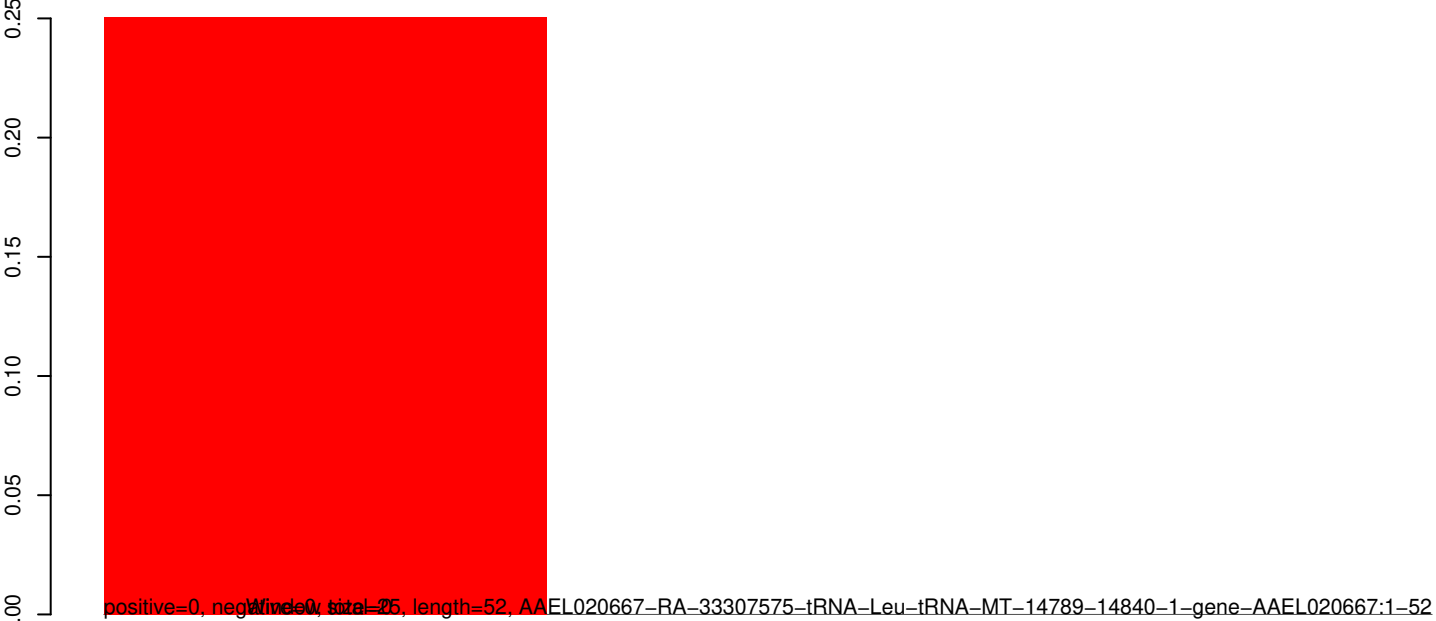
AeAeg_Aag2_Ago2_SINV_RA.18_23.rep



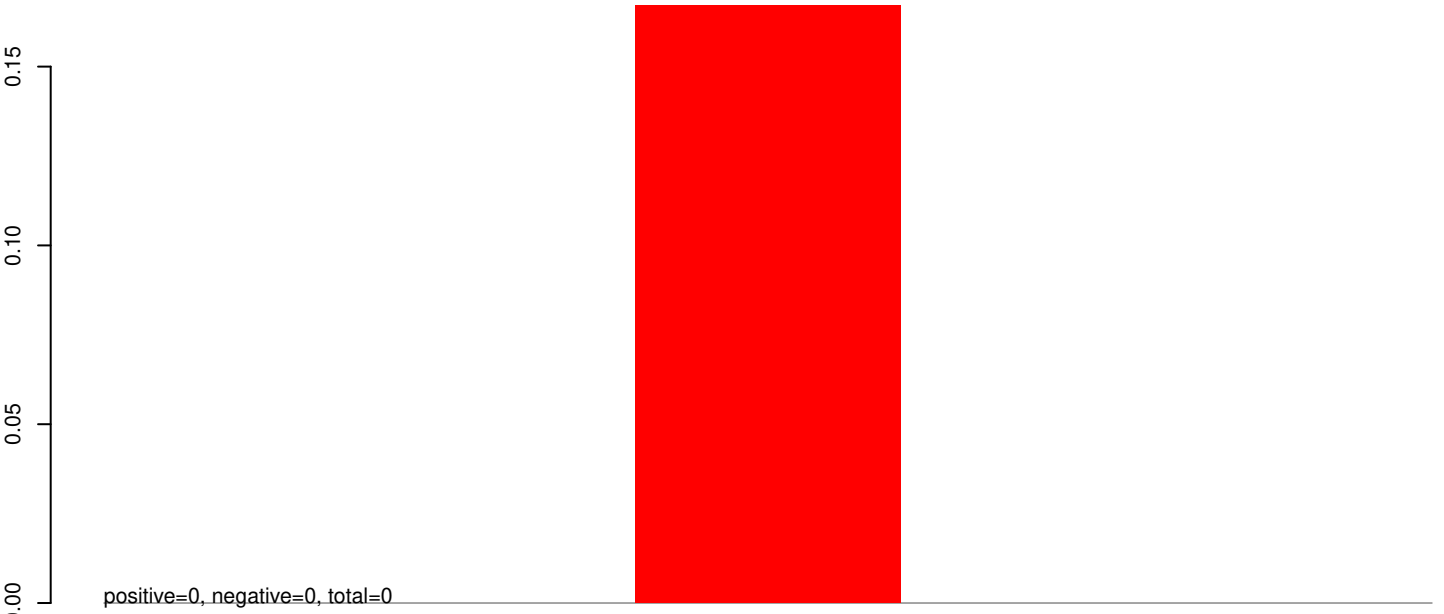
AeAeg_Aag2_Ago2_SINV_RA.24_35.rep



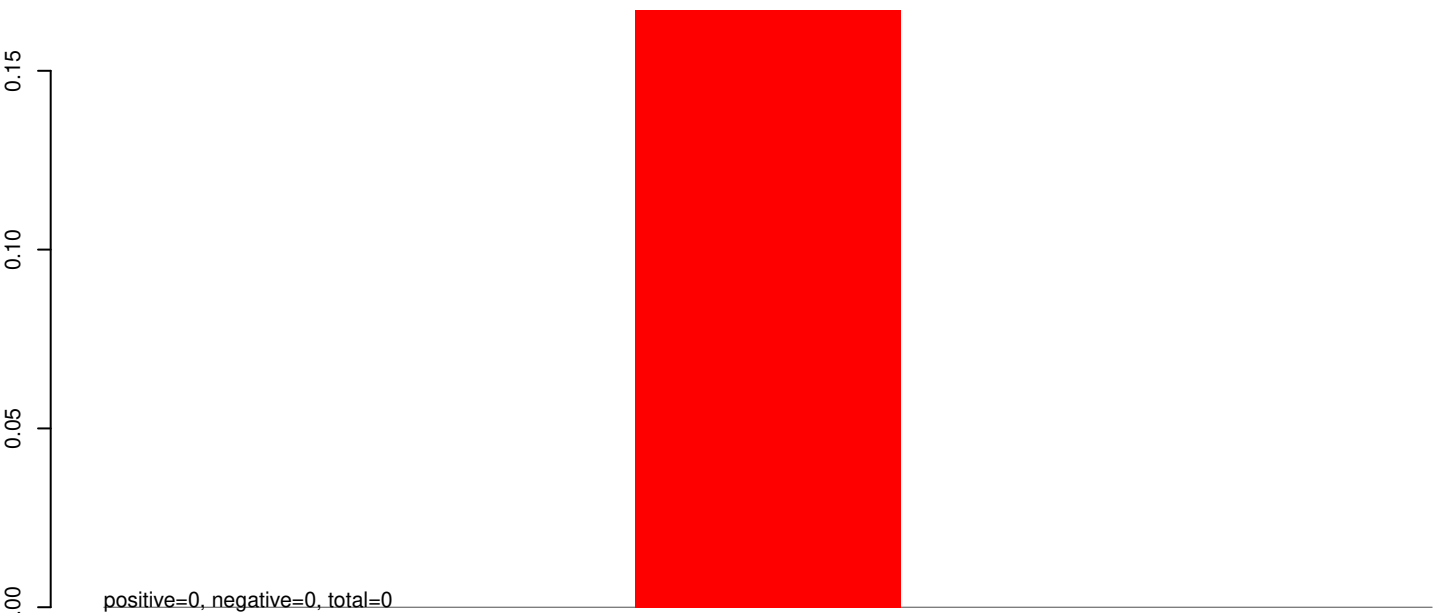
AeAeg_Aag2_Ago2_SINV_RA.rep



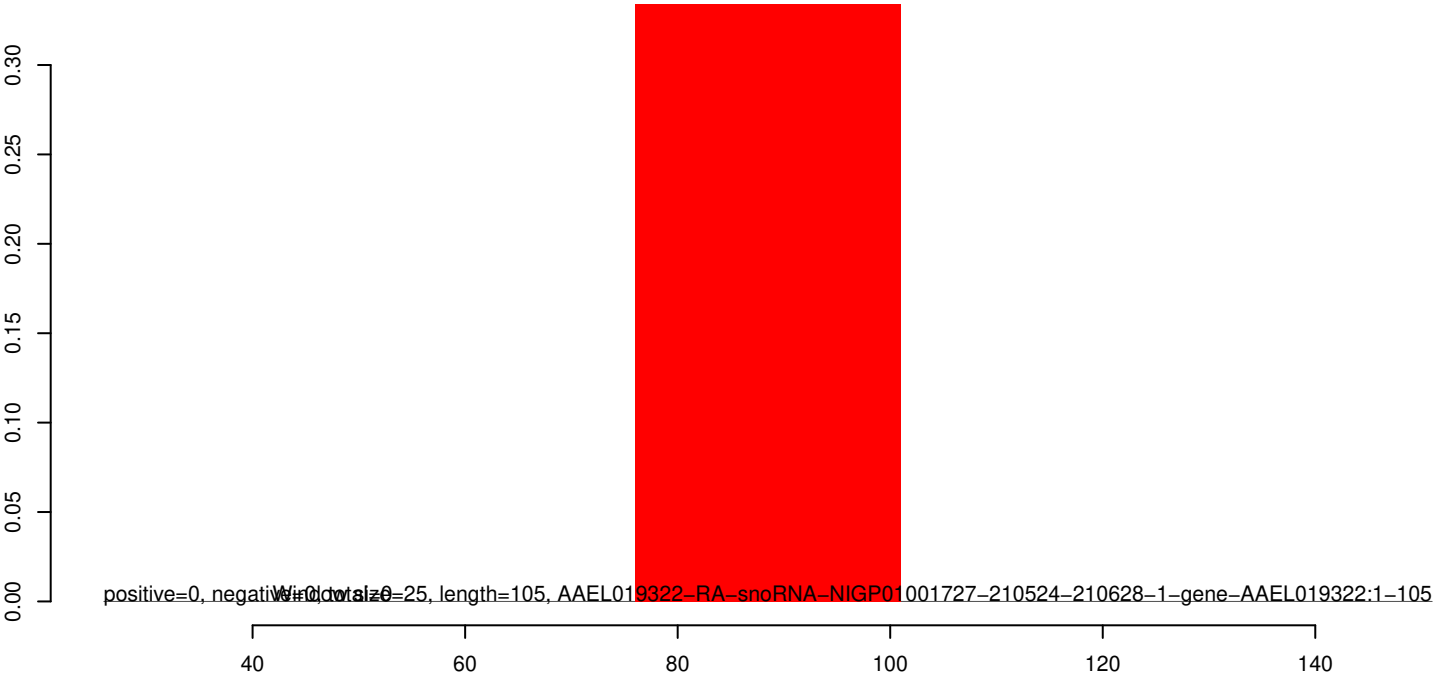
AeAeg_Aag2_Ago2_SINV_RA.18_23.rep



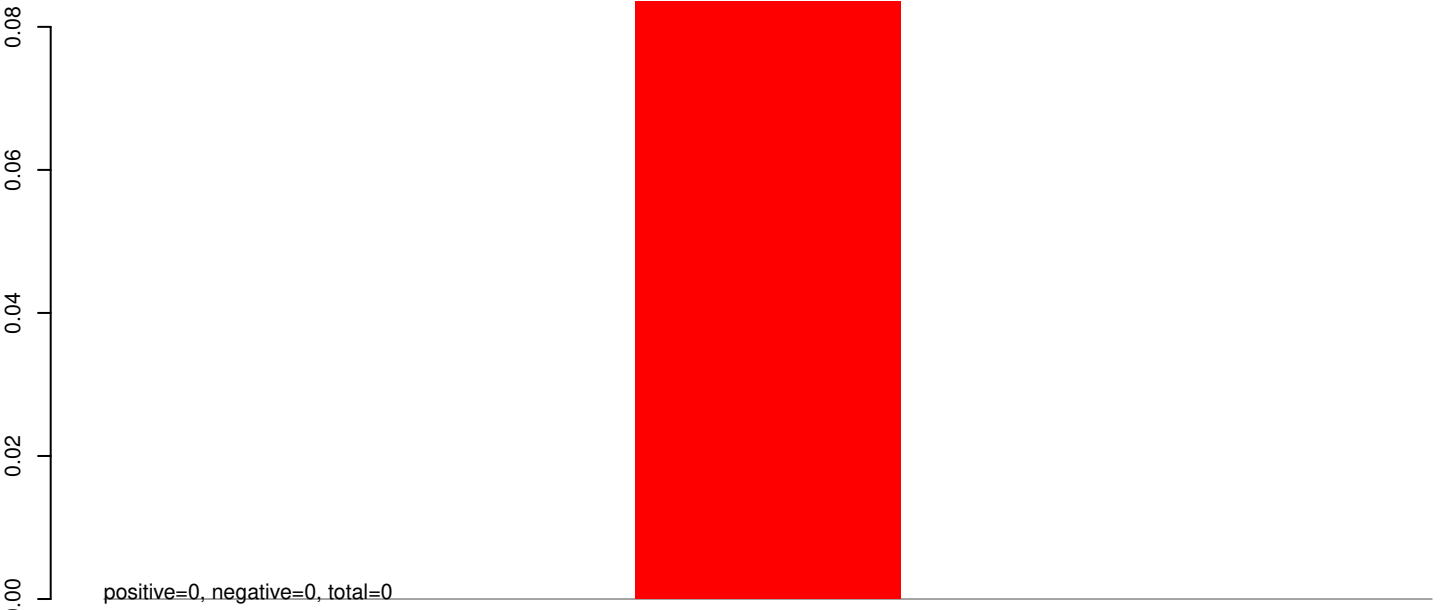
AeAeg_Aag2_Ago2_SINV_RA.24_35.rep



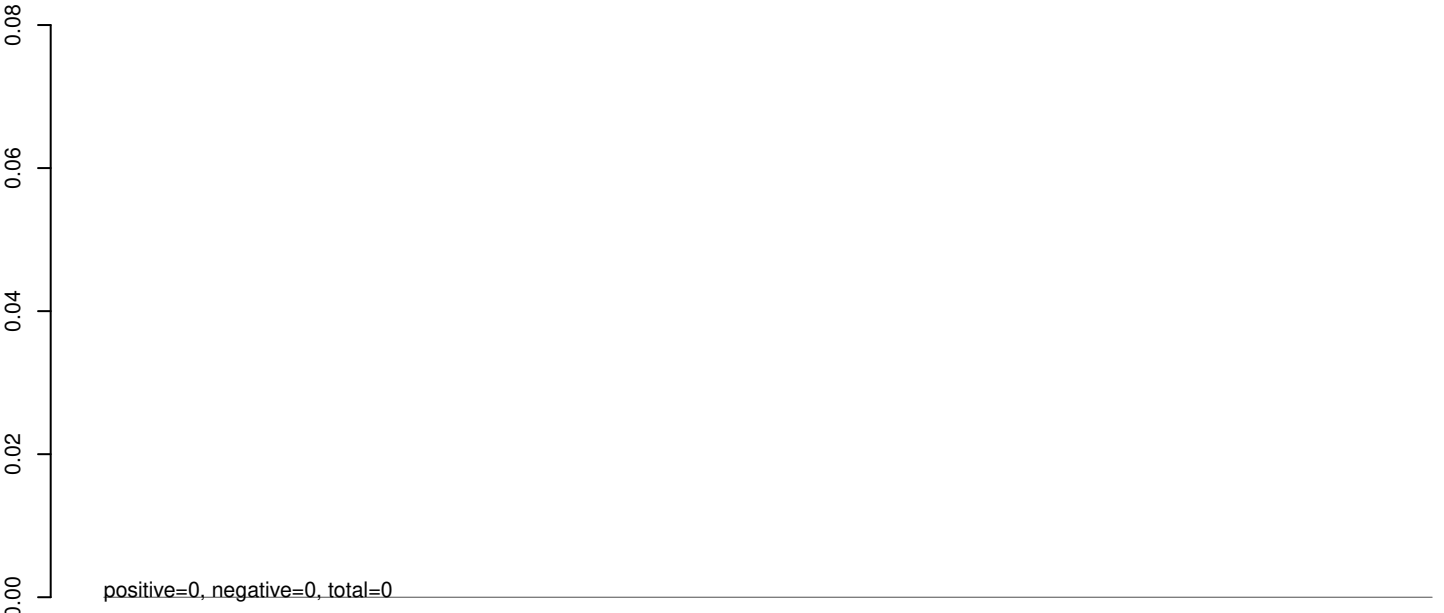
AeAeg_Aag2_Ago2_SINV_RA.rep



AeAeg_Aag2_Ago2_SINV_RA.18_23.rep



AeAeg_Aag2_Ago2_SINV_RA.24_35.rep



AeAeg_Aag2_Ago2_SINV_RA.rep

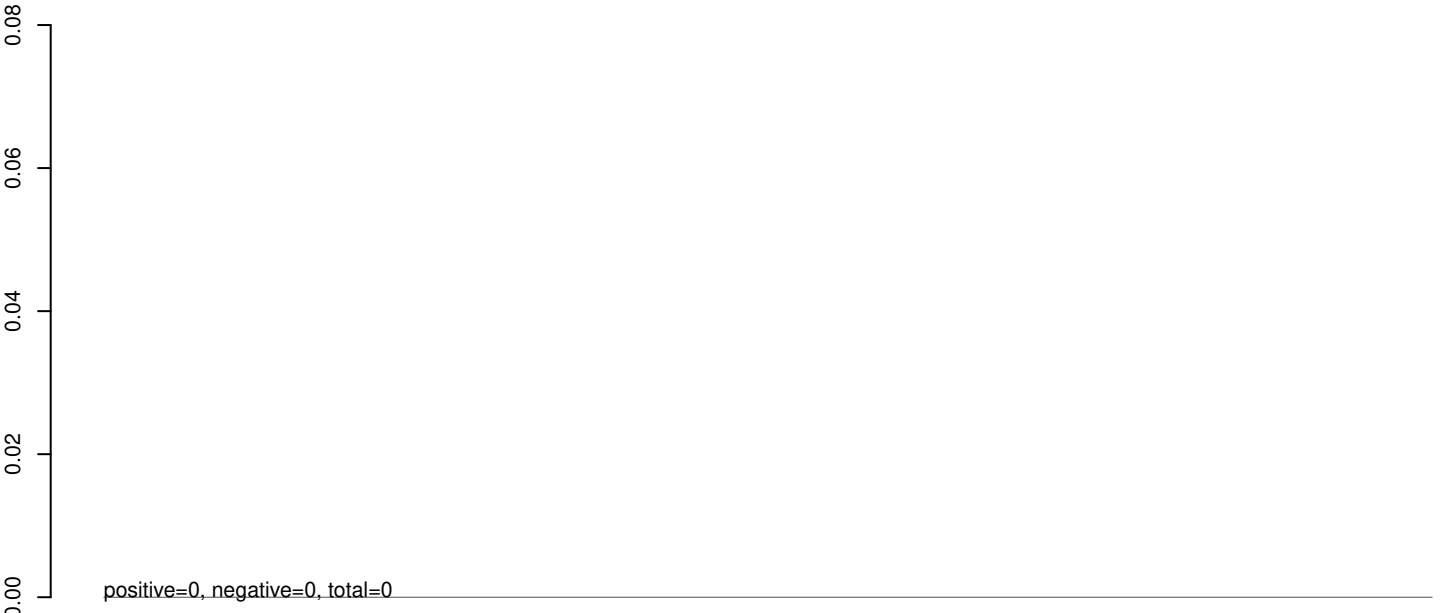


40 60 80 100 120 140

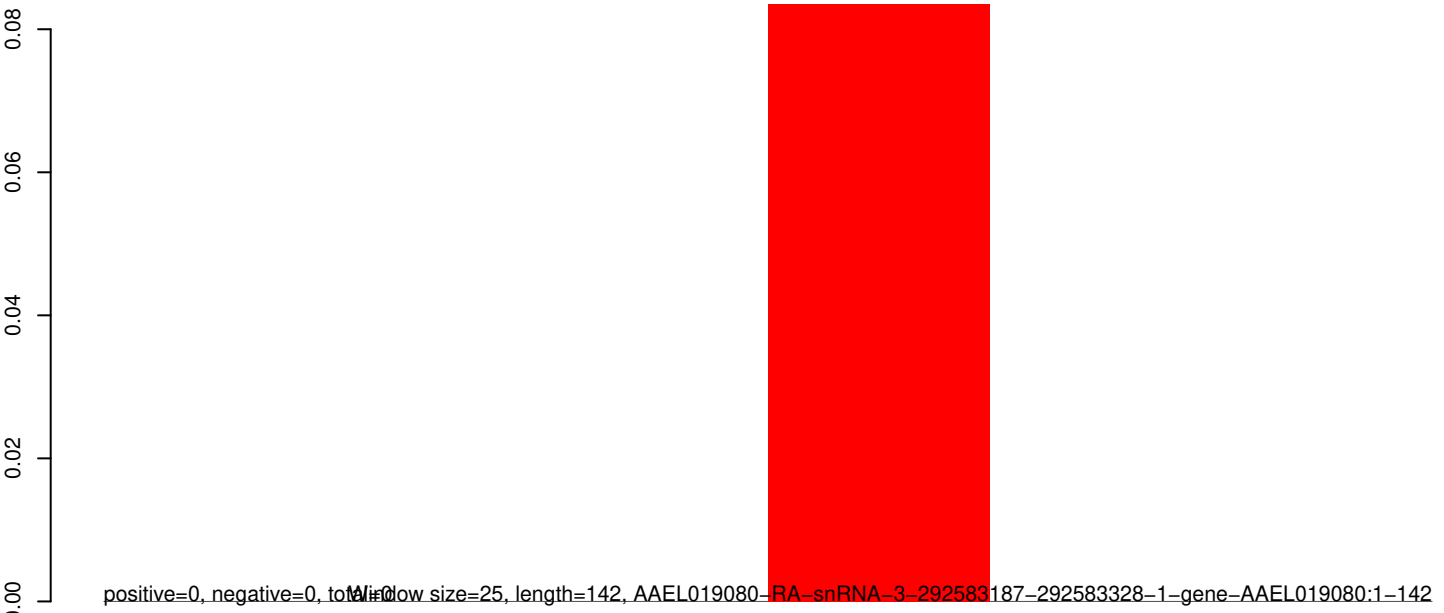
AeAeg_Aag2_Ago2_SINV_RA.18_23.rep



AeAeg_Aag2_Ago2_SINV_RA.24_35.rep



AeAeg_Aag2_Ago2_SINV_RA.rep

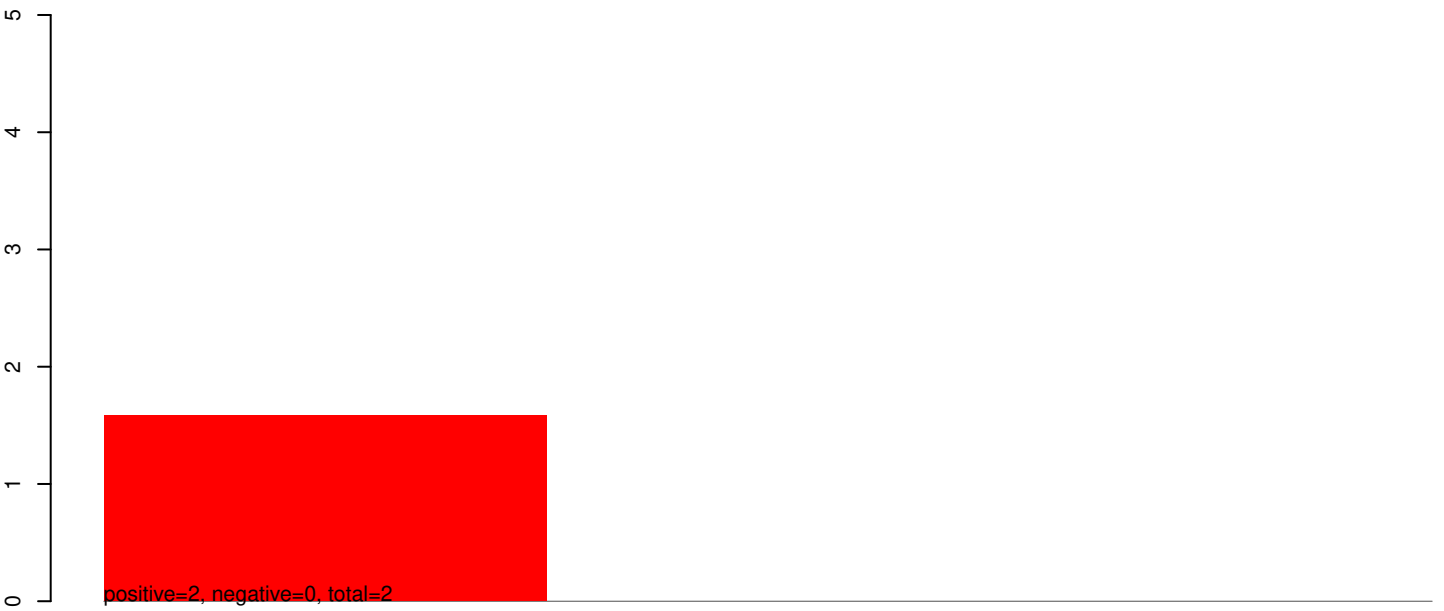


50 100 150

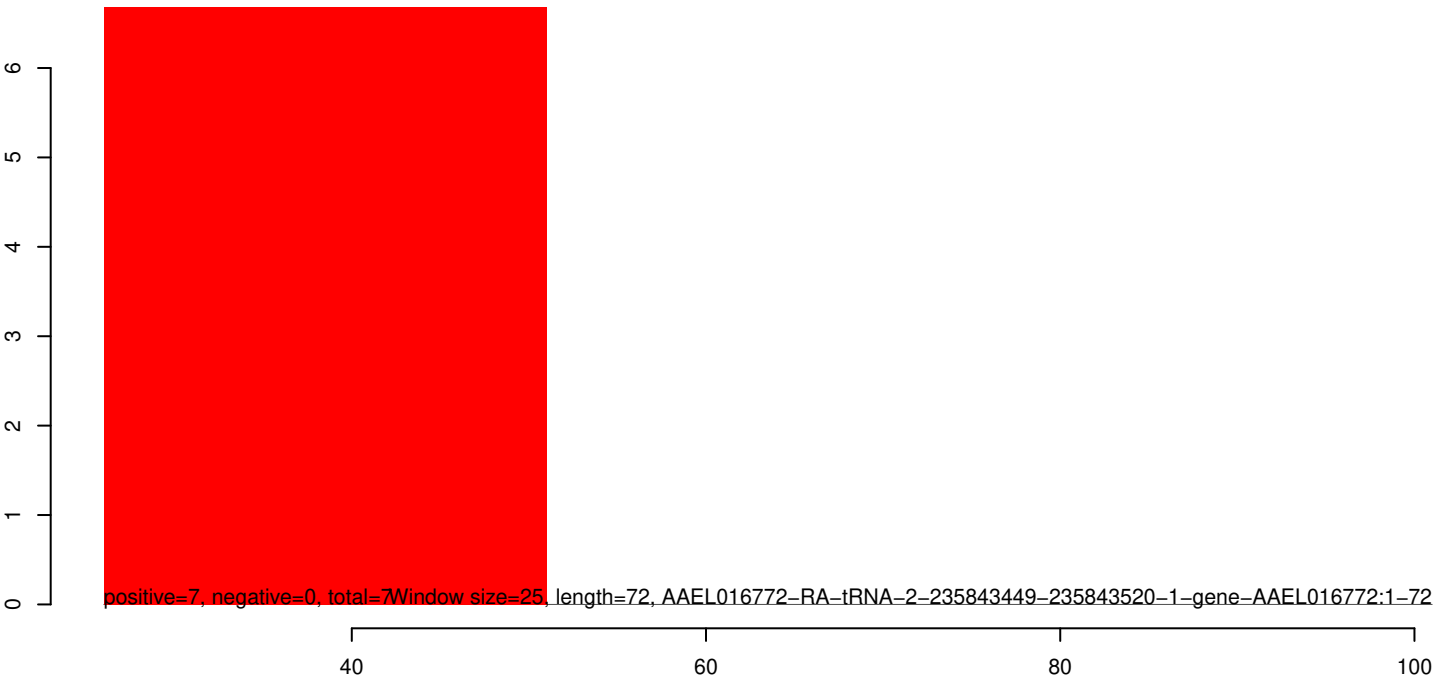
AeAeg_Aag2_Ago2_SINV_RA.18_23.rep



AeAeg_Aag2_Ago2_SINV_RA.24_35.rep



AeAeg_Aag2_Ago2_SINV_RA.rep



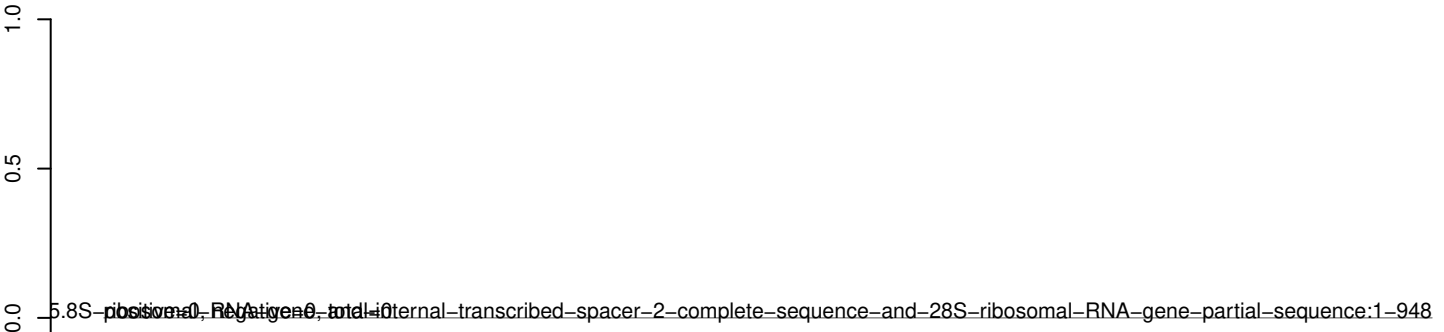
AeAeg_Aag2_Ago2_SINV_RA.18_23.rep



AeAeg_Aag2_Ago2_SINV_RA.24_35.rep



AeAeg_Aag2_Ago2_SINV_RA.rep



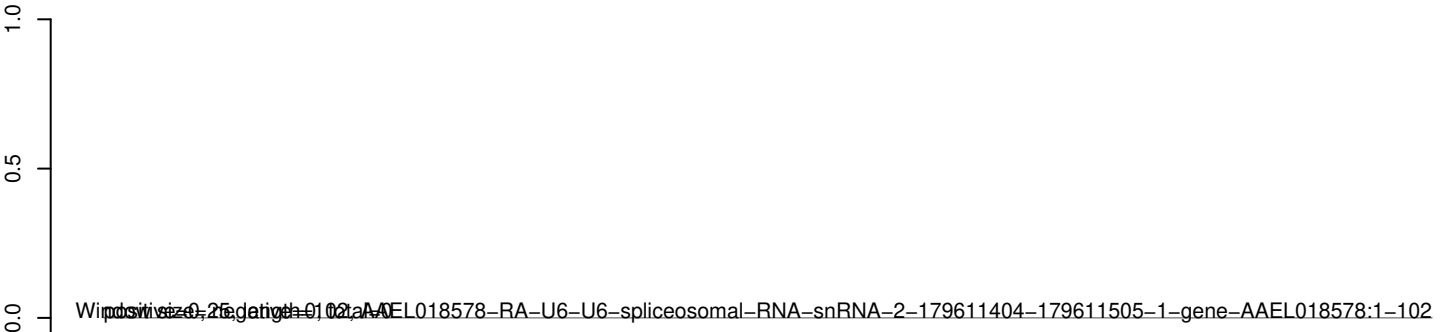
AeAeg_Aag2_Ago2_SINV_RA.18_23.rep



AeAeg_Aag2_Ago2_SINV_RA.24_35.rep



AeAeg_Aag2_Ago2_SINV_RA.rep



AeAeg_Aag2_Ago2_SINV_RA.18_23.rep



AeAeg_Aag2_Ago2_SINV_RA.24_35.rep



AeAeg_Aag2_Ago2_SINV_RA.rep

